

فصلنامه علمی  
دانش پیشگیری و مدیریت بحران



نشریه علمی سازمان پیشگیری و مدیریت بحران شهر تهران

تابستان ۱۴۰۴، دوره ۱۵، شماره ۲، شماره پیاپی: ۵۶



Disaster Prevention and  
Management Knowledge

Journal of Tehran Disaster Mitigation and Management (TDMMO)

Summer 2025, Vol 15, Issue 2, Serial No. 56

- ارزیابی روند تغییرات مکانی و زمانی دمای منطقه‌ای تحت اثر گرمایش جهانی در استان تهران
- پنهانبندی خطر وقوع سیلاب با استفاده از مدل منطق فازی، نمونه موردی: حوضه آبخیز لواسانات
- شناسایی پیشران‌ها و پیامدهای کنشگری مؤثر رسانه‌های جریان اصلی در مدیریت بحران‌های اجتماعی‌سیاسی ایران
- ارائه الگوی همکارانه کمکرسانی در مدیریت بحران بهمنظور حداکثرسازی ارائه پوشش بشردوستانه به مناطق آسیب‌دیده از مخاطرات طبیعی
- مدل‌سازی و تحلیل دو سطحی مکان‌یابی - مسیریابی برای بهینه‌سازی امدادرسانی در بلایای طبیعی
- ارائه مدل ارزیابی و تحلیل ریسک دینامیک نشت گاز هیدروژن در یک واحد کلرزنی نیروگاه سیکل ترکیبی با استفاده از تکنیک پاپیونی
- ارزیابی تابآوری کالبدی و زیرساختی محدوده عملیاتی ایستگاه‌های آتش‌نشانی منطقه ۲۰ شهر تهران با استفاده از سامانه GIS

■ Disater Prevention and Management Knowledge - Summer 2025, Vol 15, Issue 2, Serial No. 56

- Spatiotemporal Changes in Regional Temperature Influenced by Global Warming in Tehran Province, Iran
- Flood Risk Zoning Using Fuzzy Logic Model; Case Example: Lavasanat Watershed
- Identifying the Drivers and Consequences of the Mainstream Media's Effective Activism in Managing Soci-political Crises in Iran
- A Collaborative Model of Humanitarian Assistance for Maximum Coverage of Areas Affected by Natural Disasters
- A Two-echelon Model of Location-routing Problem for Optimizing Relief Operations in Natural Disasters
- Bow-tie Risk Assessment of Hydrogen Gas Leakage From the Chlorination Unit of a Combined-cycle Power Plant
- Analyzing the Physical and Infrastructural Resilience to Fire Accidents in District 20 of Tehran, Iran, Based on the Geographic Information System

■ دانش پیشگیری و مدیریت بحران

■ شاپا چلیپ: ۰۹۹۵۵-۲۲۲۲  
■ شاپا آنلاین: ۰۸۱۴-۲۵۳۸

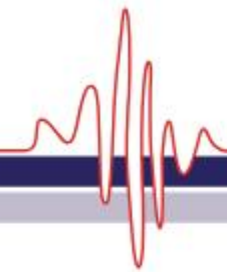
■ Disaster Prevention and Management Knowledge

■ P-ISSN: 2322-5955  
■ E-ISSN: 2538-1814



# فصلنامه علمی دانش پیشگیری و مدیریت بحران

تایستان ۱۴۰۴، دوره ۱۵، شماره ۲، شماره پیاپی: ۵۶



دکتر محسن غفوری آشتیانی  
استاد پژوهشگاه بین المللی زلزله شناسی و مهندسی زلزله، تهران، ایران.  
دکتر محمد حسین یارمحمدیان  
اسلام دانشگاه علوم پزشکی و خدمات بهداشتی درمانی اصفهان، اصفهان، ایران.  
دکتر جعفر پریزی  
دانشیار گروه مهندسی عمران آب و محیط زیست دانشگاه تهران پهشت، تهران، ایران.

دکتر مسعود خوشن سیما  
دانشیار پژوهشگاه فضایی ایران، تهران، ایران.  
**هیأت تحریریه بین المللی**  
دکتر علی عسگری  
استاد مدیریت بالا و فواید های دانشگاه پورک کاتالا  
دکتر فریدریز محمدی تهرانی  
استاد گروه مهندسی عمران و ریاضیات دانشگاه ایالتی کالیفرنیا  
دکتر امیرهایمایون صفارزاده  
دانشیار مهندسی شهرسازی و محیط زیست دانشکده فنی دانشگاه کیوشو ژاپن  
دکتر مهندز حسین زاده  
دانشیار مدیریت عملیات و علوم تصمیم گیری دانشکده مدیریت دانشگاه شفید گلستان.

## پاکها و نمایه نامه ها

گوگل اسکالار آکادمیا، موسسه استادی و پایش علم و فناوری جهان اسلام (SC)، پایگاه  
مرکز اطلاعات علمی چهاد دانشگاهی (SID)، مگیران، ایندکس کوینزکس  
دفتر نشریه  
دورس: تهران- ستنهای غربی پزرجراه جلال ال احمد نرسیده به پزرجراه آیت ل-  
اشرفی اصفهانی، نیش خیابان نهم، سازمان پیشگیری و مدیریت بحران شهر تهران  
تلفن: ۰۲۱۴۴۳۴۴۰۴۰، ۰۲۱۹۶۰۲۴۲۱۷  
تمایل: ۰۲۱۴۴۲۶۷۳۶۵، کد پستی: ۱۴۶۳۶۱۳۱۱۱

سایت: [www.dpmk.ir](http://www.dpmk.ir)

ایمیل: [info@dpmk.ir](mailto:info@dpmk.ir), [dpmktmmo@gmail.com](mailto:dpmktmmo@gmail.com)

صحافی و چاپ: چاپخانه همشهری



سازمان پیشگیری و  
مدیریت بحران شهر تهران

صاحب امتیاز: سازمان پیشگیری و مدیریت بحران شهر تهران  
ترتیب انتشار: فصلنامه  
شایای چاپی: ۰۲۲۲-۵۹۵۵  
شایای الکترونیک: ۰۲۳۸-۱۸۱۴  
سیاست انتشار: دسترسی آزاد  
فرآیند داوری: دوسوکور

## مدیرمسئول

دکتر علی تصیری

رئیس سازمان پیشگیری و مدیریت بحران شهر تهران و استادیار و مدیر گروه سالشت در بالای  
و فواید ها و بنا فنند غیرعامل دانشگاه علوم پزشکی بقیه الله (عج) تهران، ایران.

سرکبر

## دکتر مهدی زارع

استاد پژوهشگاه بین المللی زلزله شناسی و مدیریت زلزله، تهران، ایران.

مدیر اجرایی

دکتر مرغیه صمدی فروتنانی

پژوهشگر سازمان پیشگیری و مدیریت بحران شهر تهران و دکتری مدیریت تحقیق در  
عملیات دانشگاه تهران، ایران.

## هیأت تحریریه

دکتر مهدی زارع

استاد پژوهشگاه بین المللی زلزله شناسی و مدیریت زلزله، تهران، ایران.

دکتر علی اکبر آقاوچک

استاد مهندسی عمران سازه دانشگاه تربیت مدرس، تهران، ایران.

دکتر محمود رضا دلارو

استاد گروه مهندسی تقطیرداری و اطلاعات مکانی دانشگاه تهران، تهران، ایران.

دکتر محمدرضا قائم‌مقامیان

استاد پژوهشگاه زلزله شناسی و مدیریت زلزله، تهران، ایران.

دکتر ماتاالله خامنه‌چیان

استاد گروه زمین‌شناسی مهندسی دانشگاه تربیت مدرس، تهران، ایران.

دکتر ایرج محمدقاسم

استاد دانشگاه علوم توانبخشی و ساخت اجتماعی، تهران، ایران.

دکتر علی مرادی

دانشیار موسسه ژئوفزیک دانشگاه تهران، تهران، ایران.

دکتر رضا پورحسین

دانشیار روانشناسی و علوم تربیتی دانشگاه تهران، تهران، ایران.

دکتر سید امیرحسین گرگانی

دانشیار معماری و شهرسازی دانشگاه آزاد اسلامی تهران مرکزی، تهران، ایران.



## فصلنامه علمی دانش پیشگیری و مدیریت بحران

تابستان ۱۴۰۴، دوره ۱۵، شماره ۲، شماوه پیاپی ۵۶

### اسامي داوران

#### فاطمه فلاحی

عضو هیات علمی گروه مخاطرات هیدرولوژیکی، پژوهشگاه سوچ طبیعی، تهران، ایران.  
کیوان کریم لو

دکتری مهندسی محیط زیست دانشگاه شهریارپوشانی، تهران، ایران.  
اسماعیل سلیمانی

گروه مهندسی معماری و شهرسازی دانشگاه شهریارپوشانی، تهران، ایران.  
زیتب نصیری ماهیتی

گروه مهندسی اجتماعی دانشگاه علوم پایلوطی، تهران، ایران.  
عزیزالله سلیمانی طاری

دکتری مدیریت محیط زیست دانشگاه آزاد اسلامی واحد علوم و تحقیقات تهران، ایران.  
زهراه مالححمدی

پسادکتری مهندسی صنایع دانشگاه خوارزمی، تهران، ایران.  
هرضیه صمدی فروزانی

دکتری مدیریت تحقیق در عملیات دانشگاه تهران، ایران.  
کامران خلیفه‌ای

دکتری مهندسی عمران دانشگاه سیستان و بلوچستان زاهدان، ایران.  
محمدجواد کیهان پور

دکتری مهندسی عمران دانشگاه آزاد اسلامی تهران، ایران.  
فرگیس رامک

دکتری حقوق بین الملل دانشگاه آزاد اسلامی تهران مرکزی، تهران، ایران.  
سونا رزاقی

دکتری مهندسی صنایع دانشگاه یونیکی، بولنکی، ایران.  
سیدصادق عبدالahi

دکتری مدیریت صنعتی دانشکده مدیریت دانشگاه تهران، تهران، ایران.  
اعظم کشاورزی

دکتری روفتنامی تربیتی دانشگاه آزاد اسلامی شمال.  
محسن مهدجو

دکتری شهرسازی دانشگاه آزاد اسلامی شهر قدس، تهران، ایران.  
سمیه قضاوت

دکتری مدیریت صنعتی دانشگاه شهریارپوشانی، تهران، ایران.  
شهاب تقی خانی

دکتری مدیریت رسانه دانشگاه تهران، ایران.  
آیدا راویان

دکتری کارشناسی دانشگاه علوم تولیدی و ساخت اجتماعی، تهران، ایران.  
محمدحسین مهدوی قهساره

دکتری مرمت و لایه‌نها و پاله‌های تاریخی، گروه مرمت دانشکده مهندسی معماری و  
شهرسازی دانشگاه علم و صنعت تهران، ایران.

#### علی وجданی نژاد

دکتری مهندسی سوچ دانشکده محیط‌زیست دانشگاه تهران، تهران، ایران.  
کیومرث ملکی

پس‌دکتری جرقیا و برآنده نیزی شهری، دانشکده برترهای نیزی و علوم محیطی، دانشگاه تبریز.  
تیریز، ایران

#### افراسیاب خیردست

دکتری تخصصی مدیریت محیط زیست دانشگاه آزاد اسلامی واحد تهران شمال، تهران، ایران.

#### مهندی زارع

لستاد پژوهشگاهین عالی زلزله شناسی و مهندسی زلزله تهران، ایران.  
علی نصیری

لستاد دانشگاه علوم پزشکی یقه الله (عج) تهران، ایران.  
محمدحسین یارمحمدیان

لستاد دانشگاه علوم پزشکی و خدمات بهداشتی و درمانی اصفهان، ایران.  
محمد رضا قائم مقامیان

لستاد پژوهشگاهین عالی زلزله شناسی و مهندسی زلزله تهران، ایران.  
علی مرادی

دانشیار موسسه ژوپینگ دانشگاه تهران، تهران، ایران.  
رتوف مصطفی زاده

دانشیار گروه منابع طبیعی دانشگاه محقق زدیلی، زدیلی، ایران.  
علی باقری

دانشیار گروه مهندسی و مدیریت آب دانشگاه تربیت مدرس، تهران، ایران.  
محسن گل‌لتوري

دانشیار گروه جرقیا دانشگاه رتجان، رتجان، ایران.  
مهندی اکبری

دانشیار گروه آموزش جرقیای طبیعی، دانشکده خوارزمی دانشگاه خوارزمی، تهران، ایران.  
اکبر تقی پور

لستادیار گروه جرقیا دانشکده علوم زمین دانشگاه دلغان، دلغان، ایران.  
فرشته اصلایی

لستادیار گروه منظر و بارسازی دانشکده معماری و شهرسازی دانشگاه شهریارپوشانی، تهران، ایران.  
جلال سمعیا

لستادیار سنجش از دور دانشگاه مازندران، مازندران، ایران.  
سید عظیم حسینی

دانشیار گروه مهندسی عمران دانشگاه آزاد اسلامی تهران جنوب، تهران، ایران.  
امیرعباس قاطعی

لستادیار گروه مهندسی عمران دانشگاه آزاد اسلامی پردیس، تهران، ایران.  
مجتبیه پیری زاده

لستادیار گروه مهندسی عمران دانشگاه آزاد اسلامی تهران غرب، تهران، ایران.  
ایوب پژوهان

لستادیار گروه مدیریت دولتی دانشگاه ایام تور، تهران، ایران.  
اسماعیل نجفی

لستادیار زمین‌ورفه‌ای دانشکده علوم زمین دانشگاه دلغان، دلغان، ایران.  
علیرضا سعیدی

گروه برترهای منطقه‌ای و شهرسازی دانشگاه آزاد اسلامی واحد علوم و تحقیقات تهران، ایران.  
حمدی درعاشر غامر

لستادیار دانشگاه علوم و فنون هوایی شهید ستاری، تهران، ایران.  
داریوش مهری

لستادیار دانشگاه علوم و فنون هوایی شهید ستاری، تهران، ایران.  
صادق صیدیگی

عضو هیات علمی گروه جرقیا و برترهای شهری دانشگاه آزاد اسلامی واحد علوم و تحقیقات  
تهران، ایران.  
سیده سماهه هیرا اسماعیلی

دکتری سلامت در بالایا و فویت هاد دانشگاه علوم پزشکی، لرستان، ایران.  
مهراب شریفی سده

دکتری سلامت در بالایا و فویت هاد دانشگاه علوم پزشکی تهران، تهران، ایران.

## اهداف

ترویج و گسترش مزهای دانش مدیریت بحران در حوزه‌های تخصصی پیشگیری و کاهش خطر، آمادگی و پاسخ، بازیابی (بازسازی و بازتوانی)؛  
ترویج و گسترش مزهای دانش سلامت، ایمنی و محیط زیست (HSE)؛  
انتشار آخرین دستاوردهای پژوهشی و ایجاد فضای نقد و تبادل اندیشه؛  
ایجاد زمینه‌های همکاری و تعامل علمی پژوهشگران در سطح ملی و بین‌المللی؛  
ایجاد بستر مناسب برای شناسایی و ارائه راه حل‌های مرتبط با مسائل مدیریت بحران در سطوح محلی، منطقه‌ای، ملی و بین‌المللی؛  
انتقال تجارب، ابتکار عمل‌ها و درس آموخته‌های مدیریت بحران با تاکید بر نقش مدیریت شهری؛  
کمک به ایجاد شبکه ارتباط علمی بین پژوهشگران، سیاستگذاران و برنامه‌ریزان مدیریت بحران کشور؛  
بسترسازی مناسب به منظور بهره‌برداری از تجربیات سایر کشورها با هدف بومی‌سازی تجربیات بین‌المللی مدیریت بحران

## محورها و زیرمحورهای تخصصی

### ۱. ایمنی، پیشگیری و کاهش خطر

#### ۱.۱. پیشگیری خطر

#### ۱.۲. ایمنی و مقاومسازی

#### ۱.۳. برنامه‌ریزی کاهش خطر

#### ۲. ارزیابی خطر

#### ۲.۱. شناسایی خطر

#### ۲.۲. ارزیابی خطر

#### ۳. آمادگی و برنامه‌ریزی پاسخ

#### ۳.۱. سیستم فرماندهی حادثه

#### ۳.۲. طرح‌ریزی واکنش در شرایط اضطراری

#### ۳.۳. برنامه عملیاتی در شرایط اضطراری

#### ۳.۴. تخلیه و اسکان اضطراری

#### ۳.۵. امداد و نجات

#### ۴. بازسازی و بازتوانی در بحران

#### ۴.۱. مدیریت تخریب و آوار

#### ۴.۲. بازیابی زیرساخت‌ها، حمل و نقل، مسکن، محیط‌زیست

#### ۴.۳. بازتوانی جسمی، روانی، اجتماعی و اقتصادی

#### ۴.۴. افراد با نیازهای خاص در بحران (سالماندان، کودکان، زنان، افراد دارای معلولیت، بیماران خاص و ...)

## ۵. مخاطرات طبیعی و انسان ساخت

۱.۵. مخاطرات زمین (زلزله و زمین لغزش، فرونشست و فرو ریزش زمین، آتش فشان، بیلابان زدایی و ...)

۲.۵. مخاطرات آب و هواشناسی (تفییرات اقلیمی، سیل، سیلاب، فرسایش خاک، بیلابان زدایی، آتش سوزی جنگل ها و مراعت، خشکسالی، طوفان و ...)

۳.۵. مخاطرات شیمیایی (آلودگی محیطی، آتش سوزی صنعتی ساختمانی، پسماندهای شیمیایی و ...)

۴.۵. مخاطرات حمل و نقل (حوادث و سوانح جاده ای، ریلی، هواپی، مترو، ازدحام جمعیت و ...)

۵.۵. مخاطرات زیستی (اپیدمی ها، تهدیدهای زیستی و ...)

## ۶. آینده پژوهی بحران

۱.۶. تحلیل های کمی و کیفی روندها

۲.۶. شناسایی ریسک ها و مخاطرات آتی

۳.۶. طراحی آینده مطلوب، ممکن و محتمل

۴.۶. سیاست گذاری و برنامه ریزی تفییرات برای آینده مطلوب

## ۷. مدیریت دانش بحران

۱.۷. مستندسازی

۲.۷. ثبت درس آموخته ها

۳.۷. تحلیل ریشه ای علل حوادث

## ۸. هوشمندسازی و فناوری های نوین

۱.۸. دستاوردهای دانش بنیان

۲.۸. فناوری های مبتنی بر تحلیل داده ها

۳.۸. مدیریت سیستم های اطلاعاتی

## ۹. اجتماعی و فرهنگی

۱.۹. جوامع محلی و مشارکت جامعه محور در بحران

۲.۹. مسئولیت اجتماعی (فردي، شركتی و سازمانی) در بحران

۳.۹. سرمایه اجتماعی در بحران

۴.۹. فرهنگ بحران

۵.۹. توانمندسازی، آموزش ایمنی و مدیریت بحران

۱۰. اقتصاد بحران و بیمه

۱۱. قوانین، مقررات، استانداردها و الزامات حقوقی مدیریت بحران

۱۲. اطلاع رسانی و رسانه در مدیریت بحران

۱۳. پدافند غیر عامل

۱۴. سلامت، ایمنی و محیط زیست (HSE)

## شیوه نامه نگارش مقاله

فصلنامه «دانش پیشگیری و مدیریت بحران» نشریه علمی با نمره ارزیابی «ب» از سوی وزارت علوم، تحقیقات و فناوری است که متعلق به سازمان پیشگیری و مدیریت شهر تهران است، و مقالاتی را که در زمینه مدیریت بحران و بر اساس چهار محور کلی پیشگیری و کاهش خطرپذیری، آمادگی، مقابله، و بازسازی و بازتوانی به رشتہ تحریر درآمده باشد، منتشر می‌کند. هدف از انتشار فصلنامه؛ تولید، ترویج و ارتقای سطح دانش نظری و تجربی در حوزه مدیریت بحران، بسط همکاری و تعامل علمی بین کنشگران حوزه مدیریت بحران به منظور تبادل آموخته‌ها و تجربیات، تقویت فضای گفتگو و نقدهای اندیشه در سطح ملی و بین‌المللی، کمک به ارتقای فرهنگ عمومی جامعه از طریق طرح موضوعات کاربردی و نظری مدیریت بحران با تأکید بر شهر تهران، و از همه مهم‌تر ایجاد پست مناسب برای توصیف، تبیین و ارائه راه حل برای رفع مشکلات و مسائل مبتلا به شهر تهران در حوزه مدیریت بحران و ارائه راهکارهای مناسب و کاربردی است.

فصلنامه دانش پیشگیری و مدیریت بحران، نشریه علمی است که به زبان فارسی با چکیده انگلیسی چاپ می‌شود. هیأت تحریریه پس از دریافت مقالات اقدام به بررسی مقاله از لحاظ ساختاری و موضوعی می‌نماید و چنانچه مقاله در بررسی اولیه مورد تایید باشد، برای داوری ارسال می‌شود. داوری در این مجله به صورت دوسوکور (Double Blind Review) انجام می‌شود. در این روش هم نویسنده‌گان و هم داوران گمنام هستند.

مقالات ارائه شده برای انتشار در فصلنامه «دانش مدیریت بحران» باید دارای ویژگی‌های زیر باشند:

- مقاله ارسالی به فصلنامه، نباید قبل از نشریه دیگری به چاپ رسیده و یا در نوبت چاپ باشد. همچنین مقاله ارسالی نباید در همایش‌های داخلی و خارجی ارائه شده باشد یا در کتاب مجموعه مقالات مربوط به همایش‌ها منتشر شده باشد.

- مسئولیت حقوقی مقاله از جنبه صحت مطالب ارائه شده به عهده نویسنده مسئول است و نشریه، مسئولیتی در این خصوص ندارد.

- سیاست فصلنامه، درج مقالات با رویکرد علمی حاصل از پژوهش است. لذا مقالاتی در چرخه داوری قرار می‌گیرند که ساختار مقالات علمی را داشته باشند.

- پذیرش اولیه مقاله، براساس رعایت راهنمای تدوین مقاله است و پذیرش نهایی و درج آن در فصلنامه، منوط به تأیید هیأت تحریریه و داوران است. نتیجه داوری به صورت کتبی و از طریق پست الکترونیک به اطلاع نویسنده مقاله خواهد رسید. لذا لازم است نویسنده مقاله آدرس پست الکترونیک خود را همراه با مقاله در اختیار دفتر فصلنامه قرار دهد.

- مقالات می‌توانند مبتنی بر پژوهش‌ها، پژوهش‌های انجام شده یا مطالعات علمی در زمینه مدیریت بحران باشند.

- فصلنامه «دانش پیشگیری و مدیریت بحران» در ویرایش مقالات آزاد است.

- مقالات ارسالی باید کلیه بخش‌های یک مقاله علمی را دارا باشد. بخش‌های اساسی یک مقاله علمی به ترتیب عبارتند از: عنوان، اسمی نویسنده (نویسنده‌گان)، چکیده، مقدمه، پیشینه تحقیق، روش تحقیق، یافته‌ها، بحث و نتیجه گیری و منابع. در ذیل به توضیح مختصر هریک از آنها پرداخته شده است.

### عنوان

عنوان مقاله باید متناسب با موضوع، اهداف و نتایج پژوهش باشد و بتواند موضوع پژوهش را به طور خلاصه برای خواننده ارائه کند، دارای کلمات یا عبارات اضافه نباشد و حتی المقدور از یک سطر بیشتر نباشد و تا حد امکان جامع و مانع باشد. در عنوان مقاله از کلمات انگلیسی استفاده نشود.

اسمی نویسنده (نویسنده‌گان) زیر عنوان مقاله درج شود. عنوان دانشگاهی با رتبه علمی نویسنده به صورت زیرنویس نوشته شود.

### چکیده

عصاره مقاله است که با خواندن آن اطلاعات اساسی درخصوص پژوهش، پژوهه یا مطالعات انجام شده به خواننده منتقل می‌شود. معمولاً بین ۱۵۰ تا ۴۰۰ کلمه است (از نیم تا یک صفحه). در چکیده ابتداء موضوع یا هدف پژوهش یا پژوهه در دو سطر توضیح داده می‌شود. آنگاه روش که شامل جامعه آماری، نمونه، روش اجرا، زمان و مکان اجرا و ابزار جمع‌آوری داده هاست مجموعاً در حداکثر سه تا چهار سطر توضیح داده می‌شود و سپس شرح تحلیل یا نتایج کلی پژوهش در دو تا سه سطر انجام می‌گیرد. در پایان چکیده کلیدواژه‌ها (حداکثر در ۶ کلمه) ذکر می‌شود.

نکات اصلی و کلیدی که باید در مقدمه یک مقاله علمی مورد توجه قرار بگیرد عبارتند از موضوع یا مساله پژوهش، پیشینه پژوهش و هدف از انجام پژوهش که باید به صورت ساده و روشن ارائه شوند. نویسنده باید در مقدمه به موارد ذیل به صورت شفاف بپردازد:

۱. هدف از انجام پژوهش یا پروژه؛

۲. تعریف دقیق اصطلاحات و مفاهیم بکار رفته در پژوهش یا پروژه؛

۳. پیشینه پژوهش یا پروژه (شامل مبانی نظری و تحقیقات انجام شده قبلی در زمینه پژوهش یا پروژه) که لازم است نقاط قوت یا احیاناً ضعف آنها تحلیل شود و چگونگی ارتباط آنها با تحقیق یا مقاله حاضر مشخص گردد؛

۴. سوالات یا فرضیاتی که تحقیق در پی پاسخ‌گویی به آنها است.

## روشن

این قسمت از یک مقاله علمی شامل توضیح در مورد نوع تحقیق (هم از جهت هدف در نظر گرفته شده برای پژوهش و هم از نظر روش انجام پژوهش یا پروژه)، جامعه و نمونه و روش نمونه‌گیری، ابزار تحقیق و روشن نمودن میزان روایی و پایایی ابزار و توضیح در خصوص چگونگی مراحل انجام پژوهش یا پروژه است.

## نتایج یا یافته‌های تحقیق

در این بخش نویسنده باید موارد ذیل را به صورت دقیق و خلاصه تبیین کند:

۱. یافته‌های حاصل از پژوهش یا پروژه؛

۲. بیان یافته‌ها به شیوه‌ای دقیق و روشن؛

۳. تحلیل این نکته که آیا نتایج بدست آمده پاسخگوی سوالات یا فرضیات تحقیق (در صورت وجود فرضیات) هست یا خیر؛

۴. مشخص نمودن یافته‌های مهم حاصل از این پژوهش یا پروژه.

## بحث

در تدوین این بخش از مقاله باید به طور کلی به مباحث زیر به صورت خلاصه پرداخته شود.

۱- ذکر اهداف انجام پژوهش یا پروژه؛

۲- تبیین میزان ارتباط یافته‌های حاصل از پژوهش یا پروژه با اهداف در نظر گرفته شده از انجام آن؛

۳- تعمیم‌پذیری یافته‌ها؛

۴- مقایسه یافته‌های پژوهش یا پروژه با پژوهش‌های قبلي و ذکر دلایل احتمالي برای توافق یا عدم توافق بین نتایج؛

## نتیجه‌گیری

نتیجه نهایی بدست آمده از انجام پژوهش یا پروژه.

حدودیت‌های پژوهش یا پروژه؛

پیشنهاد برای پژوهش‌ها یا پروژه‌های آینده در این خصوص؛

در هر پژوهش یا مطالعه علمی به منظور تبیین موضوع پژوهش در هریک از قسمت‌ها از جمله در مقدمه، پیشینه نظری، نوع پژوهش و ابزار پژوهش، روابطی و پایابی ابزار، نظرات و یافته‌های پژوهشی سایر پژوهشگران نیز به عنوان شاهد بر مذکوا آورده می‌شود. لذا لازم است نام خانوادگی نویسنده یا نویسنده‌گان و تاریخ انتشار اثر اعم از کتاب، مقاله و یا پایان‌نامه در پرانتز و بلافاصله بعد از مطلب استفاده شده آورده شود. در واقع یکی از ملاک‌های ارزشیابی یک مقاله علمی چگونگی استفاده از منابع بروز است. هر چه غنای علمی منابع استفاده شده در مقاله بیشتر باشد مقاله از استحکام علمی بیشتری برخوردار است. هنگامی که نام نویسنده و تاریخ انتشار اثری در پرانتز ذکر می‌شود باید در بخش پایانی مقاله، فهرست منابع به ترتیب حروف الفبا ارائه شود. در صورتی که از یک نویسنده چندین اثر در یک مقاله مورد استفاده قرار بگیرد برای شناسایی منبع باید از شماره‌های ۱ و ۲... یا حروف الفبا (الف، ب...) استفاده شود. نحوه نگارش منبع در مقالات معمولاً مشابه است. در ذیل نحوه نگارش منابع برای مقالات، کتاب‌ها، کتاب‌های ترجمه شده، پایان‌نامه‌ها و مقالات ارائه شده در کنفرانس‌ها آورده شده است.

توجه: منابع فارسی در مقالات با ذکر کلمه **Reference** به لاتین هم درج شود.

#### نحوه نگارش مقاله‌ها در فهرست منابع

نام خانوادگی، نام و یا حرف اول نام (سال انتشار مقاله)، عنوان مقاله، نام مجله، شماره مجله، صفحه شروع و پایان مقاله

نمونه: طباطبایی، فرزانه (۱۳۸۵)، آسیب شناسی تربیت دینی دانش آموزان مدارس شهر تهران، دانشور رفتار، ۲۱، صص ۴۳-۵۴

اگر مقاله بیش از یک نویسنده داشته باشد:

نمونه: رهنما، اکبر و طباطبایی، فرزانه و علیین، حمید (۱۳۸۵)، آسیب شناسی تربیت دینی دانش آموزان مدارس شهر تهران، دانشور رفتار، ۲۱، صص ۴۳-۵۴

#### نحوه نگارش منبع کتاب

نام خانوادگی، نام و یا حرف اول نام (سال انتشار کتاب)، عنوان کتاب، نام شهر محل انتشار، نام موسسه انتشاراتی.

نمونه: دلور، علی (۱۳۸۲)، روش تحقیق در روان شناسی و علوم تربیتی (ویرایش سوم)، تهران، نشر ویرایش

اگر کتاب بیش از یک نویسنده داشته باشد به ترتیبی که در مورد مقاله نیز گفته شد عمل می‌شود

#### نحوه نگارش منبع کتاب ترجمه شده در فهرست منابع

نام خانوادگی (مؤلف)، نام و یا حرف اول نام، (سال چاپ کتاب به زبان فارسی)، نام کتاب، نام مترجم، نام انتشاراتی، نام شهر.

نمونه: شیلوسون، ریچارد (۱۳۷۱)، استدلال آماری در علوم رفتاری، ترجمه علیرضا کیامنش، جلد دوم، چاپ دوم، انتشارات جهاد دانشگاهی، تهران

#### نحوه نگارش منبع پایان نامه در فهرست منابع

نام خانوادگی، نام، (سال دفاع از پایان نامه)، عنوان پایان نامه، مقطع دفاع، نام دانشگاه، نام شهر

نمونه: علیین، حمید (۱۳۸۵)، تربیت سیاسی از دیدگاه امام علی علیه السلام، پایان نامه کارشناسی ارشد، دانشگاه شاهد، تهران.

#### نحوه نگارش منبع مقالات ارائه شده در کنفرانس‌ها یا کنگره‌ها

نام خانوادگی، نام (سال برگزاری کنفرانس) موضوع مقاله در اولین یا چندین کنفرانس، شهر و کشور محل برگزاری کنفرانس

نمونه: طباطبایی، فرزانه (۱۳۸۵)، تربیت از دیدگاه امام سجاد علیه السلام با تأکید بر ادعیه صحیفه سجادیه، دومین جشنواره صحیفه سجادیه دانشگاهیان کشور، تهران، ایران.

#### نحوه نگارش منبع گرفته شده از شبکه اینترنت

نام خانوادگی نویسنده، نام، موضوع مقاله، تاریخ گرفتن از شبکه، آدرس سایت.

## منابع قابل استناد

منابعی که در تنظیم یک مقاله پژوهشی می‌توان به آنها استناد و از آنها استفاده نمود به ترتیب اولویت به شرح ذیل هستند.

۱. کتاب‌های منتشر شده در زمینه پژوهش مورد نظر: هرچه کتاب‌ها بروزتر و منابع دانشگاهی و تحقیقاتی شناخته شده‌تر بوده و از وزن علمی بالاتری برخوردار باشند در پژوهش با اطمینان بیشتری می‌توان از آنها استفاده نمود؛
۲. مقالات علمی منتشر شده در مجلات علمی - پژوهشی و علمی - بین‌المللی؛
۳. پایان نامه‌های دکتری و کارشناسی ارشد دانشجویان دانشگاه‌ها؛
۴. مقالات منتشر شده در همایش‌ها و کنفرانس‌های علمی معتبر؛
۵. سایت‌های علمی شبکه اینترنت.

لازم به ذکر است که معمولاً مطالب منتشر شده در روزنامه‌ها و نشریات غیرعلمی و غیرتخصصی قابل استناد یا استفاده در یک پژوهش علمی و یا تنظیم یک مقاله پژوهشی نیستند.



## فصلنامه علمی

### دانش پیشگیری و مدیریت بحران

تابستان ۱۴۰۴، دوره ۱۵، شماره ۲

### فهرست

<p>لرزیابی روند تغییرات مکانی و زمانی دمای منطقه‌ای تحت اثر گرمایش جهانی در استان تهران</p> <p>نیاوقر محمدی؛ زهرا حجازی‌زاده؛ پرویز ضیائیان فیروزآبادی؛ علیرضا کربلاوی</p>	<b>۱۱۷</b>
<p>پنهانبندی خطر وقوع سیلاب با استفاده از مدل منطق فازی، نمونه موردي: حوضه آبخيز لواسات</p> <p>حسیاد اصغری سراسکانزود؛ عقیل مددی؛ ماهرخ سردشتی</p>	<b>۱۱۸</b>
<p>شناسایی پیشران‌ها و پیامدهای کنشگری مؤثر رسانه‌های جریان اصلی در مدیریت بحران‌های اجتماعی سیاسی ایران</p> <p>میترا افضلی فاروجی؛ فاطمه استارمی</p>	<b>۱۶۳</b>
<p>ارائه الگوی همکارانه کمکرسانی در مدیریت بحران بهمنظور حداکثرسازی ارائه پوشش پژوهش‌دانانه به مناطق آسیبدیده از مخاطرات طبیعی</p> <p>کلنوتون چپرهی رجبی؛ راضیه کشاورز فرد</p>	<b>۱۸۵</b>
<p>مدل‌سازی و تحلیل دو سطحی مکان‌بایی-مسیربایی برای بهینه‌سازی امنادرسانی در بلایای طبیعی</p> <p>حسین جمالی؛ مهدی کبیری نایینی؛ زینب الهی</p>	<b>۲۰۵</b>
<p>ارائه مدل ارزیابی و تحلیل رسک دینامیک نشت گاز هیدروژن در یک واحد کلرزنی نیروگاه سیکل ترکیبی با استفاده از تکنیک پاییونی</p> <p>ایرج محمدفام؛ طاهره اسکندری</p>	<b>۲۳۳</b>
<p>لرزیابی تابآوری کالبدی و زیرساختی محدوده عملیاتی ایستگاه‌های آتش‌نشانی منطقه ۲۰ شهر تهران با استفاده از سامانه GIS</p> <p>اسلام‌علی خدابنده‌لو؛ امیرهونم حمصن؛ اکرم‌الملوک لاهیجانیان؛ امیرحسام حستی؛ علی محمدی</p>	<b>۲۴۵</b>



## Research Paper

# Spatiotemporal Changes in Regional Temperature Influenced by Global Warming in Tehran Province, Iran



Nilofar Mohammadi<sup>1</sup> , Zahra Hejazizadeh<sup>1</sup> , Parviz Zeaiean Firouzabadi<sup>2</sup> , AliReza Karbalaei<sup>2</sup>

1. Department of Climatology, Faculty of Geographical Sciences, Kharazmi University, Tehran, Iran.

2. Department of Remote Sensing and GIS, Faculty of Geographical Sciences, Kharazmi University, Tehran, Iran.



**Citation** Mohammadi, N., Hejazizadeh, Z., Zeaiean Firouzabadi, P., Karbalaei, A. (2025). [Spatiotemporal Changes in Regional Temperature Influenced by Global Warming in Tehran Province, Iran (Persian)]. *Disaster Prevention and Management Knowledge*, 15(2):124-143. <https://doi.org/10.32598/DMKP.15.2.904.1>



<https://doi.org/10.32598/DMKP.15.2.904.1>

## ABSTRACT

**Background and objective** Urban development has changed the characteristics of the land surface. These changes have the potential to influence weather patterns at a local scale. Consequently, with the rise in temperature, urban areas face a significant challenge known as the urban heat island (UHI) effect. This study aims to investigate the spatiotemporal changes in regional temperature and the UHI extent in Tehran Province, Iran, using both meteorological and remote sensing data.

**Method** Daily temperature data from synoptic stations in Tehran (Shemiran, Chitgar, Mehrabad, Abali, Firuzkuh, and Geophysics) from 1996 to 2020 were obtained from the National Meteorological Organization to examine the temperature change using the Mann-Kendall test. To measure the regional average temperature based on MODIS images, the monthly land surface temperature (LST) data during 2014-2024 were downloaded from NASA's website and calculated in ArcGIS Pro software. To prepare the UHI map, profile, and extent, Landsat 8 satellite images for 2024 were obtained from the USGS website and the thermal profile was drawn for the Tehran districts (1, 9, 18, 22) based on the highest LST. The Climate Engine application was used to prepare the maps for the normalized difference vegetation index (NDVI) and LST between 2013 and 2024.

**Results** All stations' temperatures showed an increasing trend except for Chitgar. The highest regional temperatures were seen in July and August. In 2015, Varamin and Rey cities experienced the highest LST in these months (52.5 °C), which increased to 52.97 °C in 2018. The study of the relationship between the trend in NDVI and LST showed a direct and inverse relationship. The examination of the UHI extent showed that the heat sources were in the south, southeast, west, southwest, and northern regions of Tehran. The air temperature and LST both showed similar and consistent change patterns in June and July.

**Conclusion** This study reveals that climate change, caused by global warming, summer subtropical high-pressure system, and air subsidence in Iran, as well as increased greenhouse gas emissions, land-use changes, and vegetation loss, have significantly altered the spatiotemporal patterns of temperature in urban areas of Tehran. The findings of this research can be utilized in developing long-term plans for adapting to climate change in the field of urban crisis management.

**Keywords** Climate Change, Greenhouse gases, Land surface temperature, Vegetation index, MODIS, Global warming

### Article Info:

Received: 21 Nov 2024

Accepted: 02 Mar 2025

Available Online: 01 Jul 2025

\* Corresponding Author:

Zahra Hejazizadeh, Professor.

Address: Department of Climatology, Faculty of Geographical Sciences, Kharazmi University, Tehran, Iran.

Tel: +98 (21) 88329220

E-mail: [hejazizadeh@knu.ac.ir](mailto:hejazizadeh@knu.ac.ir)



Copyright © 2025 The Author(s).

This is an open access article distributed under the terms of the Creative Commons Attribution License (CC-BY-NC: <https://creativecommons.org/licenses/by-nd/4.0/legalcode.en>), which permits use, distribution, and reproduction in any medium, provided the original work is properly cited and is not used for commercial purposes.



## Extended Abstract

### Introduction

**T**oday, with the development of urbanization, cities have influenced the local, regional, and even global climate. One of the key elements in climatology studies is microclimate, since the effects of small local climates cause global climate changes. These changes have significantly contributed to the increase in the average global temperature. Vegetation loss, changes in land use, migration from rural to urban areas (population growth), agriculture, deforestation, and most importantly, the increase in greenhouse gases and the heat dissipated by human activities have caused urban warming and intensified the heat island effect in cities. This study aims to investigate the spatiotemporal changes in regional temperature and the extent of the urban heat island (UHI) in Tehran Province, Iran.

### Methods

To investigate the temperature, the Mann-Kendall statistical test and Landsat 8 satellite and MODIS images were used. In the first step, the daily temperature of Tehran synoptic stations (Shamiran, Chitgar, Mehrabad, Abali, Firouzkoh, and Geophysics) from 1996 to 2020 were obtained from the National Meteorological Organization. Then, to investigate the trend of temperature change based on a monthly time series over time, the Mann-Kendall test was used. To measure the average regional temperature based on the MODIS images (MOD11C3 product), 53 monthly time series images of land surface temperature (LST\_Day\_CMG) were downloaded from the NASA's website for the years 2014-2024. Then, in order to prepare the map and profile of the UHI, Landsat 8 satellite images (band 10) were obtained for a period of one year (2024). After determining the maximum land surface temperature (LST) in Tehran, the temperature profiles of four districts (no. 1, 18, 9, 22) from among 22 different districts were drawn. Finally, using the Climate Engine software, the normalized difference vegetation index (NDVI) and LST changes were investigated.

### Results

Temperature time series analysis of selected stations (Shamiran, Chitgar, Mehrabad, Abali, Firouzkoh, and Geophysics) for 1996-2020 showed an increasing trend in all stations except for Chitgar station. Examining the average regional temperature of cities in Tehran Province for the years 2014-2024 based on the MODIS data

showed the highest regional temperature in July and August. In these months of 2015, Varamin and Rey cities experienced the highest LST (52.50 °C). Three years later in these months of 2018, this figure reached 52.97 °C. In 2022 and 2023, in the same months, Varamin, Mallard, Rey, Pakdasht, and Pishva cities experienced a temperature of 48 °C.

Expansion of construction, vegetation loss, and consumption of fossil fuels were the factors involved in increasing the LST. Investigating the relationship between the trend in NDVI and LST based on Landsat 8 images between 2013 and 2024 showed that they had a direct and inverse relationship with each other, such that in June, July, and August of 2017, 2019, and 2024, it was observed that with a slight increase in NDVI, the LST reached 51.21 °C. This was more evident in the western, northern, and southwestern regions. Moreover, on October 28, 2020, the NDVI was -0.0, while in December and November of 2018, 2023, and 2021, it reached -0.03, -0.03, and -0.04, respectively. Thus, the slight increase in vegetation cover has not been able to justify the increase in temperature in the summer and autumn seasons. Investigating the expansion of UHI based on Landsat 8 images in 2024 showed that the most heat sources were in the south, southeast, west, north, southwest, and northern areas of Tehran, but the LST in June 2024 reached 52 °C, which was more evident in districts 9 and 22. Although air temperature and LST showed different values in the districts of Tehran, they had similar patterns of changes in June and July.

### Conclusion

This study reveals that climate change, caused by global warming, summer subtropical high-pressure system, and air subsidence in Iran, as well as increased greenhouse gas emissions, land-use changes, and vegetation loss, have significantly altered the spatiotemporal patterns of temperature in urban areas of Tehran. The findings of this research can be utilized in developing long-term plans for adapting to climate change in the field of urban crisis management.

### Ethical Considerations

#### Compliance with ethical guidelines

All ethical principles were considered. Since there was no experiment on human or animal samples, the need for an ethical code was waived.



## Funding

This work is based upon research funded by [Iran National Science Foundation \(INSF\)](#) under project (Grant No.:4038495).

## Authors' contributions

Conceptualization, software/statistical analysis, and initial draft preparation: Niloofar Mohammadi; Supervision, review and editing: Zahra Hejazizadeh, Parviz Zeaiean Firouzabadi, and Alireza Karbalaee.

## Conflicts of interest

The authors declared no conflict of interest.

## Acknowledgments

The authors would like to thank the [Iran National Science Foundation \(INSF\)](#) for the financial support.



## مقاله پژوهشی

# ارزیابی روند تغییرات مکانی و زمانی دمای منطقه‌ای تحت اثر گرمایش جهانی در استان تهران

نیلوفر محمدی<sup>۱</sup>، زهرا حجازی‌زاده<sup>۱</sup>، پرویز ضیائیان فیروزآبادی<sup>۲</sup>، علیرضا کربلایی<sup>۱</sup>

۱. گروه آب و هواشناسی، دانشکده علوم جغرافیایی، دانشگاه خوارزمی، تهران، ایران

۲. گروه سنجش از دور و سیستم اطلاعات جغرافیایی، دانشکده علوم جغرافیایی، دانشگاه خوارزمی، تهران، ایران



**Citation:** Mohammadi, N., Hejazizadeh, Z., Zeaiean Firouzabadi, P., Karbalaei, A. (2025). [Spatiotemporal Changes in Regional Temperature Influenced by Global Warming in Tehran Province, Iran (Persian)]. *Disaster Prevention and Management Knowledge*, 15(2):124-143. <https://doi.org/10.32598/DMKP.15.2.904.1>

**doi:** <https://doi.org/10.32598/DMKP.15.2.904.1>

## حکم\*

**جنبه و هدف:** شهرها با توسعه خود بهطور قابل توجهی ویژگی‌های سطح زمین را تغییر داده‌اند. این تغییرات توانسته در مقیاس محلی بر الگوهای آب‌هوایی اثر داشته باشد. بنابراین شهرها با افزایش دما، با یک چالش بزرگ به نام جزیره حرارتی مواجه شدند. هدف این مطالعه بررسی روند تغییرات مکانی و زمانی دمای منطقه‌ای و گستردگی جزیره حرارتی در استان تهران است. یکی از رویکردهای نوآورانه در این پژوهش تلفیق دیده‌های سنجش از دور و مدل‌سازی است.

**مشذب:** داده‌های دمای روزانه ایستگاه‌های سینوپتیک تهران (شمیران، چیتگر، مهرآباد، آبعلی، فیروزکوه و ژوفیزیک) از سال ۱۹۹۶ تا ۲۰۲۰ از سازمان هواشناسی جهت بررسی روند دما با آزمون من کنده، اخذ شد. جهت محاسبه میانگین دمای منطقه‌ای، تصاویر سنجنده مودیس دمای ماهانه سطح زمین از سایت ناسا طی سال‌های ۲۰۲۴ تا ۲۰۱۴ دانلود و در محیط Arc GIS Pro محاسبه شد. جهت تهیه نقشه، پروفیل و گستردگی جزیره حرارتی تصاویر ماهواره‌ای لندست ۸ در سال ۲۰۲۴ از سایت USGS دریافت شد و پروفیل حرارتی مناطقی از تهران (۲۲۰۱۸، ۹۰۱) براساس بالاترین دمای سطح زمین، ترسیم شد. جهت تهیه نقشه روند تغییرات شاخص پوشش گیاهی و دمای سطح زمین بین سال‌های ۲۰۱۰ تا ۲۰۲۴ از برنامه Climate Engine بهره گرفته شد.

**یافته‌ها:** الگوی رفتاری دما در ایستگاه‌های شمیران، چیتگر، مهرآباد، آبعلی، فیروزکوه و ژوفیزیک به جز چیتگر افزایشی بود. بررسی میانگین دمای منطقه‌ای شهرستان‌های تهران بالاترین دمای منطقه‌ای را در ماه‌های جولای و آگوست نشان داد که در سال ۲۰۱۵ به ۵۲/۰ درجه سانتی گراد رسید. بررسی روند را بطه شاخص پوشش گیاهی و دمای روبه زمین نشان داد این دو با هم رابطه مستقیم و معکوسی دارند. بررسی گسترش جزیره حرارتی نشان داد تمرکز کانون گرمایشی در تواحی جنوب، جنوب شرق، غرب و شمال و جنوب غرب و مناطق شمال تهران است. شاخص اقلیمی دمای هوا و دمای روبه زمین هر دو از لحاظ الگوی تغییرات دما در ماه‌های زمستان و جولای مشابه هم بودند و عملکرد یکسانی داشتند.

**نتیجه‌گیری:** مطالعه حاضر نشان می‌دهد تغییر اقلیم ناشی از گرمایش جهانی، استقرار پر فشار جنب حرله تابستانه و فرونگشتی هوا در ایران، همراه با افزایش گازهای گلخانه‌ای و تغییرات کاربری اراضی، بهویژه از بین رفتن پوشش گیاهی، موجب شده است الگوهای دمایی در مناطق شهری تهران دستخوش تغییرات مکانی و زمانی قابل توجهی شوند. یافته‌های این پژوهش می‌تواند در تدوین برنامه‌های پلندمنت برای سازگاری با تغییر اقلیم از حیطه مدیریت بحران در شهرها مورد استفاده قرار گیرد.

**کلیدواژه‌ها:** تغییر اقلیم، دمای سطح زمین، گازهای گلخانه‌ای، مودیس، مدل‌سازی

اطلاعات مقاله

تاریخ دریافت: ۱۰ آذر ۱۴۰۳

تاریخ پذیرش: ۱۲ اسفند ۱۴۰۳

تاریخ انتشار: ۱۰ تیر ۱۴۰۴

\* نویسنده مسئول:

دکتر زهرا حجازی‌زاده

نشانی: تهران، دانشگاه خوارزمی، دانشکده علوم جغرافیایی، گروه آب و هواشناسی

تلفن: +۹۸ (۰۲۱) ۸۸۳۳۹۲۲۰

پست الکترونیکی: hejazizadeh@knu.ac.ir



Copyright © 2025 The Author(s).

This is an open access article distributed under the terms of the Creative Commons Attribution License (CC-BY-NC: <https://creativecommons.org/licenses/by-nc/4.0/legalcode.en>), which permits use, distribution, and reproduction in any medium, provided the original work is properly cited and is not used for commercial purposes.

## مقدمه

لوك هاوارد، نخستین فردی است که در سال ۱۸۰۶ تفاوت دمای شهر لندن و حومه را با در نظر داشتن تراکم و توسعه شهری مورد مطالعه قرار داد (استورات، ۲۰۱۹). مرور مطالعات نشان می‌دهد، تحقیقات گستردگی در زمینه روند دمای منطقه‌ای و میانگین دمای جهانی انجام شده است (عزیزی و همکاران، ۱۳۸۴) و از دیرباز تا کنون مطالعه جزیره حرارتی و تغییر اقلیم در شهرها مورد اقبال پژوهشگران داخل و بین‌الملل است. از لحاظ روش‌شناسی مطالعه جزیره حرارتی و دمای رویه زمین به ۲ دسته (فناوری سنجش از دور و مدل‌سازی) تقسیم شده است. دسته اول، روش سنجش از دور، در پژوهش‌ها به عنوان تکنیکی در نظر گرفته شده است که امکان پایش جزیره حرارتی در سطح شهری (یک منطقه بزرگ) در یک زمان معین را دارد و آن را پوشش می‌دهد. دسته دوم، روش مدل‌سازی، برای تحلیل و شبیه‌سازی محیط‌های حرارتی در یک بخش شهری است و شامل مدل‌های جوی، مدل‌های دینامیکی است که توزیع دمای منطقه‌ای و مبدلات تابشی و حرارتی بین بافت شهری و جو را بررسی می‌کنند (بهی و همکاران، ۲۰۲۰).

در این راستا، رنجبر سعادتی و همکاران (۱۳۸۴)، به مطالعه شبیه‌سازی عددی جزیره حرارتی تهران با مدل MM5 پرداختند. نتایج نشان داده در زمان استقرار توده هوای گرم، شرایط گسترش جزیره حرارتی در شب شکل نمی‌گیرد و شدت ضعیفی دارد، اما در زمانی که توده هوای سرد استقرار دارد، شدت جزیره حرارتی بیشتر است و در نیمه شمالی تهران شکل می‌گیرد. مطالعه شکیبا و همکاران (۱۳۸۸)، در رابطه پوشش اراضی و جزیره حرارتی در تهران نشان داد ضمن اینکه جذب و ذخیره انرژی تابشی در سطوح غیرقابل نفوذ اثر گرمایشی دارد، پوشش گیاهی با ایجاد تعادل بین تبخیر و تعرق و ایجاد سایه اثر خنک‌کننده دارد. صادقی نیا و همکاران (۱۳۹۱)، به مطالعه تحلیل مکانیزم‌زنی جزیره حرارتی در کلان شهر تهران پرداختند و نتایج این پژوهش نشان داده است در مناطق غربی و جنوب غرب تهران به دلیل کاهش پوشش گیاهی و توسعه کاربری‌های کارگاهی و صنعتی جزیره حرارتی شدت داشته است.

مسعودیان و ترکی (۱۳۹۸)، به بررسی تغییرات زمانی مکانی جزیره حرارتی در اهواز پرداختند. نتایج این مطالعه نشان داد اهواز در روز به میزان ۲ درجه سانتی گراد سرددتر است، بنابراین با رخداد جزیره سرمایی رویه را است. این در حالی است که در شب ۲/۲ درجه سانتی گراد از محیط اطرافش گرم‌تر بوده و دمای بالاتری دارد که با شکل گیری جزیره حرارتی رویه را است. شیخی و همکاران (۱۳۹۹)، به بررسی شبیه‌سازی عددی عملکرد برنامه‌های کنترلی جزیره گرمایی تاپستانه با مدل میان مقیاس WRF در تهران پرداختند. نتایج نشان داد با توجه به تپوگرافی تهران و دمای بالا در این منطقه، ستاریوی تغییر آلیدو سطوح، بالاترین اثر را در سطح زمین نسبت به ۲ ستاریوی کاهش تراکم ساختمانی و افزایش مناطق سبز شهری دارد. در نتیجه تهران در

امروزه با گسترش شهرنشینی، شهرها بر اقلیم محلی، منطقه‌ای تا سطح جهانی اثر گذاشته‌اند و توانسته‌اند بر الگوهای آبوهوازی اثرات قابل توجهی داشته باشند (آدیری و همکاران، ۲۰۲۴؛ امانوئل و کروگر، ۲۰۱۲). تغییرات آبوهوازی در سطح جهانی ناشی از اثرات اقلیم‌های کوچک محلی است. این تغییرات بهطور قابل توجهی به افزایش میانگین دمای جهانی کمک کرده است (نمیس نگس و همکاران، ۲۰۲۴؛ هیئت بین‌الدول تغییر اقلیم، ۲۰۲۱). از بین بردن پوشش گیاهی، سطوح غیرقابل نفوذ، محدود بودن فضاهای سبز و آبی، تغییرات کاربری، مهاجرت از روستا به شهر (افزایش جمعیت)، کشاورزی، جنگل‌زدایی و مهم‌تر از همه افزایش گازهای گلخانه‌ای ناشی از فعالیت‌های انسانی موجب گرمایش شهری و تشدید جزیره حرارتی در شهرها شده است (هیئت بین‌الدول تغییر اقلیم، ۲۰۲۲؛ لیو و همکاران، ۲۰۲۴؛ آشوبکه و همکاران، ۲۰۲۴؛ حجازی‌زاده و مقیمی، ۱۳۸۱؛ حجازی‌زاده و مقیمی، ۱۳۸۶).

مناطق شهری در مقایسه با محیط روستایی، دستاوردهای حرارتی بالاتری دارند، این دینامیک به عنوان پدیده جزیره گرمایی شهری شناخته شده است (لیو و همکاران، ۲۰۲۴؛ حجازی‌زاده و مقیمی، ۱۳۸۱). از دیدگاه اقلیمی، ۳ مؤلفه اصلی (سامانه‌های همیدید، باد و ابرناکی) بر شدت و ضعف جزیره حرارتی نقش دارند. در زمانی که آسمان بدون ابر باشد، اختلاف دما بین شهر و روستا زیاد است و در شرایطی که همراه با سرعت باد و هوا ناپایدار باشد، اختلاف حرارتی بین شهر و روستا کم می‌شود و از شدت جزیره حرارتی کاسته می‌شود. اما شدت جزیره حرارتی در زمان استقرار سامانه‌های آنتی‌سیکلونی بیشتر از شرایط سیکلونی است (اسکورو، ۱۳۷۷؛ خداجو و همکاران، ۱۴۰۰). بنابراین جزیره حرارتی بر عناصر اقلیمی اثرگذار است. این مشکل در آینده به دلیل تغییر اقلیم در شهرها شدیدتر خواهد شد (جی و همکاران، ۲۰۲۴؛ لیو و همکاران، ۲۰۲۴). در ایران، تهران یکی از استان‌هایی است که با تمام مشکلات عنوان شده، بافتی متراکم با بالاترین نرخ جمعیت و شهرنشینی و صنعت دارد (سودودی و همکاران، ۲۰۱۴؛ هیئت بین‌الدول تغییر اقلیم، ۲۰۲۱).

تهران، تاکنون ۱۷ موج گرمایی را تجربه کرده است که منجر به مرگ و میر ۱۰۶۹ نفر شده است (احمدنژاد و همکاران، ۲۰۱۳). بنابراین انجام مطالعه‌ای جهت روند تغییرات مکانی و زمانی دما در این استان ضروری به نظر می‌رسد. پیشینه مطالعاتی نشان می‌دهد زمینه پژوهش در حیطه گرمایش جهانی از سال ۱۹۱۱ در انجمن سلطنتی هواشناسی آغاز شد و در انگلستان، ثبت دما از سال ۱۶۵۹ به صورت منظم شروع شده است (عزیزی، ۱۳۸۳). این داده‌ها، زمینه‌ای ارزشمند برای تحلیل روند تغییرات دمایی در طول سالیان را فراهم آورده‌اند (وابل و واپتهد، ۲۰۱۳).

مناطق شهری و حومه در زمان رخداد موج گرما شدت و گسترش می‌یابد این در حالی است که وجود فضاهای سبز شهری می‌تواند اثر جزیره حرارتی را به حداقل برساند.

**تابویسیتیون و همکاران (۲۰۲۳)**، به مطالعه پیش‌نمایی روند جزیره حرارتی ناشی از تغییر اقلیم و دمای رویه زمین طبق ستاریوهای RCP8.5 و RCP4.5 در تایلند پرداختند. یافته‌های این پژوهش نشان داده است در حالی که شاخص‌های حدی سرد روند نزولی را نشان داده است، شاخص‌های گرم روند افزایشی و صعودی داشته است؛ یعنی در ماههای آینده تایلند دماهای بالاتری را تجربه خواهد کرد که این مسئله به تشددی جزیره حرارتی و افزایش دمای سطح زمین کمک خواهد کرد.

**سیسوانتو و همکاران (۲۰۲۳)**، به مطالعه ویژگی‌های مکانی و زمانی جزیره حرارتی در جاکارتا پرداختند. نتایج نشان داده است دمای روزانه و شبانه در مرکز شهر بسیار بالاتر از نواحی اطراف بوده است. بهطوری که اختلاف دمای رویه زمین بین ۳ الی ۶ درجه سانتی‌گراد و دمای هوا بین ۱ الی ۲/۵ درجه سانتی‌گراد بین نواحی مرکزی شهر و نواحی اطراف کاملاً مشهود است. با توجه به فعالیت‌های اقتصادی، رشد جمعیت اثرات قابل توجهی در شدت جزیره حرارتی خواهد داشت و شدت و گسترش جزیره حرارتی بیشتر در جهت شمال به جنوب و شرق به غرب جاکارتا بوده است. **بوناچی و همکاران (۲۰۲۴)**، به بررسی توسعه جزیره حرارتی و گرمایش جهانی از سال ۱۹۸۱ تا ۲۰۲۱ در زاگرب (کرواسی) پرداختند. این پژوهش نشان داده است تغییرپذیری دما (روزانه، ماهانه و سالانه) در کلیه ایستگاه‌ها روند افزایشی داشته است. بهطوری که بیشترین شدت جزیره حرارتی در ایستگاه ماکسیمیر مشاهده شده است.

**گوپتا و همکاران (۲۰۲۴)**، به مطالعه ارزیابی مشخصه‌های حرارتی و دینامیک سطح زمین در هند پرداختند. یافته‌های این پژوهش نشان داد ضمن اینکه بین سال‌های ۲۰۰۳ تا ۲۰۱۴ دما در فصل تابستان حدود ۴ درجه سانتی‌گراد افزایش داشته است، شدت جزیره حرارتی ۲۸/۵۲ درصد نسبت به ۲ دهه اخیر در فصل زمستان افزایش یافته است. این افزایش دما و توسعه جزیره حرارتی به عواملی چون کاربری اراضی و الگوهای آبوهای محلی مرتبط بود. همان‌گونه که پیشینه مطالعاتی نشان می‌دهد قسمتی از مطالعات یا به گرمایش جهانی یا به جزیره حرارتی اختصاص داشته است و مطالعاتی مشابه از گذشته تاکنون توسط پژوهشگرانی (منصوری و همکاران، ۱۴۰۰؛ صادقی‌نیا و همکاران، ۱۳۹۱؛ شکیبا و همکاران، ۱۳۸۸) صورت گرفته است، اما شکاف مطالعاتی موجود، تفاوت در مقیاس‌های زمانی و مکانی، همچنین فقدان یک مطالعه جامع در دید گستردگر کل مناطق تهران و پیوند آن با گرمایش جهانی است.

مطالعات بسیار اندکی در ارتباط با روند تغییرات فضایی و زمانی به صورت میانگین دمای منطقه‌ای از منظر گسترش جزیره

مقابل استرس گرمایی آسیب‌پذیری بالایی را دارا است.

**نصیری و همکاران (۱۴۰۰)**، به بررسی تغییر اقلیم و چالش‌های ارزیابی کمی تغییر اقلیم در تهران پرداختند. نتایج این مطالعه نشان داده است با توجه به مناطق پرtraکم تهران، طی دوره ۳۰ ساله (۱۹۹۱ تا ۲۰۲۰) این کلان‌شهر افزایش دما و کاهش رطوبت را تجربه کرده است که اثرات تغییر اقلیم با شکل‌گیری جزیره حرارتی خیلی بیشتر خواهد شد. **متاحی و همکاران (۱۴۰۱)**، به بررسی تغییرات فضایی زمانی الگوی جزیره حرارتی در تهران پرداختند. نتایج نشان داد در مناطق شمالی تهران میزان نقاط سرد قابل توجه است. در حالی که در محدوده‌های غرب، غربی و جنوب شرق تهران شکل‌گیری نقاط داغ شدت داشته است. درنهایت، آزاده و اعتمادی کیا (۱۴۰۳)، در مطالعه‌ای مدل‌سازی گسترش فضایی جزایر حرارتی در رشت را مورد واکاوی قرار دادند. نتایج همپوشانی شاخص‌ها نشان داد در محلات پیرسرا و ضیابری روند گسترش فضایی جزیره حرارتی بیشتر است و در ۲۶ محله کلان‌شهر رشت، احتمال شکل‌گیری جزیره حرارتی بسیار بالا است.

**لی و همکاران (۲۰۰۴)**، به مطالعه اثر جزیره حرارتی بر میانگین دمای سالانه طی ۵۰ سال گذشته در چین پرداختند. نتایج نشان داد اثر جزیره حرارتی بر میانگین دمای سالانه از منطقه‌ای به منطقه دیگر تفاوت داشت. در دره رودخانه یانگ تسه و جنوب چین، اثر جزیره حرارتی روند گرمایش را حدود ۰/۱۱ درجه سانتی‌گراد در هر دهه افزایش داده است. در حالی که در شمال شرق، شمال چین، و شمال غربی، جزیره حرارتی اثر جزئی بر روند گرم شدن دمای سالانه منطقه دارد. **شوال و همکاران (۲۰۰۹)**، به بررسی جزیره حرارتی و اثر دماهای حدی در جولای ۲۰۰۷ در بخارست پرداختند. نتایج نشان داده است در روز، دماهای حدی تغییرات قابل توجهی در ویژگی‌های جزیره حرارتی ایجاد می‌کند، بهطوری که قادر است شدت جزیره حرارتی را در مناطقی محو و پراکنده کند یا گسترش دهد و در برخی نقاط دیگر باعث شود جزیره‌های حرارتی جایه‌جا شود.

**لاووت و همکاران (۲۰۱۵)**، به بررسی جزیره حرارتی برای ۸ مورد از شهرهای جهان با بهره‌گیری از مدل‌های URBCLIM و CMIP5 پرداختند. نتایج نشان داد طبق ستاریوی RCP8.5 (۲۰۰۵-۱۹۸۶) و افق آتی (۲۱۰۰-۲۰۸۱) در همه شهرهای مدنظر (آلمادا، آنتروب، برلین، بیلبائو، لندن، نیویورک، ریودوژانیرو و اسکوپیا) هم دمای شهری و روسانی تا ۷ درجه سانتی‌گراد افزایش یافته و بهشت گرمتر خواهد شد. اما گسترش شدت جزیره حرارتی در برخی از شهرها ضعیفتر خواهد بود. در مطالعه‌ای گالدیس و لو (۲۰۲۰)، به بررسی اثرات جزیره حرارتی، دماهای حدی و تغییر اقلیم با بهره‌گیری از مدل MAGICC و تصاویر ماهواره‌ای لندست ۸ در هنگ‌کنگ پرداختند. آن‌ها دریافتند شکل‌گیری و اثرات جزیره حرارتی در

۱۳۹۱، علی محمدی، ۱۳۸۸؛ آمارنامه شهر تهران، (۱۳۹۶).

### داده‌ها

در این پژوهش به ۲ روش هواشناسی و فناوری سنجش از دور پرداخته شده است. مطالعه حاضر، از نوع کمی، استنادی و کتابخانه‌ای است. تمرکز این پژوهش بر بررسی روند تغییرات مکانی و زمانی دمای منطقه‌ای و گستردگی جزیره حرارتی در استان تهران است. بررسی منابع و پیشینه برای مطالعات استنادی و کتابخانه‌ای است و جهت بررسی دما از ترکیب روش‌های آزمون آماری من کنдал و تصاویر ماهواره‌ای جهت تحقق هدف بهره‌گرفته شده است. در گام اول داده‌های پارامتر دمای روزانه ایستگاه‌های سینوپتیک تهران (شمیران، چیتگر، مهرآباد، آبعلی، فیروزکوه و ژئوفیزیک) از سال ۱۹۹۶ تا ۲۰۲۰ از سازمان هواشناسی کشور اخذ شد. طبق توصیه سازمان هواشناسی برای بررسی تغییر اقلیم نیاز به داده‌های بالای ۳۰ سال است (شیخ و همکاران، ۱۴۰۰).

مبانی انتخاب ایستگاه‌ها براساس دوره آماری مشترک است. طبق داده‌های دریافتی از سازمان هواشناسی کشور، داده‌های پارامترهای اقلیمی، از جمله دمای استان تهران از سال ۱۹۵۱ در برخی از ایستگاه‌ها در دسترس بود، اما در ایستگاه‌های دیگر به دلیل تازه تأسیس بودن ایستگاه‌ها یا فقدان دوره آماری مشترک و نواقص آماری، نیاز به بازسازی بلندمدت داده‌ها (بیشتر از ۳ سال) داشت که در مطالعات تغییر اقلیم توصیه نمی‌شود (عزیزی و همکاران، ۱۳۸۴). بنابراین از بین ۱۲ ایستگاه سینوپتیک تهران، تنها ۶ ایستگاه (شمیران، چیتگر، مهرآباد، آبعلی، فیروزکوه و ژئوفیزیک) که دارای دوره مشترک آماری بالای ۲۰ سال بودند انتخاب شدند و سپس کنترل کیفی داده‌ها انجام شد. جهت بررسی روند پارامتر دما به صورت سری زمانی ماهانه، از گذشته تاکنون (در طول زمان) از آزمون من کنдал که یکی از رایج‌ترین و پرکاربردترین ابزارهای است، برای آماره Z، براساس سطح معنی داری ۹۵ و ۹۹ درصد از ماکرو اکسل بهره گرفته شده است (رجیمزاده و همکاران، ۱۳۸۲؛ رحیم‌زاده و عسگری، ۱۳۸۳؛ سلمی، ۱۴۰۲؛ کاپر و همکاران، ۲۰۱۲).

مطالعه دمای سطح زمین در مطالعات اقلیم‌شناسی یکی از متغیرهای مهم است و از نظر پژوهشگران کاربردهای متعددی در علوم محیطی داشته است (حجازی‌زاده و همکاران، ۱۳۹۲)، بنابراین در گام بعدی جهت محاسبه میانگین دمای منطقه‌ای از تصاویر سنجنده مودیس (MOD11C3) استفاده شد. تصویر سری زمانی ماهانه پارامتر دمای سطح زمین (LST\_Day\_CMG) از سایت ناسا<sup>۱</sup> طی سال‌های ۲۰۱۴ الی ۲۰۲۴ برای دوره گرم سال با فرمت HDF دانلود شد (کربلایی و همکاران، ۱۴۰۰).

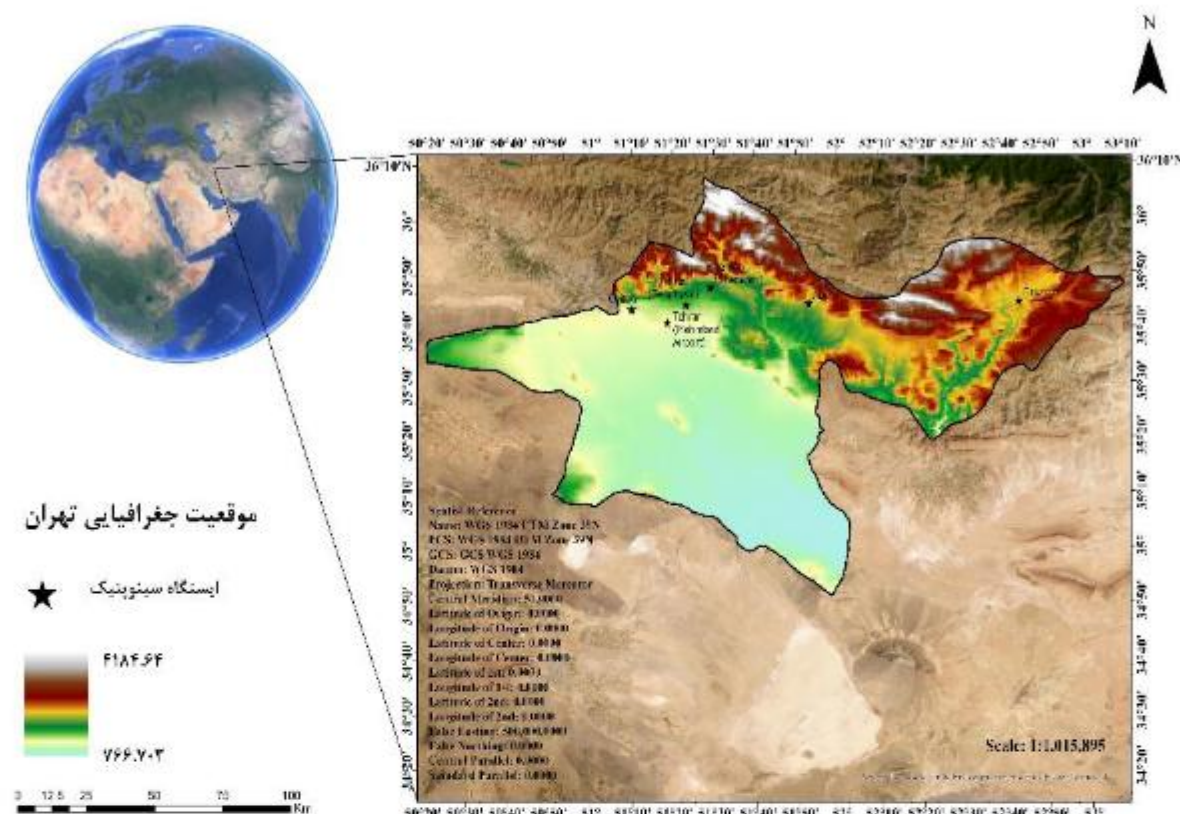
حرارتی صورت گرفته است که آن را به گرمایش جهانی نسبت می‌دهد. بنابراین در این مطالعه به صورت چشمگیر به این موضوع پرداخته شده است. به عبارتی دیگر، یکی از رویکردهای نوآورانه در این پژوهش تلفیق دید هواشناسی و سنجش از دور است که با به کارگیری داده‌های مودیس و لندست برای اولین بار میانگین دمای منطقه‌ای شهرستان‌های تهران همراه با پروفیل حرارتی از مناطق مستعد به گرمایش جهانی مورد بررسی قرار گرفته است. هدف این پژوهش بررسی روند تغییرات مکانی و زمانی دمای منطقه‌ای و گستردگی جزیره حرارتی در استان تهران است. حال سؤال این است تا چه اندازه روند دمای هوا و تغییرات مکانی و زمانی در سطح زمین توانسته است در گسترش جزیره حرارتی در مناطق استان تهران تأثیرگذار باشد؟ در این پژوهش سعی شده است جهت دست‌یابی به پاسخ، به چند طریق دمای سطح زمین و روند تغییرات فضایی و مکانی میانگین منطقه‌ای در استان تهران با بهره‌گیری از تکنیک‌ها، برنامه جدید مبتنی بر وب-Climatic Engine و داده‌های جدیدتر مورد واکاوی قرار گیرد.

### روش

استان تهران در موقعیت جغرافیایی بین "۳۵°۰'۰" تا "۳۷°۰'۰" عرض شمالی و "۴۹°۰'۰" تا "۵۳°۰'۰" درجه طول شرقی قرار دارد (تصویر شماره ۱). این استان از شمال به استان مازندران، از جنوب به استان قم، از جنوب غربی به استان مرکزی، از غرب به استان البرز و از شرق به استان سمنان محدود می‌شود، دارای ۱۶ شهرستان و طبق سرشماری سال ۱۳۹۵، دارای ۱۳۶۳۷۲۶۷ نفر جمعیت است. پرجمعیت‌ترین شهرستان استان، شهر تهران است که پرجمعیت‌ترین شهر در غرب آسیا و دومین کلان شهر خاورمیانه است (مرکز مطالعات و تحقیقات شهرسازی و معماری ایران، ۱۳۷۹؛ سودودی و همکاران، ۲۰۱۴؛ آمارنامه شهر تهران، ۱۳۹۶). آسفالت‌های شهری، وجود وسائل نقلیه، حرارت ناشی از احتراق موتور، ادامه داشتن ساخت‌وسازها، رها شدن مواد سمی همچون سرب مانعی جهت داشتن شهری پایدار است و درواقع تهران از لحاظ زیست‌محیطی رو به توسعه ناپایدار شهری پیش رفته است (طباطبائی، ۱۳۹۲).

باتوجه به موقعیت خاص جغرافیایی (اختلاف ارتفاع در شمال و جنوب آن و ارتفاع زیاد از سطح دریا) این استان شرایط دارای نامتعادل تراکم و بافت شهری است. به عبارتی حدود ۳۰۰۰ متر اختلاف ارتفاع بین بلندترین نقاط مرتفع استان تا پایین‌ترین نقاط وجود دارد و تغییر در رطوبت و دما در سطح استان بارزتر است (اسکندریان، ۱۳۹۴). تهران از لحاظ جریانات جوی، تحت اثر جریانات سیبری و مدیترانه‌است و توزیع مکانی و زمانی دما و بارش در این استان رابطه معکوسی دارد. به طوری که از لحاظ بارشی وضعیت مناسبی ندارد. متوسط بارش سالیانه حدود ۲۶۳/۹ میلی‌متر و بیشترین بارش سالیانه ۶۰۰ میلی‌متر است و جزو اقلیم نیمه‌خشک محسوب می‌شود (فلاحی و همکاران،

۱. <https://search.earthdata.nasa.gov/search>



تصویر ۱. موقعیت جغرافیایی محدوده مورد مطالعه (استان تهران).

زمین<sup>۴</sup> طی بازه زمانی در دسترس ۲۰۱۳ الی ۲۰۲۴، از برنامه مبتنی بر وب (Climate Engine) و از روش آماری منکنصال در سطح معنی‌داری ۹۵ درصد، بهره گرفته است (هاتینگتون و همکاران، ۲۰۱۷). برنامه‌های مبتنی بر وب و رایگان است که بسیار مورد توجه و پسند کاربران قرار گرفته است. ابزاری است که از داده و اطلاعات سامانه Google Earth Engine استفاده می‌کند، اما از این نظر منحصر به فرد است که دسترسی آسان، تجزیه و تحلیل و دانلود مجموعه داده‌های رصد زمین بدون نیاز به کدنویسی فراهم می‌کند. این ابزار کاربر را قادر می‌کند تا نقشه‌ها و خلاصه سری‌های زمانی را از مجموعه کاملی از داده‌ها (هواشناسی، هیدرولوژی و فناوری سنجش از دور) تولید و استخراج کند. از آنجایی که این برنامه جهت پردازش مجموعه‌ای جامع از متغیرها است، می‌توان جهت تهیه روند نقشه سری زمانی بلندمدت جهت هشدار اولیه اثرات آب و هوایی مانند خشکسالی، آتش‌سوزی جنگلی، کشاورزی را ارائه داد (هاتینگتون و همکاران، ۲۰۱۷) (تصویر شماره ۲).

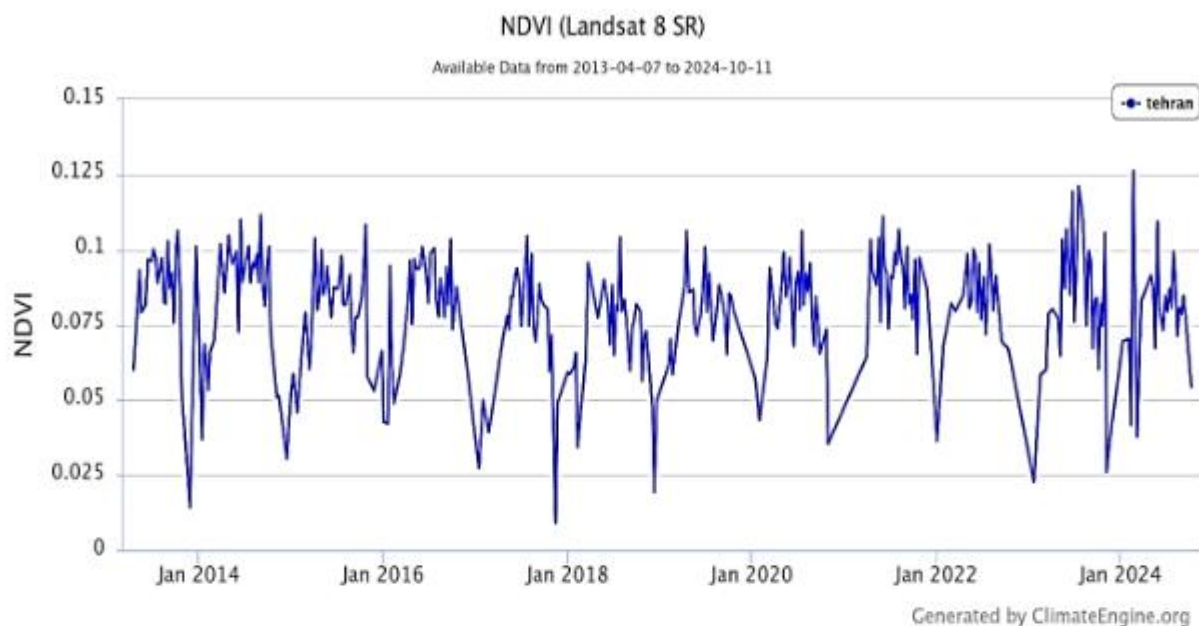
روند سری زمانی شاخص نرمال شده تفاوت پوشش گیاهی در بازه زمانی ۲۰۱۳ الی ۲۰۲۴ استان تهران با بهره‌گیری از تصاویر

مسعودیان، ۱۳۸۹)، این محصول دمای ماهانه رویه سطح زمین را در دوره روزانه و شبانه در شرایط آسمان صاف، به طول و عرض جغرافیایی ۵/۰ درجه ارائه می‌دهد (وان، ۲۰۰۷) و بعد از تبدیل واحد درجه از کلوین به سانتی‌گراد، از تابع آمار منطقه‌ای جهت برآورد میانگین دمای منطقه‌ای در محیط Arc GIS Pro بهره گرفته شد (طبیعی و همکاران، ۲۰۱۸؛ احمدی و همکاران، ۱۳۹۷). سپس جهت تهیه نقشه، پروفیل و برآورد گستردگی جزیره حرارتی در مناطق شهری تهران از باند ۱۰، تصاویر ماهواره‌ای لندست ۸ در بازه زمانی ۱ سال (۲۰۲۴)، با تفکیک ۳۰ متر، از سایت سازمان زمین‌شناسی ایالات متحده<sup>۲</sup> دریافت شد و در محیط ARCMAP جزیره ARC MAP محاسبه شد و پس از بررسی بالاترین بیشینه دمای رویه سطح زمین از بین مناطق ۲۲ گانه، پروفیل حرارتی مناطقی از تهران (۱، ۹، ۱۸، ۲۲) به عنوان نمونه براساس بالاترین دمای سطح زمین، ترسیم شد.

درنهایت این مطالعه برای نخستین بار در ایران بهطور مستقیم، جهت تهیه نقشه روند تغییرات سری زمانی میانگین ماهانه شاخص نرمال شده تفاضل پوشش گیاهی<sup>۳</sup> و دمای سطح

2. <https://earthexplorer.usgs.gov/>

3. Normalized Difference Vegetation (NDVI)



تصویر ۲. روند سری زمانی ماهانه NDVI استان تهران در بازه زمانی ۲۰۱۳ الی ۲۰۲۴

طبق این فرمول،  $n$  تعداد مشاهدات سری، و  $x_j$  به ترتیب داده‌های  $j$  و  $k$  سری است که در ادامه همان طور که فرمول شماره ۲ نشان داده است تابع علامت  $sgn$  محاسبه می‌شود:

$$sgn(x_j - x_k) = +1 \quad \text{for } (x_j - x_k) > 0$$

$$2. \quad sgn(x_j - x_k) = 0 \quad \text{for } (x_j - x_k) = 0$$

$$sng(x_j - x_k) = -1 \quad \text{for } (x_j - x_k) < 0$$

در فرمول شماره ۳ محاسبه واریانس  $S$  را نشان داده است:

for  $n > 10$

$$3. \quad var(s) = \frac{n(n-1)(2n+5) - \sum_{t=1}^n t(t-1)(2t+5)}{18}$$

for  $n < 10$

$$var(s) = \frac{n(n-1)(2n+5)}{18}$$

در گام بعدی  $n$  تعداد دنباله‌هایی را نشان می‌دهد که در آن حداقل یک داده تکراری باشد.  $t$ . معرف فراوانی داده با ارزش یکسان در یک دنباله بوده که در نهایت آماره  $Z$  با یکی از روابط زیر استخراج می‌شود (فرمول شماره ۴):

$$4. \quad z = \frac{s-1}{\sqrt{var(s)}} \quad \text{for } s > 0$$

$$z = 0 \quad \text{for } s = 0$$

$$z = s + 1 / var(s) \quad \text{for } s < 0$$

۳۰ متر لندست ۸ با استفاده از این پلتفرم نشان داده شده است و در این مطالعه جهت بررسی رابطه روند پوشش گیاهی و دمای سطح زمین از این ابزار آنلاین جهت صحت و دقت بهره گرفته شده است.

### آزمون منکندا

این آزمون جهت واکاوی روندهای یکنواخت در سری داده‌های محیطی، داده‌های اقلیمی و هیدرولوژیکی استفاده می‌شود و ابتدا توسط من (۱۹۴۵) ارائه و توسط کندا (۱۹۷۵) توسعه پیدا کرد. این آزمون در سال ۱۹۸۸ توسعه سازمان جهانی هواشناسی جهت تحلیل روند سری‌های هواشناسی و هیدرولوژیکی پیشنهاد شد (محمدی و همکاران، ۱۴۰۳؛ پولرت، ۲۰۲۰؛ سلیمانی، ۱۴۰۲؛ کاتر و همکاران، ۱۴۰۲). در این مطالعه روند سری زمانی پارامتر اقلیمی (دما) براساس آماره  $Z$  در ماکرو اکسل بررسی شد. معنی‌داری یا عدم معنی‌داری متغیرها در ایستگاه‌های سینوپتیک (مهرآباد، شمیران، زئوفیزیک، چیتگر، فیروزکوه و آبعلی) در مقطع زمانی ۲۴ ساله (۱۹۹۶ تا ۲۰۲۰) محاسبه شد (فرمول شماره ۱):

$$1. \quad S = \sum_{k=1}^{n-1} \sum_{j=k+1}^n sgn(x_j - x_k)$$

$$sng(x) = \begin{cases} 1 & \text{if } x > 0 \\ 0 & \text{if } x = 0 \\ -1 & \text{if } x < 0 \end{cases}$$

کلیه ایستگاه‌ها به صورت مشترک در ماه‌های زوئن و جولای روند افزایشی دما مشاهده شده است که در برخی ایستگاه‌ها معنی دار است. از طرفی، مهم‌ترین ویژگی اقلیمی تهران تغییرات دما است که از سال‌های گذشته افزایش داشته است و شدت روند آن از ماه زانویه در ایستگاه‌های (شمیران و آبعلی) صعودی است. بنابراین روند مشتبث دمای حداکثر بیشترین تغییرات در اکثر ماه‌ها به ایستگاه‌های شمیران، مهرآباد، آبعلی و فیروزکوه تعلق داشته است که علت تغییر ناگهانی دما (جهش) می‌تواند تحت اثر گرمایش جهانی و پرفشار جنب حراره باشد. ایران در کمربند خشک عرض میانه قرار دارد و در دوره گرم سال، با استقرار پرفشار جنب حراره، فرونگشتنی هوا، هوا گرم، خشک و آفتابی مواجه است و این موجب خشکی بیشتر هوا شده است. تغییرات پرفشار جنب حراره توانسته است موجب نوسانات عناصر اقلیمی همچون دما شود (فتحیان، ۱۴۰۰؛ مسعودیان، ۱۳۸۹).

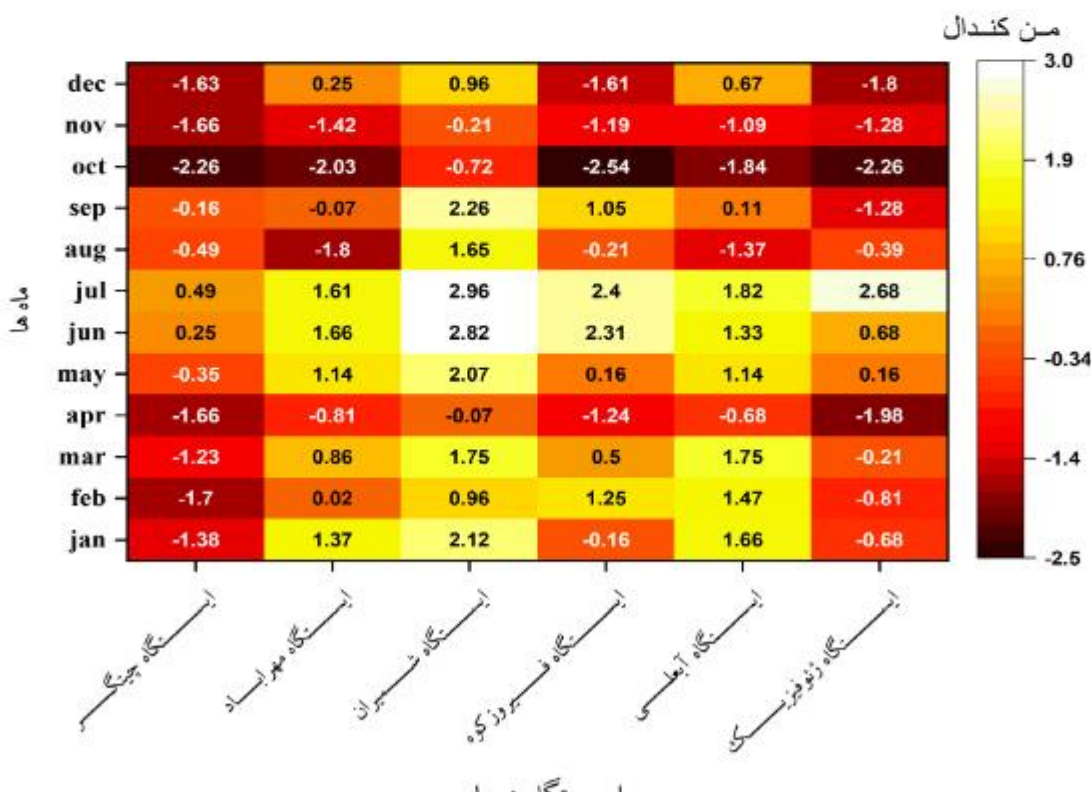
در مطالعه‌ای (حجازی‌زاده، ۱۳۷۲) نشان داده شد بیشترین ارتفاع پرفشار جنب حراره در ماه جولای تا عرض ۳۸ درجه، یعنی در شمالی‌ترین حد خود امتداد دارد، اما در مطالعه‌ای دیگر (فتحیان، ۱۴۰۰) نشان داده شد این افزایش ارتفاع با توجه به گرمایش جهانی بیشتر شده است و تا عرض ۴۰ درجه پیش رفته است. در پژوهشی دیگر (علیجانی و همکاران، ۱۳۹۸) نشان داده شد رفتار مکانی و زمانی پرفشار جنب حراره حدود ۱۰۰

در این پژوهش با سطوح معنی دار ۹۵ و ۹۹ درصد برآورد شده است. مقدادر مثبت مثبت معرف روندهای صعودی خواهد بود و اگر منفی باشد با روند نزولی در نظر گرفته می‌شود. فرض صفر در این پژوهش مبنی بر وجود نداشتن روند در داده‌های بزرگ‌تر از مقدادر Z رد می‌شود. در این مطالعه اگر مقدار P از ۰/۰۵ کمتر باشد فرضیه H<sub>0</sub> که بر نبود وجود روند در سری زمانی است، دلالت دارد. اما در مقابل اگر مقدار سطح معنی داری از ۰/۰۵ بیشتر باشد قبول فرضیه H<sub>1</sub> و دال بر وجود روند است (سلیمانی، ۱۴۰۰؛ کاتر و همکاران، ۲۰۱۲).

### یافته‌ها

#### بررسی روند تغییرات دما براساس آزمون من Kendall

در این پژوهش جهت واکاوی روند تغییرات ناگهانی پارامتر اقلیمی دما، از ۶ ایستگاه سینوپتیک (شمیران، چیتگر، مهرآباد، آبعلی، فیروزکوه و زئوفیزیک) در بازه زمانی ۱۹۹۶ تا ۲۰۲۰ بهره گرفته شد. همان‌طور که تصویر شماره ۳ نشان می‌دهد، الگوی رفتاری سری زمانی دمای ماهانه، در ایستگاه‌های شمیران، مهرآباد، آبعلی، فیروزکوه و زئوفیزیک روند افزایشی و صعودی را در سطح معنی داری ۹۵ و ۹۹ درصد نشان داده است. در



تصویر ۳. بررسی روند سری زمانی دمای ماهانه، ایستگاه‌های سینوپتیک (شمیران، چیتگر، مهرآباد، آبعلی، فیروزکوه و زئوفیزیک) در بازه زمانی (۱۹۹۶-۲۰۲۰).

بررسی سری زمانی رابطه شاخص نرمال شده تفاضل پوشش گیاهی و دمای سطح زمین در بازه زمانی ۱۳-۲۰-۲۴-۲۰ به لندست<sup>۸</sup>

در تصویر شماره ۵، رابطه روند میانگین بین دمای سطح زمین و شاخص نرمال شده تفاضل پوشش گیاهی بین سال های ۱۳-۲۰-۲۴-۲۰ نشان داده شده است. هدف از بررسی روند، نشان دادن روند یکنواخت بالا به پایین بین تغییرات شاخص نرمال شده تفاضل پوشش گیاهی با دمای سطح زمین در سطح معنی داری ۹۵ درصد، در بازه زمانی تعریف شده است. در این بررسی روند تغییرات شاخص نرمال شده تفاضل پوشش گیاهی، با رنگ قرمز مشخص شده است و هرچه عدد به سمت مقادیر منفی باشد، نشان دهنده عدم پوشش گیاهی و سطوحی غیر از پوشش گیاهی در تهران است. در مقابل دمای سطح زمین هرچه متمایل به طرف رنگ قرمز باشد، آن مناطق دمای سطح زمین بالاتری را نسبت به سایر نواحی تجربه کرده اند.

در تصویر شماره ۵ (الف)، شاخص نرمال شده تفاضل پوشش گیاهی در ۳۱ جولای ۲۰۱۹ به ۰/۰۴ رسیده است و دمای سطح زمین در همین تاریخ با عدد ۵۱ درجه سانتی گراد ثبت شده است. در ۳۰ زوئن ۲۰۱۷ شاخص نرمال شده تفاضل پوشش گیاهی به ۰/۰۵ و دمای سطح زمین به ۵۱/۲۱ درجه سانتی گراد رسید و در آگوست ۲۰۲۴، شاخص نرمال شده تفاضل پوشش گیاهی به ۰/۰۳ و دمای سطح زمین به ۴۸ درجه سانتی گراد رسیده است. در مقایل در ۲۸ اکتبر ۲۰۲۰ روند شاخص نرمال شده تفاضل پوشش گیاهی -۰/۰ بوده و در ماه های دسامبر و نوامبر سال های ۲۰۲۲، ۲۰۲۳ و ۲۰۲۱ به ترتیب به -۰/۰۳، -۰/۰۴ و -۰/۰۵ رسیده است. آنچه مشخص است افزایش جزئی پوشش گیاهی هم تنوانته است افزایش دمای سطح زمین را توجیه کند و دمای سطح زمین الگوی رفتاری مشتب و افزایشی نشان داده است.

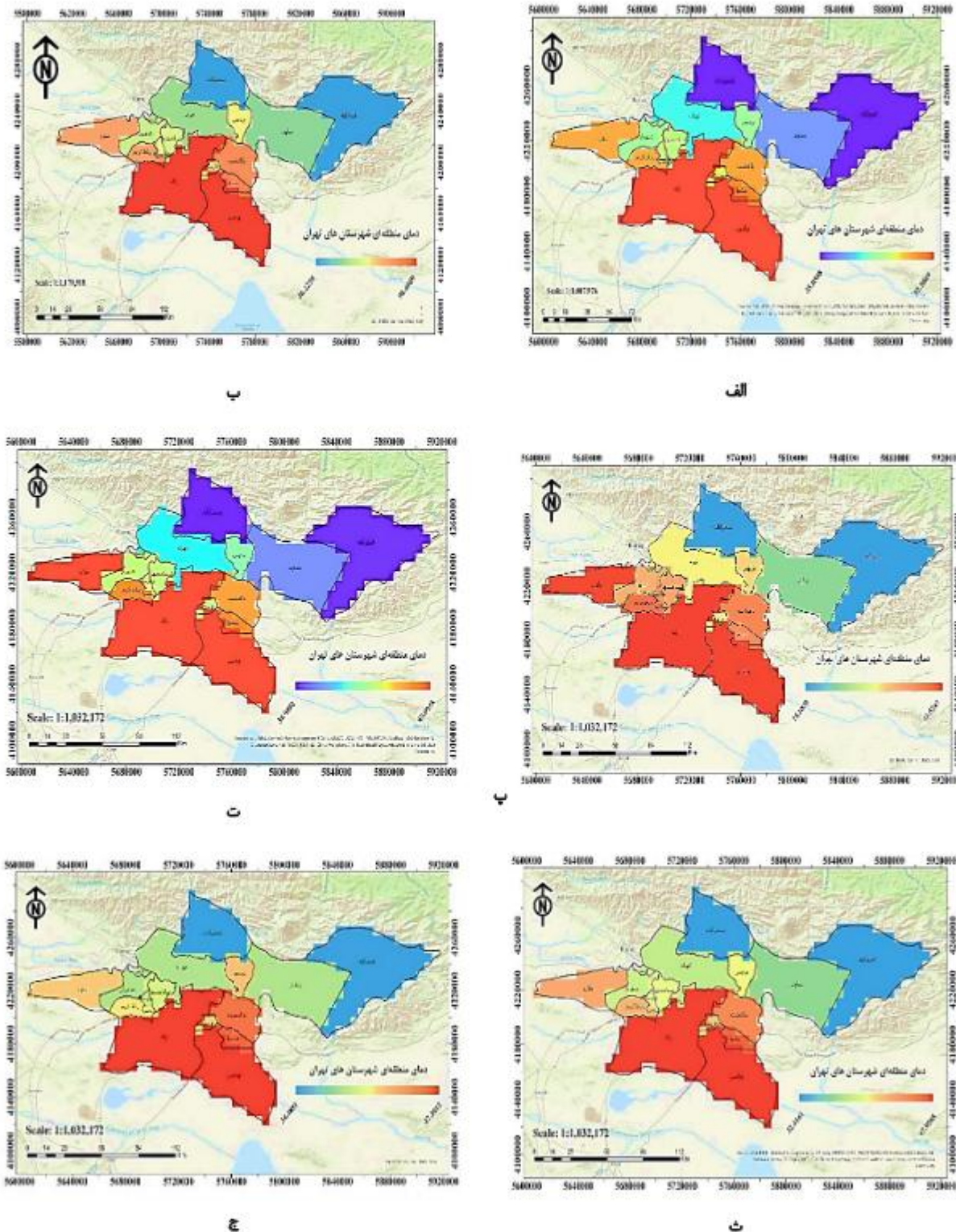
در تصویر شماره ۵ (ب)، محدوده غرب و جنوب غرب تهران از لحاظ پوشش گیاهی توزیع متراکمی نداشته است. علاوه بر مناطق ۲۲ و ۱۵ تهران، در محدوده های دیگر از جمله شهریار، پاسداران، چیتگر، شهرک استقلال، خاور شهر، شهرک ولیعصر، پاسداران، یوسف آباد، سرخه حصار و اسلامشهر از لحاظ شاخص نرمال شده تفاضل پوشش گیاهی فقیر بوده و روند کاهشی را نشان داده اند. دمای سطح زمین در مناطق غربی تهران، از جمله منطقه ۲۲ در شمال غرب تهران و جنوب شرق تهران روند افزایشی داشته است.

متر بر ارتفاع پرفشار جنب حراره افزایش یافته و فرونشینی ها بیشتر شده است. بنابراین افزایش روند دما در ماه های زوئن و جولای در استان تهران قابل توجیه است. اثر گلخانه ای موجب افزایش دمای زمین می شود و افزایش غلظت گازهای گلخانه ای با توجه به فعالیت های انسانی در مکان های شهری نظری تهران موجب افزایش دمای بیش از حد زمین شده است. شهرها به دلیل تولید گازهای گلخانه ای و گسترش شهری بیش از حد انتظار گرمتر شده اند و در گرم شدن جهانی نقش اساسی دارند (کمالاکار و کمالا، ۲۰۲۴). بنابراین نتایج این مطالعه با توجه به گرمایش جهانی، فعالیت های تجاری و صنعتی در مرکز شهر تهران و موقعیت ایستگاهها قابل قبول است، یافته های این پژوهش پاسخ گوی سوال پژوهش است و با برخی مطالعات (فتحیان، ۱۴۰۰؛ عزیزی و همکاران، ۱۳۸۴؛ رحیمزاده و عسگری، ۱۳۸۳؛ نجفیان گرجی و همکاران، ۱۳۹۶؛ ملکی نژاد و همکاران، ۱۳۹۲؛ حجازی زاده و پروین، ۱۳۸۸) مطابقت دارد.

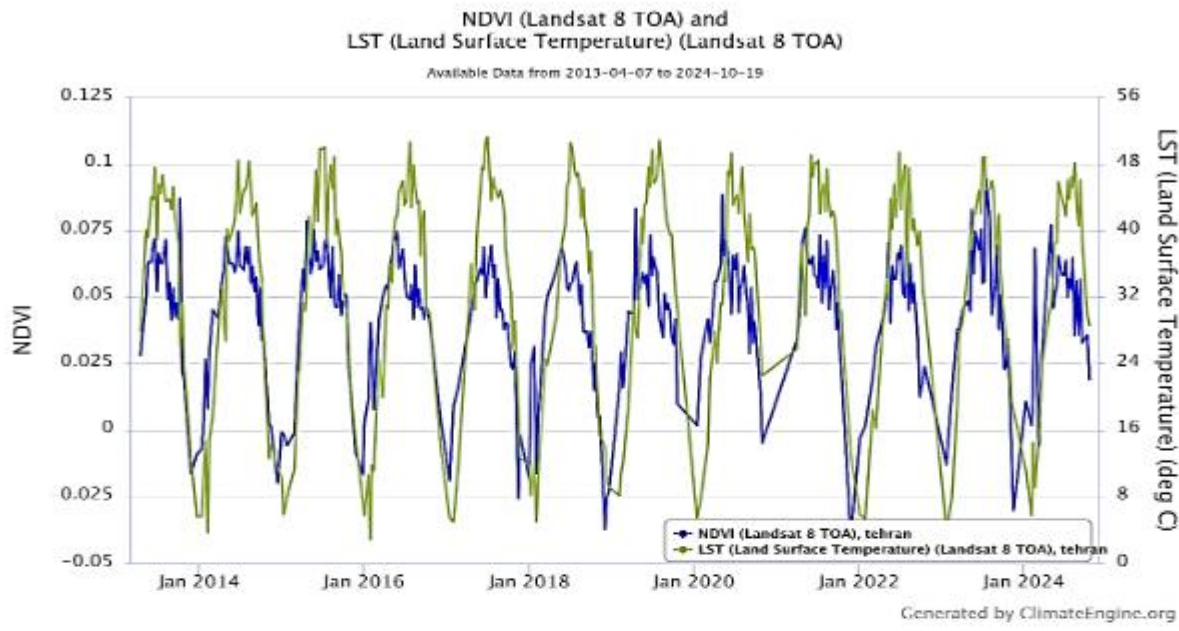
بررسی میانگین دمای منطقه ای شهرستان های استان تهران با سنجنده مودیس

تصویر شماره ۴، تصاویر میانگین دمای منطقه ای استان تهران با سنجنده مودیس، محصول MOD11C3 در بازه زمانی ۲۰۱۴ تا ۲۰۲۴ را به صورت ماهانه نشان داده است (از بین ۵۳ تصویر، ۶ مورد به عنوان نمونه آورده شده است). بررسی های دمای روزانه سطح زمین نشان داده است طی بازه زمانی ۲۰۱۴ تا ۲۰۲۴ بالاترین دما در ماه های جولای و آگوست بوده است. از این بین شهرستان های ورامین و ری بالاترین دمای سطح زمین را در زوئن ۲۰۱۵ با ۵۲/۵ درجه سانتی گراد و در سال ۲۰۱۸ در همین ماه با ۵۲/۵ درجه سانتی گراد به ثبت رسانده اند. در ماه های می و زوئن سال ۲۰۲۱ شهرستان های ورامین، ری، ملارد و رباط کریم به ترتیب دمای سطح زمین ۴۳/۵۲ و ۵۱/۵۳ درجه سانتی گراد را تجربه کرده اند (تصویر شماره ۴، پ). در سال های ۲۰۲۲ و ۲۰۲۳ در ماه های جولای و آگوست شهرستان های ورامین، ملارد، پاکدشت، ری و پیشوای بالاترین دمای سطح زمین را با ۴۸ درجه سانتی گراد داشتند (تصویر شماره ۴، ت).

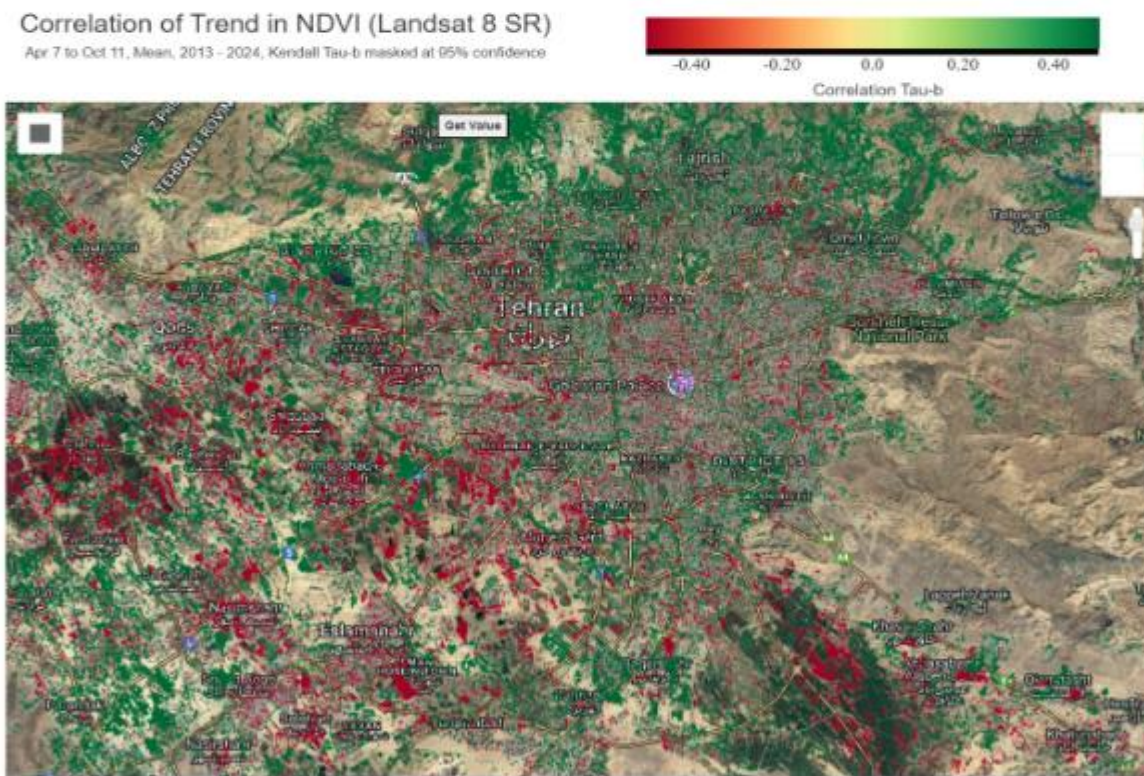
در مجموع بررسی ۵۳ تصویر میانگین منطقه ای شهرستان های تهران نشان داد ضمن اینکه دمای بیشینه در بازه زمانی ۱۰ ساله افزایش داشت، به همان میزان هم در ماه های جولای و آگوست دمای کمینه در مناطق فیروزکوه، شمیرانات و دماوند در سال ۲۰۱۸ به ۳۷/۷۹ درجه سانتی گراد رسیده است. این امر می تواند به دلیل افزایش گازهای گلخانه ای و از همه مهم تر از بین بردن و کاهش پوشش گیاهی، تغییر کاربری، گسترش مسکن سازی در این مناطق موجب افزایش دمای سطح زمین در این نواحی شده باشد.



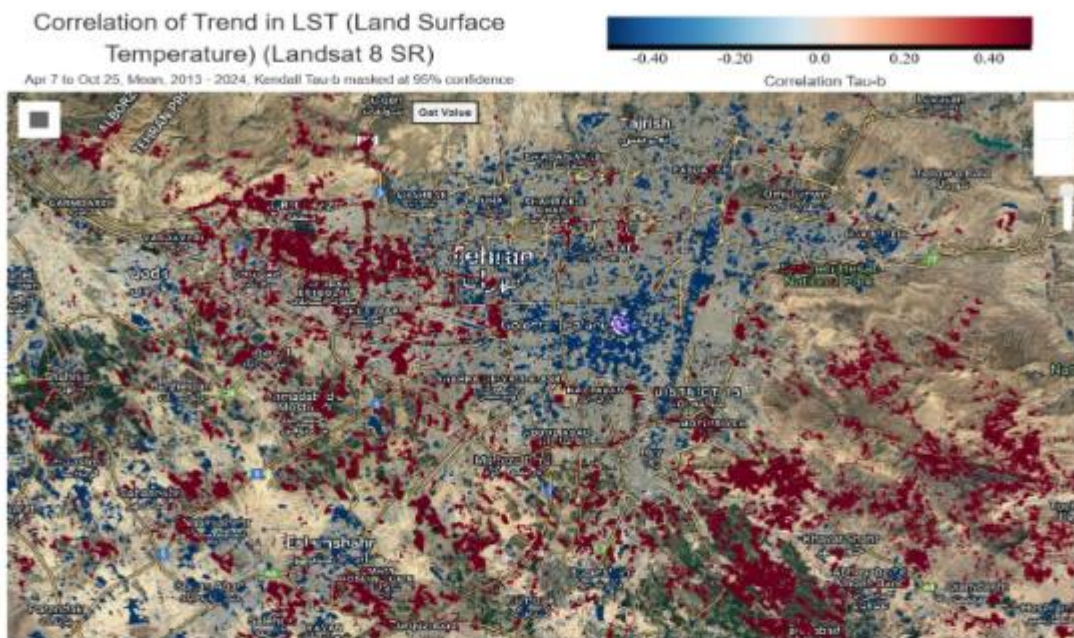
تصویر ۴. میانگین دمای مناطق شهری با تصاویر مودیس، شهرستان‌های تهران در بازه زمانی ۲۰۱۴-۲۰۲۴.



الف



ب



ج

تصویر ۵. روند شاخص نرمال شده تفاضل یوشش گیاهی و دمای سطح زمین در بازه زمانی ۲۰۱۳-۲۰۲۴ با لندست ۸ متر.

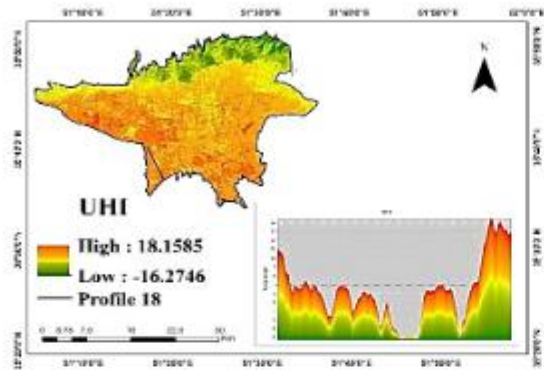
### بحث

بررسی جزیره حرارتی شهر<sup>۵</sup> با تصاویر لندست ۸ در بازه زمانی یک سال (۲۰۲۴)

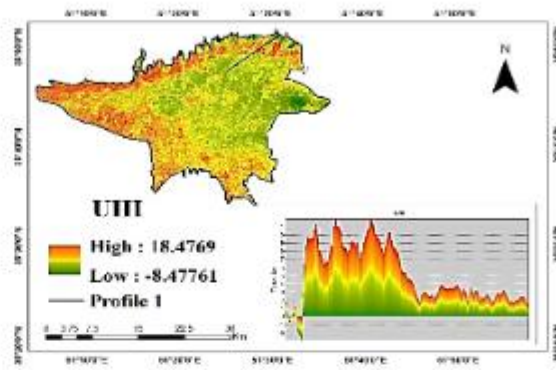
یکی از پارامترهای اصلی مطالعات شهری و اقلیمی دمای سطح زمین است. در این راستا جهت بررسی گستردگی جزیره حرارتی در مناطق ۲۲ گانه تهران و به همراه نیميخ حرارتی در ۴ محدوده، در ۸ تصویر به عنوان نمونه نشان داده شده است. از جمله، منطقه ۱ محدوده تیاوران، تجریش، پل پارک وی، اطراف قیطریه، دارآباد و فرشته؛ منطقه ۲۲ محدوده بزرگراه خرازی، بزرگراه سردار همدانی، بلوار جدی اردبیلی، خرگوش دره و آزادراه شهید فهمیده؛ منطقه ۹ محدوده فروودگاه مهرآباد، شمشیری و میدان آزادی؛ منطقه ۱۸ محدوده یافت آباد، بزرگراه فتح، بزرگراه آزادگان و بلوار هفده شهریور در تصویر شماره ۶، نمایش داده شده است. همان طور که در تصویر قابل مشاهده است، بیشترین کانون گرما و گسترش جزیره حرارتی طی ماههای گرم، در نواحی شمال غرب، غرب، جنوب غربی، جنوب و جنوب شرقی و مناطق شمالی تهران قابل مشاهده است. بالاترین دمای ثبت شده در سال ۲۰۲۴ مربوط به مناطق ۹ و ۲۲ تهران بود که در ماههای ژوئن، جولای، آگوست و سپتامبر با دمای بالای ۴۵ درجه سانتی گراد

در تصویر شماره ۵(ب)، به خوبی روند تغییرات تخریب یوشش گیاهی در غرب تهران، مرکز و جنوب شرق پیدا است. طبق تصویر شماره ۵ (ب و ج)، افزایش دمای سطح زمین با توزیع یوشش گیاهی ارتباط مستقیم و معکوسی با هم دارند و با کاهش روند یوشش گیاهی، دمای سطح زمین الگوی رفتاری مثبت و افزایشی را نشان داده است. این شرایط علاوه بر فصل گرم در فصل پاییز قابل مشاهده است. به عبارتی آنچه در تصویر شماره ۵ (ب و ج) مشخص است، این مناطق رو به شرایط گرما و مستعد گسترش جزیره حرارتی هستند. ضمن اینکه تغییر کاربری و گسترش کارخانجات و ساخت و ساز مسکونی به ویژه در مناطق ۴، ۵، ۲۱ و ۲۲ در امر افزایش دمای سطح زمین دخالت داشته‌اند.

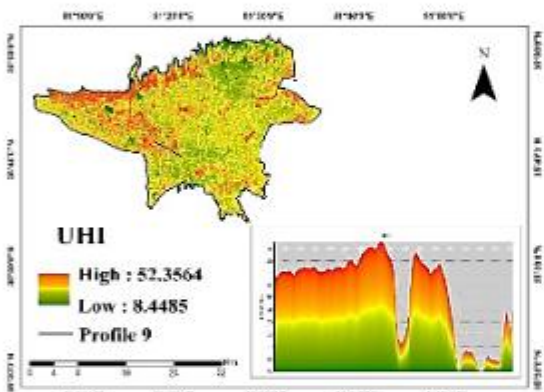
طبق مطالعات (منصوری و ضرغامی، ۱۴۰۳) سطوح نفوذناپذیر شهری به دلیل ضریب جذب بالای تابش خورشیدی، به عنوان جزایر حرارتی عمل کرده و دمای سطح زمین را در این مناطق به طور قابل توجهی افزایش می‌دهد. یافته‌های این پژوهش پاسخ‌گوی سوال پژوهش است و با برخی مطالعات (نوریخش و نظری نژاد، ۱۴۰۱؛ پوردیهیمی و همکاران، ۱۳۹۸؛ نجفیان گرجی و همکاران، ۱۳۹۶؛ طیبی و همکاران، ۱۴۰۱) مطابقت دارد.



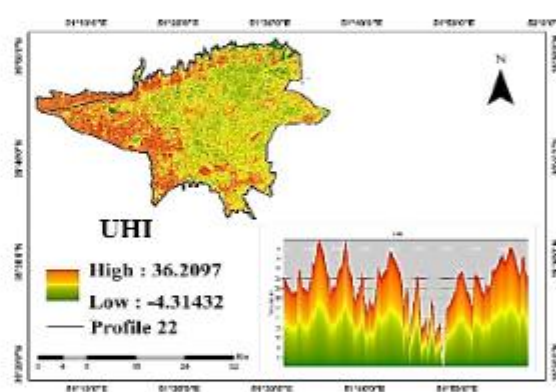
۲۰۲۲/۲/۸ (ب)



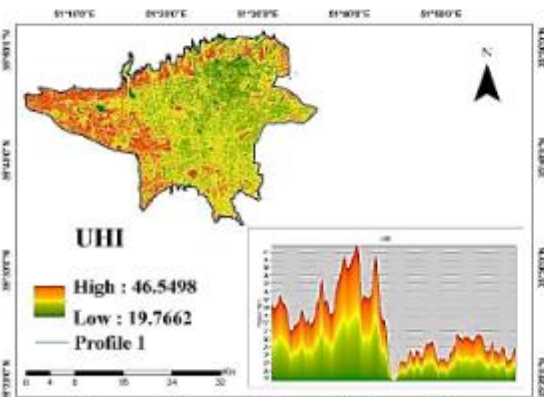
۲۰۲۲/۱/۱۲ (ج)



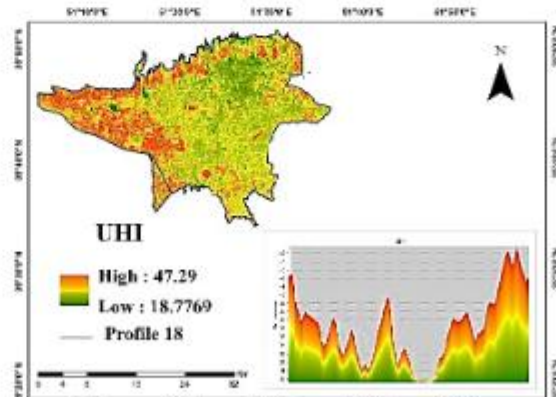
۲۰۲۲/۲/۳ (د)



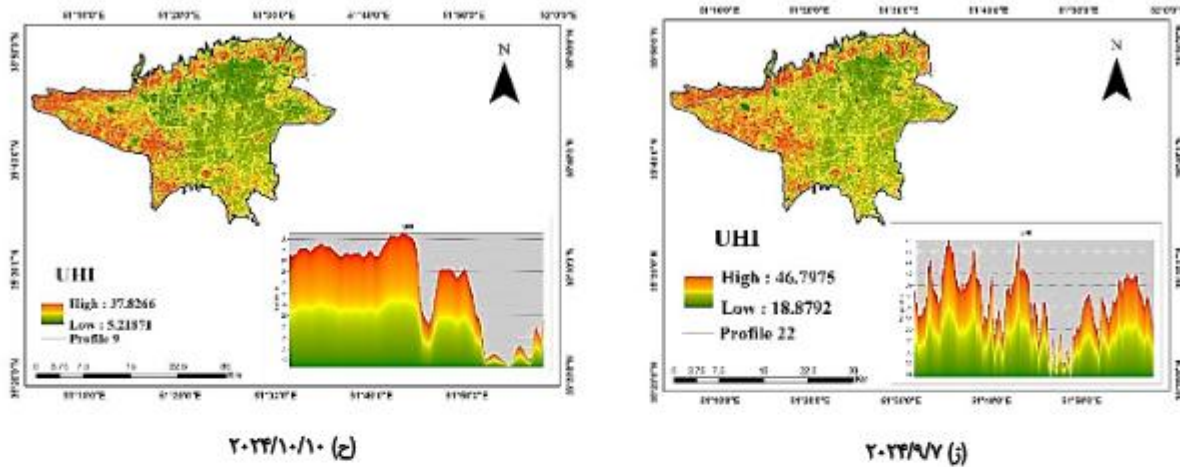
۲۰۲۲/۲/۲۲ (ه)



۲۰۲۲/۸/۶ (و)



۲۰۲۲/۸/۵ (ز)



تصویر ۶ پرسی جزیره حرارتی شهر با تصاویر لندست ۸ در بازه زمانی ۱ سال (۲۰۲۴)

نشان داده است. بنابراین نتایج پژوهش با مطالعاتی (صادقی‌نیا و همکاران، ۱۳۹۱؛ پوردهیمی و همکاران، ۱۳۹۸؛ احمدی و همکاران، ۱۳۹۸؛ منصوری و ضرغامی، ۱۴۰۳) مطابقت داشت.

#### نتیجه‌گیری

توسعه بی‌رویه شهرها به یکی از عوامل اصلی تشدید تغییر اقلیم در سطح منطقه‌ای و جهانی تبدیل شده است. از بین رفتار پوشش گیاهی، افزایش سطوح سخت و نفوذناپذیر در شهرها و رشد جمعیت شهری، همگی به تغییر اقلیم محلی، مانند نوسانات شدید بارش و افزایش دما دامن زده و مشکلات زیست‌محیطی جدی را به‌ویژه در شهرهای کشورهای در حال توسعه ایجاد است. این پژوهش با هدف روند تغییرات مکانی و زمانی دمای منطقه‌ای و گستردگی، جزیره حرارتی استان تهران را مورد واکاوی قرار داده است. بررسی روند دما در ایستگاه‌های شمیران، چیتگر، مهرآباد، آبعلی، فیروزکوه و ژئوفیزیک در بازه زمانی ۱۹۹۶ تا ۲۰۲۰، الگوی رفتاری دما در کلیه ایستگاه‌ها در ماههای زوئن و جولای افزایشی بود. با توجه به افزایش گازهای گلخانه‌ای و موقعیت درون شهری ایستگاه‌ها، گرمایش جهانی و استقرار سامانه پرشار جنب حاره در این ماهها و افزایش فرونخشینی هوا نتایج قابل توجیه است. بررسی میانگین دمای منطقه‌ای شهرستان‌های تهران در بازه زمانی ۲۰۱۴ تا ۲۰۲۴ با سنجنده مودیس، بالاترین دمای منطقه‌ای را در ماههای جولای و آگوست نشان داد. در سال ۲۰۱۵ شهرستان‌های ورامین و ری بالاترین دمای روبه زمین را با ۵۲/۵۰ درجه سانتی‌گراد تجربه کردند و در سال ۲۰۱۸ در ماههای جولای و آگوست این رقم به ۵۲/۹۷ درجه سانتی‌گراد رسید. در سال‌های ۲۰۲۲ و ۲۰۲۳ در ماههای جولای و آگوست

مواجه بودند. مناطق ۹ و ۲۲ کلان‌شهر تهران، در ماه زوئن بالاترین دمای سطح زمین، حدود ۵۲ درجه سانتی‌گراد را تجربه کردند. علت این امر می‌تواند از دحام جمعیت و تردد وسائل نقلیه (ترافیک) در این منطقه، به عنوان منطقه مرکزی تهران (میدان آزادی، غرب (فرودگاه مهرآباد)، از سمت شمال (میدان تجریش)، گسترش مسکن‌سازی در مناطق شمالی تهران و غرب تهران، وجود کارگاه‌های صنعتی (منطقه ۱۸)، پوشش گیاهی کمتر باشد که باعث شده در دوره گرم سال این مناطق دمای بسیار بالایی را تجربه کنند. منصوری و ضرغامی (۱۴۰۳) در مطالعه خود نشان دادند الگوی تغییرات دمایی در مناطق مختلف تهران یکسان نیست. مناطق مرکزی شهر به‌طور حداقل نوسانات دمایی را داشتند، در حالی که مناطق شمال شرقی و شمال غربی بیشترین نوسانات را تجربه کردند. ضمن اینکه مناطق ۱، ۲، ۳، ۲۱ و ۲۲ نه تنها گرم‌ترین مناطق تهران بودند، بلکه بیشترین تغییرات دمایی را داشتند. براساس آمار سال ۱۴۰۱، مناطق ۲۲ گانه تهران طیف گسترده‌ای از کاربری‌ها از جمله مسکونی، آموزشی، صنعتی، فرهنگی و خدماتی را در خود جای داده‌اند.

در مجموع نتایج این پژوهش نشان داد تغییرات دمای هوا و دمای سطح زمین در تهران در ماههای گرم سال، الگوی مشابهی را دنبال می‌کند. به عبارت دیگر، این دو ساختار به‌طور همزمان افزایش یا کاهش پیدا می‌کنند. یافته‌های پژوهش پاسخ‌گوی سؤال پژوهش است؛ همان‌گونه که بررسی روند دما در نتایج ایستگاه‌های سینوپتیک (شمیران، چیتگر، مهرآباد، آبعلی، فیروزکوه و ژئوفیزیک) افزایش دما را در ماههای زوئن و جولای صعودی نشان داد، بررسی دمای منطقه‌ای و گسترش جزیره حرارتی در ماههای زوئن، جولای و آگوست دمای افزایشی را



### حامی مالی

این اثر تحت حمایت مادی بنیاد ملی علم ایران (INsf) برگرفته شده از طرح شماره ۴۰۳۸۴۹۵ انجام شده است.

### مشارکت‌نویسندها

مفهوم‌سازی، انجام تحلیل‌های نرم افزاری آماری، نگارش نسخه اولیه مقاله: نیلوفر محمدی؛ راهنمایی، ویرایش و بازبینی مقاله: زهرا حجازی‌زاده، پرویز ضیائیان فیروزآبادی و علیرضا کربلاطی.

### تعارض منافع

بنابر اظهار نویسندها این مقاله تعارض منافع ندارد.

### تشکر و قدردانی

از بنیاد ملی علم ایران (INsf) سپاسگزاری می‌شود.

شهرستان‌های ورامین، ملارد، ری، پاکدشت و پیشوای دمای ۴۸ درجه سانتی‌گراد را تجربه کردند. تغییر کاربری، کاهش پوشش گیاهی در افزایش دمای سطح زمین دخیل هستند که در دوره گرم سال همراه با فرونژینی هوا این عوامل موجب شدت دمای سطح زمین شده است. بررسی روند رابطه شاخص پوشش گیاهی و دمای سطح زمین با لندست ۸ بین سال‌های ۲۰۱۳ تا ۲۰۲۴ نشان داد شاخص پوشش گیاهی و دمای سطح زمین رابطه مستقیم و معکوسی با هم دارند؛ بهطوری که در سال‌های ۲۰۱۷، ۲۰۱۹ و ۲۰۲۴ در ماههای زوئن، جولای و آگوست با افزایش جزئی پوشش گیاهی، دمای سطح زمین به ۵۱/۲۱ درجه سانتی‌گراد رسیده است که این امر در محدوده‌های غرب، شمال و جنوب غرب بیشتر مشهود است. در فصل پاییز، در ۲۸ اکتبر ۲۰۲۰ روند شاخص نرمال شده تفاضل پوشش گیاهی -۰-۰/۰ بود و در ماه‌های دسامبر و نوامبر سال‌های ۲۰۲۱ و ۲۰۲۳، ۲۰۱۸ به ترتیب -۰/۰۳، -۰/۰۴ و -۰/۰۴ رسیده است. آنچه مشخص است، افزایش جزئی پوشش گیاهی نتوانسته است افزایش دمای سطح زمین را در فصل تابستان و پاییز توجیه کند. بررسی گسترش جزیره حرارتی بالندست ۸ در بازه زمانی ۱ سال (۲۰۲۴)، نشان داد بیشترین کانون گرما در نواحی جنوب، جنوب شرق، غرب و شمال و جنوب غرب و مناطق شمالی تهران قابل رویت است، اما دمای سطح زمین در ماه زوئن ۲۰۲۴ به ۵۲ درجه سانتی‌گراد رسید که در مناطق ۹ و ۲۲ بیشتر مشهود بود. بنابراین از لحاظ هواشاختی، استقرار جریانات پر فشار جنوب حاره تابستانه و افزایش فرونژینی هوا در ایران، وجود مراکز صنعتی، تغییرات کاربری، کاهش پوشش گیاهی و احداث شهرک‌های جدید موجب تغییرات مکانی و زمانی دما در مناطق شهری تهران شده است. به عبارتی این عوامل کمکی به افزایش گرمایش جهانی در سطح محلی (شهرها) کرده است. یافته‌های این پژوهش با مطالعاتی (منصوری و همکاران، ۱۴۰۰؛ طبیبی و همکاران، ۱۴۰۱؛ کوتسر و هریس، ۲۰۱۲) همخوانی دارد. تهران با تغییر اقلیم ناشی از گرمایش جهانی مواجه است و با توجه به اقلیم پیش‌رو (افزایش دما و کاهش بارش) روزهای گرمتری را سپری خواهد کرد. نتایج این مطالعه می‌تواند در امر برنامه‌ریزی‌های جامع شهری و محیط زیستی، مطالعات و برنامه‌ریزی جهت کاهش گرمایش جهانی، آینده‌نگری‌های اقلیمی در سطح کلان جهت تاب‌آوری در محیط‌های شهری و مدیریت بحران مفید واقع شود.

### ملاحظات اخلاقی

#### پیروی از اصول اخلاق پژوهش

تمام اصول اخلاقی در نظر گرفته شد. از آنجایی که هیچ آزمایشی روی نمونه‌های انسانی یا حیوانی انجام نشد، نیاز به کد اخلاقی لغو شد.



## References

- Adeyeri, O. E., Folorunsho, A. H., Ayegbusi, K. I., Bobde, V., Adeliyi, T. E., Ndehedehe, C. E., & Akinsanola, A. A. (2024). Land surface dynamics and meteorological forcings modulate land surface temperature characteristics. *Sustainable Cities and Society*, 101, 105072. [DOI:10.1016/j.scs.2023.105072]
- Alijani, B., Toulabi Nejad, M., & Karbalaei Darei, A. (2019). [Investigating the effects of global warming on subtropical high pressure. (Persian)]. *Physical Geography Research*, 51(1), 33-50. [DOI:10.22059/jphr.2019.258677.1007223]
- Alimohamadi, A. (2009). [Planning of Tehran Province (Persian)]. Tehran: Deputy of Planning of Tehran Province.
- Al Shawabkeh, R., AlHaddad, M., Al-Fugara, A. K., Al-Hawwari, L., Al-Hawwari, M. I., & Omoush, A., et al. (2024). Modeling the impact of urban land cover features and changes on the land surface temperature (LST): The case of Jordan. *Am Shams Engineering Journal*, 15(2), 102359. [DOI:10.1016/j.asej.2023.102359]
- Ahmadvaz, E., Naieni, K. H., Ardalan, A., Mahmoodi, M., Yunesian, M., & Naddafi, K., et al. (2013). Excess mortality during heat waves, Tehran Iran: an ecological time-series study. *Journal of Research in Health Sciences*, 13(1), 24-31. [Link]
- Ahmadi, M., & Ahmadi, H. (2018). [Monitoring of the night time land surface temperature in Iran based on output of the MODIS (Persian)]. *Geographical Research*, 33(1), 174-190. [Link]
- Ahmadi, M., Dadashiroudbari, A., & Esfandiari, N. (2019). [Monitoring the Urban heat islands with a Fractal Net Evolution (FNEA) Approach (Case Study: Tehran Metropolis) (Persian)]. *Iranian Journal of Remote Sensing and GIS*, 11(1), 93-112. [DOI:10.52547/gisj.11.1.93]
- Azadeh, S. R., & Etemadi kia, H. (2024). [Modeling the Spatial Expansion of Urban Heat Islands in Rasht Metropolitan (Persian)]. *Geography and Territorial Spatial Arrangement*, 14(50), 29-54. [Link]
- Azizi, Gh., Karimi, M., & Sabok Khiz, Z. (2006). [Temperature trends in Iran over the past few decades and the increase in atmospheric CO<sub>2</sub> (Persian)]. *Journal of Applied Researches in Geographical Sciences*, 4(4), 27-47. [Link]
- Azizi, Gh. (2004). [Climate change (Persian)]. Tehran: Ghoumeh. [Link]
- Bahi, H., Mastouri, H., and Radoine, H. (2020). Review of methods for retrieving urban heat islands. *Materials Today: Proceedings*, 27, 3004-3009. [DOI:10.1016/j.matpr.2020.03.272]
- Bonacci, O., Vrsalović, A., & Roje-Bonacci, T. (2024). Different development of global warming (GW) and urban heat island (UHI) in the city of Zagreb. *Acta Hydrotechnica*, 36(65), 155-176. [DOI:10.15292/acta.hydro.2023.10]
- Cheval, S., Dumitrescu, A., & Bell, A. (2009). The urban heat island of Bucharest during the extreme high temperatures of July 2007. *Theoretical and Applied Climatology*, 97, 391-401. [DOI:10.1007/s00704-008-0088-3]
- Coutts, A., & Harris, R. (2012). *A Multi-scale Assessment of Urban Heating in Melbourn During an Extreme Heat Event*. Melbourne: Victorian Centre for Climate Change Adaptation Research. [Link]
- Connor, J. A., Farhat, S. K., & Vanderford, M. (2012). *GSI Mann-Kendall toolkit for constituent trend analysis, user's manual*. Houston: GSI Environmental Inc. [Link]
- Demisse Negesse, M., Hishe, S., & Getahun, K. (2024). LULC dynamics and the effects of urban green spaces in cooling and mitigating micro-climate change and urban heat island effects: a case study in Addis Ababa city, Ethiopia. *Journal of Water and Climate Change*, 15(7), 3033-3055. [DOI:10.2166/wcc.2024.662]
- Emmanuel, R., & Krüger, E. (2012). Urban heat island and its impact on climate change resilience in a shrinking city: The case of Glasgow, UK. *Building and Environment*, 53, 137-149. [DOI:10.1016/j.buildenv.2012.01.020]
- Eskandarian, E. (2015). [Climate comfort in Tehran (Persian)]. *Journal of Research in Science, Engineering and Technology*, 1, 57-67. [Link]
- Ge, S., Zhan, W., Wang, S., Du, H., Liu, Z., & Wang, C., et al. (2024). Spatiotemporal heterogeneity in global urban surface warming. *Remote Sensing of Environment*, 305, 114081. [DOI:10.1016/j.rse.2024.114081]
- Galdies, C., & Lau, H. S. (2020). Urban heat island effect, extreme temperatures and climate change: A case study of Hong Kong SAR. In W. Leal Filho, G. Nagy, M. Borga, P. Chávez Muñoz & A. Mazzuszewski (Eds), *Climate Change, Hazards and Adaptation Options. Climate Change Management*. Cham: Springer. [DOI:10.1007/978-3-030-37425-9\_20]
- Gupta, A., Sadab, A., & De, B. (2024). Assessment of critical thermal characteristics and land surface dynamics of an Indian metropolitan city. *Journal of Water and Climate Change*, 15(7), 3409-3430. [DOI:10.2166/wcc.2024.370]
- Hejazizade, Z., & Parvin, N. (2009). [Study of temperature and precipitation changes in Tehran over the past half century (Persian)]. *Journal of Urban Ecology Researches*, 1(0), 43-56. [Link]
- Hejazizadeh, Z., Zeyaaean, P., & Shirkhani, A. (2013). [Comparison of surface temperature estimation using thermal band data (Persian)]. *Geography*, 11(38), 33-50. [Link]
- Hejazizade, Z., & Moghimi, Sh. (2002). *[Introductory Microclimatology (Persian)]*. Tehran: Payam Noor University. [Link]
- Hejazizade, Z., & Moghimi, Sh. (2007). *[Application of climate in urban and regional planning (Persian)]*. Tehran: Payam Noor University. [Link]
- Hejazizade, Z. (1993). [Study of subtropical high pressure fluctuations in seasonal changes in Iran (Persian)] [PhD dissertation]. Tehran: Tarbiat Modares University. [Link]
- Huntington, J. L., Hegewisch, K. C., Daudert, B., Morton, C. G., Abatzoglou, J. T., & McEvoy, D. J., et al. (2017). Climate engine: Cloud computing and visualization of climate and remote sensing data for advanced natural resource monitoring and process understanding. *Bulletin of the American Meteorological Society*, 98(11), 2397-2410. [DOI:10.1175/BAMS-D-15-00324.1]
- IPCC. (2022). Global Warming of 1.5°C. An IPCC Special Report on the impacts of global warming of 1.5°C above pre-industrial levels and related global greenhouse gas emission pathways, in the context of strengthening the global response to the threat of climate change, sustainable development, and efforts to eradicate poverty. Cambridge: Cambridge University Press. [Link]
- IPCC. (2021). *Sixth report of the working group of the intergovernmental panel on climate change*. Geneva: The Intergovernmental Panel on Climate Change (IPCC). [Link]
- Farjod, M. (2018). [Tehran Municipality Statistical Yearbook (Persian)]. Tehran: Tehran Municipality ICT Organization. [Link]



- Falahati, F., Alijani, B., Ghohrodi Tali, M., & Barati, M. (2012). [Site Selection of Appropriate Locations for Development of Orchards Using GIS & RS, by Emphasizing Climatic Factors (Case study: Walnut - Tehran Province) (Persian)]. *Geography and Environmental Sustainability*, 2(1), 43-54. [\[Link\]](#)
- Fatahian, M. (2018). [The impact of climate change on Iran's summer subtropical high pressure (Persian)] [PhD dissertation]. Tehran: Kharazmi University. [\[Link\]](#)
- Field, C. B., & Barros, V. R. (2014). *Climate Change 2014: Impacts, Adaptation and Vulnerability. Part B: Regional Aspects*. Cambridge: Cambridge University Press. [\[Link\]](#)
- Kamalakar, G., & Kamala, K. (2024). Urban growth, climate change, and the intensification of heat waves in India. *Urban India*, 44(2), 93-97. [\[Link\]](#)
- Karbalaee, A. R., Beygam Hejazizadeh, Z., Masoodian, S. A., & Keikhosravikiany, M. (2021). [Trend Analysis of Land surface temperature using Remote Sensing Data in Iran (Persian)]. *Journal of Geography and Environmental Hazards*, 10(2), 93-109. [\[DOI:10.22067/jgeo.2021.69462.1035\]](#)
- Khodajou, M., Motavali, S., Janbazghobadi, G., & Gandomkar, A. (2021). [Influence of synoptic atmospheric patterns on heat island intensity of Rasht city and climate Element's change (Persian)]. *Geography (Regional Planning)*, 11(44), 85-97. [\[DOI:10.22034/jgeo.2021.128864\]](#)
- Liu, Y., Zhang, W., Liu, W., Tan, Z., Hu, S., & Ao, Z., et al. (2024). Exploring the seasonal effects of urban morphology on land surface temperature in urban functional zones. *Sustainable Cities and Society*, 103, 105268. [\[DOI:10.1016/j.scs.2024.105268\]](#)
- Lauwaet, D., Hooyberghs, H., Maiheu, B., Lefebvre, W., Driesen, G., & Van Looy, S., et al. (2015). Detailed urban heat island projections for cities worldwide: Dynamical downscaling CMIP5 global climate models. *Climats*, 3(2), 391-415. [\[DOI:10.3390/cl3020391\]](#)
- Lu, H., Gaur, A., & Lacasse, M. (2024). Climate data for building simulations with urban heat island effects and nature-based solutions. *Scientific Data*, 11(1), 731. [\[DOI:10.1038/s41597-024-03532-5\]](#) [\[PMID\]](#)
- Li, Q., Zhang, H., Liu, X., & Huang, J. (2004). Urban heat island effect on annual mean temperature during the last 50 years in China. *Theoretical and Applied Climatology*, 79, 165-174. [\[DOI:10.1007/s00704-004-0065-4\]](#)
- Malekimejad, H., Solaimame, M., Jaedaei, A., & Shater, S. (2013). [Analysis of the precipitation and drought trend variations using Mann-Kendall and Sen Tests in Tehran Province (Persian)]. *Nivat*, 37(80-81), 43-54. [\[Link\]](#)
- Management and Planning Organization of Tehran. (2021). [City of Tehran Statistical yearbook (Persian)]. Tehran: Management and Planning Organization of Tehran. [\[Link\]](#)
- Mansouri, S., Khaledi, Sh., & Asadian, F. (2021). [The role of the heat island in the temperature change process of Tehran's urban area (Persian)]. *Territory*, 18(70), 65-84. [\[Link\]](#)
- Mansouri, S., & Zarghami, E. (2023). [Dynamic Analysis of Urban Heat Islands in Tehran (2013-2023) Based on MODIS Images and Google Earth Engine (Persian)]. *Journal of Remote Sensing and Geoinformation Research*, 2(1), 45-64. [\[DOI:10.22061/jrsgr.2024.10762.1057\]](#)
- Masoodian, S. A., & Torky, M. (2019). [Climatology of Surface Urban Heat Island of Ahwaz Metropolis (Persian)]. *Geography and Environmental Planning*, 30(1), 75-92. [\[DOI:10.22108/gep.2019.115913.1128\]](#)
- Masoodian, S. A. (2011). [Climate of Iran (Persian)]. Mashhad: Shariee-toos. [\[Link\]](#)
- Meftahi, M., Monavari, S. M., Kheirkhah Zarkesh, S. M. M., Vafaeinejad, A., & jozi, S. A. (2022). [Spatial-Temporal Variation of Heat Island Pattern in Tehran and Its Effective Factors (Persian)]. *Environmental Researches*, 13(25), 67-91. [\[Link\]](#)
- Mohammadi, N., Hejazizadeh, Z., Zeaiean Firouzabadi, P., & Karbalaei, A. (2024). [Detection of the effect of climate change on the mechanism of heat Islands in Tehran Province (Persian)]. *Nivat*, 48(124-125), 203-224. [\[DOI:10.30467/nivat.2024.442784.1281\]](#)
- Najafian, M. R., Moghimi, E., & Mohamadi, H. (2017). [Evaluation of temperature changes, heat island pattern and vegetation cover during hot days in Tehran (Persian)]. *Journal of Physical Geography*, 10(38), 1-18. [\[Link\]](#)
- Nasiri, R., Motesaddi Zarandi, S., & Motlagh, M. E. (2022). [Climate change and the challenges of quantitative assessment of urban climate change: A case study in Tehran Metropolis (Persian)]. *Journal of School of Public Health and Institute of Public Health Research*, 19(3), 293-314. [\[Link\]](#)
- Noorbakhsh, M., & Nazari Nejad, A. (2022). [Investigation of the relationship between NDVI and EVI vegetation indices and land surface temperature in Tehran (Persian)]. *Journal of Geography and Human Relations*, 5(1), 225-236. [\[Link\]](#)
- Pohlert, T. (2023). *Non-parametric trend tests and change-point detection*. California: Creative Commons. [\[Link\]](#)
- Pourdehimi, S., Tahsildoust, M., & Ameri, P. (2019). [Effect of vegetation cover on energy consumption optimization due to reduction of urban heat island intensity: Case of Tehran Metropolitan Area (Persian)]. *Quarterly Journal of Energy Policy and Planning Research*, 5 (3), 97-122. [\[Link\]](#)
- Rahimzade, F., Asgari, A., & Nohi, K. (2003). [An insight into the difference in the rate of increase in minimum and maximum temperatures and the decrease in the diurnal range of temperatures in the country (Persian)]. Paper presented at National-Regional Climate Change Conference, Isfahan, Iran, 20 October 2003. [\[Link\]](#)
- Rahimzade, F., & Asgari, A. (2004). [An insight into the difference in the rate of increase in minimum and maximum temperatures and the decrease in the diurnal range of temperatures in the country (Persian)]. *Geographical Research Journal*, 73(2), 155-171. [\[Link\]](#)
- Ranjbar, A., Azadi, M., Bidokhti, A. A., & Sadeghi, S. A. (2005). [A case study of Tehran heat island and its numerical simulation (Persian)]. *Journal of the Earth and Space Physics*, 31(1), 63-78. [\[Link\]](#)
- Sadeghimia, A., Alijani, B., & Ziaeian, P. (2013). [Analysis of spatial-temporal structure of the urban heat island in Tehran through remote sensing and geographical information system (Persian)]. *Geography and Environmental Hazards*, 1(4), 1-2. [\[Link\]](#)
- Shakiba, A., Firoozabadi, P., Ashorlo, D., & Namdari, S. (2009). [Analysis of relationship between land use/cover and urban Heat Island, Using ETM+(Persian)]. *Iranian Journal of Remote Sensing and GIS*, 1(1), 39-58. [\[Link\]](#)
- Stewart, I. D. (2019). Why should urban heat island researchers study history? *Urban Climats*, 30, 100484. [\[DOI:10.1016/j.uclim.2019.100484\]](#)



- Sodoudi, S., Shahmohamadi, P., Vollack, K., Cubasch, U., & Che-Ani, A. I. (2014). Mitigating the urban heat island effect in megacity Tehran. *Advances in Meteorology*, 2014(1), 547974. [DOI:10.1155/2014/547974]
- Siswanto, S., Nuryanto, D. E., Ferdiansyah, M. R., Prastiwi, A. D., Dewi, O. C., & Gamal, A., et al. (2023). Spatio-temporal characteristics of urban heat Island of Jakarta metropolitan. *Remote Sensing Applications: Society and Environment*, 32, 101062. [DOI:10.1016/j.rsase.2023.101062]
- Salmi, T. (2002). Detecting trends of annual values of atmospheric pollutants by the Mann-Kendall test and Sen's slope estimates-the Excel template application MAKESENS. Ilmatieteen laitos. [\[Link\]](#)
- Sheikhi, V., Malakoti, H., & Ghader, S. (2021). [Numerical simulation of the performance of summer heat island control programs in Tehran metropolis by evaluating heat fluxes (Persian)]. *Journal of Spatial Analysis Environmental Hazards*, 7(4), 105-126. [\[Link\]](#)
- Escourroue, G. (1998). *Climate and the city: Urban environment* [Sh. Khaledi, Persian trans.]. Tehran: Tabiat Publisher. [\[Link\]](#)
- Tabatabaei, S. (2014). [An investigation of urban-environmental management in Tehran during three historical periods of Qajar, Pahlavi and post Islamic revolution (Persian)]. *Scientific Research Quarterly of Geographical Data (SEPEHR)*, 22(88), 69-74. [\[Link\]](#)
- Thanvisitthpon, N., Nakburee, A., Khamchiangta, D., & Saguansap, V. (2023). Climate change-induced urban heat Island trend projection and land surface temperature: A case study of Thailand's Bangkok metropolitan. *Urban Climate*, 49, 101484. [DOI:10.1016/j.ulclim.2023.101484]
- Tayyebi, A., Shafizadeh-Moghadam, H., & Tayyebi, A. H. (2018). Analyzing long-term spatio-temporal patterns of land surface temperature in response to rapid urbanization in the mega-city of Tehran. *Land Use Policy*, 71, 459-469. [DOI:10.1016/j.landusepol.2017.11.023]
- Urban Planning and Architecture Research Center of Iran. (2000). [*Tehran Urban Complex Plan Report* (Persian)]. Tehran: Urban Planning and Architecture Research Center of Iran.
- While, A., & Whitehead, M. (2013). Cities, urbanisation and climate change. *Urban Studies*, 50(7), 1325-1331. [DOI:10.1177/0042098013480963]
- Wan, Z. (2007). *Collection-5 MODIS land surface temperature products users' guide*. California: ICES, University of California, Santa Barbara. [\[Link\]](#)



## Research Paper

### Flood Risk Zoning Using Fuzzy Logic Model; Case Example: Lavasanat Watershed



\*Sayad Asghari Sareskanroud<sup>1</sup>, Aqil Madadi<sup>2</sup>, Maherukh Sardashti<sup>3</sup>

1. Department of Natural Geography/Geomorphology Orientation, Faculty of Social Sciences, University of Mohaghegh Ardabili, Ardabil, Iran.



**Citation** Asghari Sareskanroud, S., Madadi, A., & Sardashti, M. (2025). [Flood Risk Zoning Using Fuzzy Logic Model; Case Example: Lavasanat Watershed (Persian)]. *Disaster Prevention and Management Knowledge*, 15(2):144-159. <https://doi.org/10.32598/DMKP.15.2.906.1>

<https://doi.org/10.32598/DMKP.15.2.906.1>

## ABSTRACT

**Background and objective** Iran is prone to various natural disasters including floods. The location of zones at risks of floods is necessary for making optimal decisions for its management. This study aims to locate the zones with flood risk in the Lavasanat watershed using the fuzzy logic model.

**Method** In this research, the most important factors affecting floods, including precipitation, slope, land use, distance from waterways, elevation, and lithology, were considered for flood risk zoning. These data were classified and weighted based on the opinions of 30 experts in the fields of geography, natural resources, and civil engineering. A questionnaire was prepared and distributed among them, and they were asked to weigh each factor between 0 and 1. Then, based on the fuzzy logic model, flood zoning maps were prepared in the ArcGIS software. To eliminate the limitations of fuzzy multiplication and sum models, a fuzzy gamma operator of 0.9 was used for flood risk zoning. In the final prepared maps, the study area was divided into five zones in terms of flood risk: Very high risk, high risk, moderate risk, low risk, and no risk (safe).

**Results** The results showed that the very high-risk zone covered 11.8% of the area, the high-risk zone covered 11.3%, the moderate-risk zone covered 26.7%, the low-risk zone covered 30.2%, and the no-risk zone covered 20%.

**Conclusion** More than 23% of the region is in zones at high and very high risk of floods. These zones are mainly located around the main waterway. In urban and rural planning and construction in the study area, the requirements for flood prevention and risk mitigation, including the consideration of flood retention and storage areas, should be taken into account.

**Keywords** Flood, Risk zoning, Fuzzy logic, Watershed

#### Article Info:

Received: 24 Nov 2024

Accepted: 12 May 2025

Available Online: 01 Jul 2025

\* Corresponding Author:

Sayad Asghari Sareskanroud, Professor.

Address: Department of Natural Geography / Geomorphology Orientation, Faculty of Social Sciences, University of Mohaghegh Ardabili, Ardabil, Iran.

Tel: +98 (910) 4020251

E-mail: [s.asghari@uma.ac.ir](mailto:s.asghari@uma.ac.ir)



Copyright © 2025 The Author(s).

This is an open access article distributed under the terms of the Creative Commons Attribution License (CC-BY-NC: <https://creativecommons.org/licenses/by-nd/4.0/legalcode.en>), which permits use, distribution, and reproduction in any medium, provided the original work is properly cited and is not used for commercial purposes.



## Extended Abstract

### Introduction

**F**

flood is a natural disaster with severe negative impacts, especially on urban and peri-urban areas. The consequences of flood range from loss of life and property to disruption of essential services and infrastructure. Developing countries are particularly vulnerable to these disasters due to factors such as rapid population growth, inadequate infrastructure, and limited resources for disaster preparedness and disaster response. Various methods are used to mitigate the flood risks, ranging from geological and sedimentological approaches to climate change analyses. Among these methods, geomorphological techniques offer a comprehensive approach by integrating endogenous (internal processes of the Earth) and exogenous (external processes of the Earth) agents. By considering the interaction between geological features, surface processes, and climate factors, geomorphological methods provide comprehensive insights into risk zonation and facilitate the development of effective hazard mitigation measures and solutions. The purpose of this study is to locate the zones at risk of floods in the Lavasanat watershed located in Shemiranat County, Tehran Province, Iran. Due to its proximity to Tehran and having a rustic nature, Lavasanat has high economic value; thus, is always exposed to encroachments and illegal constructions. The occurrence of floods can have adverse effects on its watershed area and cause high sediment loads.

### Methods

In this research, the flood risk zoning in the study area was carried out based on the fuzzy logic model. The layers of slope, precipitation, distance from the waterway, land use, elevation and lithology were used to zone the flood risk. All layers were first classified. To implement the fuzzy logic model, it is necessary to first weight the layers based on the membership function. Each layer was thus weighted and converted into raster layers, and the layers were fuzzy in the value range of zero to one. The weighting was done based on the opinions of 30 experts, who were asked to complete a designed questionnaire and score each factor from 0 to 1. The precipitation factor was weighted by considering four categories, while distance from the waterway, slope, land use, and elevation had five categories, and lithology had 10 categories. After weighting the layers, we calculated them using the fuzzy sum model which complements the algebraic multiplication model. In the output map based on this model, the pixel values tend towards 1 (higher membership value).

As a result, more pixels are placed in the "very high risk" class. Then, the layers were fuzzified using the fuzzy multiplication model. In this model, all information layers are multiplied together. This model causes the numbers in the output map to become smaller and tend towards 0 (lower membership value); as a result, fewer pixels are placed in the "very safe" class.

### Results

Based on the results, the safe zone had an area of 3450 hectares, covering 20% of the area. This zone was mainly located away from waterways and was consistent with the steep and high-altitude areas. The area of the low-risk zone was 4874 hectares. Like the safe zone, this zone was located away from waterways and mainly covered the region's central areas, which have the largest area in the region. The area of the moderate-risk zone was 4276 hectares. The high-risk zone had an area of 2056 hectares, which were mainly located around waterways on low slopes and in areas with low vegetation cover. The very high risk zone had an area of 1980 hectares, which was located around waterways on low-slope areas, similar to the high-risk zone.

### Conclusion

More than 23% of the region is in zones at high and very high risk of floods, which are mainly located around the main waterway. In urban and rural planning, development, and construction, the requirements for flood prevention and risk reduction, including the provision of retention and storage areas, should be considered.

### Ethical Considerations

#### Compliance with ethical guidelines

This research was conducted in compliance with the ethical principles. Since there was no experiment on human or animal samples, the need for an ethical code was waived.

#### Funding

This research did not receive any specific grant from funding agencies in the public, commercial, or not-for-profit sectors.



#### Authors' contributions

All authors contributed equally to the conception and design of the study, data collection and analysis, interpretation of the results, and drafting of the manuscript. Each author approved the final version of the manuscript for submission.

#### Conflicts of interest

The authors declared no conflict of interest.



## مقاله پژوهشی

# پهنه‌بندی خطر وقوع سیلاب با استفاده از مدل منطق فازی، نمونه موردی: حوضه آبخیز لواسانات

\*صیاد اصغری سراسکانرود<sup>۱</sup>، عقیل مددی<sup>۱</sup>، ماهرخ سردشتی<sup>۱</sup>

۱. گروه جغرافیای طبیعی اکراپش زمین‌ورفولوژی، دانشکده علوم اجتماعی، دانشگاه محقق اردبیلی، اردبیل، ایران.



**Citation:** Asghari Sareskanroud, S., Madadi, A., & Sardashti, M. (2025). [Flood Risk Zoning Using Fuzzy Logic Model; Case Example: Lavasanat Watershed (Persian)]. *Disaster Prevention and Management Knowledge*, 15(2):144-159. <https://doi.org/10.32598/DMKP.15.2.906.1>

**doi:** <https://doi.org/10.32598/DMKP.15.2.906.1>

## حکم\*

**تیمه و هدف:** ایران کشوری حادثه‌خیز از نظر بلایای طبیعی از جمله سیلاب است. شناسایی نواحی در معرض خطر سیلاب برای اتخاذ تصمیمات پهنه‌بندی در مدیریت این پدیده ضروری است. هدف این پژوهش، تعیین مکان نواحی دارای خطر سیلاب در حوضه آبخیز لواسانات با استفاده از مدل منطق فازی است.

**روش:** در این تحقیق، مهم‌ترین عوامل مؤثر بر وقوع سیلاب شامل پارش، شبب زمین، کاربری اراضی، فاصله از آبراهه‌ها، ارتفاع و لیتوژوگی برای پهنه‌بندی خطر سیلاب مورد بررسی قرار گرفت. این داده‌ها براساس نظر ۲۰ نفر از متخصصان جغرافیا، منابع طبیعی و مهندسی عمران، طبقه‌بندی و وزن دهنی شدند. پرسش‌نامه‌ای تهیه و در اختیار آنان قرار گرفت تا هر عامل را در بازه ۰ تا ۱ وزن دهنی کنند. سپس با بهره‌گیری از مدل منطق فازی، نتشه‌های پهنه‌بندی خطر سیلاب در نرم‌افزار ArcGIS تهیه شد. برای رفع محدودیت‌های مدل‌های ضرب و جمع فازی، از ابراتور گامای فازی با مقادیر ۰/۹ استفاده شد. در نتشه‌های نهایی، منطقه مورد مطالعه از نظر خطر سیلاب به پنج پهنه شامل خطر بسیار زیاد، زیاد، متوسط، کم و بدون خطر (ایمن) تقسیم شد.

**نتایج:** نتایج نشان داد پهنه با خطر بسیار زیاد ۱۱/۸ درصد، پهنه با خطر زیاد ۱۱/۳ درصد، پهنه با خطر متوسط ۲۶/۷ درصد، پهنه با خطر کم ۳۰/۲ درصد، و پهنه بدون خطر ۲۰ درصد از مساحت منطقه را پوشش می‌دهند.

**نتیجه‌گیری:** بیش از ۲۲ درصد از منطقه مورد مطالعه در پهنه‌های دارای خطر زیاد و بسیار زیاد سیلاب قرار دارد. این نواحی عمدتاً در اطراف آبراهه اصلی واقع شده‌اند. در برنامه‌ریزی‌های شهری و روستایی و فعالیت‌های عمرانی منطقه، ضرورت دارد تهدیاتی برای پیشگیری و کاهش خطر سیلاب از جمله در نظر گرفتن مناطق نگهدارنده و ذخیره سیلاب لحاظ شود.

**کلیدواژه‌ها:** سیل، کوهستان، سامانه اطلاعات جغرافیایی (GIS)، آسیب‌پذیری، حوضه آبخیز لواسانات

اطلاعات مقاله:

تاریخ دریافت: ۶ آذر ۱۴۰۲

تاریخ پذیرش: ۲۲ اردیبهشت ۱۴۰۴

تاریخ انتشار: ۱۰ تیر ۱۴۰۴

\* نویسنده مسئول:

دکتر صیاد اصغری سراسکانرود

نشانی: اردبیل، دانشگاه محقق اردبیلی، دانشکده علوم اجتماعی، گروه جغرافیای طبیعی / اکراپش زمین‌ورفولوژی

تلفن: +۹۸ (۰۱۰) ۴۰۲-۲۰۵۱

پست الکترونیکی: s.asghari@uma.ac.ir



نابرایری‌های اجتماعی اقتصادی موجود و چالش‌های زیست‌محیطی را تشید می‌کند (کسلا-روم و همکاران، ۲۰۲۲). روش‌های مختلفی برای مطالعه و کاهش خطرات سیلاب، از رویکردهای زمین‌شناسی و رسوب‌شناسی گرفته تا تحلیل‌های اقلیمی مورد استفاده قرار می‌گیرد. در میان این روش‌ها، تکنیک‌های ژئومورفولوژیکی با ادغام متغیرها و دینامیک درون‌زا (فرایندهای درونی زمین) و برون‌زا (فرایندهای زمین خارجی) رویکردی جامع ارائه می‌دهند. با در نظر گرفتن تأثیر متقابل بین ویژگی‌های زمین‌شناسی، فرایندهای سطحی و عوامل آب‌هوایی، روش‌های ژئومورفولوژیکی بینش‌های جامعی را در مورد پهن‌بندی خطر ارائه می‌کنند. توسعه اقدامات و راه حل‌های مؤثر باعث کاهش خطر می‌شوند. علاوه‌بر این روش‌های ژئومورفولوژیکی ارتباط جهانی را از طریق کاربردهای گسترده خود در کاهش خطر مخاطرات نشان می‌دهند (لوسکی و همکاران، ۲۰۰۶).

نقشه‌های ژئومورفولوژیکی مبنای محکمی برای پهن‌بندی خطر ارائه می‌دهند، زیرا از تجزیه و تحلیل کامل ویژگی‌های فیزیکی زمین، از جمله شبیه، زمین‌شناسی و داده‌های تاریخی زمین‌لغزش به دست آمداند. این نقشه‌ها به عنوان یک ابزار ضروری برای شناسایی مناطق احتمالی مستعد زمین‌لغزش عمل می‌کنند. در حالی که عواملی مانند فعالیت لرزه‌ای، بارندگی و مداخلات انسانی می‌توانند بر وقوع زمین‌لغزش تأثیر بگذارند، نقشه‌برداری ژئومورفولوژیکی پایه کافی برای شناسایی خطر باقی می‌ماند. زمانی که نقشه‌های ژئومورفولوژیکی با سایر عوامل خطر، مانند داده‌های بارندگی و الگوهای کاربری اراضی انسانی ادغام می‌شوند، چارچوبی جامع برای مدیریت و برنامه‌ریزی مؤثر ریسک ارائه می‌کند (چن و همکاران، ۲۰۲۰). مطالعات بسیاری در ارتباط با سیلاب در سطح ایران و جهان صورت گرفته است. سان و همکاران (۲۰۲۵) مقاله‌ای تحت عنوان «چارچوب مبتنی بر مکانی برای شبیه‌سازی سریع سیل ناشی از طوفان و ارزیابی ریسک جامع با استفاده از GWDD و FUZZY-SWARA» به نگارش درآورده‌اند. نتایج نشان داد در مقایسه با روش‌های سنتی، این رویکرد تحلیل مکانی، مدل‌های فیزیکی راسانه می‌کند و بازده محاسباتی را ۶۷/۴۴ برابر افزایش می‌دهد و در عین حال دقت محاسباتی را ۸۴/۰۸ درصد را با حداقل از دست دادن دقت حفظ می‌کند.

رینسوفسر و همکاران (۲۰۲۵) مطالعه‌ای تحت عنوان پایش خطر سیل در سوئیس به نگارش درآورده‌اند. نتایج نشان‌دهنده تغییرات سالانه خطر سیل در سوئیس و در واحدهای اداری مختلف، تنوع مکانی تکامل خطر سیل و تغییرپذیری در تکامل اجزای خطر سیل است. بین سال‌های ۲۰۱۴ تا ۲۰۲۲، کل خطر سیل در سوئیس ۲۶ درصد، منطقه خطر ۳۲ درصد و قرار گرفتن در معرض، ۳۵ درصد افزایش یافته است. تفکیک عوامل خطر به درک بهتر عوامل مهمی که خطر را افزایش یا کاهش می‌دهند، منجر می‌شود. با این حال در دسترس بودن و سازگاری داده‌ها چالش‌هایی برای پایش خطر سیل است.

## مقدمه

از آغاز تمدن بشری زندگی بشر همواره به‌وسیله مخاطرات طبیعی تهدید شده‌اند. سیلاب از جمله پدیده‌های طبیعی است که هر ساله سبب خسارات سنگین جانی و مالی می‌شود. تخریب منابع طبیعی چه به صورت بهره‌برداری بی‌رویه از جنگل‌ها و منابع طبیعی و چه به شکل تغییر کاربری اراضی و تبدیل آن‌ها به زمین کشاورزی نامناسب و ساخت مناطق مسکونی، موجب شده سیلاب‌ها سال به سال هم از نظر تعداد وقوع و هم از نظر شدت خسارات افزایش یابند. سیلاب یکی از مخرب‌ترین فاجایع طبیعی است که به‌شدت بر توسعه جهانی و اینمنی انسان تأثیر می‌گذارد (افشاری آزاد و پورکی، ۱۳۹۲؛ سبزوار، ۱۳۹۸). در سال‌های اخیر، فراوانی و شدت این مخاطره افزایش یافته که در درجه اول به تغییر اقلیم نسبت داده می‌شود (چن و همکاران، ۲۰۲۰). همچنین این روند توسط عوامل دیگری، مانند رشد جمعیت و فعالیت‌های اقتصادی که به‌شدت در برایر چنین مخاطراتی آسیب‌پذیر هستند، تشید می‌شود (هاگن و همکاران، ۲۰۱۰). در نتیجه، خطر سیل به‌طور قابل توجهی در سطح جهان افزایش یافته است (ونگ و همکاران، ۲۰۲۱).

براساس پیش‌بینی‌های صورت گرفته تغییرات اقلیمی که یکی از دلایل افزایش سیلاب‌ها هستند تا سال ۲۰۳۰ بیشتر افزایش می‌یابد (ونگ و همکاران، ۲۰۱۸). بدون اقدامات کافی برای کاهش خطر سیل، رشد اقتصادی اجتماعی مدلوم ممکن است منجر به افزایش ۲۰ برابر خسارات مطلق مرتبط با سیل تا سال ۲۱۰۰ شود (کلاتر و همکاران، ۲۰۲۱؛ لی و همکاران، ۲۰۲۲). علاوه‌بر این حوضه‌های آبخیز وسیع که با شرایط هیدرولوژیکی پیچیده، تمرکز جمعیت متراکم و فعالیت‌های اقتصادی پر جنبه‌جوش مواجه هستند، غالباً جریان‌های اوج بالا و قوع سیلاب‌های طولانی مدت را تجربه می‌کنند. در نتیجه، منابع مادی، مالی و انسانی قابل توجهی برای کنترل مؤثر سیل و تلاش‌های امدادی این مخاطره ضروری است (تیان و همکاران، ۲۰۲۲). در مطالعه چنین پدیده‌های بهتر است از نظریه فازی که می‌تواند متغیرهای نادقيق و مبهم را به شکل ریاضی درآورد، استفاده کرد. برای اجرای تکنیک فازی عملگرهایی نظریه اجتماع و اشتراک، ضرب جبری، جمع جبری و گاما نیاز است (علبدی و همکاران، ۱۳۹۵؛ آیگون و همکاران، ۱۴۰۳).

زمین‌لغزش و سیل خطرات طبیعی قابل توجهی را با اثرات شدید، به‌ویژه در مناطق شهری و حومه شهری به وجود می‌آورند. پیامدهای این رویدادهای خسارات جانی و مالی تاختّل در خدمات و زیرساخت‌های اساسی متنوع است. کشورهای در حال توسعه، به دلیل عواملی مانند رشد سریع جمعیت، زیرساخت‌های ناکافی و منابع محدود برای آمادگی و واکنش در برایر مخاطرات، به‌ویژه در برایر اثرات زمین‌لغزش و سیل بیشتر آسیب‌پذیر هستند. این کشورها، باز نامتناسبی از این خطرات را تجربه کرده‌اند که



در این پژوهش برای از بین بردن نواقص ضرب و جمع فازی از عملگر گاما  $0/9$  برای پهنه‌بندی سیلاب استفاده شده است. رابطه عملگر فازی حالت کلی روابط عملگرهای ضرب و جمع است و می‌توان با انتخاب صحیح مقدار گاما پارامترهای کاهشی و افزایشی را هم‌مان تلقیک کرد و به مقدیری در خروجی‌ها دست یافت که حاصل سازگاری قابل اعتماد میان گرایشات افزایشی و کاهشی  $2$  عملگر ضرب و جمع فازی هستند. معمولاً حد واسطه یعنی  $0/7$  را در بیشتر پژوهش‌ها برای اینکه دقت بیشتری دارد انتخاب می‌کنند، اما در این پژوهش عملگر  $0/9$  انتخاب شد و برای اعتبارسنجی آن از نقاط انتخابی استفاده شد که در روش تحقیق توضیح داده شده است. در تمامی مطالعات و پژوهش‌های قبلی مناطق مورد مطالعه عمده‌ای دارای یکنواختی در نامهواری می‌باشند اما منطقه مورد مطالعه این پژوهش دارای اختلاف ارتفاع و شبیه زیادی بین مناطق پایین دست و بالا دست است. همچنین در این مطالعه سعی شد از ترکیب عملگرهای مختلف برای کسب نتیجه بهتر استفاده شود.

هدف از این پژوهش پهنه‌بندی خطر وقوع سیلاب در حوضه آبخیز لواساتان بود. وضعیت خاص منطقه مورد مطالعه، از جمله تزدیکی به تهران و بیلاقی بودن آن باعث شده این منطقه به یکی از گران‌ترین مناطق تبدیل شود و به لحاظ ارزش بالای اقتصادی همواره در معرض تجاوزات و ساخت و سازهای غیرقانونی قرار گیرد؛ بنابراین رخدان سیلاب می‌تواند اثرات نامطلوبی را بر رودخانه و کناره‌ها و نیز آورد رسوی بالا و غیره داشته باشد. با توجه به بررسی‌های به‌عمل آمده در طی سال‌های گذشته این منطقه با وقوع سیلاب‌های مخربی مواجه بوده است. از جمله می‌توان به سیلاب رخ داده در تاریخ  $22$  تا  $24$  فروردین  $1394$  اشاره کرد. طی بارندگی فراوان و آب شدن برف ارتفاعات و جاری شدن سیلاب به سمت پایین دست در منطقه حوضه رودخانه جاگرد، سیلابی قابل توجه حادث شد که در **تصویر شماره ۱**، نمایی از این سیلاب ویرانگر نشان داده شده است. به همین دلیل توجه به سیلاب و ارائه راهکار در این خصوص بسیار ضروری است.

## روش

### موقعیت منطقه مورد مطالعه

منطقه مورد مطالعه جزو حوضه آبخیز سد لتيان و در شمال شرق تهران واقع شده است (**تصویر شماره ۲**). براساس تقسیمات زمین‌ساختی نبوی، منطقه مورد مطالعه در بخش البرز - آذربایجان و از نظر زمین‌شناسی در زون البرز مرکزی قرار گرفته است. رودخانه اصلی این منطقه جاگرد است که از ارتفاعات البرز سرچشمه می‌گیرد (**ابراهیمی، ۱۳۹۹**).

**تلمن و همکاران (۲۰۲۳)** تصویر سنجش از دور ماهواره‌ای با وضوح بالا را از سال  $2000$  تا  $2018$  جمع‌آوری و نقشه‌های سیل مربوط به  $913$  رویداد سیل اصلی را تولید کردند. آن‌ها دریافتند کل منطقه سیل زده به  $2/23$  میلیون کیلومتر مربع رسیده است که بر تقریباً  $255$  تا  $290$  میلیون نفر تأثیر می‌گذارد. نتایج نشان می‌دهد بین سال‌های  $2000$  و  $2015$ ، جمعیت مناطق سیل‌خیز بهطور قابل توجهی افزایش یافته و از  $58$  میلیون نفر به  $86$  میلیون نفر رسید. این امر منجر به افزایش تقریباً  $24$  درصدی جمعیت جهان در معرض سیلاب شده است.

در ایران نیز کارهای بسیاری در زمینه سیلاب انجام شده که از جمله می‌توان به کارهای زیر اشاره کرد.

**قوواتی (۱۳۹۲)** پهنه‌بندی خطر سیلاب (سیل‌خیزی و سیل‌گیری) در محدوده شهر کرج و نواحی پیرامون آن را با استفاده از منطق فازی مورد بررسی قرار داد و با توجه به نقشه نهایی به دست آمده اشاره کرد مدل فازی با وجود بیچیدگی‌هایی که دارد دارای مزایای بسیاری در مطالعه پدیده‌های مختلف مرتبط با سطح زمین است و با توجه به نقشه نهایی به دست آمده از این مدل، سیل‌خیزی پهنه‌های خطر خیلی کم، خطر شمالی، شمال شرقی و شرقی منطقه مورد مطالعه واقع شده است.

**تجفی و کریمی کردابادی (۱۳۹۹)** به ارزیابی و پهنه‌بندی خطر سیلاب با استفاده از مدل ترکیبی AHP-FUZZY با تأکید بر امنیت شهری (مطالعه موردی: منطقه ۱ کلان‌شهر تهران) پرداختند. نتایج نشان می‌دهد پهنه‌های خطر خیلی کم، خطر کم و متوسط در شمال و مرکز محدوده مورد مطالعه قرار دارند و پهنه‌های خطر خیلی زیاد و زیاد، منطبق بر نقاط خروجی حوضه‌ها و در محدوده شهری منطقه قرار دارند. با توجه به نقشه نهایی به دست آمده از پهنه‌بندی سیلاب و در راستای توسعه و امنیت شهری باید از ساخت و ساز در محدوده‌های با خطر بسیار زیاد و حریم مسیل‌ها و رودردهای متعدد در منطقه ۱ تهران ممانعت شود.

**آبغون و همکاران (۱۴۰۳)** در پژوهشی به بررسی آسیب‌های واردہ به رودخانه تالار پرداختند و چارچوبی برای تحلیل مخاطرات مشابه در سایر رودخانه‌های کشور ارائه دادند. نتایج این تحقیق نشان‌دهنده ضرورت همکاری میان نهادهای دولتی، محلی و جامعه مدنی برای ایجاد راهکارهای مؤثر در مدیریت پایدار منابع آبی است که با درک عمیق از چالش‌های موجود و اتخاذ شیوه‌های جامع مدیریت، می‌توان به حفاظت از این منابع ارزشمند و بهبود کیفیت زندگی عمومی کمک کرد.



تصویر ۱. آب‌گرفتگی ساخت‌وسازهای غیرمجاز در اثر سیلاب مورخ ۲۲ تا ۴۲ قروردهن ماه سال ۱۴۰۳ (عکس از نگارندگان).

در مدل فازی هر عضو هم‌زمان در مجموعه‌های مختلف، ولی به درجات متفاوت عضویت دارد. درجات عضویت مقداری بین صفر و ۱ و نیز خود این دو حد را می‌پذیرد. برای اجرای تکنیک فازی به عملگرهایی نظیر OR (اجتماع)، AND (اشتراک)، Prod، uct (ضرب جبری)، Sum (جمع جبری) و Gamma (گاما) نیاز است. در عملگر OR پیکسلی که فقط از نظر یک نقشه مناسب بوده و ارزش ۱ داشته باشد و از لحاظ سایر لایه‌های اطلاعاتی دارای ارزش صفر باشد، در نقشه خروجی تلفیق یافته و ارزش ۱ می‌گیرد و مناسب تشخیص داده می‌شود. در عملگر AND فقط پیکسلی که در تمامی نقشه‌های پایه ارزش ۱ دارد، در نقشه نهایی ارزش ۱ خواهد داشت و جزء مناطق مناسب قرار می‌گیرد. عملگر Product موجب می‌شود تا اعداد مجموعه‌ها کوچکتر شده و به سمت صفر میل کنند. اما عملگر Sum برخلاف عملگر Product موجب می‌شود تا اعداد به سمت ۱ میل کنند. جهت تعديل حساسیت خیلی بالای عملگر Product و دقت خیلی کم عملگر Sum عملگر دیگری به نام Gamma تعریف شده است. مقدار گاما تعديل‌کننده بین صفر و ۱ است و از طریق قضاآت کارشناسانه تعیین می‌شود. گامای صفر معادل ضرب فازی و گامای ۱ معادل جمع فازی است (جیانگ و همکاران، ۲۰۲۳).

در این مطالعه از عملگرهای Gamma، Product و Sum استفاده شده است. با عنایت به مراتب فوق در این تحقیق ابتدا تمام لایه‌ها طبقه‌بندی شدند. بهمنظور اجرای مدل منطق فازی لازم است ابتدا لایه‌ها براساس تابع عضویت، وزن دهی شوند. هر ارزشی صفر تا ۱ فازی شدند (فرمول‌های شماره ۳، ۲۰۱).

$$1. \text{ Combination} = \prod_{i=1}^n i(1 - \mu_i)$$

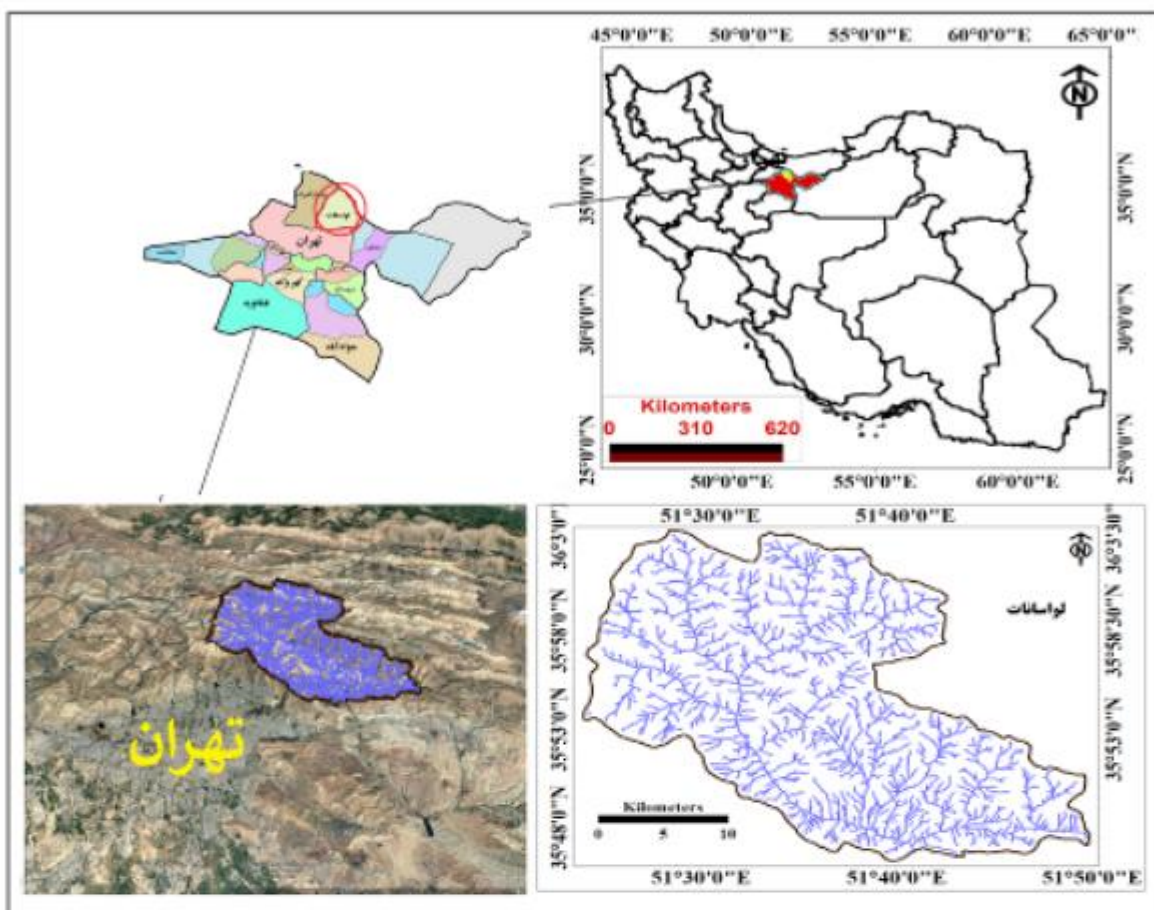
$$2. \text{ Combination} = \prod_{i=1}^n \mu_i$$

$$3. \text{ Combination} = (\text{Fuzzy Alg. Sum}) * (\text{Fuzzy Alg. Product}) \mu$$

منطقه مورد مطالعه در عرض جغرافیایی ۳۵ درجه و ۴۵ دقیقه تا ۳۶ درجه شمالی و طول جغرافیایی ۵۱ دقیقه و ۳۰ درجه تا ۵۱ درجه و ۴۵ دقیقه شرقی واقع شده است. رودخانه جاگرود از ارتفاعات خرسنگ، جاستون، سرکچال، دیزین، آهار، شکرآب، گرمابدرا و غیره سرچشمه گرفته و از بهم پیوستن شاخه‌های گرمابدرا، اینیک، روت، میگون، شمشک، فشم و لوشان در منطقه رودبار قصران تشکیل شده است و به سد لتبان منتهی می‌شود. از دیگر رودخانه‌های این حوضه، رودخانه افجه و کندرود در لوانسان و رودخانه لوارک است. این منطقه یکی از حوزه‌های آبخیز کوهستانی کشور با ارتفاع و شبیب زیاد است. ارتفاع متوسط منطقه ۲۳۲۹ متر از سطح دریا و شبیب متوسط آن ۴۱ درصد است. برهمین اساس کمترین ارتفاع منطقه ۱۵۳۵ متر است که در جنوب غرب منطقه مشاهده می‌شود و بیشترین ارتفاع منطقه ۴۲۸۰ متر است که در قسمت‌های شمالی منطقه قابل مشاهده است (ابراهیمی، ۱۳۹۹).

#### روش تحقیق

براساس مطالعات و پژوهش‌های صورت گرفته در مورد خطر سیلاب، عوامل بسیاری در آن دخیل‌اند. در این تحقیق برای پنهان‌بندی خطر سیل در منطقه مورد مطالعه از لایه‌های شبیب، بارش، فاصله از آبراهه، کاربری اراضی، ارتفاع و لیتوژوئی استفاده شد. با توجه به اینکه پدیده‌هایی نظیر سیلاب تحت تأثیر عوامل بسیاری قرار دارند و این عوامل قطعی و صددرصدی نیستند، در این تحقیق پنهان‌بندی خطر وقوع سیلاب براساس مدل منطق فازی صورت پذیرفت. منطق فازی شیوه‌های مرسوم برای طراحی و مدل‌سازی یک سیستم را که نیازمند ریاضیات پیشرفته و نسبتاً پیچیده است با استفاده از مقداری و شرایط زبانی و یا به عبارتی دانش فرد خبره و با هدف ساده‌سازی و کارآمدتر شدن طراحی سیستم، جایگزین و یا تا حد زیادی تکمیل می‌کند (کلانتر و همکاران، ۲۰۲۱).



تصویر ۲. نقشه موقعیت منطقه مورد مطالعه

شناسایی قرار گرفتند و سپس پرسش نامه‌ای تهیه و بین آن‌ها توزیع و از آن‌ها خواسته شد به هر عامل بین صفر تا ۱ وزن دهدند. بدین ترتیب اگر نقش عامل در وقوع سیلاب در منطقه زیاد است وزن بیشتر و امتیازش نزدیک به ۱ و اگر نقش کمتری دارد وزن کمتر و امتیازش نزدیک به صفر بود.

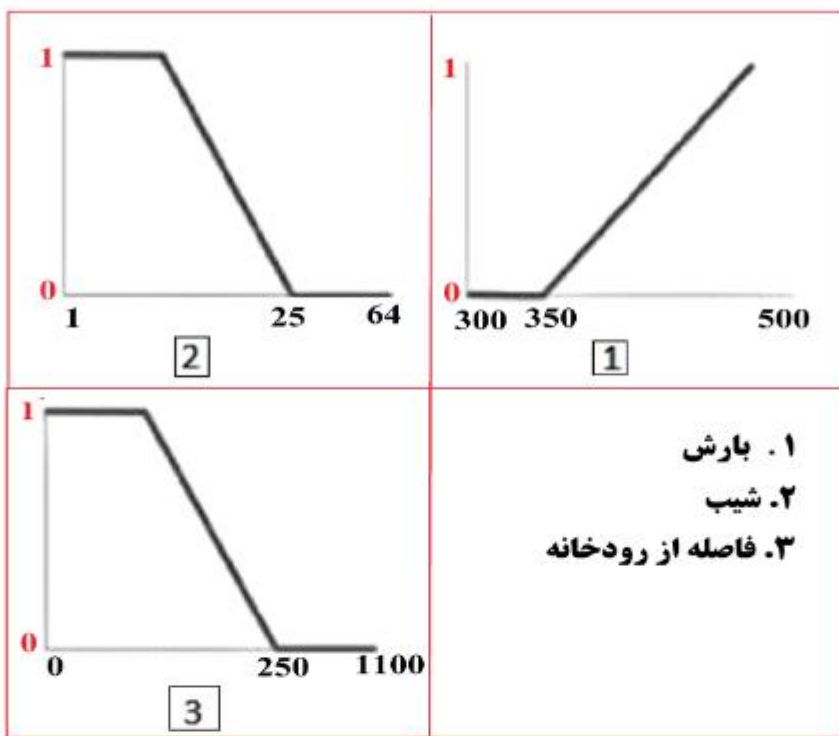
به منظور اعتبارسنجی نقشه پیش‌بینی پتانسیل سیل، مجموعه نقاط اعتبارسنجی (۳۵ نقطه، ۹۲ درصد مجموع نقاط) استفاده شدند. در این مرحله ۳۵ نقطه در محیط GIS با نقشه حساسیت سیل روی هم گذاری شدند، سپس با استفاده از دستور Sample هر کدام از نقاط که در طبقات نقشه پیش‌بینی قرار گرفتند، نمونه برداری شدند و بدین ترتیب و با استفاده از هیستوگرام فراوانی وقوع نقاط سیل گیر، صحبت‌سنجی نقشه پیش‌بینی انجام شد.

تابع عضویت هر یک از لایه‌ها در مدل براساس نوع رابطه‌ای که هر پارامتر با پدیده سیل خیزی در منطقه مورد مطالعه دارد، تعیین شده است که با توجه به میزان اهمیت و تأثیر در رخداد سیلاب، لایه‌ها طبقه‌بندی، امتیازدهی و وزن دهن شدند (تصویر شماره ۳). عامل بارش با پدیده سیلاب رابطه مستقیم دارد، یعنی با افزایش مقدار بارش در منطقه خطر سیلاب افزایش می‌یابد (دالس، ۲۰۲۰).

در رابطه گام‌ای فازی ۷ پارامتر انتخاب شده در محدوده صفر و ۱ است. وقتی ۷ برابر ۱ باشد ترکیب همان جمع جبری فازی خواهد بود و وقتی لا صفر باشد، ترکیب اصلی برابر با حاصل ضرب جبری فازی است. انتخاب صحیح و آگاهانه بین صفر و ۱ مقادیری را در خروجی به وجود می‌آورد که نشان‌دهنده سازگاری قابل انعطاف میان گرایشات کلاهشی و افزایشی ۲ عملگر جمع و ضرب فازی هستند. این عملگر زمانی استفاده می‌شود که اثر برخی شواهد کلاهشی و اثر برخی افزایشی باشد (فرج‌زاده، ۱۳۹۲).

از میان معیارها، شبی از مدل رقومی ارتفاع منطقه استخراج شد که مستقیماً ماهیت رسترنی داشته و نیازی به انجام رسترنی نداشته است. معیارهای کاربری اراضی چون به صورت برداری (وکتوری) هستند در جدول اعداد توصیفی فیلدهای تحت عنوان وزن فازی درست شد و طبق آن رسترنی شدند. معیارهای فاصله از فاصله از آبراهه با استفاده از دستور Euclidean Distance به لایه رسترنی تبدیل شده‌اند. معیار بارش هم با استفاده از دستور درون‌بایی<sup>۱</sup> IDW به دست آمد که خود این لایه رسترنی است. وزن دهن لایه‌ها براساس نظرات ۳۰ کارشناس و خبره در رشته‌های جغرافیا، منابع طبیعی و عمران صورت پذیرفت. کارشناسان و خبرگان از طریق مطالعه رزومه و مقالات مورد

#### 1. Inverse Distance Weighting



تصویر ۳. نوع تولیع قاری لایه‌ها و وزن دهن آن‌ها

## عامل آبراهه

این پارامتر با سیل خیزی رابطه معکوس دارد. بنابراین از رابطه خطی و کاهنده در تعیین عضویت این لایه استفاده شده است. به عبارتی فاصله از آبراهه از دیگر پارامترهای مؤثر بر سیل خیزی است، هرچه فاصله از آبراهه در حوضه کاهش یابد خطر سیلاب نیز افزایش می‌یابد (جدول ۲۰۱۸). برای وزن دهن لایه فاصله از آبراهه، براساس اینکه با افزایش فاصله از آبراهه، میزان خطر سیلاب کمتر می‌شود، بنابراین امتیاز کمتری داده می‌شود (جدول شماره ۳).

## عامل کاربری اراضی

در منطقه موردمطالعه ۵ نوع کاربری اراضی در نظر گرفته شده است، به نحوی که به کاربری‌هایی که مرتبط با ساخت‌وساز شهری در منطقه بوده، به علت نفوذپذیری کمتر و نقش بیشتر در تولید رواتاب و سیل خیزی، وزن بیشتری تعلق گرفته. به کاربری‌هایی که پوشش گیاهی بیشتر داشتند یا به صورت بالات یا زمین‌های بایر بوده‌اند به علت نفوذپذیری بیشتر، تولید رواتاب کمتر و اهمیت کمتر در سیل خیزی وزن کمتری تعلق گرفته است (جدول شماره ۴).

## یافته‌ها

تعیین عضویت لایه‌ها در مدل سیلاب خیزی

## عامل بارش

رابطه بارش با سیل خیزی مستقیم است (آمکجی اوغلو و همکاران، ۲۰۲۱). برای وزن دهن لایه بارش، براساس اینکه با افزایش میزان بارش میزان خطر سیلاب بیشتر می‌شود نوع تابع برای وزن دهن آن خطی افزایشده است. بنابراین میزان بارش در منطقه به ۴ طبقه تقسیم و براساس وزن دهن شد (جدول شماره ۱).

## عامل شب

شبیب با پدیده سیلاب رابطه معکوس دارد؛ یعنی با کاهش مقدار شبیب در حوضه خطر سیلاب افزایش می‌یابد (قناوی، ۱۳۹۲). برای فازی‌سازی لایه شبیب، پاتوجهیه اینکه با افزایش میزان شبیب، میزان خطر سیلاب کاهش می‌یابد و نوع تابع برای فازی‌سازی آن خطی کاهشی است، با کاهش شبیب خطر وقوع سیلاب افزایش می‌یابد (جدول شماره ۲).



جدول ۱. وزن دهی لایه پارش براساس مدل منطق قازی

نام طبقه	بارش	وزن
۱	۳۵۰-۳۰۰	۱
۲	۴۰۰-۴۵۰	۳
۳	۴۵۰-۴۰۰	۴
۴	۴۵۰<	۵

جدول ۲. وزن دهی لایه شب براساس مدل منطق قازی

نام طبقه	شب	وزن
۱	۸-۰	۵
۲	۱۷-۸	۴
۳	۲۵-۱۷	۳
۴	۳۳-۲۵	۲
۵	۶۴-۳۳	۱

جدول ۳. وزن دهی لایه قاصله از آبراهه براساس مدل منطق قازی

نام طبقه	فاصله از آبراهه(متر)	وزن
۱	۲۰۰-۰	۵
۲	۵۰۰-۲۰۰	۴
۳	۸۰۰-۵۰۰	۲
۴	۱۱۰۰-۸۰۰	۲
۵	۱۱۰۰<	۱

جدول ۴. وزن دهی لایه کاربری اراضی براساس مدل منطق قازی

نام طبقه	کاربری اراضی	وزن
۱	زمین بازبرد	۱
۲	مناطق مسکونی	۵
۳	زمین های کشاورزی	۲
۴	مرتع	۴
۵	چنگل	۳

جدول ۵ وزن دهی لایه لیتوژوژی براساس مدل منطق فازی

نام طبقه	نوع سنگ	وزن
۱	توف	۵
۲	شیل	۲
۳	ماسه سنگ	۴
۴	کنگلومرا	۴
۵	شیست	۲
۶	آنزیت	۱
۷	بازالت	۲
۸	آبرفت	۵
۹	دولومیت	۱
۱۰	سنگ آهک	۱

جدول ۶ وزن دهی لایه ارتفاع براساس مدل منطق فازی

نام طبقه	طبقات ارتفاعی	وزن
۱	۲۰۰۰-۱۵۲۵	۱
۲	۲۵۰۰-۲۰۰۰	۲
۳	۳۵۰۰-۳۰۰۰	۲
۴	۳۵۰۰-۳۰۰۰	۴
۵	۳۲۸۰-۳۵۰۰	۵

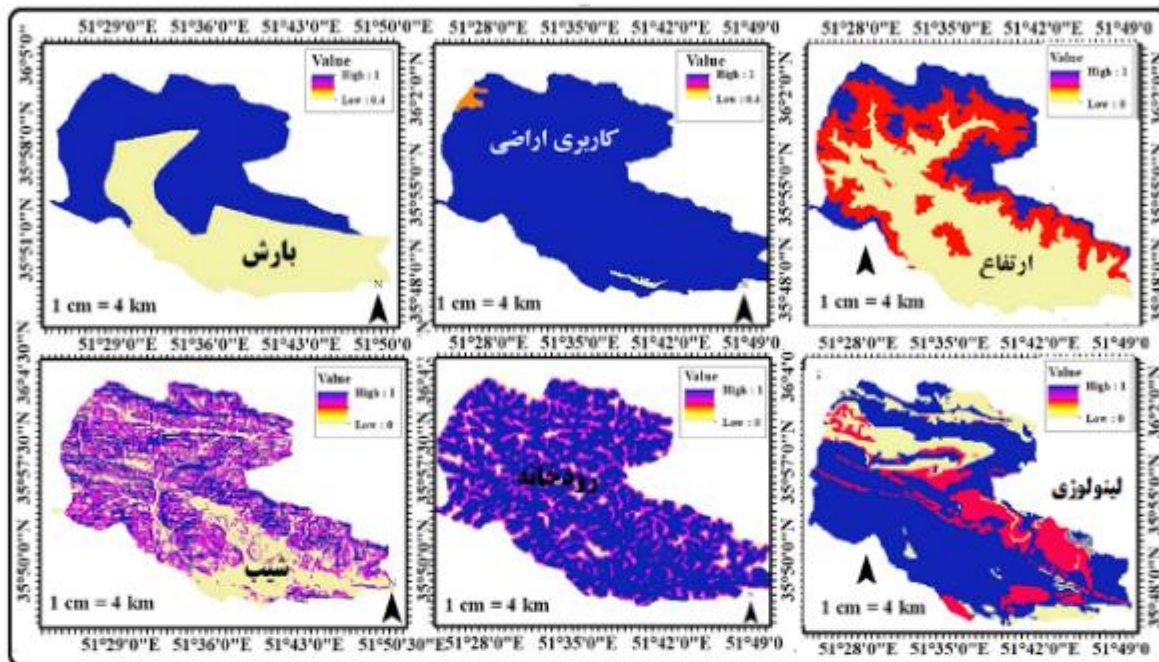
**بحث****عامل لیتوژوژی**

پس از استانداردسازی لایه های موردنظر با استفاده از مدل جمع فازی وزن نهایی لایه ها محاسبه گردید. این مدل مکمل، حاصل ضرب جبری است. به همین دلیل در نقشه خروجی برخلاف مدل ضرب جبری فازی ارزش پیکسل ها به سمت ۱ میل می کند. در نتیجه تعداد پیکسل بیشتری در کلاس خیلی خطرناک قرار می گیرد. به همین دلیل این عملگر حساسیت بالایی در مکانیابی دارد و از دقت زیادی برخوردار نیست. در تصویر شماره ۵ نقشه مدل جمع فازی برای محدوده موردمطالعه آورده شده است (سلیمی، ۱۳۹۰). سپس لایه ها براساس مدل ضرب فازی<sup>۱</sup> فازی سازی شدند. در این مدل تمامی لایه های اطلاعاتی در هم ضرب می شوند. به دلیل ماهیت اعداد بین صفر و ۱ که همان درجه عضویت اعضاء در مجموعه فازی است، این مدل باعث می شود تا در نقشه خروجی اعداد کوچکتر شده و به سمت صفر میل کنند؛ در نتیجه تعداد پیکسل کمتری در کلاس خیلی خوب قرار می گیرد (فوج زاده، ۱۳۹۲).

این لایه از ۱۰ طبقه تشکیل شده است. امتیاز دهی به واحدهای زمین شناسی براساس چگونگی نفوذ پذیری آنها ناتمام شده است. به گونه ای که به واحدهای که نفوذ پذیری بیشتری داشته اند برای سیل خیزی وزن کمتر و به واحدهایی که نفوذ پذیری کمتری دارند وزن بیشتری تعلق گرفته است (جدول شماره ۵).

**عامل ارتفاع**

این منطقه یکی از حوضه های آبخیز کوهستانی کشور با ارتفاع و شیب زیاد است. با توجه به تأثیر عامل ارتفاع در موقع سیل منطقه موردمطالعه به ۵ طبقه ارتفاعی تقسیم و براساس توابع منطقه فازی وزن دهی شد (جدول شماره ۶). به گونه ای که هر چه ارتفاع بیشتر باشد. نقش مهم تری در سیل خیزی منطقه دارد، زیرا مناطق مرتفع دلایی پتانسیل بیشتر در ارتباط با بارش و هدایت رواناب هستند. و درنهایت نقشه استانداردسازی شده فازی لایه های مذکور تهیه شد (تصویر شماره ۶).

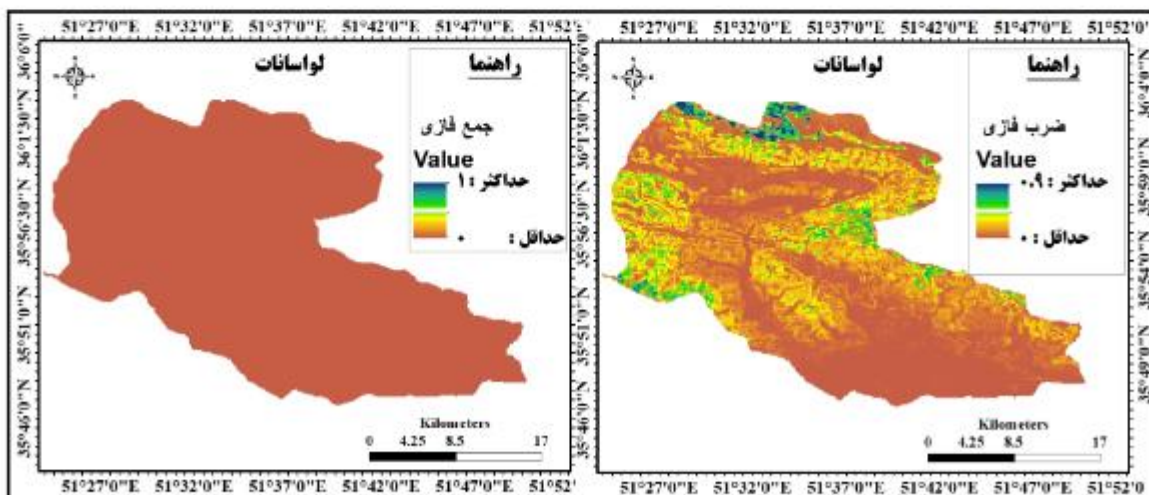


تصویر ۴. نقشه استانداردسازی شده قاری لایه‌های شیب، قابله از آبراهه، بارش، کاربیری اراضی، ارتفاع و لیتوژوژی

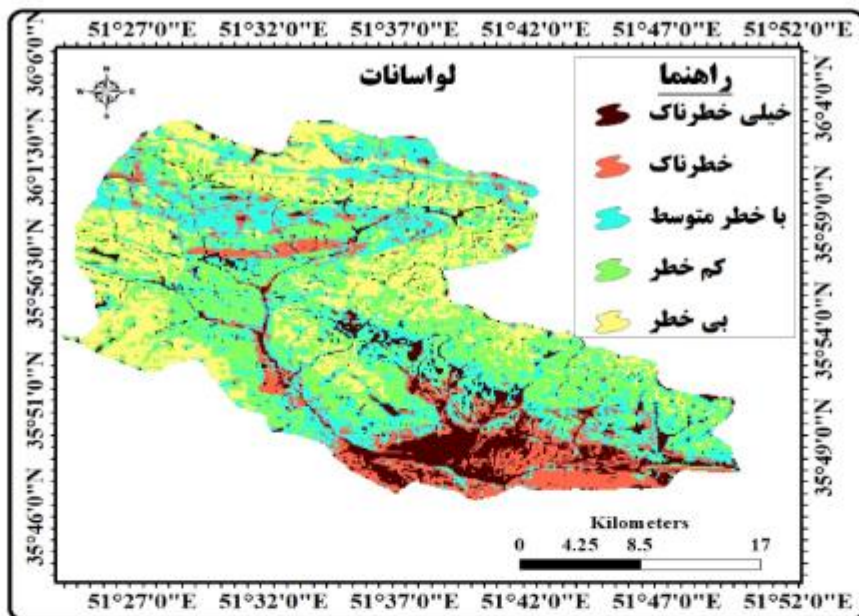
## ازیزیابی دقت نقشه پیش‌بینی استعداد سیل

به منظور ارزیابی دقت نقشه پیش‌بینی حساسیت سیل، از مجموع نقاط گروه اعتبارسنجی استفاده شد که نتایج آن به صورت هیستوگرام در تصویر شماره ۷ آرائه شده است. تفسیر هیستوگرام به این صورت است که در محور افقی هریک از طبقات مربوط به نقشه حساسیت قرار گرفته است و در محور عمودی درصد مساحت هریک از طبقات و همچنین درصد وقوع سیل‌های اتفاق افتاده در داخل هر طبقه از نقشه حساسیت سیل درج شده

براساس مدل ضرب فازی تقریباً ۷۵ درصد منطقه در پهنه بی خطر و کم خطر واقع شده‌اند. در حالی که براساس ضرب فازی بیش از ۹۵ درصد منطقه در پهنه خطرناک و خیلی خطرناک واقع شده است (جدول شماره ۷). برای از بین بردن نواقص ضرب و جمع فازی از عملگر گاما /۹ استفاده شده است. تصویر شماره ۶ نقشه پهنه‌بندی خطر وقوع سیلاب در منطقه موردمطالعه براساس عملگر گاما قاری را نشان می‌دهد. براساس این نقشه، منطقه موردمطالعه به ۵ پهنه خیلی خطرناک، خطرناک، با خطر متوسط، کم خطر و بی خطر تقسیم شده است.



تصویر ۵. قاری‌سازی لایه‌ها براساس ایرانور جمع و ضرب فازی



تصویر ۶. نقشه پهنپندی خطر وقوع سیلاب براساس عملگر گاما ۱۹ در منطقه مورد مطالعه

با نتایج تحقیق داس (۲۰۲۰) مطابقت دارد. مساحت پهنه کم خطر ۴۸۷۴ هکتار است. این پهنه نیز به مانند پهنه بی خطر دور از آبراهمهای واقع شده است و عمدتاً مناطق مرکزی منطقه را دربر می گیرد و بیشترین مساحت را در منطقه داراست. مساحت پهنه خطر متوسط ۴۲۷۶ هکتار است. پهنه خطرناک دارای مساحت ۲۰۵۶ هکتار است که عمدتاً در اطراف آبراهمهای در شیب‌های کم و در مناطق با پوشش گیاهی کم واقع شده‌اند. پهنه خیلی خطرناک نیز دارای ۱۹۸۰ هکتار می‌باشد که مانند پهنه خطرناک در اطراف آبراهمهای و مناطق کم‌شیب واقع شده‌اند. مسئله قابل توجه این است که پهنه‌های خیلی خطرناک و خطرناک عمدتاً در مجاورت آبراهه اصلی واقع شده‌اند که این یافته با نتایج تحقیق کلانتر و همکاران (۲۰۲۱)، کریمی سنگچینی و همکاران (۱۴۰۲)، انتظاری و همکاران (۱۳۹۸)، فرج‌زاده و همکاران (۱۳۹۷) مطابقت دارد. بیش از ۲۳ درصد منطقه جزو مناطق خیلی خطرناک و خطرناک به لحاظ خطر وقوع سیلاب است که با نتایج تحقیق نورعلی و همکاران (۱۳۹۶) مبنی بر اینکه پهنه خیلی خطرناک و خطرناک بیشترین وسعت را در منطقه دارند، مطابقت ندارد.

است. با توجه به اینکه ۳۵ نقطه انتخاب شده جهت صحبت‌سنگی درواقع نشان‌دهنده شرایط وقوع سیل هستند، بنابراین احتمال حضور این نقاط در طبقه‌های با حساسیت بیشتر (یعنی طبقه‌های خیلی زیاد و زیاد) و حتی در طبقه متوسط نیز دیده شود.

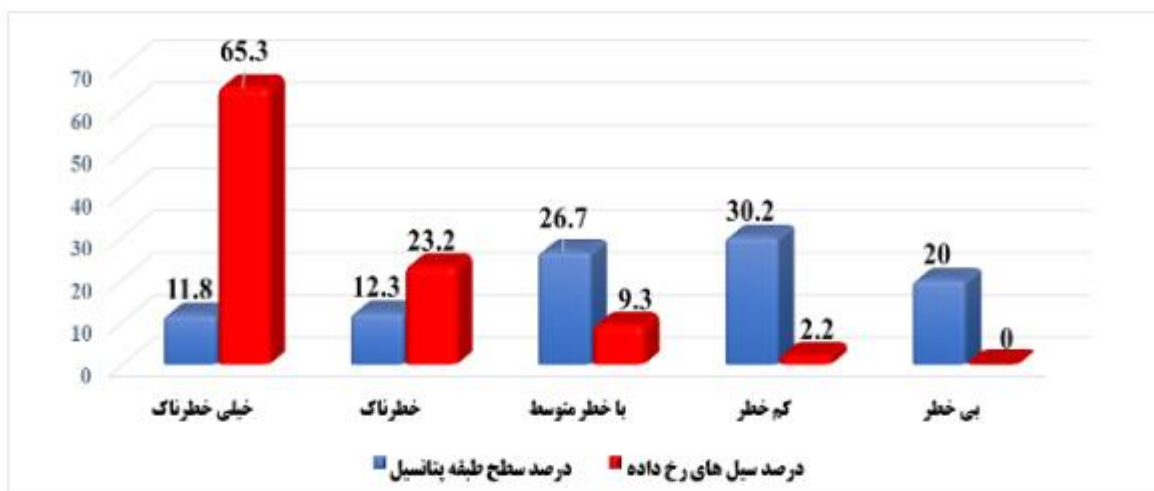
بنابراین با توجه به تصویر شماره ۷ مشخص می‌شود احتمال حضور نقاط سیل گیر گروه اعتبارسنجی داده‌ها در طبقه خیلی خطرناک برابر با ۶۵/۱۴ درصد و برای طبقه بی خطر این عدد برابر با صفر درصد است. این در حالی است که مساحت هر کدام از این طبقه‌ها به ترتیب ۱۱/۸ و ۲۰ درصد از مساحت کل را شامل می‌شوند. بنابراین هیستوگرام مربوطه تأیید کننده روش نسبت فراوانی در تعیین نقشه حساسیت سیل در منطقه مورد پژوهش است.

### نتیجه‌گیری

براساس نتایج بدست آمده پهنه بی خطر ۳۴۵۰ هکتار و ۲۰ درصد منطقه را دربر می‌گیرد. این پهنه عمدتاً دورتر از آبراهمهای واقع شده است و با مناطق پرشیب و پرارتفاع منطبق است که

جدول ۷. مساحت مناطق خطر وقوع سیلاب براساس عملگر گاما ۱۹، فازی

ردیف	میزان خطر	تعداد پیکسل خروجی	مساحت (هکتار)	درصد
۱	خیلی خطرناک	۶۶۰۱	۱۹۸۰	۱۱/۸
۲	خطرناک	۶۸۵۳	۲۰۵۶	۱۲/۳
۳	با خطر متوسط	۱۳۲۶۳	۴۲۷۶	۲۶/۷
۴	کم خطر	۱۶۲۵۸	۴۸۷۴	۳۰/۲
۵	بی خطر	۱۱۵۰۲	۳۲۵۰	۲۰



تصویر ۷. هیستوگرام ارزیابی صحت نقشه حساسیت سیل در حوزه آبخیز لوسانات

- استفاده از نرم‌افزارهای هوش مصنوعی و شبیه‌ساز برای سنجش میزان تاب‌آوری.

- با توجه به طرح آزادسازی تصرفات و تخریب ساخت‌وسازها در بستر رودخانه لوسانات که مجری آن دستگاه قضا است پیشنهاد می‌شود این طرح با جدیت ادامه پیدا کند و مانند گذشته تفاوتی بین املاک دولتی و خصوصی دیده نشود تا شاهد آزادسازی ۱۰۰ درصد حریم رودخانه باشیم.

### ملاحظات اخلاقی

#### پیروی از اصول اخلاقی پژوهش

این تحقیق با رعایت اصول اخلاقی انجام شد. از آنجایی که هیچ آزمایشی روی نمونه‌های انسانی یا حیوانی انجام نشد، نیازی به رعایت اصول اخلاقی نبود.

#### حامي مالی

این پژوهش هیچ‌گونه کمک مالی از سازمانی‌های دولتی، خصوصی و غیرانتفاعی دریافت نکرده است.

#### مشارکت‌نویسنده‌گان

همه نویسنده‌گان به‌طور یکسان در مفهوم و طراحی مطالعه، جمع‌آوری و تجزیه و تحلیل داده‌ها، تفسیر نتایج و تهیه پیش‌نویس مقاله مشارکت داشتند.

#### تعارض منافع

بنابر اظهار نویسنده‌گان، این مقاله تعارض منافع ندارد.

براساس نتایج تحقیق، متغیرهای مؤثر بر وقوع خطرات طبیعی در یک منطقه، به دلیل متفاوت بودن شرایط توپوگرافی، اقلیمی، هیدرولوژیکی، زئومورفولوژیکی، خاک‌شناسی و عوامل انسانی، ممکن است با منطقه دیگر متفاوت باشد که این با نتایج تحقیق چزگی و پویان (۱۴۰۲) از این لحاظ که شرایط محیطی نقش زیادی در وقوع مخاطرات محیطی دارد، مطابقت دارد.

نتایج هیستوگرام ارزیابی روش نسبت فراوانی نشان داد احتمال حضور نقاط سیل‌گیر گروه اعتبارسنجی داده‌ها در پهنه خیلی خطرناک برابر با ۶۵/۱۴ درصد و برای طبقه بی‌خطر این عدد برابر با صفر درصد است که این با نتایج تحقیق دارایی و همکاران (۱۳۹۵) مطابقت دارد.

باتوجه به یافته‌های ذیل پیشنهاد می‌شود:

- ایجاد بانک اطلاعاتی جامعه از نقاط ضعف و آسیب‌های موجود در مناطق مختلف بهمنظور شفافسازی و افزایش آگاهی از مشکلات و موانع در این حوزه.

- با توجه به اینکه منطقه خطرناک و خیلی خطرناک در قسمت جنوبی منطقه و در مجاورت شهر لوسانات قرار دارد استفاده از سازوکارهای مناسب برای کنترل و ارزیابی روند توسعه شهری و سنجش میزان هماهنگی آن با ساختار تاب‌آوری شهری پیشنهاد می‌شود.

- به کارگیری و استفاده از ابزارهای هوشمند برای تصویربرداری از بالا برای مشخص شدن تراکم ساختمان‌ها و تخریب فضاهای سبز برای افزایش اطلاعات و آگاهی از محیط و برنامه‌ریزی صحیح براساس آن.

- افزایش آگاهی مردم با تبلیغات و ایجاد برنامه‌های آموزشی برای بالا بردن سطح مشارکت اجتماعی جامعه در زمان وقوع حادثه.

## References

- Abgoun, A., Ebrahimi, K., & Heidari, M. (2024). [Investigating the Damaging Events of Talar River, Iran, in Tandem with Presenting a Proposed Framework (Persian)]. *Iranian Journal of Watershed Management Science and Engineering*, 18 (66), 73-87. [\[Link\]](#)
- Abedi, M., Sadeghi, J., & Rezvani, K. (2016). [Application of fuzzy theory in flood risk modeling under uncertain and imprecise data (Persian)]. *Journal of Water Engineering Sciences*, 6(3), 26-34.
- Afshariazad, M., & Poraki, H. (2013). [Environmental and geomorphological hazards assessment and their role on road transport (case study: Col Almass) (Persian)]. *Journal of Geography and Planning*, 16(42), 23-44. [\[Link\]](#)
- Arora, A., Arabameri, A., Pandey, M., Siddiqui, M. A., Shukla, U. K., & Bui, D. T., et al. (2021). Optimization of state-of-the-art fuzzy-metaheuristic ANFIS-based machine learning models for flood susceptibility prediction mapping in the Middle Ganga Plain, India. *The Science of The Total Environment*, 750, 141565. [\[DOI:10.1016/j.scitotenv.2020.141565\]](#) [\[PMID\]](#)
- Baldassarre, G.D., Guy, S., & Paul, D.B. (2009). A technique for the calibration of hydrologic models using uncertain satellite observation of flood extent. *Journal of Hydrology*, 367(3-4), 276-282. [\[DOI:10.1016/j.jhydrol.2009.01.020\]](#)
- Boithias, L., Acuña, V., Vergoríos, L., Ziv, G., Marcé, R., & Sabater, S. (2014). Assessment of the water supply-demand ratios in a Mediterranean basin under different global change scenarios and mitigation alternatives. *The Science of The Total Environment*, 470-471, 567-577. [\[DOI:10.1016/j.scitotenv.2013.10.003\]](#) [\[PMID\]](#)
- Chen, W., Li, Y., Xue, W., Shahabi, H., Li, S., & Hong, H., et al. (2020). Modeling flood susceptibility using data-driven approaches of naive Bayes tree, alternating decision tree, and random forest methods. *The Science of The Total Environment*, 701, 134979. [\[DOI:10.1016/j.scitotenv.2019.134979\]](#) [\[PMID\]](#)
- Chezgi, J., & Poyan, S. (2024). [Determining Flood-Prone Areas Using Machine Learning Models in the Shahrestank Watershed Area of Khosef City (Persian)]. *Iranian Journal of Watershed Management Science and Engineering*, 17 (63), 4. [\[Link\]](#)
- Darabi, F., Nikroosh, M., & Hosseinzadeh, B. (2016). [Flood hazard assessment in northern regions using frequency ratio method (Persian)]. *Journal of Natural Sciences Research*, 3(1), 38-49.
- Das, S. (2020). Flood susceptibility mapping of the Western Ghats Coastal Belt using multisource geospatial data and analytical hierarchy process (AHP). *Remote Sensing Applications: Society and Environment*, 20(4), 100379. [\[DOI:10.1016/j.rsa.2020.100379\]](#)
- Deng, X., & Xu, Y. (2018). Degrading flood regulation function of river systems in the urbanization process. *The Science of The Total Environment*, 622-623, 1379-1390. [\[DOI:10.1016/j.scitotenv.2017.12.088\]](#) [\[PMID\]](#)
- Ebrahimi, L. (2020). [Preparation of flood hazards management map using a new random forest algorithm (Case study: Lavasanat watershed) (Case study: Lavasanat watershed) (Persian)]. *Environmental Management Hazards*, 7(2), 181-196. [\[DOI:10.22059/jhsci.2020.307476.584\]](#)
- Ekmekcioğlu, O., Koc, K., & Ozger, M. (2021). Stakeholder perceptions in flood risk assessment: A hybrid fuzzy AHP-TOPSIS approach for Istanbul, Turkey. *International Journal of Disaster Risk Reduction*, 60, 102327. [\[DOI:10.1016/j.ijdr.2021.102327\]](#)
- Entazari, B., Kazemi, H., & Ramzani, A. (2019). [Statistical and fuzzy modeling of flood occurrence: Case study of the Shemiran watershed (Persian)]. *Iranian Journal of Water Resources Engineering*, 12(1), 101-115.
- Farajzade, M. (2012). [Flood risk assessment in sub-basins of West Azerbaijan province (Persian)]. *Quantitative Geomorphological Research*, 1, 59-68. [\[Link\]](#)
- Farajzadeh, M., Maleki, R., & Fattahi, N. (2018). [Evaluating flood risk in river-adjacent zones based on geomorphological parameters (Persian)]. *Iranian Hydrology Research*, 7(4), 77-89.
- Ghanavati, E. (2014). [FLOOD risk zonation for Karaj city using fuzzy logic (Persian)]. *Geography and Environmental Hazards*, 2(8), 113-132. [\[Link\]](#)
- Hagen, E., Shrader Jr, J. F., Lu, X. X., & Teufert, J. F. (2010). Reverse engineered flood hazard mapping in Afghanistan: A parsimonious flood map model for developing countries. *Quaternary International*, 226(1-2), 82-91. [\[DOI:10.1016/j.quaint.2009.11.021\]](#)
- Hong, H., Tsangaratos, P., Ilia, I., Liu, J., Zhu, A. X., & Chen, W. (2018). Application of fuzzy weight of evidence and data mining techniques in construction of flood susceptibility map of Poyang County, China. *Science of The Total Environment*, 625, 575-588. [\[DOI:10.1016/j.scitotenv.2017.12.256\]](#) [\[PMID\]](#)
- Hsieh, L. S., Hsu, M. H., & Li, M. H. (2006). An assessment of structural measures for flood-prone lowlands with high population density along the Keelung River in Taiwan. *Natural Hazards*, 37(10), 133-152. [\[DOI:10.1007/s11069-005-4660-1\]](#)
- Jiang, F., Tian, J., Aihemaiti, N., & Zeng, J. (2023). Assessment of the supply-demand relationship of plain urban eco-hydrological regulation service in response to rainstorm-flood disaster: A case study of Tianjin City. *Acta Ecologica Sinica*, 43(12), 4928-4942. [\[DOI:10.5846/stb202204301201\]](#)
- Kalantar, B., Ueda, N., Saeidi, V., Janizadeh, S., Shabani, F., Ahmadi, K., & Shabani, F. (2021). Deep neural network utilizing remote sensing datasets for flood hazard susceptibility mapping in Brisbane, Australia. *Remote Sensing*, 13(13), 2638. [\[DOI:10.3390/rs13132638\]](#)
- Karimi Sangchini, S., Dehghani, M., & Samaei, A. (2023). [Fuzzy logic application in flood risk assessment in urban areas (Persian)]. *Disaster Studies Quarterly*, 8(2), 45-60.
- Li, J., Fang, Z., Zhang, J., Huang, Q., & He, C. (2022). Mapping basin-scale supply-demand dynamics of flood regulation service: A case study in the Baiyangdian Lake Basin, China. *Ecological Indicators*, 139, 108902. [\[DOI:10.1016/j.ecolind.2022.108902\]](#)
- Najafi, E., and Karimi Kerdabadi, M. (2020). [Flood risk evaluation and zoning using with AHP-Fuzzy Combined Model with emphasis on urban safety (case study: Region 1 of Tehran Municipality) (Persian)]. *Journal of Geography and Environmental Hazards*, 9(2), 43-60. [\[DOI:10.22067/geo.v9i2.86110\]](#)
- Nourali, D., Moradi, A., & Salehi, Y. (2017). [Extent of flood-prone zones in the Zayandeh-Rud basin using GIS (Persian)]. *Journal of Geological Sciences*, 10(2), 55-70.
- Quesada-Román, A., Castillo, C., & Martínez, J. (2022). Socioeconomic disparities and environmental challenges in landslide and flood risks in developing countries. *International Journal of Disaster Risk Reduction*, 65, 102547.

- Rindsfüser, N., Mosimann, M., Keiler, M., & Zischg, A. P. (2025). Flood risk monitoring in Switzerland: Proof of concept. *International Journal of Disaster Risk Reduction*, 119, 105337. [DOI:10.1016/j.ijdr.2025.105337]
- Sabzevar, A. (2008). [Comparison of fuzzy logic model with other GIS-compatible conceptual models in locating flood-prone areas using ETM sensor satellite data (Persian)]. Proceedings of the Geomatics Conference, Tehran, Iran, 11 May 2008. [Link]
- Salimi, M. (2011). [Analysis of water quality parameters of Anzali Marsh using fuzzy mathematical method (Persian)] [MA thesis]. Tehran: Tarbiat Moallem University.
- Sirnakaudan, S. K., Ab Ghani, A., Ahmad, M. S. S., & Zakaria, N. A. (2003). Flood risk mapping for Pari River incorporating sediment transport. *Environmental Modelling & Software*, 18(2), 119-130. [DOI:10.1016/S1364-8152(02)00068-3]
- Tellman, B., Sullivan, J. A., Kuhn, C., Kettner, A. J., Doyle, C. S., & Brakenridge, G. R., et al. (2021). Satellite imaging reveals increased proportion of population exposed to floods. *Nature*, 596, 80-86. [Link]
- Tian, J., Zeng, S., Zeng, J., & Jiang, F. (2022). Assessment of Supply and Demand of Regional Flood Regulation Ecosystem Services and Zoning Management in Response to Flood Disasters: A Case Study of Fujian Delta. *International Journal of Environmental Research and Public Health*, 20(1), 589. [DOI:10.3390/ijerph20010589] [PMID]
- Wang, Q. W., Zeng, J., Xin, R. H., & Liang, C. (2021). Effect of urbanization on the rainstorm and flood disaster risk: A case study of Min Delta. *Journal of Natural Disasters*, 30, 72-84. [Link]
- Wolski, P., Savenije, H. H. G., Murray-Hudson, M., & Gumbrecht, T. (2006). Modelling of the flooding in the Okavango Delta, Botswana, using a hybrid reservoir-GIS model. *Journal of Hydrology*, 331(1-2), 58-72. [DOI:10.1016/j.jhydrol.2006.04.040]
- Zhou, L., & Liu, L. (2024). Enhancing dynamic flood risk assessment and zoning using a coupled hydrological-hydrodynamic model and spatiotemporal information weighting method. *Journal of Environmental Management*, 366, 121831. [DOI:10.1016/j.jenvman.2024.121831] [PMID]



## Research Paper

# Identifying the Drivers and Consequences of the Mainstream Media's Effective Activism in Managing Sociopolitical Crises in Iran

\*Mitra Afzali Farooji<sup>1</sup>, Fatemeh Estarami<sup>2</sup>

1. Department of Media Management and Business Communications, Faculty of Business Management, College of Management, University of Tehran, Tehran, Iran.  
2. Department of Media and Cultural Management, Faculty of Culture and Communication, Soore International University, Tehran, Iran.



**Citation:** Afzali Farooji, M., & Estarami, F. (2025). [Identifying the Drivers and Consequences of the Mainstream Media's Effective Activism in Managing Social-political Crises in Iran (Persian)]. *Disaster Prevention and Management Knowledge*, 15(2):160-181. <https://doi.org/10.32598/DMKP.15.2.922.1>

**doi:** <https://doi.org/10.32598/DMKP.15.2.922.1>

## ABSTRACT

**Background and objective** In scientific texts on crisis management in Iran, crisis mostly refers to natural disasters and less attention has been made to man-made disasters. In this article, by emphasizing three prediction, prevention, and preparation phase of crisis management, we aim to identify the driving factors and the consequences of mainstream media's effective activism in managing socio-political crises in Iran.

**Method** This is a qualitative study. The participants were 15 media policymakers, experts in the field of crisis management, and politicians in the field of socio-political affairs in Iran, who were selected by purposive and snowball sampling methods and semi-structured interviews continued until reaching until reaching theoretical saturation. The data analysis method was the thematic content analysis.

**Results** From a total of 250 initial codes, 159 basic themes, 26 organizing themes, and 8 global themes were obtained. Based on the findings, the role of the media in socio-political crisis management before, during, and after the crisis included supporting public opinion, raising awareness, holding responsible institutions accountable, informing, and having strategic function. The factors driving effective media activism in predicting socio-political crises included infrastructure drivers, functional capability, human resources, professional standards, and social capital. The consequences of effective media activism in predicting socio-political crises were: Social, political, and media's social responsibility-related consequences. The factors driving effective media activism in preventing socio-political crises were divided into the drivers related to the public and the drivers related to the government/crisis managers. The consequences of effective media activism in preventing socio-political crises were divided into macro and micro consequences. The factors driving effective media activism in preparing for socio-political crises included process-related, content-related, and contextual drivers. The consequences of effective media activism in preparing for socio-political crises were categorized into three areas: Educational, psychological, and functional outcomes.

**Conclusion** The mainstream media in Iran can have effective activism in predicting, preventing, and preparing for social-political crises.

**Keywords** Crisis management, Media effective activism, Predictive, Preventive, Preparatory

Article Info:

Received: 13 Jan 2025

Accepted: 15 Apr 2025

Available Online: 01 Jul 2025

\* Corresponding Author:

Mitra Afzali Farooji, PhD.

Address: Department of Media Management and Business Communications, Faculty of Business Management, College of Management, University of Tehran, Tehran, Iran.

Tel: +98 (912) 7082410

E-mail: mitraafzali@ut.ac.ir



Copyright © 2025 The Author(s).

This is an open access article distributed under the terms of the Creative Commons Attribution License (CC-BY-NC: <https://creativecommons.org/licenses/by-nd/4.0/legalcode.en>), which permits use, distribution, and reproduction in any medium, provided the original work is properly cited and is not used for commercial purposes.



## Extended Abstract

### Introduction

In the current era, man-made disasters have increased. In Iran, the crisis management literature is mostly related to natural disasters such that, based on the national media management of crisis act (approved in 2022), the definition of crisis is limited to natural disasters. This is while, the effects of socio-political crises are more widespread than natural crises, and their extent, diversity, and complexity are beyond those of natural crises. In this article, inspired by the cyclical model of crisis management and using the three anticipatory, preventive, and preparatory approaches, we aim to identify the driving factors and the consequences of mainstream media's effective activism in managing socio-political crises in Iran.

### Methods

This is a qualitative study based on an interpretive paradigm. The study population includes media managers and policymakers, professors in the field of crisis communication and media, experts in the field of crisis management and politicians with sufficient knowledge and experience in Iran. The purposive and snowball sampling methods were used. The interview method was used to collect data. We reached theoretical saturation after 15 interviews. The thematic analysis method was used to analyze the qualitative data obtained from the interviews. To determine the validity and reliability of the data, four criteria, including credibility, dependability, confirmability, and transferability, were used.

### Results

After each interview, initial analysis and coding were carried out, which resulted in 159 basic themes, 26 organizing themes, and 8 global themes. Based on the findings, the global theme "the role of the media in socio-political crises" in the three phases before, during and after the crisis included the following organizing themes: Supporting public opinion, raising awareness, questioning the responsible institutions, informing, and having a strategic function.

The factors driving effective media activism in predicting socio-political crises included infrastructure drivers, functional capability, human resources, professional standards, and social capital. The consequences of effective media activism in predicting socio-political crises were: Social, political, and media's social responsibility-related consequences.

The factors driving effective media activism in preventing socio-political crises were divided into the drivers related to public and the drivers related to the government/crisis managers. The consequences of effective media activism in preventing socio-political crises were divided into macro and micro consequences.

The factors driving effective media activism in preparing for socio-political crises included process-related, content-related, and contextual drivers. The consequences of effective media activism in preparing for socio-political crises were categorized into three areas: Educational, psychological, and functional outcomes.

### Conclusion

In this study, the role of media activism in socio-political crises was assessed in three phases: Prediction, prevention, and preparation. It was determined that the media in the pre-crisis phase can help break the cycle of crisis by identifying the causes and predicting crises based on accurate analyses of events. In this way, by playing an effective role before the crises, they can avoid the excessive financial and moral costs caused by the crisis. However, if a socio-political crisis occurs, the media, in addition to reporting the crisis, can monitor the performance of the government and responsible institutions, prevent the spread of rumors and the creation of false information, and develop a culture of dialogue. Thus, if the media is effective in the crisis prediction phase, it will have important socio-political consequences such as discovering the crisis, helping to reduce public harm, establishing stability and peace, encouraging humanitarian actions, early intervention of stakeholders, media campaigning, holding officials accountable and requiring their activity in crisis management, influencing the governmental decisions, as well as exposing hidden agendas, corruption, or negligence, and creating public trust in the media, which is related to the social responsibility of the media. However, since the media cannot act alone in the event of socio-political crises, it should cooperate with people and the authorities to prepare them for the crisis, equip them, and provide them with a timely and appropriate response, and also to seek public participation in solving the crises to prevent the crisis from spreading.

### Ethical Considerations

#### Compliance with ethical guidelines

All ethical principles were observed in this article. Informed consent was obtained from all participants.



## Funding

This article was extracted from the master's thesis of Fatemeh Estarami at the Department of Cultural and Media Management, [Soore University](#), Tehran, Iran. This research did not receive any financial support from government, private, or non-profit organizations.

## Authors' contributions

Conceptualization, methodology, validation, analysis, investigation, and resources: Mitra Afzali Farooji and Fatemeh Estarami; Writing, editing & review: Mitra Afzali Farooji.

## Conflicts of interest

The authors declared no conflict of interest.

## Acknowledgments

The researchers would like to thank all participants in the research for their cooperation.



## مقاله پژوهشی

شناسایی پیشوان‌ها و پیامدهای کنشگری مؤثر رسانه‌های جریان اصلی در مدیریت  
بحران‌های اجتماعی سیاسی ایران\*میترا افضلی فاروجی<sup>۱</sup>، فاطمه استارامی<sup>۲</sup>

۱. گروه مدیریت رسانه و ارتباطات کسب و کار، دانشکده مدیریت کسب و کار، دانشگاه تهران، تهران، ایران

۲. گروه مدیریت فرهنگی و رسانه، دانشکده فرهنگ و ارتباطات، دانشگاه بین‌المللی سوره، تهران، ایران



**Citation:** Afzali Farooji, M., & Estarami, F. (2025). [Identifying the Drivers and Consequences of the Mainstream Media's Effective Activism in Managing Social-political Crises in Iran (Persian)]. *Disaster Prevention and Management Knowledge*, 15(2):160-181. <https://doi.org/10.32598/DMKP.15.2.922.1>

**doi** <https://doi.org/10.32598/DMKP.15.2.922.1>

## حکایه

**تعریف و هدف** اولیه‌رغم آنکه بحران نزد افکار عمومی و اغلب پژوهش‌های حوزه مدیریت بحران، تداعی کننده بحران‌های طبیعی و مخاطرات زیست محیطی است ولیکن با نگاهی نوآورانه، در این مقاله رویکرد غیرزیستی بحران را بررسی می‌کنیم؛ چراکه در عصر کنونی بحران‌های انسان‌ساخت به واقعیتی اجتناب‌ناپذیر بدل شده‌اند که بر همین‌ندۀ نظم و هنجارهای جامعه تلقی می‌شوند. در این مقاله با تأکید بر ۳ رویکرد پیش‌بینانه، پیشگیرانه و آماده‌سازانه، عوامل پیشوان کنشگری مؤثر رسانه‌های جریان اصلی در مدیریت بحران‌های اجتماعی سیاسی و پیامدهای این نوع کنشگری در مدیریت بحران‌های مذکور شناسایی شدند.

**روزنه** این مقاله از نظر ماهیت اکتشافی، از نظر سنجش روش، کیفی و از نظر هدف کاربردی است. روش انجام این پژوهش مصاحبه نیمه‌ساختاری بافت بوده‌است. چامعه موردهرسی، شامل سیاست‌گذاران رسانه، اساتید حوزه ارتباطات بحران، خبرگان حوزه مدیریت بحران و دولتمردان حوزه سیاسی اجتماعی بوده‌اند که با روش نمونه‌گیری گلوله بررفی به آن‌ها دست یافته‌اند و با ۱۵ مصاحبه اشباع نظری حاصل شد. روش تجزیه و تحلیل داده‌ها تحلیل مضمون بوده است و از مجموع ۲۵۰ کد لوله، ۱۵۹ مضمون پایه، ۲۶ مضمون سازمان‌دهنده و نهایتاً ۸ مضمون فراگیر به دست آمد.

**نایابی** بر اساس یافته‌ها، کارکرد رسانه‌ها در مدیریت بحران شامل کارکرد حمایتی از افکار عمومی، کارکرد آگاهی‌بخشی، کارکرد مطالبه‌گری از نهادهای مسئول، کارکرد اطلاع‌رسانی و کارکرد استراتژیک است که با نقش افرینی رسانه‌ها در ۳ فاز پیش، حین و پس از بحران تعریف می‌شود.

**نتایج** نتایج تحقیق نشان داد عوامل زمینه‌ساز کنشگری مؤثر رسانه‌ها در فاز پیش‌بینی بحران‌های اجتماعی سیاسی، شامل پیشوان زیرساختی، توانمندی کارکردی رسانه، پیشان تیروی انسانی، پیشان استانداردهای حرفاها و سرمایه اجتماعی رسانه است. نتایج کنشگری مؤثر رسانه‌ها در فاز پیش‌بینی بحران‌ها در ۳ حوزه پیامدهای اجتماعی کنشگری مؤثر رسانه پیش از بحران، پیامدهای سیاسی کنشگری مؤثر رسانه پیش از بحران و پیامدهای ناشی از مستویات اجتماعی مشخص شد. عوامل زمینه‌ساز کنشگری مؤثر رسانه‌ها در پیشگیری از بحران‌های اجتماعی سیاسی نیز در ۲ زمینه پیشان‌های مرتبط با عموم و پیشان‌های مرتبط با دولت و مدیران بحران مشخص شد. نتایج کنشگری مؤثر رسانه‌ها در فاز آماده‌سازی از پیشگیری از بحران‌های اجتماعی سیاسی به پیامدهای مacro و میکرو تقسیم شد. عوامل زمینه‌ساز کنشگری مؤثر رسانه‌ها در فاز آماده‌سازی در برابر بحران نیز شامل پیشان‌های فرایندی، محتوا و بافتاری تعریف شد و درنهایت نتایج کنشگری مؤثر رسانه‌ها در فاز آماده‌سازی در برابر بحران نیز شامل پیشان‌های اجتماعی سیاسی، در ۳ حوزه پیامدهای آموزشی، روان‌شنختی و عملکردی رسانه دست‌بندی شد.

**کلیدواژه‌ها** مدیریت بحران، کنشگری مؤثر رسانه، پیش‌بینانه، پیشگیرانه، آماده‌سازانه

اطلاعات مقاله

تاریخ دریافت: ۱۴۰۴.۰۷.۲۶

تاریخ پذیرش: ۱۴۰۴.۰۷.۲۶

تاریخ انتشار: ۱۴۰۴.۰۷.۲۶

\* نویسنده مسئول:

دکتر میترا افضلی فاروجی

نشانی: تهران، دانشگاه تهران، دانشکده مدیریت، دانشگاه مدیریت کسب و کار، گروه مدیریت رسانه و ارتباطات کسب و کار.

تلفن: +۹۸ ۰۲۱ ۷۰۸۲۴۱۰

پست الکترونیکی: mitraafzali@ut.ac.ir

## مقدمه

نقش مؤثری در تغییرات اجتماعی سیاسی، از جمله بحران‌های سیاسی لیبی، عراق، گرجستان، اوکراین و غیره داشته‌اند، در این مقاله می‌خواهیم به بررسی کنشگری مؤثر رسانه‌ها پردازیم.

به اعتقاد اسکاتلون (۲۰۰۵)، رسانه‌ها نقش‌های بسیار مهمی در بعد مختلف بحران دارند و مشارکت آن‌ها در مدیریت بهینه بحران امری ضروری است. از جمله کنشگری مؤثر رسانه‌ها در بحران، آماده‌سازی جامعه برای برخورد منطقی و غیرهیجانی در موقع بحران است. آموزش عمومی درباره بحران، هشداردهی درخصوص خطرات، گردآوری و انتقال اطلاعات به مناطق آسیب‌دیده، خبررسانی به سازمان‌های دولتی و نهادهای امدادی، ایجاد امکان گفت‌و‌گو درباره نحوه صحیح آمادگی و پاسخ‌گویی در زمان وقوع بحران، همگی از نقش‌های مهم و اساسی است که رسانه‌ها در مدیریت بحران برueهده دارند.

اقدامات لازم در فرایند مدیریت بحران به ۳ مرحله پیش از بحران، حین بحران و پس از بحران تقسیم می‌شود (صلواتیان، روشن‌دل، ۱۳۹۰). بررسی عملکرد رسانه‌ها در مدیریت بحران‌های اجتماعی سیاسی نشان از آن دارد که رسانه‌های تراز جهانی آن‌چنان در این مقوله موفق بوده‌اند که تدبیر مدیریتی آن‌ها در زمرة تئوری‌های ارتباطات و رسانه قرار گرفته است، مانند تئوری تأثیر سی‌ان‌ان<sup>۱</sup> که در جنگ اول خلیج فارس با بزرگنمایی خطر صدام‌حسین منجر به آماده‌سازی افکار عمومی برای حمله آمریکا به عراق شد. با تقویت نقش آفرینی رسانه‌ها در بحران‌های اخیر نیز شاهد توسعه ادبیات نظری در این زمینه بوده‌ایم. مصدق بارز آن در انقلاب‌های یک دهه اخیر در خاورمیانه موسوم به بیداری اسلامی و انقلاب‌های توئیتری، فیسبوکی و غیره بوده است. اگر به کنشگری رسانه‌ها، بهویژه با فرآگیری شبکه‌های اجتماعی آنلاین، توجه نشود بدون شک بحران‌های اجتماعی سیاسی بیشتر خواهد شد، تأثیرگذاری و پیامدهای منفی بحران‌ها بیشتر می‌شوند و مخاطب در حباب اطلاعاتی گرفتار می‌شود (گالی و همکاران، ۲۰۲۲). از آنجاکه فاصله بین مردم با مردم و مردم با دولت توسط همین بمباران اطلاعاتی دستخوش تغییراتی شده است، در تفکر سیاسی مردم، تغییراتی به وجود می‌آید که زمینه‌ساز بحران‌های آتی می‌شود.

برکسی پوشیده نیست که رسانه‌های جریان اصلی در مسیر کنشگری مؤثر در پوشش بحران‌های اجتماعی سیاسی، با چالش‌های بسیاری تغییر سرعت عمل در پوشش بحران در مقایسه با رسانه‌های آنلاین، عدم سوگیری در روایت رویدادهای بحران‌زا، مستولیت اجتماعی در پاسخ‌گویی مسئولان، ارائه اطلاعات بهمدازه و دقیق از بحران، پرهیز از برخورد هیجانی در مواجهه با بحران و عوامل بحران‌زا (که در شبکه‌های اجتماعی بهوفور شاهد آن هستیم)، پیشگیری از بروز بحران‌های مشابه در

ما را احاطه کرده‌اند. از عمومی‌ترین تا شخصی‌ترین لحظات، از شادترین تا غم‌انگیزترین روزهای از افکارستنجی عمومی تا مستولیت‌پذیرسازی مسئولان و بالاخره از پایدارترین تا بحرانی‌ترین روزهای زندگی بشر، با نقش پررنگ رسانه‌ها معنا یافته است. از طرفی بحران‌ها روزی‌روز ماهیت جدیدتری می‌یابند و هوشیاری رسانه‌ها در مواجهه با آن‌ها به ضرورتی غیرقابل انکار تبدیل می‌شود.

امروزه بحران‌های انسان‌ساخت به واقعیتی گریزان‌پذیر در جوامع کنونی تبدیل شده است که نظام و هنجارهای رایج ارکان‌های اصلی جامعه را برهم می‌زنند. پیچیدگی روزافزون بحران‌های اجتماعی سیاسی، مدیریت این طیف از بحران‌ها را چندبعدی، دشوار و نامتعین می‌کند. با عنایت به این واقعیت، نقش و کارکردهای رسانه‌ها در مدیریت بحران اهمیت ویژه‌ای می‌یابد.

کارکرد دوگانه رسانه‌ها در بحران‌زایی و بحران‌زدایی، برجسته‌سازی و کوچکنمایی، امیدافزایی و امیدزدایی، برکسی پوشیده نیست. ولیکن یافته‌های تحقیقات نشان می‌دهد مألفه‌های بسیاری به عنوان پیش‌ران در این موضوع دخالت دارند که موجب می‌شوند رسانه‌ها در مراحل مختلف بحران‌ها کارکردهای متفاوتی داشته باشند (دایزرس - لاوسون، ۲۰۲۳؛ ولاسکوئز و لاروس، ۲۰۱۵). هرچند به نظر می‌رسد در کشور ما، ادبیات مدیریت بحران در رسانه‌ها بیشتر مغایط به بحران‌های زیستمحیطی است. کمالانکه در سند ملی مدیریت رسانه‌ای بحران (۱۴۰۱) نیز تعریف ارائه شده از بحران منحصر به سوابع طبیعی است (صلواتیان و همکاران، ۱۴۰۱)؛ در حالی که اولاً ابعاد تأثیرات بحران‌های اجتماعی سیاسی پردازمنه‌تر از بحران‌های طبیعی است؛ ثانیاً گستردگی، تنوع و پیچیدگی بحران‌های اجتماعی سیاسی بیشتر از بحران‌های طبیعی است؛ چنان‌که سرعت تغییرات اجتماعی سیاسی، منتج به ایجاد بحران‌های نوظهوری می‌شود که اساساً در جوامع قبلی وجود نداشته‌اند؛ بنابراین جامعه هیچ‌گونه آگاهی و آمادگی برای رویارویی با آن‌ها ندارد؛ ثالثاً گرچه بحران‌های طبیعی غیرقابل پیش‌بینی‌اند، اما دسته مشخصی از بحران‌های طبیعی وجود دارد که بشر در طول زمان به علت تکرار و توالی رویارویی با آن‌ها، کسب تجربه کرده است؛ رابعاً از آنجاکه شمار بحران‌های سیاسی در ایران افزایش یافته است، توجه به این مسئله بالهمیت‌تر شده است. این موضوع، بهویژه با گستردگی شبکه‌های اجتماعی مجازی، انتشار اخبار کذب و شایعه، اهمیت دوچندان یافته است. از آنجاکه رسانه‌ها

۱. موضوعات زیستمحیطی چنانچه یا موضوعات گسترده‌تری، مانند منافع طبقاتی و عدالت پیوند پخوره، می‌تواند به بحران‌های سنتی‌جهانیه اجتماعی سیاسی تبدیل شود. به همین دلیل، مکتب کنهاگ، امیت زیستمحیطی را به عنوان یکی از بحد امیت ملی مطرح کرده است (علی و همکاران، ۱۳۹۸).

۱. فرایند امنیتی شدن: اگر پدیده متوجه امنیت عمومی جامعه شود و ابزارهای موجود توان مدیریت پدیده را نداشته باشند، در آن صورت می‌گویند تهدید به موضوع امنیتی تبدیل شده است.

۲. فرایند غیرامنیتی شدن: طرفداران نظریه کپنهاک این موضوع را از اره کردن. آن‌ها معتقدند باید تلاش شود سائل اجتماعی به حوزه غیرامنیتی هدایت شوند. برای رسیدن به این موضوع، به سه عامل توجه می‌شود:

۱. توانمندی: یعنی بازیگر توان به کارگیری قدرت سخت و نرم را داشته باشد.

۲. محیط عینی: یعنی وضعیت سایر بازیگران مشخص باشد.

۳. محیط ذهنی: یعنی از نگاه منفی (حساسیت منفی) به موضوعات خودداری شود.

موضوع بحران و توسعه سیاسی یکی از دغدغه‌های اصلی جامعه است که با یکدیگر ارتباطی دوسویه دارند. نظامهای سیاسی برای حرکت بدسوی توسعه سیاسی معمولاً با مشکلات رویه رو می‌شوند که زمینه‌های داخلی یا خارجی دارد. این مشکلات در حوزه داخلی ناشی از مخالفت توده مردم یا نخبگان جامعه و در حوزه خارجی ناشی از دخالت مستقیم یا غیرمستقیم بیگانگان است. زمانی که این مشکلات عمق پیدا کنند، می‌توانند به بحران تبدیل شوند. از این‌رو گذار از بحران‌ها یکی از مهم‌ترین مسائلی است که جامعه را به سمت توسعه سیاسی سوق می‌دهد (ساوه درودی و همکاران، ۱۳۹۲).

هیچ کشوری نمی‌تواند ادعای ثبات سیاسی مطلق داشته باشد. رقابت برای کسب قدرت، کمبود منابع، اقدامات قدرت حاکم، شرایط حاکم بر کشور و غیره می‌تواند به عنوان موانع توسعه جوامع باشد. لوسین دبلیو پای، بحران‌های سیاسی را در ۶ دسته بحران‌های هویت، مشروعیت، ادغام، مشارکت، توزیع و نفوذ تقسیم کرده است.

#### ۵. مدیریت بحران

به اعتقاد مک‌کارتی، مدیریت بحران به دنبال یافتن راه حلی منطقی برای عبور از شرایط بحرانی است. به شکلی که منابع، ارزش‌های اصلی و خیر عمومی تأمین و تضمین شود. مدیریت بحران، فراگرد پیش‌بینی و پیشگیری از بحران، مواجهه و مداخله در بحران و بازیابی پس از وقوع بحران است. در مدیریت بحران سعی می‌شود تا از آسیب‌ها پیشگیری شود و در صورت وقوع، در راستای کاهش آثار و پیامدهای ناگوار و امدادرسانی و بهبود اوضاع تا حصول وضعیت عادی کوشش شود (صبوری، ۱۳۹۶). مراحل سه گانه بحران براساس زمان وقوع است و هر مرحله ویژگی‌های خاصی دارد که در ایجاد، گستردگی و عمق آن مؤثر است.

آینده و غیره رویه رو هستند که جملگی این چالش‌ها در فاصله زمانی قبل، حین و پس از وقوع بحران و در تقابل با شبکه‌های اجتماعی معنای اخص می‌یابند. درنتیجه برای مدیریت بهینه چالش‌های مذکور پیش از هر چیز باید ظرفیت‌های ناشناخته رسانه‌های جریان اصلی در بحران را بشناسیم و سپس آن‌ها را به مثابه پیشانه‌های مؤثر کنشگری رسانه‌ها معرفی کنیم.

ارزش این مقاله در آن است که کنشگری رسانه‌ها را در شرایط بحران از حالت غیرمتربقه به حالت قابل کنترل و تمرین شده درمی‌آورد تارسانه‌ها از وقوع بحران‌های اجتماعی سیاسی غافلگیر نشوند و کنش بهنگام و مؤثر داشته باشند. بنابراین هدف مقاله آن است که با الهام از مدل چرخی مدیریت بحران و به تفکیک ۳ رویکرد پیش‌بینانه، پیشگیرانه و آماده‌سازانه، به شناسایی پیشانه‌ها و پیامدهای کنشگری مؤثر رسانه‌ها در بحران‌های اجتماعی سیاسی بپردازد.

#### ۶. مبانی نظری و پیشینه تحقیق

بحran اجتماعی دارای سطوحی است و شامل آشتگی، بی‌سازمانی و انقلاب اجتماعی است. تغییر در ساختارها موجب گسترشی رفتار و روابط متقابل می‌شود و در ادامه فرایند جامعه‌پذیری مختلف و غیرمؤثر می‌شود؛ درنتیجه بحران اجتماعی بروز می‌یابد. همچنین چنانچه سطح سازگاری جامعه کاهش یابد، جامعه دچار بحران و آشتگی اجتماعی می‌شود. ولیکن اگر سازگاری سازمان‌های جامعه بهشت کاهش یابد، بی‌نظمی و بی‌سازمانی رخ می‌دهد و اگر بحران در سطح مؤسسات به انهدام ساختار نهادها منجر شود، انقلاب‌های اجتماعی گریزناپذیر می‌شود (آراسته‌خو، ۱۳۸۱).

بحran اجتماعی ناشی از ناتوانی جامعه در سازمان یابی و حفظ نظم اجتماعی و عدم توانایی قوای درونی برای حل مسائل مرتبط با توسعه است. چنانچه یک نیروی اجتماعی غالب و موافق دگرگونی‌ها وجود داشته باشد و از طرفی اصلاحات اجتماعی ضروری و بهموقع باشند، چنین بحران‌های اجتماعی گسترده را می‌توان کنترل و هدایت کرد (ساروخانی، ۱۳۶۶).

بسیاری از پدیده‌های اجتماعی اگر به درستی طراحی و مدیریت نشوند، می‌توانند در طول زمان تبدیل به یک آسیب و سپس تهدید شده و توسعه سیاسی<sup>۳</sup> را تحت تأثیر قرار دهند (عبدالله‌خانی به نقل از ساوه درودی و همکاران، ۱۳۹۲). در این حالت پدیده اجتماعی وارد فاز فضای سیاسی می‌شود. در فضای جدید، پدیده اجتماعی با طی فرایندی مشخص به ۲ شکل ظاهر می‌شود:

<sup>۳</sup>. توسعه سیاسی به مفهوم تهدیده شدن سیاست است. این توسعه زمانی به دست می‌آید که برای تنومند و پیچیدگی‌های جدیدی که در نتیجه توسعه و توسعه به وجود آمدند، تهدیدهای ساخته می‌شوند که موجب اتسجام و همیستگی در درون جامعه سیاسی شوند.

### کنشگری مؤثر رسانه‌ها

در مجموع رویکردها به بحران شامل ۳ رویکرد بحران‌گریزی، بحران‌ستیزی و بحران‌پذیری هستند و برای این‌اساس ۴ راهبرد عملی برای رویارویی رسانه‌ها با بحران وجود دارد:  
راهبرد اتفاقی<sup>۰</sup>

در این راهبرد، رسانه در زمان مواجهه با شرایط بحرانی سکوت اتخاذ می‌کند؛ یعنی نوع کنش رسانه، انکار یا بی‌توجهی به بحران است. به اعتقاد حامیان این نوع کنش، چنانچه رسانه‌ها به پوشش پدیده‌ای بپردازند، در واقع به آن اعتبار اجتماعی بخشیده‌اند؛ بنابراین در شرایط بروز بحران، کنش مطلوب برای پیشگیری از گسترش بحران، نادیده گرفتن آن است (کورتس راموس و همکاران، ۲۰۲۱).

راهبرد واکنشی

رسانه‌هایی که این راهبرد را انتخاب می‌کنند، بر ضرورت پاسخ‌گویی به شرایط بحرانی و عوامل تهدیدزایی محیطی واقفاند؛ چراکه این راهبرد رسانه‌ها را به واکنش برای بقای خود ترغیب می‌کند. چنین رسانه‌هایی تا فشار افکار عمومی را در شرایط بحرانی حس نکنند، واکنش نشان نمی‌دهند و تنها زمانی کنشگری دارند که در بحران، ادامه حیات رسانه خود را در معرض خطر بینند (خجسته، ۱۳۹۹).

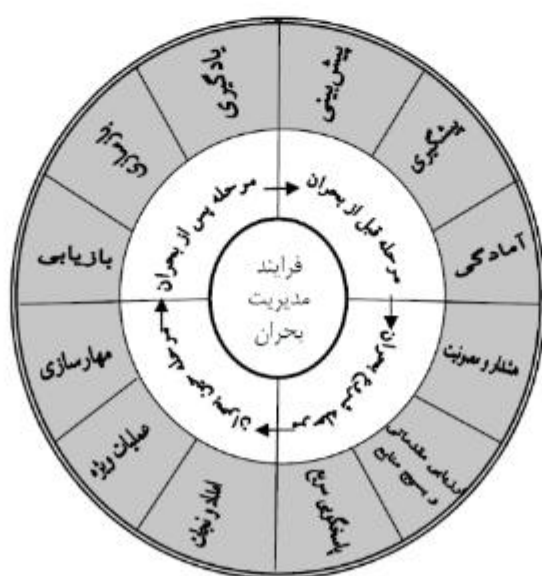
مرحله قبل از بحران؛ پیش‌بینی، پیشگیری، آمادگی؛ مرحله حین بحران؛ امداد و نجات، عملیات ویژه، مهارسازی؛ مرحله پس از بحران؛ بازیابی، بازسازی، یادگیری (برگرفته از سایت ifstrategy.org)

مدیریت بحران‌های اجتماعی سیاسی به دلیل ماهیت پیچیده، مبهم و چندوجهی، دشوار است؛ بنابراین صاحب‌نظران مدل‌های متفاوتی در این زمینه ارائه داده‌اند. این مدل‌ها مراحل مختلفی دارند که آن‌ها را در ۳ دسته قرار می‌دهند: اقدامات پیش، حین و پس از بحران (ماتیاس و کاردوسو، ۲۰۲۳). بدین ترتیب رسانه‌ها هم باید بحران‌های خارجی را مدیریت کنند و هم با عملکرد درست، بهموقع و پاسخ‌گویی به نیازهای مخاطبان، خود به بحران مبتلا نشوند. شناخت مراحل بحران با تحلیل وضعیت رسانه‌ها ازمنظر بحران‌زدگی یا بحران‌زایی، می‌تواند به تبیین فرایند مدیریت بحران کمک کند. در این زمینه روش‌نسل ارسطائی و همکاران، ۱۳۸۸، مدل چرخی را راهنمایی کردند که در برگیرنده مدل‌های قبلی است.

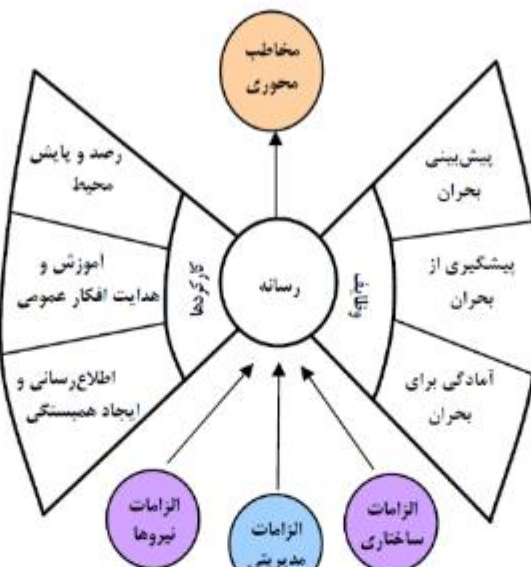
در این مدل چنان‌که در تصویر شماره ۱ نشان داده شده است اقدامات قبل از وقوع بحران شامل ۳ مرحله پیش‌بینی، پیشگیری و آماده‌سازی است. مرحله پیش‌بینی نخستین مرحله در مدیریت بحران است. در این مرحله باید با اتخاذ رویکرد بحران‌پذیری و راهبرد فوق‌فعال<sup>۱</sup>، به پیش‌بینی بحران‌های مختلف پرداخته شود. در مرحله پیشگیری، می‌توان از موقع بسیاری از بحران‌ها پیشگیری کرد یا از شدت آن‌ها کاست (منتظر قائم و محمدی نوسودی، ۱۴۰۰)، ولیکن در صورت بروز بحران، باید آمادگی مقابله با بحران‌های مختلف نیز به دست آید.

### 5. Inactive

### 4. Proactive



تصویر ۱. مدل چرخی مدیریت بحران (منبع: جعفری مطلق، ۱۴۰۰).



تصویر ۲. مدل پژوهشی نقش رسانه‌ها در مدیریت پیش از بحران (منبع: صلواتیان و روشنل، ۱۳۹۰).

### حالت کلی می‌توانند دارای سه رویکرد باشند.

راهبرد فعال<sup>۶</sup>

#### رویکرد پیش‌بینانه رسانه

یکی از رویکردهایی که برای تحلیل و پیش‌بینی نقش پیش‌ران کنشگری در جامعه مورد استفاده قرار می‌گیرد، رویکرد پیش‌بینانه رسانه است. این رویکرد بر این فرض تمرکز دارد که رسانه‌ها به عنوان یکی از عوامل مهم در شکل‌دهی به نگرش‌ها و رفتارهای افراد، می‌توانند نقش مهمی در پیدایش و ترویج پیش‌ران کنشگری داشته باشند. در فاز پیش‌بینی رسانه‌ها با انتخاب راهبرد فوق فعال، مسئولیت بسیار خطیری را ایفا می‌کنند. آن‌ها با حفظ استقلال و روحیه انتقادی ضمن رصد مستمر محیط، مانند دیده‌بانان، اولین علامت بروز بحران را مشاهده و به موقع وقوع آن را پیش‌بینی می‌کنند (صلواتیان و روشنل، ۱۳۹۰).

#### رویکرد پیشگیرانه رسانه

این رویکرد بر این فرض تمرکز دارد که رسانه‌ها می‌توانند با پیشگیری از پیدایش پیش‌ران کنشگری، نقش مهمی در حفظ استقرار و ثبات جامعه ایفا کنند. در این مرحله رسانه با کارکرد آموزشی و فرهنگ‌سازی می‌تواند به آموزش عمومی پردازد. در خصوص بحران‌های سیاسی اجتماعی نیز نقش رسانه پررنگ‌تر است؛ چراکه از طریق تبلیغات سیاسی و کارکرد اقتصادی، توانایی هدایت و تغییر نگرش افکار عمومی و درنتیجه پیشگیری از وقوع بحران را دارد (صلواتیان و روشنل، ۱۳۹۰).

کنشگری رسانه‌ایی که این راهبرد را بر می‌گزینند، بلافضله پس از بروز بحران شروع می‌شود و فعالانه مانع از گسترش بحران می‌شوند. چنانین رسانه‌هایی بهطور گسترده بحران‌ها را تحلیل می‌کنند و در ارائه اطلاعات بهصورت انتخابی و قطره‌چکانی عمل نمی‌کنند. چنانین رسانه‌هایی در زمان بحران از همه پتانسیل خود برای توسعه ظرفیت مشارکت عمومی و همیلی و واپسگی اجتماعی استفاده می‌کنند (هدی و همکاران، ۱۴۰۰).

راهبرد فوق فعال<sup>۷</sup>

رسانه‌هایی که راهبرد فوق فعال در مواجهه با بحران دارند، نه تنها در برخورد با بحران‌ها فعالانه عمل می‌کنند، بلکه در مقابله با بحران پیش‌بینی‌های لازم را نیز انجام می‌دهند. رسانه‌هایی که چنان راهبردهایی دارند، ویژگی‌های ساختاری ویژه‌ای مانند خلاقیت، انعطاف و عدم تمرکز دارند. این دست از رسانه‌ها بی‌آنکه پیرو شرایط بحرانی باشند و خود را با آن سازگار کنند، به دنبال همسوسازی شرایط با اهداف خود هستند و با رویکرد پیشروی در عملیات رسانه‌ای فعالیت می‌کنند (جعفری مطلق، ۱۴۰۰).

#### رویکردهای رسانه‌ها

رسانه‌ها نقش مهمی در مورد آنچه به آن فکر می‌کنیم، چگونه به آن فکر می‌کنیم و اینکه چه چیزی، چگونه و چرا بر احساسات ما تأثیر می‌گذارد، ایقا می‌کنند (پستمن، ۱۴۰۸). رسانه‌ها در

6. Active

7. Proactive

است که پژوهشگر از طریق توضیح، انطباق و گروه‌بندی داده‌ها و پروراندن مقوله‌های الگویابی درون داده‌ای و برون داده‌ای، تمهای اصلی و درنهایت تم هسته‌ای را شناسایی می‌کند و به تحلیل مسئله تحقیق می‌پردازد. در حقیقت تحلیل مضمون از طریق کدگذاری داده‌ها و تحلیل آن‌ها سعی می‌کند مشخص کند داده‌ها به ما چه می‌گویند. این تحلیل به دنبال الگویی در داده‌هast است. به عبارتی، تم‌ها نشست گرفته از داده‌ها هستند (محمدپور، ۲۰۱۲ به نقل از رمضانی، ۱۴۰۰).

برانون و کلارک (۲۰۰۶) یک رویکرد سیستماتیک و پیشرفته از تحلیل مضمون ارائه کرده که شامل مراحل شش گانه تحلیل مضمون است که در جدول شماره ۳ ارائه شده است.

نتایج حاصل از هر تحقیقی باید تا حد امکان، قابل اعتماد باشد. براین‌آساس روانی و پایابی، ۲ جزء بنیادین و اساسی مرتبط با یک ابزار سنجش محسوب می‌شوند. بهمنظور اطمینان از صحت یافته‌های پژوهش ۴ معیار پیشنهادی اسپزیال و همکاران (۲۰۱۱) مورد استفاده قرار گرفت. ۴ معیار شامل مقبولیت، اطمینان‌پذیری، تأیید‌پذیری و قابلیت انتقال است. بهمنظور تأمین مقبولیت، پژوهشگر مقوله‌های فرعی و مضامین اصلی را در اختیار مصاحبه‌شوندگان قرار داد تا نظرات خود را نسبت به مضامین استخراج شده بازگو کنند. بازخوردهای مشارکت‌کنندگان نشان داد کدهای برساخته شده به دیدگاه و تجارب ذهنی آن‌ها نزدیک است که این نشانی از مقبولیت بود. بهمنظور اطمینان‌پذیری از روش بازبینی هم‌تراز استفاده شد که چند نفر از تیم تحقیق که مسلط به پژوهش کیفی بودند اطمینان‌پذیری را تأیید کردند. اطمینان‌پذیری پیشتر با ثبت کامل و مدلوم فعالیت‌های محققان درباره چگونگی جمع‌آوری و تحلیل داده‌ها تأمین شد. محققان در تمامی مراحل ثبت و ضبط مصاحبه‌ها، کدگذاری و استخراج مقوله‌ها فعالیت‌ها و اقدامات خود را به دقت یادداشت کردند. همچنین برای کسب قابلیت انتقال، مؤلفه‌های اصلی استخراج شده در اختیار یک استاد دانشگاه و ۲ متخصص با تجربه مشابه، قرار گرفت. جهت تقویت تأیید‌پذیری، کدها و مؤلفه‌های استخراج شده در اختیار اساتید مسلط به روش کیفی که در تحقیق شرکت نداشتند، گذاشته شد و توافق مناسبی درباره معانی به دست آمد. با توجه به آنچه بیان شد اعتبار و قابلیت اطمینان‌پذیری در تحقیق بررسی و تأیید شد.

### یافته‌ها

پس از پیاده‌سازی مصاحبه‌ها، تحلیل و کدگذاری اولیه صورت گرفت که منتج به ۱۵۹ مضمون پایه و ۲۶ مضمون سازمان‌دهنده و ۸ مضمون فرآگیر شد.

### رویکرد آماده‌سازانه رسانه

این رویکرد بر این فرض تمرکز دارد که رسانه‌ها باید با توجه به پیشرفت فناوری‌های ارتباطی و اطلاعاتی، خود را به روزرسانی کنند و آمادگی لازم را برای مواجهه با تحولات جدید داشته باشند. رسانه‌ها با استفاده از کارکرد اطلاع‌رسانی توانایی مطلع‌سازی افکار عمومی و مسئولان را دارند. همچنین می‌توانند با همراه‌سازی و بسیج عمومی از طریق کمپین‌های مردمی در راستای توسعه همبستگی اجتماعی در شرایط بحران و آمادگی در برابر بحران اقدام کنند (صلواتیان، ۱۳۹۰). مدل پروانه‌ای نقش رسانه در بحران در تصویر شماره ۲ نشان داده شده است.

مدل مذکور ضمن توصیف کارکردهای رسانه در شرایط بحران، الزامات رسانه‌ای شامل مدیریتی، ساختاری، نیروی انسانی و مخاطب‌محوری رسانه را در مدیریت بحران به شیوه کارآمد مطرح می‌کند (صلواتیان، ۱۳۸۹).

در ادامه پیشینه تحقیقات داخلی و خارجی مرتبط در جدول شماره ۱ آمده است.

### روش

این پژوهش از نظر ماهیت اکتشافی، از نظر سنجش روش، کیفی و از نظر هدف کاربردی است. پژوهش حاضر از نظر ماهیت داده‌ها کیفی و مبتنی بر پارادایم تفسیری است که در آن در پی استخراج پیش‌ران‌ها و پیامدهای کنشگری مؤثر رسانه‌ها در بحران‌های اجتماعی سیاسی بوده‌ایم.

جامعه پژوهش، شامل مدیران و سیاست‌گذاران رسانه، اساتید حوزه ارتباطات بحران و رسانه، خبرگان حوزه مدیریت بحران و دولتمردان سیاسی دارای دانش و تجربه کافی بوده‌اند. در این تحقیق از روش نمونه‌گیری هدفمند گلوله برای استفاده شده است. هرگاه افراد شرکت‌کننده در مطالعه شناخته شده نباشند از روش نمونه‌گیری گلوله برای استفاده می‌شود. بهطوری که از خبرگان شناسایی شده، خواسته می‌شود اگر متخصص واجد شرایط دیگری در این زمینه می‌شناسند، معرفی کنند (رحمانی همکاران، ۱۳۹۹). در این تحقیق از روش مصاحبه برای گردآوری داده‌ها استفاده شد و محققان پس از ۱۵ مصاحبه به اشاعر نظری رسیدند (جدول شماره ۲).

در این پژوهش از روش تحلیل مضمون به عنوان روشی برای شناخت، تحلیل و گزارش نتایج موجود در داده‌های کیفی به دست آمده از مطالعه تطبیقی و مصاحبه‌ها استفاده شد. در میان شیوه‌های تحلیل داده‌های کیفی، تحلیل مضمون از نظر طبقه‌بندی، شاخص‌بندی و سنج‌بندی داده‌ها از اهمیت زیادی برخوردار است. تحلیل مضمون مبتنی بر روش استقرای تحلیلی



جدول ۱. پیشینه تحقیقات مرتبط داخلی و خارجی

عنوان	نام محقق	پیشینه تحقیقات	چکیده
مقاله تأثیر رسانه‌های اجتماعی با نسخه بحثی بر رسانه‌های اجتماعی در ایران	علی‌الله احمدی	در این مقاله برای پاسخ به سوال کارکرد رسانه‌های اجتماعی چه نقش و تأثیری در شکل گیری بحث‌های اجتماعی در ایران داده شده است. نتایج پژوهش نشان می‌دهد در ویژگی رسانه‌های اجتماعی، محتوای محور بودن پیشترین تأثیر در جنب مخاطب و در کارکرد اطلاع‌رسانی پیشترین تأثیر را در هدایت و تحریک مخاطبان در بحث اجتماعی دارد. بنابراین برای پیشگیری، همکاری مستولان فضای مجازی و سایبری، ارگان‌های نظارتی و امنیتی و تحلیل مسلسل مراتی است.	این مقاله برای پاسخ به سوال کارکرد رسانه‌های اجتماعی چه نقش و تأثیری در شکل گیری بحث‌های اجتماعی در ایران داده شده است. نتایج پژوهش نشان می‌دهد در ویژگی رسانه‌های اجتماعی، محتوای محور بودن پیشترین تأثیر در جنب مخاطب و در کارکرد اطلاع‌رسانی پیشترین تأثیر را در هدایت و تحریک مخاطبان در بحث اجتماعی دارد. بنابراین برای پیشگیری، همکاری مستولان فضای مجازی و سایبری، ارگان‌های نظارتی و امنیتی و تحلیل مسلسل مراتی است.
بررسی کاربرد تلفن‌های همراه هوشمند و رسانه‌های اجتماعی در شرایط بحث‌های اجتماعی و درس‌های برای ایران	متغزالیم و محمدی توسدی	در این مقاله به الگوهای شهرهوندم‌محور ارتباطات بحث‌های اجتماعی و تلفن‌های همراه هوشمند در ایران بررسی شد. در طبقی با تجربه‌های جهانی، راه حل‌هایی برای استفاده از فناوری‌های نوین در ارتباطات بحث‌های اجتماعی در ایران ارائه شد. نتایج تحقیق نشان داد سیستم مدیریت بحث‌های از الگوهای یک‌طرفه ارتباط با شهرهوندنان در گیر بحث‌های اجتماعی در ایران استفاده می‌کند و اصلی ترین رسانه‌ها برای کنشگری در شرایط بحث‌های جمعی هستند. راه حل‌هایی که سیستم مدیریت بحث‌های اجتماعی در ایران برای کنشگری در استفاده از فناوری‌های نوین، ایجاد حساب کاربری در شبکه‌های اجتماعی، گفت‌وگویی آنلاین با مردم، استفاده از پرتابه‌های کاربردی تلفن همراه، لاغر رسانه‌های اجتماعی و رسانه‌های سنتی و تقویت زیرساخت‌های اینترنت و تلفن همراه در کشور هستند.	در این مقاله به الگوهای شهرهوندم‌محور ارتباطات بحث‌های اجتماعی و تلفن‌های همراه هوشمند در ایران بررسی شد. در طبقی با تجربه‌های جهانی، راه حل‌هایی برای استفاده از فناوری‌های نوین در ارتباطات بحث‌های اجتماعی در ایران ارائه شد. نتایج تحقیق نشان داد سیستم مدیریت بحث‌های از الگوهای یک‌طرفه ارتباط با شهرهوندنان در گیر بحث‌های اجتماعی در ایران استفاده می‌کند و اصلی ترین رسانه‌ها برای کنشگری در شرایط بحث‌های جمعی هستند. راه حل‌هایی که سیستم مدیریت بحث‌های اجتماعی در ایران برای کنشگری در استفاده از فناوری‌های نوین، ایجاد حساب کاربری در شبکه‌های اجتماعی، گفت‌وگویی آنلاین با مردم، استفاده از پرتابه‌های کاربردی تلفن همراه، لاغر رسانه‌های اجتماعی و رسانه‌های سنتی و تقویت زیرساخت‌های اینترنت و تلفن همراه در کشور هستند.
بررسی نقش کمین چهارشنبه‌های سفید بر کنشگری زنان در رسانه‌های اجتماعی	شاه، ۱۳۹۷	در این پژوهش، با استفاده از شیوه مردم‌نمکاری مجازی، مشاهده مشارکت و نتیجه‌گیری، با پهنه‌گیری از روش تحلیل محتوا کیفی، نمونه‌ای هدفمند از عکس‌ها و ویدئوهای ارسالی از طرف کاربران ایرانی از آغاز کمین چهارشنبه‌های سفید (خرداد ۱۳۹۶ تا خرداد ۱۳۹۷) مورد تحلیل قرار گرفته است.	در این پژوهش، با استفاده از شیوه مردم‌نمکاری مجازی، مشاهده مشارکت و نتیجه‌گیری، با پهنه‌گیری از روش تحلیل محتوا کیفی، نمونه‌ای هدفمند از عکس‌ها و ویدئوهای ارسالی از طرف کاربران ایرانی از آغاز کمین چهارشنبه‌های سفید (خرداد ۱۳۹۶ تا خرداد ۱۳۹۷) مورد تحلیل قرار گرفته است.
بررسی رسانه‌های اجتماعی و مدیریت بحث‌های همکاران در کنشگری اجتماعی	پیغمبان چهاری و همکاران، ۱۳۹۵	در این مقاله به منظور ارائه تحلیل مفهومی از ماهیت کنشگری در روابط اجتماعی، سیاست، اقتصادی و فرهنگی، به شرح آثار رسانه‌های اجتماعی همگراشده در تلفن‌های همراه هوشمند در مدیریت بحث‌های اجتماعی ارائه شد. نتایج تحقیق نشان داد مصادیق مختلف مدیریت بحث‌های اجتماعی (باشوه، بروز، فروکش و پهلوو) تأثیر معناداری بر کنشگری در فضای واقعی داشته است.	در این مقاله به منظور ارائه تحلیل مفهومی از ماهیت کنشگری در روابط اجتماعی، سیاست، اقتصادی و فرهنگی، به شرح آثار رسانه‌های اجتماعی همگراشده در تلفن‌های همراه هوشمند در مدیریت بحث‌های اجتماعی ارائه شد. نتایج تحقیق نشان داد مصادیق مختلف مدیریت بحث‌های اجتماعی (باشوه، بروز، فروکش و پهلوو) تأثیر معناداری بر کنشگری در فضای واقعی داشته است.
مدیریت رسانه‌های بحث‌های پیشگیرانه و بررسی نقش رسانه‌های جمعی در مرحله پیش از وقوع بحث	صلواتیان و روشنل	یافته‌ها حاکی از آن است که پیش‌بینی به موقع بحث‌های جلوگیری از بروز یا کاهش پیامدهای منفی آن و آمادگی برای روزارویی با بحث‌های از وظایف اصلی رسانه‌های جمعی است. صداوسیما با انتخاب راهبرد پیشگیرانه و با کمک الگوی پیشگیرانه می‌تواند با نظرات و پایش محبیل، اموزش و هدایت افکار عمومی، اطلاع‌رسانی و ایجاد همبستگی ملی، به مقابله پیشگیرانه با بحث‌های پیش‌بازد.	یافته‌ها حاکی از آن است که پیش‌بینی به موقع بحث‌های جلوگیری از بروز یا کاهش پیامدهای منفی آن و آمادگی برای روزارویی با بحث‌های از وظایف اصلی رسانه‌های جمعی است. صداوسیما با انتخاب راهبرد پیشگیرانه و با کمک الگوی پیشگیرانه می‌تواند با نظرات و پایش محبیل، اموزش و هدایت افکار عمومی، اطلاع‌رسانی و ایجاد همبستگی ملی، به مقابله پیشگیرانه با بحث‌های پیش‌بازد.
طرایحی مدل واحد از کنشگری در محیط‌های ارتباطی چندپانزه‌منی از تئوری ستی روابط عمومی	دایز و لاوسن، ۲۰۲۲	داده‌های این مطالعه براساس مصالحه‌های عمیق با ۲۶ مدل انتقال اسکالاند جمع‌آوری شده و با استفاده از روش تئوری داده‌بندیا یا رویکرد استراوس و کورین طی ۳ مرحله کدگذاری یا، محوری و انتخابی تحلیل شده‌اند. این مطالعه با یافتن اینکه بحث‌های محركه‌های جایی برای کنشگری هستند، بسط و پسند از مدل کنشگری چون و پارک ارائه کرده است. نتایج تحقیق ییش‌هایی جهت گسترش روابط عمومی سنتی و نظریه ارتباطات در محیط‌های چندپانزه‌منی و چندکنشگری ارائه کرده است. نتایج مشخص کرد رسانه‌های در بحث‌های اجتماعی موجب تشدید بحث از طریق تشکیل حباب اطلاعاتی می‌شوند و باید چارچوب مشخص در این زمینه برای کنشگری مؤثر رسانه‌ها ارائه شود.	داده‌های این مطالعه براساس مصالحه‌های عمیق با ۲۶ مدل انتقال اسکالاند جمع‌آوری شده و با استفاده از روش تئوری داده‌بندیا یا رویکرد استراوس و کورین طی ۳ مرحله کدگذاری یا، محوری و انتخابی تحلیل شده‌اند. این مطالعه با یافتن اینکه بحث‌های محركه‌های جایی برای کنشگری هستند، بسط و پسند از مدل کنشگری چون و پارک ارائه کرده است. نتایج تحقیق ییش‌هایی جهت گسترش روابط عمومی سنتی و نظریه ارتباطات در محیط‌های چندپانزه‌منی و چندکنشگری ارائه کرده است. نتایج مشخص کرد رسانه‌های در بحث‌های اجتماعی موجب تشدید بحث از طریق تشکیل حباب اطلاعاتی می‌شوند و باید چارچوب مشخص در این زمینه برای کنشگری مؤثر رسانه‌ها ارائه شود.
بررسی تأثیر رسانه‌های اجتماعی آنلاین بر کنشگری مهاجران	چکه‌روو، ۲۰۲۲	اگرچه مهاجران به طور معمول در این یافته‌ها در گفت‌وگوهای سیاسی شرکت می‌کنند، مانند شرایط بحث‌های اکبر امیریان و موج کووید-۱۹ و درگیری مرزی قرقیزستان و تاجیکستان در ۲۰۲۱، موجی از فعالیت‌های سیاسی در رسانه‌های اجتماعی آغاز شد که به شکل جمع‌آوری کمک‌های مالی و پسیع اعتراضی به ذیای واقعی منتقل شد. بنابراین نتایج تحقیق تأثیر متغیر رسانه‌های اجتماعی آنلاین بر کنشگری مهاجران را نشان داده است.	اگرچه مهاجران به طور معمول در این یافته‌ها در گفت‌وگوهای سیاسی شرکت می‌کنند، مانند شرایط بحث‌های اکبر امیریان و موج کووید-۱۹ و درگیری مرزی قرقیزستان و تاجیکستان در ۲۰۲۱، موجی از فعالیت‌های سیاسی در رسانه‌های اجتماعی آغاز شد که به شکل جمع‌آوری کمک‌های مالی و پسیع اعتراضی به ذیای واقعی منتقل شد. بنابراین نتایج تحقیق تأثیر متغیر رسانه‌های اجتماعی آنلاین بر کنشگری مهاجران را نشان داده است.

بررسی تأثیر رسانه‌های اجتماعی آنلاین بر کنشگری مهاجران



## پیشینه تحقیقات

عنوان	نام محقق	چکیده
تجزیه و تحلیل تجربه مشارکت آنلاین جوانان در جنبش‌های کنشگری اجتماعی	کورتس - راموس و همکاران، ۲۰۲۱	این پژوهش در قالب یک پارادایم کیفی تفسیری توصیفی انجام شده است. تابع تحقیق نشان داد پیشان‌های کنشگری اجتماعی عبارتند از: ایزارهای فناورانه و ترجیحات رسانه‌های اجتماعی، مشارکت در جنبش‌های اجتماعی و کنشگری مثبت، درک میزان مشارکت، علاقه، انگیزه مشارکت، استفاده از زبان در رسانه‌های اجتماعی و باورهای فردی افراد
تحلیل روان‌شناسی کنشگری رسانه‌های آنلاین و جنبش‌های اجتماعی و روابط بین کنش جمی آنلاین و آنلاین	هدی و همکاران، ۲۰۲۰	تابع تحقیق نشان داد یکی از آثار منفی کنشگری رسانه در جنبش‌های اجتماعی، ایجاد یا تشدید بحران و ایجاد حیاب اطلاعاتی است که پیامد منفی کنشگری رسانه‌ها بوده است.
رسانه‌های اجتماعی در مدیریت بحران: از زبانی و تجزیه و تحلیل پژوهش‌های اطلاعاتی بحران	رویتر و همکاران، ۲۰۱۸	از زمان حملات تروریستی ۱۱ سپتامبر، استفاده از رسانه‌های اجتماعی در بحران پس از این تاریخ شده است و پس از این مطالعات بر روی استفاده از فناوری و رسانه‌های اجتماعی (قبل، حین، یا بعد از بحران) تمرکز شده است. حوزه تحقیقاتی که این مطالعات در آن قرار می‌گیرند اینفوگرافیک بحران نامیده می‌شود این مقاله، تحقیقات اینفوگرافیک بحران را با نگاهی به مطالعات موردی استفاده از رسانه‌های اجتماعی ارزیابی کرده است.

جدول ۲. مشخصات مصاحبه‌شوندگان

شماره	تجمعیات	سمت / تخصص
۱	کارشناس ارشد فلسفه	مدیر کل اخبار چندرسانه‌ای خبرگزاری، سردبیر سابق خبرگزاری
۲	دکتری علوم سیاسی (مسائل ایران)	مشاور شهردار تهران و مدیرمسئول سابق چند روزنامه
۳	دکترای علوم سیاسی	رئيس اندیشه کده مرکزی سیاست‌پژوهی و راهبردی‌دانگاری دانشگاهها و مؤسسات آموزش عالی استان گلستان، مدرس دانشگاه
۴	دکترای علوم سیاسی (آینده‌پژوهی)	مدیر مرکز ستاره و تولید محتوای سازمان سراج
۵	دکترای مدیریت فرهنگی گرایش تصمیم‌گیری و سیاست‌گذاری	معاونت سیاسی و اجتماعی فرمانداری تهران، مدرس دانشگاه
۶	دانشجوی دکترا جامعه‌شناسی سیاسی	تماینده مردم تهران در مجلس شورای اسلامی، سردبیر و مدیرمسئول روزنامه خبرنگار بحران، نویسنده کتاب در حوزه خبرنگاری
۷	کارشناسی علوم ارتباطات	دانشجوی دکترا ارشد مدیریت رسانه
۸	کارشناس ارشد مدیریت رسانه	پژوهشگر و فعال رسانه‌ای
۹	دانشجوی دکترا اندیشه سیاسی	معاونت امور اجتماعی و فرهنگی شهرداری تهران، قائم مقام اسبق شبکه تلویزیونی
۱۰	دکترا علوم ارتباطات	مدیرگروه در مرکز تحقیقات صداوسیما
۱۱	دانشجوی دکترا مدیریت رسانه	کارشناس ارزیابی محتوای صداوسیما
۱۲	دکترا مدیریت استراتژیک	هیئت‌علمی دانشگاه پام نور واحد تهران غرب
۱۳	دکترا علوم ارتباطات تخصص: سیاست‌گذاری عمومی	استاد دانشگاه
۱۴	کارشناس ارشد سیاست‌گذاری عمومی، دانشجوی دکترا مدیریت رسانه	مدیر کل ساقی دفتر آسیب‌های اجتماعی وزارت تعاون، کار و رفاه اجتماعی، مشاور سابق وزیر، مدیرمسئول و صاحب‌امتیاز ماهنامه
۱۵	کارشناس ارشد روزنامه‌نگاری	پژوهشگر و فعال رسانه‌ای



جدول ۳. مراحل روش تحلیل مضمون براون و کلارک (۲۰۰۶) (منبع: جریه، ۱۴۰۲)

مرحله	توصیفی از فرایند
۱. آشنا شدن با دادها	رونویسی دادها (در صورت لزوم)، خواندن و دوباره خواندن دادها، با لشاره به ایدمهای اولیه.
۲. ایجاد مضمین اولیه	کدگذاری ویژگی‌های جال از دادها در یک روش منظم در کل مجموعه داده، تلفیق داده‌های مربوطه.
۳. جستجو برای مضمین	تلفیق کدها به مضمون‌های بالقوه، جمع‌آوری تمام اطلاعات مربوط به هر مضمون بالقوه.
۴. پارهیزی مضمین	چک کردن اینکه اگر مضمون‌ها در ربط با خلاصه کدگذاری عمل می‌کنند (سطح ۱) وارد کردن مجموعه داده (سطح ۲) یک نقشه موضوعی برای تجزیه و تحلیل ایجاد کنیم.
۵. تعریف و نام‌گذاری مضمین	تجزیه و تحلیل مذام برای اصلاح ویژگی‌های هر مضمون و داستان کلی گفته‌های تجزیه و تحلیل، تولید تعاریف و نام‌های روش برای هر تم.
۶. نوشتگری	فرصت نهایی برای تجزیه و تحلیل، انتخاب واضح (روشن)، ایجاد کردن مثال‌های خلاصه، تجزیه و تحلیل نهایی از خلاصه انتخاب شده، ارتباط دادن تجزیه و تحلیل به سوالات تحقیق و ادبیات، تولید گزارش‌های علمی از تجزیه و تحلیل.

سؤال پنجم: چه عواملی زمینه‌ساز کنشگری مؤثر رسانه‌ها در پیشگیری از بحران‌های اجتماعی‌سیاسی است؟ (جدول شماره ۸)

سؤال ششم: کنشگری مؤثر رسانه‌ها در پیشگیری از بحران‌های اجتماعی‌سیاسی چه نتایجی دربر دارد؟ (جدول شماره ۹)

سؤال هفتم: چه عواملی زمینه‌ساز کنشگری مؤثر رسانه‌ها در آماده‌سازی در برابر بحران‌های اجتماعی‌سیاسی است؟ (جدول شماره ۱۰).

سؤال هشتم: نتایج کنشگری مؤثر رسانه‌ها در آماده‌سازی در برابر بحران‌های اجتماعی‌سیاسی چیست؟ (جدول شماره ۱۱).

### بحث

براساس نتایج بدست آمده از تحقیق مشخص شد رسانه‌ها و بهویژه رسانه‌های توین، کنشگری مؤثر و هدفمندی بر بحران‌ها دارند. آن‌چنان‌که طیف تأثیرگذاری آن‌ها بر بحران از بحران‌زدایی تا بحران‌زایی را شامل می‌شود. پدیده شکل‌گیری حباب اطلاعاتی توسط رسانه‌ها در زمان بحران‌ها خود حاکی از نقش مهم رسانه‌هاست. این یافته در نتایج تحقیق دایر و لاوسون (۲۰۲۳) هم به اثبات رسید که رسانه‌ها در بحران‌های اجتماعی موجب تشدید بحران از طریق تشکیل حباب اطلاعاتی می‌شوند و باید چارچوب مشخصی در این زمینه برای کنشگری مؤثر رسانه‌های راه را شود. مشابه این یافته در مطالعه هدی و همکاران (۲۰۲۰) نیز به تأیید رسید که یکی از آثار منفی کنشگری رسانه در جنبش‌های اجتماعی، ایجاد یا تشدید بحران و ایجاد حباب اطلاعاتی است که پیامد منفی کنشگری رسانه‌ها بوده است.

امروزه در بروز بحران‌ها، روایتگر اول بودن و انحصار تولید خبر اول از رویداد، بازنمایی صحیح بحران، پاسخ‌گو کردن مسئولین بحران، ارائه تحلیل‌های دقیق و عمیق از مسائل پیچیده، تنظیم‌گری فضای رسانه‌ای و جلوگیری از بروز و رشد شایعه

سوالات ذیل براساس چارچوب مفهومی این مقاله که پیش‌تر در بخش مبانی نظری به عنوان مدل پروانه‌ای مدیریت رسانه‌ای بحران معرفی شد، از مشارکت کنندگان پرسیده شد. این سوالات علاوه بر احصای وظیفه و کارکردهای رسانه در مدیریت بحران، با التفات به الزامات چهارگانه رسانه‌ها (مدیریتی، ساختاری، نیروی انسانی و مخاطب‌محوری) برای مدیریت اثربخش بحران، در ۳ فاز پیش‌بینی، پیشگیری و آماده‌سازی به بررسی عوامل زمینه‌ساز و نتایج کنشگری مؤثر رسانه‌های جریان اصلی در مواجهه با بحران‌های اجتماعی‌سیاسی پرداخته است. در ادامه به تفصیل به شرح یافته‌ها پرداخته خواهد شد:

سؤال اول: در بحران‌های اجتماعی‌سیاسی، رسانه‌ها چه کارکردهایی پیدا می‌کنند (جدول شماره ۴)؟

طبق نتایج بدست آمده از تحلیل مضمون پاسخ‌های مربوط به این سؤال، مضمین‌پایه‌ای مستخرج در ۵ مضمون سازمان‌دهنده دست‌بندی شدند. پس چنانچه رسانه خواستار مدیریت بحران‌های اجتماعی‌سیاسی است؛ ابتدا باید کارکردهای خود در این بحران‌ها را شناسایی کند و در هر کارکرد در حوزه‌های متفاوت اقدامات مربوطه را بتواند انجام دهد.

سؤال دوم: اگر بخواهیم نقش آفرینی رسانه‌ها را در حوزه بحران به ۳ فاز پیش از بحران، حین بحران و پس از بحران دست‌بندی کنیم، رسانه در کدام فاز نقش کلیدی‌تری دارد؟ چرا؟

طبق نظر غالب مصاحبه‌شوندگان نقش رسانه، پیش از بحران به دلایل مذکور (در جدول شماره ۵) کلیدی‌تر است.

سؤال سوم: چه عواملی زمینه‌ساز کنشگری مؤثر رسانه‌ها در فاز پیش‌بینی بحران‌های اجتماعی‌سیاسی است؟ (جدول شماره ۶).

سؤال چهارم: کنشگری مؤثر رسانه‌ها در فاز پیش‌بینی بحران‌های اجتماعی‌سیاسی چه نتایجی دربر دارد؟ (جدول شماره ۷).

جدول ۴. کارکرد رسانه‌ها در بحران‌های اجتماعی سیاسی

مقدمون فراغیر	مقدمون سازمان دهنده	مقدمین پایه‌ای
کارکرد حمایتی رسانه از افکار عمومی	کارکرد حمایتی رسانه از افکار عمومی	تلاش برای ایجاد امنیت اجتماعی، امنیت احساسی و امنیت ادراکی مردم
کارکرد آگاهی‌بخشی رسانه در شرایط بحران	کارکرد حمایتی رسانه از افکار عمومی	به رسمیت شناختن نقش مردم همدربی با مردم جامعه
کارکرد اطالية‌گری از دولت و نهادهای مستول در شرایط بحران	کارکرد اطالية‌گری از دولت و نهادهای مستول در شرایط بحران	توجه به گروههای اقلیت و محروم و توانمندسازی آن‌ها ارائه تحلیل‌های عمیق و دقیق برای درک مسائل پیچیده توسط جامعه
کارکرد اطالية‌گری از دولت و نهادهای مستول در شرایط بحران	کارکرد اطالية‌گری از دولت و نهادهای مستول در شرایط بحران	افشای تخلفهای سهل‌انگاری‌های افراد و سازمان‌ها در شرایط بحران لغزش آگاهی عمومی
کارکرد رسانه‌ها در بحران‌های اجتماعی سیاسی	کارکرد اطالية‌گری از دولت و نهادهای مستول در شرایط بحران	تحلیل و بررسی بحران‌های اجتماعی سیاسی بازنمایی صحیح واقعیت اجتماعی
کارکرد اطالية‌گری از دولت و نهادهای مستول در شرایط بحران	کارکرد اطالية‌گری از دولت و نهادهای مستول در شرایط بحران	پیگیری بحران‌ها و رفع مشکلات اهتمام رسانه به مسئول‌سازی و پاسخ‌گو کردن دولت در شرایط بحران
کارکرد لاستراتژیک	کارکرد اطالية‌گری از دولت و نهادهای مستول در شرایط بحران	نقش‌آفرینی رسانه به مثابه میدان گفت‌وگوی طرفین کارکرد اطالية‌گری از دولت و نهادهای مستول در شرایط بحران
کارکرد لاستراتژیک	کارکرد اطالية‌گری از دولت و نهادهای مستول در شرایط بحران	کارکرد اطالية‌گری از دولت و نهادهای مستول در شرایط بحران ارائه اطلاعات بدموقع و بدانداره به مخاطبان
کارکرد لاستراتژیک	کارکرد اطالية‌گری از دولت و نهادهای مستول در شرایط بحران	کارکرد اطالية‌گری از دولت و نهادهای مستول در شرایط بحران بازنمود نقش آفرینی مردم بازنمایی تکنیک‌های و چندصدایی
کارکرد لاستراتژیک	کارکرد اطالية‌گری از دولت و نهادهای مستول در شرایط بحران	نیازستجوی مخاطبان و تنظیم سطح مطالبه‌گری مخاطبان لیهامزدایی، ارتقای شفاقت و قانون‌بندیری در نظام سیاسی
کارکرد لاستراتژیک	کارکرد اطالية‌گری از دولت و نهادهای مستول در شرایط بحران	بازوی تصمیم‌گذاری مدیویان در شرایط بحران حل مسئله و تجزیه و تحلیل اخبار
کارکرد لاستراتژیک	کارکرد اطالية‌گری از دولت و نهادهای مستول در شرایط بحران	کارکرد میانجی میان دولت و ملت شناخت از افکار عمومی جامعه به مناسبت پسیج افکار عمومی
کارکرد لاستراتژیک	کارکرد اطالية‌گری از دولت و نهادهای مستول در شرایط بحران	ایدای مقیولیت رسانه نزد مردم اتخاذ رویکرد و روش صحیح در پیشگیری از بحران

تأثیر معناداری بر کنشگری در فضای واقعی داشته است.

مطابق با فته‌های مندرج در **جدول شماره ۶**، یکی از پیشران‌های کنشگری مؤثر رسانه‌ها در برایر بحران‌های اجتماعی سیاسی، پیشran‌های زیرساختی است که پیش‌تر در تحقیق منتظر قائم و موسوی (۱۴۰۰) نیز بر ضرورت آن تأکید شده بود؛ بهطوری که استفاده از فناوری‌های نوین در ارتباطات بحران ایران اولویت

در هنگام بحران، تولید چندصدایی از بستر رسانه‌های نوین، جریان‌سازی و مرجعیت رسانه‌های همگی از رهگذر کنش مؤثر رسانه‌ها در شرایط بحران معنا می‌یابند؛ بهطوری که در نتایج مطالعه  **بصیریان جهرمی و همکاران (۱۳۹۵)** نیز به ماهیت کنشگری رسانه‌های اجتماعی در مدیریت بحران پرداخته شد. نتایج آن تحقیق نیز در تأیید نتایج تحقیق حاضر نشان داد مصاديق مختلف مدیریت بحران (انباشت، بروز، فروکش و بهبود).

جدول ۵. نقش آفرینی رسانه پیش از بحران، حین بحران و پس از بحران

نقش‌مند فراگیر	نقش‌مند سازماندهنده	نقش‌مند پایه‌ای
نقش آفرینی رسانه‌ها در فاز پیش از بحران	نقش آفرینی رسانه‌ها در فاز پیش از بحران	ارائه تحلیل‌ها و پیش‌بینی‌های دقیق برای جلوگیری از بحران
نقش آفرینی رسانه‌ها در فاز حین بحران	نقش آفرینی رسانه‌ها در فاز حین بحران	اطلاع‌رسانی و آگاهی‌بخشی برای جلوگیری از گسترش بحران
نقش آفرینی رسانه‌ها در فاز پس از بحران	نقش آفرینی رسانه‌ها در فاز پس از بحران	شناسایی علل بروز بحران
نقش آفرینی رسانه‌ها در فاز پیش از بحران	نقش آفرینی رسانه‌ها در فاز پیش از بحران	رسانه بحران‌زا
نقش آفرینی رسانه‌ها در فاز پیش از بحران	نقش آفرینی رسانه‌ها در فاز پیش از بحران	تأثیرگذاری پیشتر
نقش آفرینی رسانه‌ها در فاز پیش از بحران	نقش آفرینی رسانه‌ها در فاز پیش از بحران	توانایی پیش‌بینی بحران‌ها براساس تحلیل‌های وقایع
نقش آفرینی رسانه‌ها در فاز پیش از بحران	نقش آفرینی رسانه‌ها در فاز پیش از بحران	آگاهسازی از بحران
نقش آفرینی رسانه‌ها در فاز پیش از بحران	نقش آفرینی رسانه‌ها در فاز پیش از بحران	اینده‌نگری بحران
نقش آفرینی رسانه‌ها در فاز پیش از بحران	نقش آفرینی رسانه‌ها در فاز پیش از بحران	قطعه چرخه بحران
نقش آفرینی رسانه‌ها در فاز پیش از بحران	نقش آفرینی رسانه‌ها در فاز پیش از بحران	کاهش آثار جانی و مالی ناشی از بحران
نقش آفرینی رسانه‌ها در فاز پیش از بحران	نقش آفرینی رسانه‌ها در فاز پیش از بحران	مسئولیت‌سازی برای دولت در راستای جلوگیری از بحران
نقش آفرینی رسانه‌ها در فاز پیش از بحران	نقش آفرینی رسانه‌ها در فاز پیش از بحران	گسترش آرامش عمومی
نقش آفرینی رسانه‌ها در فاز پیش از بحران	نقش آفرینی رسانه‌ها در فاز پیش از بحران	ترویج حس همیستگی و مشارکت عمومی در مدیریت پیش از بحران
نقش آفرینی رسانه‌ها در فاز پیش از بحران	نقش آفرینی رسانه‌ها در فاز پیش از بحران	کم‌هزینه‌ترین پومن اقدامات قبل از بحران
نقش آفرینی رسانه‌ها در فاز پیش از بحران	نقش آفرینی رسانه‌ها در فاز پیش از بحران	داشتمن مخاطب
نقش آفرینی رسانه‌ها در فاز پیش از بحران	نقش آفرینی رسانه‌ها در فاز پیش از بحران	انتشار نظرات خبرگان حوزه بحران
نقش آفرینی رسانه‌ها در فاز پیش از بحران	نقش آفرینی رسانه‌ها در فاز پیش از بحران	گسترش آرامش عمومی
نقش آفرینی رسانه‌ها در فاز پیش از بحران	نقش آفرینی رسانه‌ها در فاز پیش از بحران	ثبت گزارشات مهندسی از بحران
نقش آفرینی رسانه‌ها در فاز پیش از بحران	نقش آفرینی رسانه‌ها در فاز پیش از بحران	اطلاع‌رسانی به موقع و بی‌وقفه
نقش آفرینی رسانه‌ها در فاز پیش از بحران	نقش آفرینی رسانه‌ها در فاز پیش از بحران	آموزش دستورالعمل‌های ایمنی
نقش آفرینی رسانه‌ها در فاز پیش از بحران	نقش آفرینی رسانه‌ها در فاز پیش از بحران	آموزش راهکارهای مقابله‌ای
نقش آفرینی رسانه‌ها در فاز پیش از بحران	نقش آفرینی رسانه‌ها در فاز پیش از بحران	آگاهسازی از ماهیت و دریغ‌گیری بحران
نقش آفرینی رسانه‌ها در فاز پیش از بحران	نقش آفرینی رسانه‌ها در فاز پیش از بحران	پل ارتباطی میان نهادهای مستحول و آسیب‌دیدگان بحران
نقش آفرینی رسانه‌ها در فاز پیش از بحران	نقش آفرینی رسانه‌ها در فاز پیش از بحران	نظرارت بر عملکرد دولت در حین بحران
نقش آفرینی رسانه‌ها در فاز پیش از بحران	نقش آفرینی رسانه‌ها در فاز پیش از بحران	اشکارسازی شکاف‌های اطلاعاتی
نقش آفرینی رسانه‌ها در فاز پیش از بحران	نقش آفرینی رسانه‌ها در فاز پیش از بحران	پیشگیری از شیوع شایعه
نقش آفرینی رسانه‌ها در فاز پیش از بحران	نقش آفرینی رسانه‌ها در فاز پیش از بحران	ترویج گفت‌وگو و تفاهمنامه
نقش آفرینی رسانه‌ها در فاز پیش از بحران	نقش آفرینی رسانه‌ها در فاز پیش از بحران	اقدامات پیشگیرانه در جهت کاهش آثار تخریبی بحران
نقش آفرینی رسانه‌ها در فاز پیش از بحران	نقش آفرینی رسانه‌ها در فاز پیش از بحران	پیگیری حل مشکلات
نقش آفرینی رسانه‌ها در فاز پیش از بحران	نقش آفرینی رسانه‌ها در فاز پیش از بحران	امیدآفرینی برای عموم
نقش آفرینی رسانه‌ها در فاز پیش از بحران	نقش آفرینی رسانه‌ها در فاز پیش از بحران	جلوگیری از بحران‌های دیگر

## جدول ۶ عوامل زمینه‌ساز کنشگری مؤثر رسانه‌ها در فاز پیش‌بینی بحران‌های اجتماعی‌سیاسی

مفهوم فراغیر	مفهوم سازماندهنده	مفهومین پایه‌ای
پیشران زیرساختی		دسترسی به اطلاعات و داده‌های جامع و دقیق درباره شرایط اجتماعی و سیاسی
		دسترسی کامل به اطلاعات و منابع اطلاعاتی درست
		دسترسی به آخرين فناوري‌های اطلاعاتي و ارتباطي
		وجود فضای رسانه‌ای آزاد و مستقل
		حایات‌گری از رسانه و مصنون‌سازی آن
		نگاه کلان به رسانه و کنشگران رسانه
		حضور بهموقع در محل بحران
		واکاوی رسانه‌ای برای شناسایی عوامل بالقوه بحران
		توانایی تشخیص الگوها و روندهای اجتماعی و سیاسی و پیش‌بینی رفتارهای آینده جامعه
		همکاری و مشارکت با سایر ذی‌نفعان، مانند سایر رسانه‌ها، دانشگاهها و NGO‌ها
		مشارکت‌جویی از عموم از طریق رسانه‌های اجتماعی
		توانایی ترویج فرهنگ اطلاع‌رسانی و مشارکت اجتماعی در جامعه
		اگاهی از عوامل سیاسی، اجتماعی، اقتصادی و فرهنگی
		توانایی جمع‌آوری و تجزیه و تحلیل اطلاعات، مصاحبه بهموقع با منابع
		درک فوریت بحران و توافقی واکنش سریع به بحران
		پالشترک‌گذاری منابع، تخصص و دیدگاهها با هدف هم‌فکری با سایر سازمان‌ها
		آموزش و توانمندسازی رسانه‌ها و کارکنان آن‌ها
		پیشران نیروی انسانی
		برخورداری رسانه از نیروی خبری متخصص و حرفه‌ای
		توانایی تحلیل و بررسی اطلاعات و داده‌ها بهصورت حرفه‌ای و مستند
		پوشش بحران توسط رسانه‌های تخصصی
		توانایی تفسیر صحیح و منصفانه اخبار برای پیش‌بینی بحران‌های اجتماعی‌سیاسی
		توانایی ارائه اطلاعات بهصورت شفاف و قابل فهم برای جامعه
		رعایت استانداردهای اخلاقی و حرفه‌ای (مانند حفاظت از منابع، عدم مداخله احساسات)
		توانایی ارتباط با خبرگان و متخصصان در زمینه‌های مختلف
		حفظ بی‌طرفی، شفاقت و عینیت در گزارش توسط خبرنگاران
		مشروعیت و مقبولیت عمومی رسانه نزد افکار عمومی و دولت
		سرمایه اجتماعی رسانه
		ایجاد اعتماد عمومی از طریق گزارش‌دهی مداوم و یا کیفیت بالا در طول زمان

شبکه‌های اجتماعی، گفت‌وگوی آنلاین با مردم، استفاده از برنامه‌های کاربردی تلفن همراه، ادغام رسانه‌های اجتماعی و رسانه‌های سنتی و تقویت زیرساخت‌های اینترنت و تلفن همراه در کشور معرفی شد. همان‌طور که در نتایج تحقیق راموس و

شناخته شد. نتایج تحقیق مذکور نشان می‌داد سیستم مدیریت بحران ایران از الگوهای یک‌سویه ارتباط با شهروندان درگیر بحران استفاده می‌کند و راه حل بروزنرفت از این چالش، سیاست‌گذاری در استفاده از فناوری‌های نوین، ایجاد حساب کاربری در



جدول ۷. نتایج کنشگری مؤثر رسانه‌ها در قاز پیش‌بینی بحران‌های اجتماعی سیاسی

نتایج کنشگری	دانش پیش‌بینی از بحران	مقدمون فراگیر	مقدمون سازماندهنده	مقدمون پایه‌ای
پیامدهای اجتماعی کنشگری	مؤثر رسانه پیش از بحران			کشف مسئله بحران‌زا
مقدمون سازماندهنده	مقدمون پیش از بحران			جلوگیری از آسیب به افراد و جوامع شامل جلوگیری از خشونت، کاهش آسیب‌های اقتصادی و حمایت از حقوق بشر
مقدمون پیش‌بینی از بحران				استقرار صلح، ثبات و عدالت در جامعه
مقدمون پیش‌بینی از بحران				افزایش آگاهی عمومی از بحران
مقدمون پیش‌بینی از بحران				کمک به افراد برای اقدام احتیاطی یا پیشگیری از بحران
مقدمون پیش‌بینی از بحران				کمین‌سازی رسانه‌ای برای ارتقای آگاهی عمومی
مقدمون پیش‌بینی از بحران				پسین افکار عمومی و تشویق به اقدام جمیع و جلوگیری از بحران‌های پیش‌بینی شده
مقدمون پیش‌بینی از بحران				مناخله زودهنگام ذی‌فعلان مریوطه، مانند سازمان‌های بشردوستانه یا نهادهای بین‌المللی
مقدمون پیش‌بینی از بحران				رفع نابرابری‌های سیستمی با توانمندسازی گروه‌های به طایفه‌رانده شده
مقدمون پیش‌بینی از بحران				پاسخ‌گو کردن مستولان در مدیریت بحران
مقدمون پیش‌بینی از بحران				ایجاد فشار بر مقامات برای جلوگیری از بحران‌های پیش‌بینی شده
مقدمون پیش‌بینی از بحران				تأثیر بر تصمیمات دولت، تغییر سیاست، افزایش اقدامات آمدگیری یا مداخلات دولتی برای جلوگیری از بحران‌های پیش‌بینی شده
مقدمون پیش‌بینی از بحران				تخصیص درست منابع و مداخلات پیشگیرانه برای کاهش بحران
مقدمون پیش‌بینی از بحران				پیشید تصمیم‌گیری از طریق جلب تعایل تصمیم‌گیرندگان با در نظر گرفتن نظرات کارشناسی یا دیدگاه‌های جایگزین ارائه شده توسط رسانه‌ها
مقدمون پیش‌بینی از بحران				ترغیب مستولان حوزه بحران به عمل‌گرایی و پرهیز از بی‌عملی
مقدمون پیش‌بینی از بحران				پیشگیری از وقوع و توسعه بحران‌های سیاسی اجتماعی با کنشگری رسانه‌ای
مقدمون پیش‌بینی از بحران				افزایش شفاقت از طریق افشاء برنامه‌های پنهان، فساد با سهل‌انگاری
مقدمون پیش‌بینی از بحران				ایجاد اعتماد عمومی به رسانه‌ها بین مردم و نهادها
مقدمون پیش‌بینی از بحران				ترویج فرهنگ گفت‌وگو و مناظره جهت دستیابی به رامل‌های جلوگیری از بحران‌ها

پیامدهای اجتماعی کنشگری مؤثر رسانه‌ها در بحران‌های اجتماعی سیاسی شناخته شد. این گزاره در یافته‌های شاهی (۱۳۹۷) و چکیرووا (۲۰۲۲) نیز به اثبات رسیده بود.

در این تحقیق، کنشگری رسانه‌هادر بحران‌های اجتماعی سیاسی در ۳ فاز پیش‌بینی، پیشگیری و آماده‌سازی تشریح شد و نقش رسانه در ۳ فاز مذکور به ترتیب تبیینی، لجستیکی و روان‌شناسی تشریح شد و پیامدهای هریک از انواع نقش آفرینی‌ها تصریح شد. این نتایج هم‌گرا با نتایج تحقیق **صلواتیان و روشن‌دل (۱۳۹۰)** بود که نشان می‌داد سازمان صداوسیما با اتخاذ رویکردی پیشگیرانه و با استفاده از مدل پروانه‌ای نقش رسانه‌ها در مدیریت بحران، می‌تواند از طریق رصد و پایش محیط، آموزش و هدایت افکار عمومی، اطلاع‌رسانی و ایجاد همبستگی ملی، به مقابله پیشگیرانه با بحران پردازد.

همکاران (۲۰۲۱) نیز نشان داده شد پیشرانهای کنشگری اجتماعی عبارت‌اند از ابزارهای فناورانه و ترجیحات رسانه‌های اجتماعی، مشارکت در جنبش‌های اجتماعی و کنشگری مثبت، درک میزان مشارکت، علاقه، انگیزه مشارکت، استفاده از زبان در رسانه‌های اجتماعی و باورهای فردی افراد. ناگفته نماند که به ادعای **رویتر و همکاران (۲۰۱۸)** تأثیر رسانه‌ها و زیرساخت‌های ارتباطی در عصر ارتباطات نوین تا به آنچاست که از زمان حملات تروریستی ۱۱ سپتامبر، بسیاری از مطالعات بر روی استفاده از فناوری اطلاعات و ارتباطات و رسانه‌های اجتماعی (قبل، حین، یا بعد از بحران) متوجه شده است و حوزه تحقیقاتی اینفورماتیک بحران پدید آمده است.

براساس یکی از یافته‌های مندرج در جدول شماره ۷، کمین‌سازی رسانه‌ای برای ارتقای آگاهی عمومی، از جمله

جدول ۸. عوامل زمینساز کنشگری مؤثر رسانه‌ها در پیشگیری از بحران‌های اجتماعی سیاسی

مفهوم فرآگیر	مفهوم سازمان‌دهنده	مفهوم پایه‌ای
عوامل زمینساز کنشگری مؤثر رسانه‌ها در پیشگیری از بحران‌های اجتماعی سیاسی	پیشرانه‌های پیشگیرانه رسانه در ارتباط با عموم	تعامل مستقیم و مستمر با مردم
همکاری رسانه با سایر ذی‌نفعان و نهادهای ملی و سازمان‌های جامعه مدنی و سازمان‌های دولتی برای پیشگیری و کاهش مؤثر بحران‌ها	همکاری رسانه با پایداری سیاسی کشور به منظور پیشگیری از وقوع بحران‌های جدید	شناسایی نیازهای عموم در جهت رفع تاریخی در شرایط بحران
قدرت بر جسته‌سازی پرخی مشکلات یا رویدادهای تابعه‌گرفته شده	تکثیر پایداری سیاسی در تأمینات احتمالی قبل از تبدیل شدن به بحران	تشکیل پلتفرم‌های پیشگیری از بحران برای انتشار خبرها و اطلاعات دنیا و وضعیت‌های بحرانی
مطابق جدول شماره ۴، نتایج برآمده از تحقیق حاکی از آن است که کارکرد رسانه‌ها در بحران‌های اجتماعی سیاسی، فارغ از کارکرد اطلاع‌رسانی به موقع و روایتگر اول بودن در شرایط بحران و نیز کارکرد آگاهی‌بخشی در راستای ارائه تحلیل‌های عمیق و دقیق و بازنمایی صحیح واقعیت‌های اجتماعی، دلایل کارکردهای مؤثر دیگری نیز هست که در صدر همه آن‌ها کارکرد استراتژیک رسانه‌ها با محوریت حل مسئله بحران، میانجیگری میان دولت و	کاهش مؤثر بحران کنشگری به موقع رسانه‌ها	تحلیل درست رویدادها و اخبار برای تصمیم‌گیری پیشنهادی افراد
نتایج کنشگری مؤثر رسانه‌ها در پیشگیری از بحران‌های اجتماعی سیاسی	نتایج کنشگری مؤثر رسانه‌ها در پیشگیری از بحران‌های اجتماعی سیاسی	کمک به ادراک پیش‌بینی بحران‌های سیاسی اجتماعی
نتایج کنشگری مؤثر رسانه‌ها در پیشگیری از بحران‌های اجتماعی سیاسی	نتایج کنشگری مؤثر رسانه‌ها در ارتباط با دولت و مدیران بحران	جلب اعتماد مردم به تحلیل‌های ارائه شده در زمینه پیشگیری از بحران‌ها
نتایج کنشگری مؤثر رسانه‌ها در پیشگیری از بحران‌های اجتماعی سیاسی	نتایج کنشگری مؤثر رسانه‌ها در ارتباط با دولت و مدیران بحران	مستقل بودن رسانه‌ها از فشارهای سیاسی، اقتصادی و اجتماعی برای ارائه گزارش عینی و دقیق اخبار و تحلیل آن
نتایج کنشگری مؤثر رسانه‌ها در پیشگیری از بحران‌های اجتماعی سیاسی	نتایج کنشگری مؤثر رسانه‌ها در ارتباط با دولت و مدیران بحران	توانایی شکل‌دهی به افکار و گفتگوی عمومی و تأثیرگذاری بر مسئولین کشور

ملت، ارتقای شفافیت و قانون‌پذیری، اثبات مقبولیت رسانه‌های نزد افکار عمومی و بازوی تصمیم‌سازی برای مدیران در شرایط بحران است. در این میان، رسانه می‌بایست در عین پذیرش چندصدایی و توجه به گروه‌های اقلیت، رسانه را به متابه میدان گفت و گوی طرفین قرار دهد و به حل بحران اجتماعی سیاسی کمک کند و از طرف دیگر در راستای مطالبه‌گری، نهادهای مسئول را در برابر بحران پاسخ‌گو کند.

مطابق جدول شماره ۴، نتایج برآمده از تحقیق حاکی از آن است که کارکرد رسانه‌ها در بحران‌های اجتماعی سیاسی، فارغ از کارکرد اطلاع‌رسانی به موقع و روایتگر اول بودن در شرایط بحران و نیز کارکرد آگاهی‌بخشی در راستای ارائه تحلیل‌های عمیق و دقیق و بازنمایی صحیح واقعیت‌های اجتماعی، دلایل کارکردهای مؤثر دیگری نیز هست که در صدر همه آن‌ها کارکرد استراتژیک رسانه‌ها با محوریت حل مسئله بحران، میانجیگری میان دولت و

جدول ۹. نتایج کنشگری مؤثر رسانه‌ها در پیشگیری از بحران‌های اجتماعی سیاسی

مفهوم فرآگیر	مفهوم سازمان‌دهنده	مفهوم پایه‌ای
نتایج کنشگری مؤثر رسانه‌ها در پیشگیری از بحران‌های اجتماعی سیاسی	نتایج کنشگری مؤثر رسانه‌ها در پیشگیری از بحران‌های اجتماعی سیاسی	پیشگیری از بحران‌های اجتماعی سیاسی یا دست‌کم تلاش برای کاهش آثار منفی این بحران‌ها
نتایج کنشگری مؤثر رسانه‌ها در پیشگیری از بحران‌های اجتماعی سیاسی	نتایج کنشگری مؤثر رسانه‌ها در پیشگیری از بحران‌های اجتماعی سیاسی	اصلاح سیاست‌گذاری‌ها و اقدامات مسئولین در قبال مدیریت بحران‌ها
نتایج کنشگری مؤثر رسانه‌ها در پیشگیری از بحران‌های اجتماعی سیاسی	نتایج کنشگری مؤثر رسانه‌ها در پیشگیری از بحران‌های اجتماعی سیاسی	تریختنی تصمیم‌گیری در قبال بحران‌ها
نتایج کنشگری مؤثر رسانه‌ها در پیشگیری از بحران‌های اجتماعی سیاسی	نتایج کنشگری مؤثر رسانه‌ها در پیشگیری از بحران‌های اجتماعی سیاسی	حامیت از واکاوی علل واقعی بروز بحران
نتایج کنشگری مؤثر رسانه‌ها در پیشگیری از بحران‌های اجتماعی سیاسی	نتایج کنشگری مؤثر رسانه‌ها در پیشگیری از بحران‌های اجتماعی سیاسی	پاسخ‌گو نگه داشتن دولتمردان در قبال اقدامات خود در شرایط بحران
نتایج کنشگری مؤثر رسانه‌ها در پیشگیری از بحران‌های اجتماعی سیاسی	نتایج کنشگری مؤثر رسانه‌ها در پیشگیری از بحران‌های اجتماعی سیاسی	افزایش آگاهی مردم در مورد مسائل مهم اجتماعی و سیاسی و نحوه مواجهه با بحران‌های احتمالی آنی
نتایج کنشگری مؤثر رسانه‌ها در پیشگیری از بحران‌های اجتماعی سیاسی	نتایج کنشگری مؤثر رسانه‌ها در پیشگیری از بحران‌های اجتماعی سیاسی	موافقیت در پیش‌بینی افکار عمومی و تشویق برای اقدام دسته‌جمعی در رفع بحران‌های آنی
نتایج کنشگری مؤثر رسانه‌ها در پیشگیری از بحران‌های اجتماعی سیاسی	نتایج کنشگری مؤثر رسانه‌ها در پیشگیری از بحران‌های اجتماعی سیاسی	افزایش شفافیت عملکرد دولتمردان از طریق افشاء حقایق پنهانی و ضمنی



جدول ۱۰: موافل زمینه‌ساز کنشگری مؤثر رسانه‌ها در آماده‌سازی در برابر بحران‌های اجتماعی‌سیاسی

عنوان فراگیر	مفهوم سازماندهنده	مفهوم پایه‌ای
عوامل زمینه‌ساز کنشگری مؤثر رسانه‌ها در آماده‌سازی در برابر بحران‌های اجتماعی‌سیاسی	پیش‌ران‌های فرایندی	دسترسی به تکنولوژی‌های نوین برای پوشش دادن به بحران‌های اجتماعی‌سیاسی
	پیش‌ران‌های محتوا	توسعه پلتفرم‌های ارتباطی برای برقراری ارتباط با مردم در زمان بحران
	پیش‌ران‌های بافتاری	اتخاذ تدابیر امنیتی در مقابل حملات سایبری در زمان بحران
	پیش‌ران‌های بافتاری	همکاری رسانه‌ها با نهادهای مرتبط برای آماده‌سازی در برابر بحران‌های اجتماعی‌سیاسی
	پیش‌ران‌های بافتاری	پایداری و مقاومت در برابر خود را تهدیدهای صاحبان قدرت
	پیش‌ران‌های بافتاری	آموزش به مردم در مورد خطرات احتمالی و نحوه آماده‌سازی جهت کاهش صدمات بحران‌ها
	پیش‌ران‌های بافتاری	تسهیل گفت‌وگو و تفاهم میان گروه‌های مختلف مردمی و نهادهای دولتی
	پیش‌ران‌های بافتاری	جلوگیری از انتشار اطلاعات نادرست و شایعات
	پیش‌ران‌های بافتاری	حفظ و ارتقای آمادگی کارکنان و آموزش به آن‌ها برای مواجهه با بحران‌ها
	پیش‌ران‌های بافتاری	داشتن سواد رسانه‌ای برای تجزیه و تحلیل انتقادی و تحلیل دقیق اطلاعات
	پیش‌ران‌های بافتاری	نظرارت بر اقدامات دولت و گزارش شفاف آن‌ها
	پیش‌ران‌های بافتاری	پاسخ‌گو نگه داشتن مستولین در قبال آماده‌سازی
	پیش‌ران‌های بافتاری	تحقیق و تحلیل در خصوص بحران‌های احتمالی آتی
	پیش‌ران‌های بافتاری	درک بافتار فرهنگی انتقادی نسبت به دیدگاهها و تجربیات گوناگون
	پیش‌ران‌های بافتاری	عملکردی طرفانه رسانه برای تبریز هرگونه پرسپективی

با رویکرد پیش‌بینانه، پیش‌ران‌هایی که رسانه‌ها را در جهت کنشگری مؤثر در شرایط بحران به پیش می‌برد عبارت‌اند از: پیش‌ران‌های زیرساختی که زمینه دسترسی به اطلاعات دقیق و جامع و داده‌های کلان را می‌سازند. بدیهی است فراهم‌آوری پیش‌ران زیرساختی، بدون داشتن کارکنان رسانه‌ای خبره و توانمند، عبث است؛ بنابراین پیش‌ران نیروی انسانی از ضروریات کنشگری مؤثر رسانه‌ها در شرایط بحران است. از طرفی این نیروی انسانی خبره و توانمند باید مسلح به استانداردهای اخلاق حرفه‌ای رسانه در شرایط بحران (نظیر حفاظت از منابع، عدم مداخله احساسات، رعایت بی‌طرفی، شفافیت، عینیت و غیره) باشد تا ضمن درک درجه فوریت بحران، قادر به واکنش سریع در برابر آن باشد. درنهایت تحقق همه پیش‌ران‌های بیان شده در گرو تحقق مشروعیت و مقبولیت رسانه نزد افکار عمومی و دولت است. بدین ترتیب درصورت کنشگری مؤثر رسانه‌ها در مرحله پیش‌بینی بحران، شاهد پیامدهای مهم اجتماعی‌سیاسی، مانند کشف مستوله بحران، کمک به کاهش آسیب‌های عمومی، استقرار ثبات و صلح، تشویق به اقدام جمیع خیرخواهانه، مداخله زودهنگام ذی‌نفعان، کمپین‌سازی رسانه‌ای، پاسخ‌گویی کردن مستولان و الزام به عمل گرایی ایشان در مدیریت بحران، تأثیر

همچنین مشخص شد رسانه‌ها در فاز پیش از بحران، با شناسایی علل بروز بحران می‌توانند به قطع چرخه بحران‌آفرینی کمک کنند و براساس تحلیل‌های دقیق از وقایع می‌توانند به پیش‌بینی بحران‌ها بپردازند. بدین ترتیب براساس یافته‌های مندرج در **جدول شماره ۹**، با نقش‌آفرینی مؤثر پیش از وقوع بحران، به هزینه‌های گراف مالی و معنوی ناشی از بروز بحران پایان می‌بخشدند. اما چنانچه بحران روی دهد، رسانه‌ها علاوه بر ثبت گزارشات میدانی از بحران، می‌توانند در نقش ناظر بر عملکرد دولت و نهادهای مستول نظارت کنند و بیش از هرچیز از شیوع شایعه و ایجاد شکاف‌های اطلاعاتی جلوگیری کنند و به توسعه فرهنگ گفت‌وگو و تفاهم در شرایط بحران‌های اجتماعی‌سیاسی بپردازند و نهایتاً پس از بحران، رسانه‌ها پیگیری مسائل و مشکلات ناشی از بحران، امیدآفرینی در جامعه و جلوگیری از پیدایش بحران‌های دیگر را در اولویت برنامه خود قرار دهند.

### نتیجه‌گیری

خلاصه‌ای از نتایج برآمده از یافته‌ها به تفکیک ۳ رویکرد مذکور ارائه می‌شود:

جدول ۱۱. نتایج کنشگری مؤثر رسانه‌ها در آماده‌سازی در برابر بحران‌های اجتماعی سیاسی

مقدمون فراغیز	مقدمین سازمان دهنده	مقدمین پایه‌ای
پیامدهای آموزشی رسانه	پیامدهای امنیتی رسانه	آگاهی عمومی از مواجهه با بحران و تصمیم‌گیری بهنگام
نتایج کنشگری مؤثر رسانه‌ها در آماده‌سازی در برابر بحران‌های اجتماعی سیاسی	پیامدهای روان‌شناختی رسانه	جلوگیری از به وجود آمدن بحران‌های پعدی یا کاهش آسیب‌های ناشی از آن
پیامدهای عملکردی رسانه	پیامدهای امنیتی رسانه	آموزش چگونگی کمک به آسیب‌دیدگان با زیان‌دیدگان احتمالی
پیامدهای عملکردی رسانه	پیامدهای امنیتی رسانه	ارتقای سطح سلامت روانی جامعه
پیامدهای عملکردی رسانه	پیامدهای امنیتی رسانه	افزایش خودکنترلی در شرایط بحران
پیامدهای عملکردی رسانه	پیامدهای امنیتی رسانه	مدیریت اثربخش بحران‌های سیاسی اجتماعی با همکاری مثلث رسانه، مردم و مسئولین
پیامدهای عملکردی رسانه	پیامدهای امنیتی رسانه	ارتقای آراملش و امنیت عمومی و پهلوی کیفیت زندگی مردم
پیامدهای عملکردی رسانه	پیامدهای امنیتی رسانه	جلوگیری از گسترش بحران
پیامدهای عملکردی رسانه	پیامدهای امنیتی رسانه	جلوگیری از غافلگیری مسئولین برای آماده‌سازی آن‌ها در مقابل بحران‌ها
پیامدهای عملکردی رسانه	پیامدهای امنیتی رسانه	بسیج مردم برای مشارکت عمومی در حل بحران‌ها
پیامدهای عملکردی رسانه	پیامدهای امنیتی رسانه	ایجاد آمادگی در پخش‌های مختلف سازمان‌های مسئول مواجهه با بحران

اجتماعی به وجود می‌آیند. رسانه‌ها با ساختن تصویر و ذهنیت خاصی از دولت، منجر به نزدیک یا دور شدن شهروندان از دولت می‌شوند. از این‌رو اگر رسانه در انتقال و ارائه نیازهای جامعه، مسئولان را از خواسته‌های مردم، آگاه و از واقعیت و رویدادهای جامعه، باخبر کند، درباره وظایف و مسئولیت‌هایش در قبال مردم آگاهی‌بخشی کند و نیز تصویری واقعی و آگاهانه از دولت و عملکرد آن در جهت رفع نیازهای مردمی ارائه بدهد، در تعديل شکاف‌ها و پیشگیری از به وجود آمدن بحران‌ها مؤثر خواهد بود.

با رویکرد آماده‌سازانه (جدول شماره ۱۰)، پیشran‌هایی که مجرم به کنشگری مؤثر رسانه‌ها در برابر بحران‌های اجتماعی سیاسی می‌شود عبارت‌اند از: پیشran‌های فرایندی (توسعه پلتفرم‌های ارتباطی، اتخاذ تدبیر لازم در برابر حملات سایبری و همکاری‌های بین نهادی)، پیشran‌های محتوایی (جلوگیری از شیوع و انتشار اطلاعات نادرست و شایعه، ایجاد تفاهم میان طرفین در گیر بحران، ارتقای سواد رسانه‌ای برای تحلیل انتقادی موضوع) و پیشran‌های بافتاری (درک بافتار فرهنگی جامعه، نظرات بر اقدامات دولت و گزارش شفاف آن‌ها و اتخاذ مشی بی طرفانه رسانه). نتایج (جدول شماره ۱۱) نشان می‌دهد پیامدهای کنشگری مؤثر رسانه‌ها در فاز آماده‌سازی در برابر بحران‌های اجتماعی سیاسی شامل شقوق سه گانه‌ای است: پیامدهای آموزشی رسانه ناظر به آموزش چگونگی مواجهه با بحران و چگونگی کمک به زیان‌دیدگان احتمالی بحران است. اما علاوه بر مسئولیت آموزشی رسانه، انتظار می‌رود رسانه به لحاظ روان‌شناختی نیز عهده‌دار ارتقای سلامت روانی جامعه و توسعه ابعاد خودکنترلی در شرایط بحران باشد. اما از آنجاکه رسانه به تنهایی نمی‌تواند به خلق شگفتی در برابر بحران‌های اجتماعی سیاسی دست بزند، می‌بایست با همکاری

رسانه بر تصمیمات دولتی و نهایتاً پیامدهایی همچون افسای برنامه‌های پنهان، فساد یا سهل‌انگاری و ایجاد اعتماد عمومی به رسانه‌ها بین مردم و نهادها خواهیم بود که ناشی از مسئولیت اجتماعی رسانه‌ای است.

در فاز پیشگیرانه، کنشگری مؤثر رسانه‌ها در بحران‌های اجتماعی سیاسی، در ۲ جبهه افکار عمومی و دولت‌ها معنا می‌باید زیرا رسانه از یکسو می‌بایست تعامل بی‌واسطه‌ای با عموم داشته باشد تا بتواند ضمن کشف نارضایتی‌های عمومی، در گاهی برای انتشار آن‌ها بباید تا از وقوع بحران‌های عظیم پیشگیری کند تا بدین ترتیب تعارضات احتمالی قبل از تبدیل شدن به بحران، حل و فصل شوند و پایداری سیاسی کشور تضمین شود و از سوی دیگر این رسانه‌ها می‌بایست ضمن حفظ استقلال رأی خود و عدم پذیرش فشارهای سیاسی، توانایی شکل‌دهی به افکار عمومی و گفتمان‌سازی و تأثیرگذاری بر مسئولین کشور را داشته باشند. چنانچه رسانه‌ها به شرح مذکور عمل کنند، در فاز پیشگیری می‌توانند علاوه بر پیشگیری از وقوع بحران‌های اجتماعی سیاسی جدید و کاهش آثار منفی بحران‌ها، در فرایند اصلاح سیاست‌ها و اقدامات مسئولین بحران نیز مؤثر باشند و همچنین به آگاه‌سازی عموم از ریشه و علل مسائل اجتماعی سیاسی روز و نحوه مواجهه با بحران‌های احتمالی بپردازند. از آنجاکه رسانه‌ها، رابط میان مردم و دولت هستند و نیازها و خواسته‌های مردم را به دولتمردان انتقال می‌دهند، اگر نیازهای مردم را غیرواقعی و دستکاری شده ارائه دهند، دولت نیز تصویر غیرواقعی از خواسته‌های آن‌ها خواهد داشت. درنتیجه عملکرد و پاسخ‌گویی آن‌ها برآسان خواسته‌های مردمی نخواهد بود. در این صورت، رسانه‌ها عامل ایجاد شکاف و فاصله میان دولت و مردم خواهند شد و بحران‌های سیاسی و

۱۴. کاهش فاصله نهادهای امنیتی و نظامی با رسانه‌ها و زیست رسانه‌ای.
۱۵. ایجاد کارگروه تخصصی مدیریت پیش از بحران (بحران‌های طبیعی و انسان‌ساخت) در همه سازمان‌ها.
۱۶. تدوین سند رسانه‌ای مدیریت بحران در سازمان‌ها و نهادها/

#### پیشنهادهای پژوهشی

در خصوص انجام تحقیقات پژوهشی آینده نیز پیشنهاد می‌شود مضمین شناسایی شده در تحقیق با روش‌های تضمین‌گیری AHP، ANP، VIKOR وغیره اولویت‌بندی شوند. همچنین پیشنهاد می‌شود راهکارهای پیشنهادی در تحقیق برای رسانه‌های مختلف (اعم از رسانه‌های جریان اصلی و شبکه‌های اجتماعی) مورد ارزیابی قرار گیرد و نتایج پیاده‌سازی آن‌ها ارائه شود.

طراحی الگوی کنشگری مؤثر رسانه‌ها در بحران‌های اجتماعی سیاسی و سند رسانه‌ای مدیریت بحران‌های اجتماعی سیاسی برای سازمان‌ها نیز از جمله پژوهش‌هایی است که پیشنهاد می‌شود.

#### حدودیت‌های پژوهش

در نگارش این مقاله با محدودیت‌هایی نیز رو به رو بوده‌ایم:

- عدم دسترسی کامل به منابع اطلاعاتی رسانه‌ها و استاد مربوط به دستورالعمل‌های کاری سازمان‌ها در زمان بروز بحران‌های اجتماعی سیاسی.
- محدودیت مربوط به روش میدانی مصاحبه؛ یعنی ممکن است برخی از مصاحبه‌شوندگان در پاسخ‌گویی دچار محافظه‌کاری شده باشند.

- محدودیت دسترسی به تعدادی از مصاحبه‌شوندگان، بهویژه مسئولان حوزه رسانه و بحران که به دلایل مختلف حاضر به مصاحبه نشدند و یا همراهی‌های لازم برای انجام مصاحبه به طول می‌انجامید و همین موضوع موجب صرف زمان زیاد در انجام پژوهش شد.

#### ملاحظات اخلاقی

##### پیروی از اصول اخلاق پژوهش

همه اصول اخلاقی در این مقاله رعایت شده است. رضایت آگاهانه از تمام شرکت‌کنندگان اخذ شده است.

مثلث رسانه، مردم و مسئولین از یکسو از غافلگیری مسئولین در برابر بحران پیشگیری کند و آن‌ها را مجهز و آماده برای واکنش به موقع و بهاندازه کند و از سوی دیگر مشارکت عمومی را در حل بحران‌ها به باری طلبند تا از گسترش بحران جلوگیری شود.

#### پیشنهادهای اجرایی

بر اساس نتایج بدست آمده در تحقیق پیشنهادها و راهکارهای اجرایی به قرار زیر است:

۱. ایجاد سامانه رصد مسائل اجتماعی، بهطوری که شاخص‌های آن مدام در حال بررسی باشد تا مشخص شود چقدر از بحران دور و یا به آن نزدیک شده‌ایم.
۲. پرهیز از اقدامات حساسیت‌زا که موجب مقاومت و لجاجت مردم و ایجاد شکاف اجتماعی می‌شود.
۳. گذر از نظارت خط قرمزی (سلبی) به نظارت خط سبزی (ایجابی) در مدیریت رسانه‌ای بحران‌های اجتماعی سیاسی.
۴. فراهم آوردن بستر توجه به صدای اقلیت‌های حاشیه‌نشین جامعه و توامندسازی آن‌ها برای حضور در عرصه عمومی.
۵. افشاء تخلف یا سهل‌انگاری‌ها برای تضمین شفافیت و ترویج عدالت.
۶. دسترسی به آخرین فناوری‌های اطلاعاتی و ارتباطی برای تضمین سرعت عملیات رسانه‌ای بحران.
۷. پرهیز رسانه از بحران‌زایی و تولید بحران در بحران.
۸. همکاری بین سازمان‌های مختلف رسانه‌ای و مشارکت با سایر ذی‌نفعان مانند مؤسسات دانشگاهی یا سازمان‌های غیردولتی (NGO) در راستای منافع ملی کشور.
۹. ایجاد اعتماد عمومی از طریق گزارش‌دهی مداوم و با کیفیت بالا در حین و پس از بحران.
۱۰. ارتقای سطح مطالبه‌گری رسانه‌های جریان اصلی از مسئولان به نیابت از افکار عمومی و عدم مصونیت افراد و سازمان‌های خاص از پاسخ‌گویی.
۱۱. تقویت احساسات هویت ملی، تاریخی و جغرافیایی مشترک شهروندان در راستای تحقق خیر جمعی از طریق پررنگ کردن نقش رسانه با هنر و ورزش جهت انسجام‌بخشی و ایفای نقش مؤثر مردم.
۱۲. مدیریت صحیح سرمایه‌های اجتماعی، مانند سلبریتی‌ها و بازنمایی چندصدایی در کشور
۱۳. ضرورت زیست رسانه‌ای مسئولان کشور جهت شناخت فضای روانی جامعه و بهروز بودن آن‌ها.

## حامی مالی

این مقاله برگرفته از پایان نامه کارشناسی ارشد فاطمه استارمی در گروه مدیریت فرهنگی و رسانه دانشگاه سوره است و همچنین کمک مالی از سازمان های دولتی، خصوصی و غیرانتفاعی دریافت نکرده است.

## مشارکت نویسندگان

مفهوم سازی، روش شناسی، اعتبار سنجی، تحلیل، تحقیق و بررسی منابع: میترا افضلی فاروجی و فاطمه استارمی؛ نگارش پیش نویس، ویراستاری و نهایی سازی: میترا افضلی فاروجی.

## تعارض منافع

بنابر اظهار نویسندگان، این مقاله تعارض منافع ندارد.

## تشکر و قدردانی

حقوقان از تمامی مشارکت کنندگان در انجام پژوهش، قدردانی و تشکر می کنند.



## References

- Ameli, S., Bicharanlou, A., Bahar, M., & Gholami, F. (2019). [The conceptual model of water communication; the potentialities of communication to manage water crisis in Iran (Persian)]. *Interdisciplinary Studies in the Humanities*, 11(3), 171-199. [DOI:10.22035/isih.2020.3515.3719]
- Arasteh Khou, M. (2002). [Criticism and Perspectives on the Culture of Socio-Scientific Terms (Persian)]. Tehran: Chapakhsh. [Link]
- Basirian, H., Abdolhosseini, M., & Bordbar, M. (2016). [Assessment of Goals and Motives of Social Media and Crisis Management Students: The Role of Smart Phones in Social Activism Hossein Basirian jahromi, Mohammad Abdolhoseini, Melika Bordbar (Persian)]. *Rasanek*, 27(1), 57-83. [Link]
- Birou, A. (1987). *Vocabulaire pratique des sciences sociales* [B. Sarokhani, Persian trans.]. Tehran: Kayhan. [Link]
- Chekirova, A. (2022). Social media and cross-border political participation: A case study of Kyrgyz Migrants' Online Activism. *Social Sciences*, 1(8), 370. [DOI:10.3390/socsci11080370]
- Cortés-Ramos, A., Torrecilla García, J. A., Landa-Blanco, M., Polo Gutiérrez, F. J., & Castilla Mesa, M. T. (2021). Activism and social media: Youth participation and communication. *Sustainability*, 13(18), 10485. [DOI:10.3390/su131810485]
- Diers-Lawson, A. (2023). iScotland: Building a unified model of activism in multi-platform communication environments from traditional PR theory. *Corporate Communications: An International Journal*, 28(4), 599-617. [DOI:10.1108/CCIJ-12-2022-0153]
- Einav, G., Allen, O., Gur, T., Maaravi, Y., & Ravner, D. (2022). Bursting filter bubbles in a digital age: Opening minds and reducing opinion polarization through digital platforms. *Technology in Society*, 71, 102136. [DOI:10.1016/j.techsoc.2022.102136]
- Einav, G., Allen, O., Gur, T., Maaravi, Y., & Ravner, D. (2022). Bursting filter bubbles in a digital age: Opening minds and reducing opinion polarization through digital platforms. *Technology in Society*, 71, 102136.** [DOI:10.1016/j.techsoc.2022.102136]
- Greijdanus, H., de Matos Fernandes, C. A., Turner-Zwinkels, F., Honari, A., Roos, C. A., & Rosenbusch, H., et al. (2020). The psychology of online activism and social movements: Relations between online and offline collective action. *Current Opinion in Psychology*, 35, 49-54. [DOI:10.1016/j.copsyc.2020.03.003] [PMID]
- Hedy, G., de Matos Fernandes, C. A., Turner-Zwinkels, F., Honari, A., Roos, C. A., & Rosenbusch, H., et al. (2020). The psychology of online activism and social movements: Relations between online and offline collective action. *Current Opinion in Psychology*, 35, 49-54.** [DOI:10.1016/j.copsyc.2020.03.003]
- Jafari Motlagh, A. (2021). [Content Policy Making of Personality Activism in Media Productions Based on the Life of Imam Ali (Persian)] [MA thesis]. Tehran: IRIB University.
- Jarihi, Sh., Zarei Matin, H., & Mohammadian, B. (2024). [Providing a framework for a resilient university: Lesson Learned from non-profit universities (Persian)]. *Journal of Iranian Public Administration Studies*, 6(4), 111-148. [Link]
- Khojasteh Bagherzadeh, H. (2020). [The main media policies during crisis of resulted natural disaster (Persian)]. *Interdisciplinary Studies in Media and Culture*, 10(1), 43-78. [DOI:10.30465/ismc.2020.5236]
- Matias, A., & Cardoso, L. (2023). Crisis communication: Theoretical perspectives and dynamics of a complex concept. *VISUAL REVIEW. International Visual Culture Review / Revista Internacional De Cultura Visual*, 14(1), 1-15. [DOI:10.37467/revvisual.v10.4597]
- Mohamadpoor, A. (2021). [Method within Method on the Construction of Knowledge in the Humanities (Persian)]. Tehran: Sociologists Publications. [Link]
- Montazerghaem, M., & Mohammadi Nosodi, S. (2022). [The application of smartphones and social media in crisis conditions: Global experiences and some lessons for Iran (Persian)]. *Sociological Review*, 28(2), 185-209. [DOI:10.22059/jsr.2022.88945]
- Monzeli, A. (2022). [The study impact of virtual social media on shaping social crisis and vice versa using analytical hierarchy process (Persian)]. *National Security*, 12(44), 237-266. [Link]
- Palen, L., & Anderson, K. M. (2016). Social Media Research. Crisis informatics—New data for extraordinary times. *Science (New York, N.Y.)*, 353(6296), 224-225. [DOI:10.1126/science.aag2579] [PMID]
- Postman, N. (2008). *Die in the joy of living in luxury* [S. Tabatabai, Persian trans.]. Tehran: Etealaat Publication. [Link]
- Rahmani, A., Vaziri Nezhad, R., Ahmadi Nia, H., & Rezaeian, M. (2020). [Methodological Principles and Applications of the Delphi Method: A narrative review (Persian)]. *Journal of Rafsanjan University of Medical Sciences*, 19 (5), 515-538. [DOI:10.29252/jrms.19.5.515]
- Reuter, C., Hughes, A. L., & Kaufhold, M. A. (2018). Social media in crisis management: An evaluation and analysis of crisis informatics research. *International Journal of Human-Computer Interaction*, 34(4), 280-294. [DOI:10.1080/10447318.2018.1427832]
- Sabori, M. (2017). [Crisis and crisis management (Persian)]. Tehran: Farhang-e-Sabz. [Link]
- Salavatian, S., & Roshandel, T. (2011). [Crisis media management: A proactive approach (Persian)]. *Communication Research*, 18(2), 149-176. [Link]
- Salavatian, S., Khajehian, D., Ghanbari, S., Soltani, T., Falahati, F., & Jafari, M., et al. (2022). [National crisis media management document (Persian)]. Tehran: Natural Disasters Research Institute (NDRI). [Link]
- Save Dorodi, M., Khalili, E., & Maleki, A. (2013). [Political crises and political development in Iran (Persian)]. *Journal of Security Research*, 43, 35-59. [Link]
- Shahi, S. (2018). [Examining the role of the White Wednesdays campaign on women's activism on social media (Persian)] [MA thesis]. Tehran: Soore University.
- Velasquez, A., & LaRose, R. (2015). Social media for social change: Social media political efficacy and activism in student activist groups. *Journal of Broadcasting & Electronic Media*, 59(3), 456-474. [DOI:10.1080/08838151.2015.1054998]



## Research Paper

# A Collaborative Model of Humanitarian Assistance for Maximum Coverage of Areas Affected by Natural Disasters

Golnush Jahromi Rajabi<sup>1</sup> ,\*Razieh KeshavarzFard<sup>1</sup>

1. Department of Industrial Engineering, Faculty of Engineering, North Tehran Branch, Islamic Azad University, Tehran, Iran.



**Citation** Jahromi Rajabi, G., & KeshavarzFard, R. (2025). [A Collaborative Model of Humanitarian Assistance for Maximum Coverage of Areas Affected by Natural Disasters (Persian)]. *Disaster Prevention and Management Knowledge*, 15(2):182-201. <https://doi.org/10.32598/DMKP.15.2.895.1>



<https://doi.org/10.32598/DMKP.15.2.895.1>

## ABSTRACT

**Background and objective** Natural and human-made disasters have long-term, negative, and sometimes irreparable impacts and consequences. Proper response to these disasters requires effective management of relief services. Influential parties in such operations include humanitarian organizations, donors, and the government. One of the solutions to increase performance in emergency and humanitarian supply chains is to utilize the capacities of non-governmental organizations (NGOs). This study aims to present a collaborative model based on game theory that examines the cooperation between donors, humanitarian organizations, the government, and NGOs.

**Method** The collaborative model is designed based on the problem of maximum coverage of damaged areas caused by a natural disaster. By considering the number and diversity of players, it takes into account the extent of the disaster and the number of affected areas in relief assistance. It also considers the quality of relief services and the competence of NGOs. This can allow for a default order to prioritize qualified NGOs with the required capacities in the event of a disaster. The developed model was solved using a hypothetical numerical example and GAMS software, and underwent a sensitivity analysis.

**Results** The results obtained from the model provide valuable insights into the optimal actions of each player in the humanitarian supply chain during a disaster. This model takes into account the capacities and capabilities of each player, as well as the quality of services provided by the private sector, allowing for more efficient allocation of resources and ensuring maximum coverage of affected areas. The model also considers qualitative assessments conducted in the pre-disaster period and allows for prioritization of qualified NGOs during a disaster. This can significantly improve the effectiveness of disaster management efforts.

**Conclusion** The collaborative model is designed based on the problem of maximum coverage of damaged areas caused by a natural disaster. By considering the number and diversity of players, it takes into account the extent of the disaster and the number of affected areas in relief assistance. This can significantly improve the effectiveness of disaster management efforts. It also considers the quality of relief services and the competence of NGOs.

**Keywords** Humanitarian supply chain, Game theory, Humanitarian organizations, Crisis, Natural disasters

### Article Info:

Received: 28 Sep 2024

Accepted: 05 Apr 2025

Available Online: 01 Jul 2025

\* Corresponding Author:

Razieh KeshavarzFard, Assistant Professor.

Address: Department of Industrial Engineering, Faculty of Engineering, North Tehran Branch, Islamic Azad University, Tehran, Iran.

Tel: +98 (912) 5075303

E-mail: [r.keshavarz.fard@iau-tnb.ac.ir](mailto:r.keshavarz.fard@iau-tnb.ac.ir)



Copyright © 2025 The Author(s).

This is an open access article distributed under the terms of the Creative Commons Attribution License (CC-BY-NC: <https://creativecommons.org/licenses/by-nd/4.0/legalcode.en>), which permits use, distribution, and reproduction in any medium, provided the original work is properly cited and is not used for commercial purposes.



## Extended Abstract

### Introduction

Natural and human-made disasters have long-term, negative, and sometimes irreparable impacts and consequences. Proper response to these disasters requires effective management of relief services. One way to achieve this goal is to ensure an optimal humanitarian supply chain. One of the determining factors in the quality and optimal performance of a humanitarian supply chain is the effective and timely cooperation and action of the parties involved in this chain. Influential parties in such operations include humanitarian organizations, donors, and the government. Governments help disaster victims either by providing goods directly, or by entrusting various types of aid, both in goods and financial, to humanitarian organizations. On the other hand, humanitarian organizations, due to their scope of activity, are the recipients of donors' assistance and should earn and maintain the trust of these supporters by proper and effective performance. In order to build and maintain this trust, efforts to prepare and plan for potential disasters become increasingly important. One of the solutions to increase performance in emergency and humanitarian supply chains is to utilize the capacities of non-governmental organizations (NGOs). One of the fundamental research gaps is the existence of a model that considers the simultaneous cooperation of donors, humanitarian organizations, the government, and the private sector. Therefore, this study aims to present a collaborative model based on game theory that examines the cooperation between donors, humanitarian organizations, the government, and NGOs.

### Methods

The collaborative model is designed based on the problem of maximum coverage of damaged areas caused by a natural disaster. By considering the number and diversity of players, it takes into account the extent of the disaster and the number of affected areas in relief assistance. It also considers the quality of relief services and the competence of NGOs. This can allow for a default order to prioritize qualified NGOs with the required capacities in the event of a disaster. The developed model was solved using a hypothetical numerical example and GAMS software, version 24.1.2 and underwent a sensitivity analysis.

### Results

The results obtained from the model provide valuable insights into the optimal actions of each player in the humanitarian supply chain during a disaster. This model

takes into account the capacities and capabilities of each player, as well as the quality of services provided by the private sector, allowing for more efficient allocation of resources and ensuring maximum coverage of affected areas. The model also considers qualitative assessments conducted in the pre-disaster period and allows for prioritization of qualified NGOs during a disaster. This can significantly improve the effectiveness of disaster management efforts.

### Conclusion

The results of this research show that the collaboration of parties involved in humanitarian supply chain can speed up and facilitate coverage of damaged areas during disasters. Involving players with different capacities leads to the utilization of existing capacities and facilitating assistance from the private sector. This research can be used as a basis for improving disaster management processes and increasing the efficiency of relief efforts in critical situations. To increase preparedness to deal with a disaster, it is recommended that an advertisement inviting interested NGOs be published to declare their readiness to assist in the event of a disaster in exchange for benefits such as tax exemptions from the government. International aid organizations, due to having the required capacities, can conduct a technical assessment of the volunteer NGOs and prepare a list of them. It is important to note that international organizations have a list of service/product vendors that they have worked with over time. Therefore, if private companies are on this list, they can be added to the list of candidates based on their previous performance evaluations. Companies that have a transportation and storage unit and are willing to provide assistance in the event of a disaster can also announce their readiness and participate in technical assessments. Then, their status and capacity should be updated periodically, for example annually, to take into account issues such as unit growth or the end of the company's activities. Despite the difficulties and time-consuming nature of this process, based on the results of this research, it is worth the investment of time and money.

### Ethical Considerations

#### Compliance with ethical guidelines

All ethical principles were considered in this study. Since there was no experiment on human or animal samples, the need for an ethical code was waived.



### Funding

This paper was extracted from the master's thesis of Golnush Jahromi Rajabi at Islamic Azad University, North Tehran Branch. This research did not receive any specific grant from funding agencies in the public, commercial, or not-for-profit sectors.

### Authors' contributions

Validation, formal analysis, investigation, resources, data collection: Golnush Jahromi Rajabi; conceptualization and methodology: Razieh Keshavarzfar and Golnush Jahromi Rajabi; writing the original draft, review & editing, and supervision: Razieh Keshavarzfar.

### Conflicts of interest

The authors declared no conflict of interest.



## مقاله پژوهشی

ارائه الگوی همکارانه کمکرسانی در مدیریت بحران به منظور حداقل‌سازی ارائه پوشش  
بشردوستانه به مناطق آسیب‌دیده از مخاطرات طبیعیگلنوش جهرمی رجبی<sup>۱</sup>, راضیه کشاورز فرد<sup>۱</sup>

۱. گروه مهندسی صنایع، دانشکده مهندسی، واحد تهران شمال، دانشگاه آزاد اسلامی، تهران، ایران



**Citation:** Jahromi Rajabi, G., & KeshavarzFard, R. (2025). [A Collaborative Model of Humanitarian Assistance for Maximum Coverage of Areas Affected by Natural Disasters (Persian)]. *Disaster Prevention and Management Knowledge*, 15(2):182-201. <https://doi.org/10.32598/DMKP.15.2.895.1>

<https://doi.org/10.32598/DMKP.15.2.895.1>

## حکایه

**تعریف و هدف** مخاطرات طبیعی و انسانی، در صورت وقوع، تأثیرات و پیامدهای بلندمدت و منفی و گاهی غیرقابل جبران، به همراه دارند. در سطح جهانی و بهویژه در ایران، پاسخ به چنین مخاطراتی نیازمند مدیریت مؤثر و کارآمد در ارائه کمکرسانی مناسب است. از بازیکنان تأثیرگذار در چنین عملیات‌هایی سازمان‌های بشردوستانه و کمکرسان، اهداف‌گذگان آنان و دولت هستند. دولتها یا بازارکه کالا بهصورت مستقیم و با ازطريق سپردن نوع مختار کمک اعم از کالا و مالی به سازمان‌های بشردوستانه، به آسیب‌دیدگان قایمه کمک می‌کنند. یکی از راهکارهای بالا بردن عملکرد و سرعت و بهبود مدیریت در زنجیره تأمین‌های اضطراری و بشردوستانه، بهره‌گیری از ظرفیت‌های سازمان‌های مریوط به پخش خصوصی است.

**هدف:** یکی از خلاصهای اساسی در فضای تحقیقاتی، وجود مدلی است که همکاری همیزمان اهداف‌گذگان، سازمان‌های بشردوستانه و دولت را در کنار پخش خصوصی در نظر گرفته باشد. در همین راستا با هدف اطمینان حاصل کردن از ارائه پوشش حداقل‌سازی به نقاط آسیب‌دیده، مدلی ارائه می‌شود که با توجه به تعداد و نوع بازیکنان، کمکرسانی بر ابعاد فاجعه و تعداد نقاط آسیب‌دیده را در نظر می‌گیرد. همچنین با توجه به اینکه سازمان‌های پخش خصوصی هر کدام دارای ظرفیت‌ها (برای مثال فضای انبار و تعداد کالا‌ای کمک)، سرعت عمل و کیفیت عملکردی متفاوتی هستند، در صورت تمايل به استفاده از کمک آنان در زمان قایمه، می‌توان با انجام بروزرسانی‌های کیفیتی در دوران پیش‌افاجعه، سازمان‌های خصوصی وارد شرایط را در یک فهرست اضطراری لیست و براساس ظرفیت‌های لجستیکی طبقه‌بندی کرد. مدل موجود در این تحقیق، کیفیت خدمات و شایستگی سازمان‌های خصوصی را مد نظر قرار می‌دهد. این پخش این امکان را خواهد داد که در هنگام وقوع فاجعه، ترتیب پیش‌فرضی برای اولویت دادن به سازمان‌های خصوصی وارد شرایط دلایل ظرفیت‌های موردنیاز وجود داشته باشد.

**یافته‌ها** در پژوهش حاضر، مدلی همکارانه ارائه می‌شود که براساس مسئله پوشش حداقل‌سازی آسیب‌دیده ناشی از یک فاجعه طبیعی طراحی شده است. بازیکنان اصلی این مدل شامل دولت، پخش خصوصی، سازمان‌های بشردوستانه بین‌المللی و سازمان‌های مردم‌نهاد داخلی هستند. هریک از این بازیکنان دارای ظرفیت‌های متنوع، شامل مراکز توزیع متعدد و کالاهای مختلف هستند. مدل تدوین شده با استفاده از یک نمونه عددی فرضی و نرم‌افزار گمز حل شده و آنالیز حساسیت انجام شد. نتایج این تحقیق نشان می‌دهد همکاری بین بازیکنان مختلف، موجب پوشش مؤثر نقاط آسیب‌دیده شده است.

**نتیجه‌گیری:** این پژوهش با در نظر گرفتن هزینه‌های تأمین کالاهای کمکی و جایگاهی آنها بین نقاط مختلف، امکان پیش‌بینی بودجه بهینه برای کل عملیات کمکرسانی فراهم آمده است. این پژوهش می‌تواند به عنوان مبنایی برای بهبود فرایندهای مدیریت بلاای و افزایش کارایی کمکرسانی در شرایط بحرانی مورد استفاده قرار گیرد.

**کلیدواژه‌ها:** زنجیره تأمین بشردوستانه، نظریه بازی، سازمان‌های کمکرسانی، بحران، مخاطرات طبیعی

اطلاعات تألیف

تاریخ دریافت: ۷ اکبر ۱۴۰۳

تاریخ پذیرش: ۱۶ فروردین ۱۴۰۴

تاریخ انتشار: ۱ تیر ۱۴۰۴

\* نویسنده مسئول:

راضیه کشاورز فرد

نشانی: تهران، دانشگاه آزاد اسلامی، واحد تهران شمال، دانشکده مهندسی، گروه مهندسی صنایع.

تلفن: +۹۸ ۰۵۰-۷۵۳-۰۳

پست الکترونیکی: r.keshavarzfard@iau-tnb.ac.ir

## پیشینه پژوهش

## مقدمه

برای بررسی ارتباط و انگیزه بازیکنان مذکور، در طول سال‌های گذشته پژوهش‌های متعددی با تکیه بر مدل‌های نظریه بازی ارائه شده‌اند (ماگی و همکاران، ۲۰۱۴؛ آنداشو، ۲۰۱۰). یک مدل رقابتی که بر جمع‌آوری کمک مالی بین سازمان‌های غیردولتی<sup>۱</sup> تمرکز دارد ارائه شد. سازمان‌های غیردولتی عموماً زمان خود را به کل‌روی پژوهش‌ها و همچنین جمع‌آوری کمک‌های مالی اختصاص می‌دهند که کمک‌های مالی خصوصی را جذب می‌کنند. براساس این مدل، اگر اندازه بازار ثابت باشد، سطوح جذب سرمایه با تعداد سازمان‌های غیردولتی افزایش می‌یابد و بسته به کارگی فناوری جمع‌آوری سرمایه، عدد تعادل و مرد آزاد سازمان‌های غیردولتی می‌تواند بزرگ‌تر یا کوچک‌تر از تعداد بهینه از نظر اجتماعی باشد.

**زانگ و همکاران (۲۰۱۴)** با استفاده از نظریه بازی، به بررسی اثر افشاری اطلاعات به جلب سرمایه از اهداکنندگان پرداختند. در این تحقیق، یک مدل براساس نظریه بازی جهت تحلیل تعاملات افشاری-«اهدا» ارائه شد.

**کلز و زوانگ (۲۰۱۱)** تصمیم‌گیری و همکاری در طی عملیات‌های کمکرسانی را با استفاده از مقاهمین نظریه بازی بررسی کردند. با استفاده از تئوری بازی، یک رویکرد اولیه برای توسعه یک چارچوب پشتیبانی تصمیم برای مدیران اضطراری که وارد یک محیط فاجعه می‌شوند، ارائه شد و رویکردی برای حمایت و راهنمایی تصمیم‌گیرنده‌گان در محیط‌های اضطراری درمورد چگونگی انتخاب و توسعه روابط برای بهبود استفاده از منابع و نتایج پژوهه در بی‌یک فاجعه پیشنهاد شد.

**دی و همکاران (۲۰۱۲)** به بررسی اهمیت و ویژگی‌های زنجیره تأمین کمکرسانی و امور بشردوستانه پرداختند. در این تحقیق فعالیت‌های مانند تعیین تقاضا، هماهنگی زنجیره تأمین، تشخیص زمان حرکت در طول چرخه حیات و باسازی پس از فاجعه را توصیف شد که چالش‌های زنجیره تأمین را از چالش‌های لجستیک متمایز می‌کنند.

**شولتز و بلکن (۲۰۱۰)** استفاده از ظرفیت‌های بخش خصوص در زمان بحران و پس از وقوع فاجعه را مورد توجه قرار دادند. همکاری بخش اضطراری<sup>۲</sup>، حاکی از همکاری کوتاه‌مدت بین بخش خصوصی و دولتی است و تنها برای رسیدگی به عواقب فاجعه اتفاق می‌افتد. در حالی‌که همکاری بخش دولتی و خصوصی<sup>۳</sup>، یک همکاری بلندمدت و در طول زمان است.

هدف از انجام این پژوهش<sup>۴</sup>، ارائه مدلی براساس نظریه بازی است که همکاری اهداکنندگان، سازمان‌های بشردوستانه، دولت و سازمان‌های بخش خصوصی را بررسی کند. این مدل به‌منظور اطمینان حاصل کردن از ارائه پوشش حداکثری به نقاط آسیب‌دیده طراحی شده است و به تنوع بازیکنان و ابعاد فاجعه توجه دارد.

در این پژوهش، اصطلاحات کلیدی، شامل «زنجره تأمین بشردوستانه»، «نظریه بازی»، «همکاری» و «مدیریت بحران» به کار رفته است. زنجیره تأمین بشردوستانه به شبکه‌ای از سازمان‌ها اشاره دارد که در زمان وقوع فجایع برای ارائه کمک‌های انسانی همکاری می‌کنند. نظریه بازی به تحلیل تعاملات استراتژیک بین این سازمان‌ها کمک می‌کند.

فجایع و مخاطرات طبیعی و انسانی در صورت وقوع، اثرات و تبعات بلندمدت و منفی و گاه جبران‌ناپذیری دارند. در سراسر دنیا و همچنین در ایران، پاسخ به چنین اتفاقاتی نیازمند داشتن مدیریت مؤثر در فراهم کردن کمکرسانی درست است. پس از وقوع فجایع با ابعاد بسیار گسترده در دنیا، مانند طوفان کاترینا در ۲۰۰۵ و زلزله هائیتی در سال ۲۰۱۰ توجه بسیاری از محققان به توسعه مدل‌های نظریه بازی جهت بررسی مدیریت هرچه بهتر چنین عملیات‌هایی جلب شد و نیاز به توسعه مفهوم زنجیره تأمین بشردوستانه اجتناب‌ناپذیر شد. از عوامل تعیین‌کننده در کیفیت و عملکرد بهینه زنجیره تأمین بشردوستانه، همکاری و اقدام مؤثر و بهموقع طرفین درگیر در این زنجیره است. از بازیکنان تأثیرگذار در چنین عملیات‌هایی، سازمان‌های بشردوستانه و کمکرسان، اهداکنندگان آنان و دولت هستند. دولتها یا با ارائه کالا به صورت مستقیم و یا از طریق سهولت ا نوع مختلف کمک اعم از کالا و مالی به سازمان‌های بشردوستانه، به آسیب‌دیدگان فاجعه کمک می‌کنند (فتتحعلیخانی و همکاران، ۲۰۱۸).

از طرف دیگر، سازمان‌های بشردوستانه بنا بر حیطه فعالیت خود، محل دریافت کمک‌های اهداکنندگان هستند و بایستی با عملکرد درست و مؤثر، اعتماد این حامیان را جلب کرده و نگه دارند. در جهت تلاش برای این اعتمادسازی و نگهداری آن، تلاش برای آمادگی و برنامه‌ریزی برای زمان وقوع فجایع احتمالی بیشتر حائز اهمیت می‌شود. یکی از راهکارهای بالا بردن عملکرد و سرعت و بهبود مدیریت در زنجیره تأمین‌های اضطراری و بشردوستانه، بهره‌گیری از ظرفیت‌های سازمان‌هایی مربوط به بخش خصوصی است (جن و همکاران، ۲۰۱۳). با در نظر گرفتن تعدد ذی‌نفعان معرفی شده و انگیزه‌های گوناگون و اهداف آنان، دور از ذهن نیست که مسئله بررسی ارتباطات و انگیزه‌های همه طرفین در کنار هم مطرح شود تا از وجود امکان و آمادگی لازم برای همکاری تعلیمی ذی‌نفعان برای نیل به هدف مشترک که کمکرسانی و فراهم کردن حداکثری کمک به آسیب‌دیدگان هر فاجعه است اطمینان حاصل شود.

1. Non-Governmental Organizations (NGOs)

2. Disclosure

3. Donation

4. Public Private Emergency Collaboration (PPEC)

5. Public Private Partnership (PPP)



زنگیره تأمین بشردوستانه پرداختند و مدلی براساس نظریه بازی در این مورد ارائه دادند.

**ونکمولر و رینر (۲۰۲۰)**، تحقیقات انجامشده در سال‌های اخیر را با تمرکز بر هماهنگی<sup>۱</sup>، همکاری<sup>۲</sup> و همکاری کوتاه‌مدت<sup>۳</sup> در زمینه مدیریت زنگیره تأمین امدادرسانی به منظور ارائه تعاریف متخصص‌به‌فرد از مفاهیم با در نظر گرفتن شرایط فاجعه بررسی کردند. در این تحقیق، مروری بر ۲۰۲ مقاله دانشگاهی منتشرشده از سال ۱۹۹۶ به بعد در مجلات برتر مرتبط با هماهنگی، همکاری و همراهی زنگیره تأمین تدارکات و امداد تجاری انجام شد. با توجه به رشد بلایا و اثرات مخرب آن‌ها در طول تاریخ، ضرورت مدیریت شایسته در زنگیره تأمین بشردوستانه پیش‌ازپیش احساس می‌شود. همکاری بخش‌های دولتی و خصوصی در موقفیت کمکرسانی نقش مهمی دارد. دولت با استفاده از ستاریوهای مختلف می‌تواند بر روی مزایای عضویت در این شرکت‌ها تأثیر بگذارد. در مورد زنگیره تأمین محصول، دولت می‌تواند با مداخله مناسب، به دستیابی به اهداف اجتماعی، مالی و زیستمحیطی کمک کند (**فتحعلیخانی و همکاران، ۲۰۲۰**).

**حسینی مطلق و همکاران (۲۰۲۲)** به‌طور خاص، یک مدل مبتنی بر نظریه بازی تکاملی، تحت عنوان «مکانیسم توزیع مازاد سود برای هماهنگی زنگیره تأمین»<sup>۴</sup> را پیشنهاد کردند تا بررسی کنند چگونه رفتارهای بلندمدت اعضای زنگیره تأمین بر تصمیم‌گیری اعضاء برای هماهنگی و سهم آن‌ها از مازاد سود هماهنگی، تأثیر می‌گذارد.

**لرگون و همکاران (۲۰۲۳)** یک مدل نظریه بازی برای برنامه‌ریزی لجستیک اضطراری ارائه دادند. برای انجام این کار، یک مدل بازی مشارکتی براساس یک مسئله که پس از زلزله در استانبول رخ داده است، ساخته شد و راه حل‌ها برای پیشنهاد سازی تعداد کالاهای کمکرسانی ارائه شده است. **اریکان و همکاران (۲۰۲۳)** مدلی ۲ مرحله‌ای براساس اطلاعات فروشندۀ را در چارچوب یک بازی رهبر - پیرو بین یک سازمان بشردوستانه به عنوان رهبر و اهداف‌گذاران (پیرو) برای توصیف تعاملات آن‌ها ارائه دادند. در این مدل، سازمان بشردوستانه در مورد سطح پیش‌فرض برای آمادگی در برابر بلایا تصمیم‌گیری می‌کند. عدم قطعیت نیز در حین جمع‌آوری کمک‌های مالی در مرحله واکنش به بلایا تعیین می‌شود.

**لی و همکاران (۲۰۲۴)** یک مدل بهینه‌سازی ۲ سطحی برای تخصیص منابع در واکنش به بلایا، با تمرکز بر رابطه بین پرسنل و مواد ارائه کردند. این مدل از یک سطح بالایی تشکیل

دیلمان و همکاران (۲۰۲۱) با استفاده از نظریه بازی به‌طور رسمی اثرات و وابستگی‌های تصمیم‌گیرندگان استراتژیک را توصیف کردند. این نظریه می‌تواند در تحلیل همکاری‌های بخش اضطراری به کار گرفته شود. همکاری‌های بخش اضطراری، دارای پتانسیل‌ها و محدودیت‌های خود هستند. به عنوان مثال، **ناگورنی و همکاران (۲۰۱۶)** در بررسی رقابت میان سازمان‌های بشردوستانه، از مدل تئوری بازی استفاده کردند. این مدل نشان می‌دهد سازمان‌های بشردوستانه در حال رقابت هستند و هم‌زمان برای بهاشتراک‌گذاری منابع و کاهش هزینه همکاری می‌کنند.

**(هولگین وراس و همکاران ۲۰۱۳)** بیان کردند اصول اقتصادی رفاه باید در مدل‌های لجستیک بشردوستانه پس از فاجعه گنجانده شود تا به حصول استراتژی‌های تحويلی بایشترین منفعت برای بیشترین تعداد مردم منجر شود. تحلیل‌های مقاوم استفاده از هزینه‌های اجتماعی (مجموع هزینه‌های لجستیک و محرومیت) را به عنوان تابع هدف ترجیحی برای مدل‌های لجستیک بشردوستانه پس از فاجعه پیشنهاد می‌کند.

**عبدی و همکاران (۲۰۱۴)** به خلاهای موجود در ارزیابی عملکرد در زنگیره تأمین بشردوستانه در مقابل تحریه‌های برگرفته از زنگیره تأمین تجاری پرداختند. در این مطالعه، دستورالعمل و راهنمایی برای چگونگی ارزیابی عملکرد در این فضا ارائه شده است که شامل معیارهای مربوط به ورودی و خروجی‌ها بود. طراحی زنگیره تأمین کمکرسانی و اهمیت و چگونگی بررسی عملکرد آن توسط هنگ و همکاران (۲۰۱۵)

مورد بررسی قرار گرفت که در آن چارچوبی برای طراحی این زنگیره با در نظر گرفتن هزینه کلی لجستیک، سطح ریسک و میزان تقاضا پیشنهاد شده و رابطه بین این سه معیار عملکرد بررسی شد. **حبیب و همکاران (۲۰۱۶)** چالش عدم قطعیت در زمان، مکان و شدت فاجعه و شرایط بد زیرساخت‌های موجود را در مدیریت زنگیره تأمین بشردوستانه مورد مطالعه قرار دادند. در این مقاله، به جمع‌بندی و مرور مدل‌های ریاضی که در طی دهه پیش از زمان انتشار پژوهش ارائه شده بود پرداخته شد و ظرفیت‌های تحقیقاتی برای آینده شناسایی و توضیح داده شد.

**وین و همکاران (۲۰۱۸)** نقش و ظرفیت‌های همکاری اضطراری بین بخش عمومی و خصوصی در هنگام وقوع مخاطرات طبیعی را بررسی کردند. براساس این مدل ارائه شده، شناس بهبود عملیات مدیریت بحران با بهاشتراک‌گذاری اطلاعات و تخصیص هماهنگ منابع و ظرفیت‌ها برای هر دو مرحله تشديد و کاهش تشديد یک فاجعه مشخص می‌شود. **لی و همکاران (۲۰۱۸)** به بررسی و مطالعه ساختار کلی در لجستیک زنگیره امداد بشردوستانه پرداختند و یک مدل پوشش همکاری پیشنهاد با ملاحظات بودجه برای به حداقل رساندن منافع برای جمیعت آسیب‌دیده در مناطق فاجعه‌بار ارائه دادند. **فتحعلیخانی و همکاران (۲۰۲۰)** به بررسی تأثیر دخالت دولت در رویکردهای همکاری و رقابت در

#### 6. Coordination

#### 7. Cooperation

#### 8. Collaboration

#### 9. Profit surplus distribution (PSD) mechanism for supply chain coordination



فضای تحقیقاتی، وجود مدلی است که همکاری همزمان دولت، سازمان‌های بشردوستانه بین‌المللی و داخلی را در کنار بخش خصوصی در نظر گرفته باشد. درنتیجه هدف از انجام این پژوهش، ارائه مدلی براساس نظریه بازی است که همکاری اهداکنندگان، سازمان‌های بشردوستانه، دولت و سازمان‌های بخش خصوصی را بررسی کند. در همین راستا و با هدف اطمینان حاصل کردن از ارائه پوشش حداکثری به نقاط آسیب‌دیده، مدلی ارائه می‌شود که با توجه به تعداد و تنوع بازیکنان، کمکرسانی با توجه به ابعاد فاجعه و تعداد نقاط آسیب‌زده را بهینه می‌کند. همچنین با توجه به اینکه سازمان‌های بخش خصوصی هرکدام دارای ظرفیت‌ها (برای مثال فضای انبار و تعداد کالای کمکی)، سرعت عمل و کیفیت عملکردی متفاوتی هستند، در صورت تمایل به استفاده از کمک آنان در زمان فاجعه، می‌توان با انجام بررسی‌های کیفیتی در دوران پیشافاجعه، سازمان‌های خصوصی واجد شرایط را در یک فهرست اضطراری لیست و براساس ظرفیت‌های لجستیکی طبقه‌بندی کرد. مدل موجود در این تحقیق، کیفیت خدمات و شایستگی سازمان‌های خصوصی را مد نظر قرار می‌دهد. این بخش این امکان را خواهد داد که در هنگام وقوع فاجعه، ترتیب پیش‌فرضی برای اولویت دادن به سازمان‌های خصوصی واجد شرایط دارای ظرفیت‌های موردنیاز وجود داشته باشد.

### روشن

در این قسمت یک مدل همکارانه زنجیره تأمین بشردوستانه ارائه می‌شود که به دنبال حداکثرسازی پوشش به نقاط آسیب‌دیده از ازطريق توزیع مناسب کالاهای ۴ بازیکن اصلی و استفاده از ظرفیت کلی هرکدام است. زنجیره‌های تأمین بشردوستانه نوعی از زنجیره‌های تأمین هستند که هدف آن‌ها حداکثر کردن خدمت‌رسانی است؛ یعنی به مثابه زنجیره‌های تأمین کلاسیک هدف، زنجیره‌های تأمین بشردوستانه صراف‌صرفه جویی اقتصادی و حداکثرسازی سود نیستند. در این نوع زنجیره‌های تأمین، افراد آسیب‌دیده‌ای از مخاطرات طبیعی یا هر بحران دیگر وجود دارند که می‌باشد بموضع به آن‌ها می‌تواند منجر به آسیب‌دیدگی‌های جدی‌تر یا حتی فوت آن‌ها شود. بنابراین یک زنجیره تأمین بشردوستانه باید به گونه‌ای طراحی شود که حتی اگر به دنبال حداکثر کالاهای امدادی به حداکثر آسیب‌دیدگان به عنوان هدف تحويل کالاهای امدادی به حداکثر خدمت‌رسانی در شرایط بحران دیگر در نظر گرفته شود. عموماً خدمت‌رسانی در شرایط بحران صرفاً از عهده یک نهاد خارج است و در کنار نهادهای دولتی که وظیفه اصلی و طبیعی مدیریت بحران و خدمت‌رسانی را بر عهده دارند سازمان‌های بشردوستانه نیز وجود دارند که امکان خدمت‌رسانی دارند. سازمان‌های خیریه مردم‌نهاد که در نقاط مختلف و با حمایت مردم فعالیت دارند، دارای ظرفیت برای همکاری در کمکرسانی هستند.

شده است که زمان نجات را از طریق برنامه‌ریزی حمل و نقل از شهرهای کمک‌کننده به مناطق آسیب‌دیده به حداقل می‌رساند و یک سطح پایین‌تر که هزینه‌های تخصیص منابع اضطراری از شهرهای کمک‌کننده به مرکز توزیع را به حداقل می‌رساند. هدف این مدل افزایش بازیابی پس از فاجعه، بهبود پایداری زنجیره تأمین و کاهش اثرات زیست‌محیطی است.

**کاتسالیاکی و همکاران (۲۰۲۴)** تحقیقی شامل، مرور ادبیات سیستماتیک از ۱۵۶ مقاله منتشر شده از سال ۱۹۹۷ الی ۲۰۲۲ در زنجیره تأمین رقابتی - همکاری<sup>۱</sup> انجام دادند، که در آن تئوری رقابت و روابط سازمانی را درون بنگاهها و بین آن‌ها بررسی کردند. زنجیره‌های تأمین متمرکز بر همکاری بین تولیدکنندگان رقیب برای استفاده از قابلیت‌ها و عملکردهای زنجیره تأمین است. این تحقیق براساس مفهوم هماهنگی و نقش مدل مرجع عملیات زنجیره تأمین<sup>۱</sup> تدوین شده است.

**کسکن و همکاران (۲۰۲۴)** از مدل‌های کمی مبتنی بر اطلاعات فروش برای بهینه‌سازی تصمیمات موجودی<sup>۱۲</sup> پیش از فاجعه تحت مکانیسم‌های همکاری متمرکز و غیرمتمرکز استفاده کردند. این مطالعه سطوح موجودی بینه و تعادل نش را در هر دو سیستم شناسایی می‌کند و یک برنامه تصادفی ۲ مرحله‌ای را با در نظر گرفتن عوامل قابلیت اطمینان تصادفی فرموله می‌کند. این مقاله با بینش‌های مدیریتی به پایان می‌رسد و تأکید می‌کند همکاری متمرکز زمانی ارجحیت دارد که تقاضا زیاد باشد.

**راموس و همکاران (۲۰۲۴)** یک مدل تئوری بازی برای طراحی مبادرات منابع در پارک‌های اکو صنعتی ارائه دادند که براساس آن هریک از مقامات یک پارک صنعتی را به عنوان یک بازیکن مستقل در نظر گرفت و بنابراین یک مدل بازی چند رهبر - چند پیرو<sup>۱۳</sup> ایجاد شد. شبکه‌های آب و انرژی به طور همزمان در مدل ۲ از طریق یک مطالعه موردي شناخته شده ایجاد می‌شوند. مدل ۲ سطحی نیز با در نظر گرفتن مدیران آب و انرژی به عنوان رهبر و کارخانه‌ها به عنوان پیرو طراحی شده است. **ادسانور و همکاران (۲۰۲۳)** تحلیلی از رویکردهای تحقیقات عملیاتی<sup>۱۴</sup> ارائه دادند که براساس تصمیم‌گیری براساس C3<sup>۱۵</sup> بهبودیافتدۀ در زنجیره‌های امداد بشردوستانه بوده و خلاصه تحقیقاتی آینده را شناسایی می‌کند. برای دستیابی به این هدف، ابتدا دیدگاهی جامع از مباحث موجود در ادبیات موردنظر بیان شد و یک چارچوب مفهومی براساس مکانیسم C3 در عملیات‌های بشردوستانه استخراج شده است.

پس از بررسی جامع مرور ادبیات یکی از خلاصهای اساسی در

- 10. Supply Chain Coopetition
- 11. SCOR
- 12. Newsvendor-based quantitative models
- 13. Multi-leader multi-follower game
- 14. Operations Research
- 15. 3Cs: coordination, cooperation, and collaboration

یک لیست اضطراری<sup>۱۷</sup> براساس ساختارهای لجستیکی وجود دارد که نشان‌دهنده اولویت بازیکنان بخش خصوصی است و ضرایب صلاحیت هر بازیکن مشخص است.

هر بازیکن از نظر منابع، ظرفیت‌های متفاوتی دارد و منابع انواع کمک‌ها، مانند پتو، بسته‌های بهداشتی، چادر و غیره را شامل می‌شود.

سازمان‌های کمکرسانی بین‌المللی تنها در صورتی در عملیات کمکرسانی وارد می‌شوند که دولت به صورت واضح از آنان درخواست کند. در این مسئله شدت و ابعاد فاجعه به حدی است که دولت، کمک سازمان‌های بین‌المللی را درخواست کرده باشد که این شرط قانونی برای اقدام این سازمان‌هاست.

فاجعه اتفاق افتاده از نوع زلزله است و برخلاف فجایعی، از جمله سیل و یا طوفان، امکان پیش‌بینی مسیر آن و انجام تخلیه شهر وندان وجود نداشته است.

کمک‌های تمامی حمایت‌کنندگان مالی اعم از غیرنقدي و منابع نقدي، به سازمان‌های کمکرسانی بین‌المللی اعطای می‌شود.

اطلاعات مسئله در بازه زمانی بلندمدت، ثابت است و نوع این مسئله ایستاست.

همه تصمیم‌گیرندگان (بازیکنان) از اهداف، محدودیت‌ها و اقدامات یکدیگر آگاهی کامل دارند.

بازیکنان منطقی عمل می‌کنند تا میزان پوشش نقاط آسیب‌دیده را به حداقل برسانند.

ثبات تضمین می‌کند هیچ بازیکنی انگیزه‌ای برای جدا شدن نداشته باشد.

محدودیت‌های بودجه برای دولت تخصیص منابع را محدود می‌کند.

محدودیت‌های ظرفیت برای هر بازیکن (۱) امکان‌پذیری<sup>۱۸</sup> همکاری را تضمین می‌کند.

هدف کلی ارائه حداقل پوشش به مناطق آسیب‌دیده است. همکاری مستلزم تخصیص کارآمد منابع است.

تقاضای هر نقطه آسیب‌دیده بلافضله پس از فاجعه مشخص است و همه بازیکنان از آن مطلع هستند.

اندیس‌های مدل

#### ۱۶: نشان‌دهنده منطقه آسیب‌دیده<sup>۱۹</sup>

17. Emergency Roster

18. Feasibility

19. Disastrous Region

از طرف دیگر، سازمان‌های کمکرسانی بین‌المللی متعددی در کشور حضور دارند که دارای بودجه و ظرفیت‌های کمک بلاعوض به کشور بوده و عمدها از داشت تخصصی لازم برای همکاری مؤثر و متنقابل برخوردار هستند. از طرف دیگر این سازمان‌ها پل ارتباطی با حامیان مالی بین‌المللی بوده و امکان اخذ اقدام اضطراری برای به کارگیری بودجه موجود خود و یا افزایش آن جهت شرکت در عملیات کمکرسانی را دارند. بازیکن دیگری که ظرفیت‌های فراوانی داشته، اما کمتر در شرایط اضطراری به نظر می‌آید، بخش خصوصی است که با توجه به کالاهای در دسترس و مراکز توزیع متعدد در سراسر کشور می‌تواند نقش تسهیل کننده و تسريع کننده قابل توجهی در کمکرسانی داشته باشد. گرچه این ظرفیت‌ها توسط این بازیکنان همواره موجود بوده است، نحوه ایجاد همکاری بین این نهادها به صورت هماهنگ به اندازه کافی بررسی نشده است که متأسفانه منجر به جلوگیری از چند باره شدن کمکرسانی به یک نقطه و از طرف دیگر بی‌نصیب ماندن نقطه‌ای دیگر در عملیات کمکرسانی می‌شود.

از سوی دیگر فاصله بین نهادهای دولتی و مناطق آسیب‌دیده می‌تواند به حدی باشد که خدمت‌رسانی را به تعویق اندازد در حالی که سازمان‌های بشردوستانه به دلیل ازدیاد و همچنین هم‌جواری بیشتر با مناطق آسیب‌دیده قادر به خدمت‌رسانی سریع‌تری هستند. بنابراین در تحقیق حاضر یک مدل همکاری بین دولت و نهادهای کمکرسانی مردم‌نهاد، سازمان‌های بشردوستانه بین‌المللی و همچنین بخش خصوصی در مدیریت بحران شکل می‌گیرد. به این ترتیب همکاری بین نهادها به وجود می‌آید. براین اساس که کدام نهاد قادر به خدمت‌رسانی سریع‌تر ضمن بهره گیری بهینه از کالاهای موجود خواهد بود. در مدل حاضر، ۴ بازیکن شامل دولت، سازمان‌های بشردوستانه در مدل تحقیقاتی مرور ادبیات و مدل لی و همکاران، (۲۰۱۸) تدوین شده است. در تصویر شماره ۱ شمای کلی زنجیره تأمین موردنظر ارائه شده است.

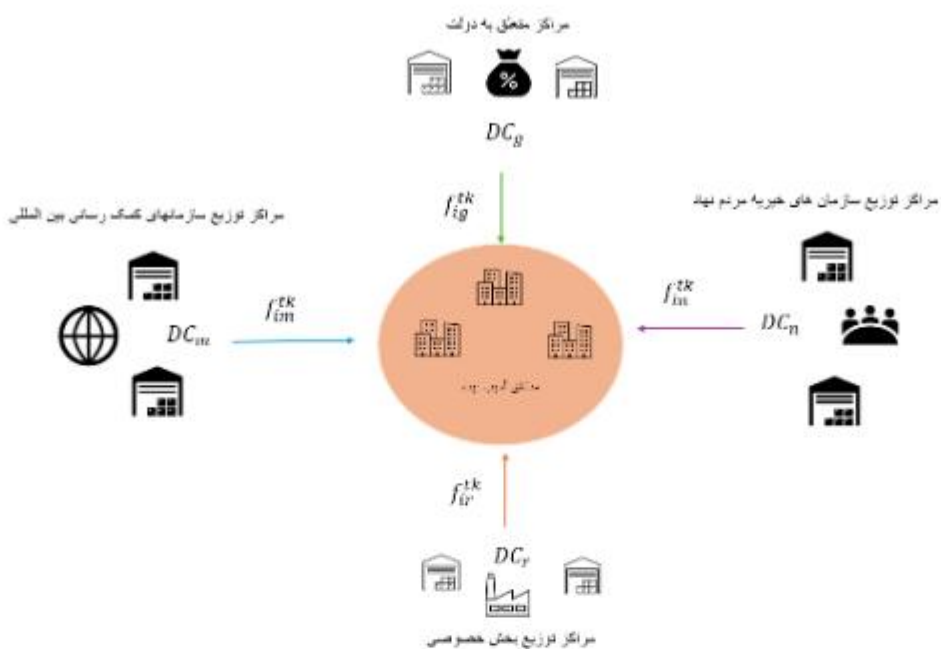
#### مفروضات مدل

مفروضات مدل پیش‌رو به شرح ذیل است:

۴ بازیکن در زنجیره تأمین وجود دارد؛ دولت، بخش خصوصی، سازمان‌های کمکرسانی بین‌المللی و سازمان‌های خیریه مردم‌نهاد.

هریک از بازیکنان بخش خصوصی بررسی‌های کیفیت قبل از فاجعه<sup>۲۰</sup> را پشت سر گذاشته‌اند.

16. Pre-Disaster Quality Checks



تصویر ۱. شماتیک تحقیق حاضر

$N = \{n_1, n_2, n_3, \dots, n_N\}$  مجموعه مراکز توزیع متعلق به مراکز خیریه مردمنهاد

$T = \{t_1, t_2, t_3, \dots, t_T\}$  مجموعه سناریوهای پارامترهای مدل

$o \in G \cup R \cup M \cup N$ : فاصله بین مرکز توزیع  $o$  و منطقه آسیب‌دیده  $A$

$\tau$ : حد پوشش<sup>۱۱</sup>

$F$ : هزینه مکان‌یابی و ایجاد مرکز توزیع  $DC$  برای دولت و یا به کارگیری مرکز توزیع متعلق به بازیکنان پیرو

$o$ : هزینه واحد جابه‌جایی کالای نوع  $k$  از مرکز توزیع  $o$  به منطقه آسیب‌دیده  $(\in G \cup R \cup M \cup N)$

$h$ : هزینه دریافت و ذخیره کالا در مراکز توزیع به ازای حجم

$v^k$ : حجم واحد کالای نوع  $k$

$D^{tk}$ : تقاضای موردنظر کالای نوع  $k$  در منطقه آسیب‌دیده  $A$  در سناریوی  $t$

$(o \in G \cup R \cup M \cup N) DC_o$ : ظرفیت مرکز توزیع  $o$

$t$ : احتمال تحقق سناریوی

$g \in G$ : نشان‌دهنده مرکز توزیع متعلق به دولت

$r \in R$ : نشان‌دهنده مرکز توزیع متعلق به بخش خصوصی

$m \in M$ : نشان‌دهنده مرکز توزیع متعلق به سازمان کمکرسانی بین‌المللی

$n \in N$ : نشان‌دهنده مرکز توزیع متعلق به مراکز خیریه مردمنهاد

$k \in K$ : نشان‌دهنده نوع کالای کمکی<sup>۱۲</sup>

$t \in T$ : نشان‌دهنده سناریوی احتمالی<sup>۱۳</sup>

مجموعه‌های مدل

$\{l_1, l_2, l_3, \dots, l_l\} = A$ : مجموعه نقاط آسیب‌دیده

$G = \{g_1, g_2, g_3, \dots, g_g\}$ : مجموعه مراکز توزیع متعلق به دولت

$R = \{r_1, r_2, r_3, \dots, r_r\}$ : مجموعه مراکز توزیع متعلق به بازیکنان بخش خصوصی

$M = \{m_1, m_2, m_3, \dots, m_M\}$ : مجموعه مراکز توزیع متعلق به سازمان کمکرسانی بین‌المللی

$K = \{k_1, k_2, k_3, \dots, k_K\}$ : مجموعه اقلام، هر یک نشان‌دهنده یک کالای متفاوت

20. Relief Item Type

21. Probability Scenario

موجودی در مراکز توزیع ایجاد شده یا به کارگیری شده می‌تواند مقدار تقاضای مناطق آسیب‌دیده را برآورده کند (فرمول‌های شماره ۲، ۳، ۴، ۵):

2.

$$\sum_{i \in I} f_{ig}^{tk} \leq Q_g^k x_g \quad \forall g \in G, k \in K, t \in T$$

3.

$$\sum_{i \in I} f_{ir}^{tk} \leq Q_r^k z_r \quad \forall r \in R, k \in K, t \in T$$

4.

$$\sum_{i \in I} f_{im}^{tk} \leq Q_m^k z_m \quad \forall m \in M, k \in K, t \in T$$

5.

$$\sum_{i \in I} f_{in}^{tk} \leq Q_n^k z_n \quad \forall n \in N, k \in K, t \in T$$

براساس محدودیت بودجه ذیل، هزینه ایجاد و استفاده از مراکز و هزینه ذخیره و ارسال اقلام امدادی از مراکز توزیع مستقر به مناطق فاجعه‌بار برای هر سناریو از بودجه پیش‌فرض بیشتر نخواهد شد (فرمول شماره ۶).

6.

$$\begin{aligned} \sum_{g \in G} x_g F_g + \sum_{r \in R} z_r F_r + \sum_{m \in M} z_m F_m + \sum_{n \in N} z_n F_n + \sum_{\text{OCCUR UN UN}} \sum_{k \in K} Q_k^k z_k \\ + \sum_{i \in I} \sum_{k \in K} \sum_{\text{OCCUR UN UN}} c_{ik}^k f_{ik}^{tk} \leq B \quad \forall t \in T \end{aligned}$$

محدودیت ذیل یک آستانه پوشش را تعیین می‌کند که براساس آن هر مرکز توزیع تنها در صورتی نقطه آسیب‌زده را پوشش می‌دهد که مجموع سیگنال ساطع شده از مراکز توزیع بازیکنان مختلف از یک آستانه معین  $\gamma$  برای مناطق آسیب‌دیده فراتر رود. همچنین ضریب صلاحیت  $\rho$  اطمینان حاصل می‌کند که امتیاز صلاحیت مراکز بخش خصوصی مدنظر قرار می‌گیرد و در ارزیابی، قدرت سیگنال آن در نظر گرفته می‌شود (فرمول شماره ۷).

7.

$$\sum_{g \in G} \frac{x_g}{d_{ig}} + \sum_{r \in R} \frac{z_r}{d_{ir}} + \sum_{m \in M} \frac{z_m}{d_{im}} + \sum_{n \in N} \frac{z_n}{d_{in}} \geq \tau y_i \quad \forall i \in I$$

$$p^k: \text{ضریب اهمیت} "کالا k" \leq p^k \leq P^k$$

B: بودجه پیش‌فرض

γ: ضریب صلاحیت / اثربخشی برای هر مرکز توزیع متعلق به بخش خصوصی که براساس ارزیابی پیش‌افاجعه تعیین می‌شود، با شرط  $0.2 \leq \gamma \leq 1$

چنانچه برای یک مرکز توزیع بخش خصوصی  $0.2 < \gamma$  باشد، آن بنگاه بخش خصوصی در بررسی کیفی پیش‌افاجعه رد شده است و در عملیات کمکرسانی شرکت نخواهد داشت.

$Q^k$ : تعداد کالای نوع  $k$  که در انبار ( $o \in G \cup R \cup M \cup N$ ) ایبار می‌شوند.

متغیرهای مدل

$f^k$ : تقاضای اقلام نوع  $k$  در منطقه فاجعه‌زده  $o$  که توسط  $D_{Cr}$  در سناریوی  $t$  برآورده می‌شود.

$z_i$ : برابر با 1 اگر از  $DCr$  متعلق به بخش خصوصی استفاده شود، در غیر این صورت  $z_i = 0$ .

$z_m$ : برابر با 1 اگر از  $DCm$  متعلق به سازمان کمکرسانی بین‌المللی استفاده شود. در غیر این صورت  $z_m = 0$ .

$z_n$ : برابر با 1 اگر از  $DCn$  متعلق به سازمان خیریه مردم‌نهاد استفاده شود. در غیر این صورت  $z_n = 0$ .

$z_g$ : رابر با 1 اگر از  $DCg$  متعلق به دولت استفاده شود. در غیر این صورت  $z_g = 0$ .

$y_i$ : برابر با 1 اگر منطقه فاجعه‌زده  $o$  در سناریوی  $t$  پوشش داده شود، در غیر این صورت  $y_i = 0$ .

ساختار ریاضی مدل

تابع هدف و محدودیت‌های مدل حاضر به شرح زیر است.  
(فرمول شماره ۸):

1.

$$\max Z = \sum_{t \in T} \sum_{k \in K} \sum_{i \in I} \sum_{o \in G \cup R \cup M \cup N} p^k \frac{f_{io}^{tk} \rho^k}{D_i^{tk}}$$

محدودیت‌های عرضه به شرح ذیل بوده و تضمین می‌کند

23. Vitality Factor

## یافته‌ها

در این قسمت ابتدا یک مثال عددی با الهام از مسائل دنیای واقعی برای نشان دادن کاربرد مدل ارائه می‌شود. سپس مسئله موردنظر با استفاده از نرم‌افزار گمز، فرموله شده و محدودیت‌ها و اهداف پیاده‌سازی می‌شوند. در جدول‌های ۱، ۲، ۳، ۴، ۵، ۶، ۷، ۸، ۹، ۱۰، ۱۱، ۱۲، ۱۳، ۱۴، ۱۵، ۱۶، ۱۷، ۱۸ تمام مقادیر مورداستفاده برای پارامترهای موردنیاز اعم از هزینه و ... آورده شده است.

### مثال عددی

برای شبیه‌سازی مدل، مقادیر عددی به پارامترهای تعریف شده به شرح ذیل اطلاق می‌شود:

بودجه پیش فرض: ۵۰ واحد پولی  
حد پوشش یا  $\bar{c}$  برابر  $1/3$  در نظر گرفته می‌شود.

۳ سناریوی ( تقاضای کم )،  $t_1$ ،  $t_2$  ( تقاضای متوسط ) و  $t_3$  ( تقاضای زیاد ) در نظر گرفته شده است.

در جدول شماره ۸، هزینه دریافت و ذخیره کالا برای مرکز متعلق به سازمان کمکرسانی بین‌المللی برابر صفر در نظر گرفته شده است، چراکه این سازمان‌ها به دلیل در اختیار داشتن بودجه، این بخش از هزینه را در قالب کمک پوشش می‌دهند؛ بنابراین بودجه کمکرسانی مصرف نمی‌شود.

در جدول شماره ۱۰، مشاهده می‌شود در سناریوهای مختلف، مقدار تقاضا کم، متوسط و زیاد در نظر گرفته شده است. میزان تقاضا نیز با توجه به عدد جمعیت هر منطقه آسیب‌دیده متفاوت بوده و با افزایش جمعیت بیشتر می‌شود.

مدل‌سازی مسئله در نرم‌افزار گمز نشان می‌دهد تقاضای موردنیاز هر نقطه آسیب‌دیده توسط انبارهای دارای کالای موردنظر فراهم شده است. تمامی انبارها نیز به کار گرفته شده و به نظر می‌رسد مقدار پارامتر حد پوشش بر شاعع توزیع کمک تأثیر مستقیم دارد. درصد پوشش در سناریو با کمترین تقاضا، بیشترین و درصد پوشش در سناریو با بیشترین پوشش، کمترین بوده است. براساس داده‌های جدول‌های شماره ۱۰ و ۱۸ جمع موجودی قابل عرضه توسط کلیه انبارها در هر سه سناریویکی بوده و صرفاً مقدار تقاضا در هر سناریو افزایش می‌یابد. در سناریوی اول جمع تقاضای نقاط از جمع موجودی‌ها حدود ۸۸ درصد کمتر بوده است و میزان تخصیص منابع تحت تأثیر حد پوشش و فاصله نقاط تابعی این تغییرات تعیین می‌شود. در سناریوی دوم جمع تقاضا بیشتر از سناریوی اول بوده و موجودی انبارها ۱۶ درصد بیشتر از تقاضا است. در سناریوی سوم جمع تقاضا به میزان ۳۰ درصد بیشتر از موجودی کلیه انبارها بوده است.

براساس ۲ محدودیت تقاضا به شکل ذیل، مقادیر غیرمنفی اقلام امدادی ارسال شده برای برآورده کردن تقاضا در یک منطقه آسیب‌دیده نباید از تقاضای واقعی تجاوز کند و تنها در صورتی می‌توان آن‌ها را ارسال کرد که نیاز منطقه آسیب‌دیده را پوشش دهد ( فرمول شماره ۸ و ۹ ).

8.

$$\sum_{o \in G \cup R \cup M \cup N} f_{io}^{tk} \leq D_i^{tk} y_i \quad \forall i \in I, k \in K, t \in T$$

9.

$$f_{io}^{tk} \geq 0 \quad \forall i \in I, o \in G \cup R \cup M \cup N, k \in K, t \in T$$

محدودیت‌های ذیل تضمین می‌کند اقلام صرفاً در مراکز توزیع مکان‌یابی شده و یا به کار گرفته شده و براساس ظرفیت حداقلشتری انبار مورد نظر ذخیره شوند ( فرمول‌های شماره ۱۰، ۱۱، ۱۲، ۱۳ ).

10.

$$\sum_{k \in K} v^k Q_g^k \leq CAP_g x_g \quad \forall g \in G$$

11.

$$\sum_{k \in K} v^k Q_r^k \leq CAP_r z_r \quad \forall r \in R$$

12.

$$\sum_{k \in K} v^k Q_m^k \leq CAP_m z_m \quad \forall m \in M$$

13.

$$\sum_{k \in K} v^k Q_n^k \leq CAP_n z_n \quad \forall n \in N$$

14.

$$x_g, y_i, Z_r, Z_m, Z_n \in \{0,1\} \quad \forall g \in G, i \in I, r \in R, m \in M, n \in N$$



جدول ۱. مقادیر عددی مجموعه‌ها

۲۰ نقطه آسیب‌دیده	= {i1, i2, i3, ..., i20}
دولت قابلیت تأمین ۱۰ مرکز توزیع را دارد	= {g1, g2, g3, ..., g10}
۳ مرکز توزیع متعلق به بازیگران پخش خصوصی	R = {r1, r2, r3}
۲ مرکز توزیع متعلق به سازمان کمکرسانی بین‌المللی	= {m1, m2}
۲ مرکز توزیع متعلق به مراکز خیریه مردم نهاد	N = {n1, n2}
سه قلم کالای متفاوت	K = {k1, k2, k3}
سه سناریو لحتمالی با ضریب مختلف وجود دارد	T = {t1, t2, t3}

جدول ۲. مقادیر عددی  $d_i$  فاصله بین مرکز توزیع  $g_j$  و منطقه آسیب‌دیده

r3	r2	r1	m2	m1	n2	n1	g10	g9	g8	g7	g6	g5	g4	g3	g2	g1	$d_i$
۶	۱۲	۱۱	۸	۱۰	۹	۱۲	۶	۱۲	۱۱	۱۰	۹	۸	۷	۶	۱۲	۱۱	i1
۱۲	۱۱	۱۰	۱۰	۱۲	۱۰	۱۱	۱۲	۱۱	۱۰	۹	۸	۷	۶	۱۲	۱۱	i2	
۱۱	۱۰	۹	۹	۱۱	۹	۱۲	۱۱	۱۰	۹	۸	۷	۶	۱۲	۱۱	۱۰	i3	
۱۰	۹	۸	۸	۱۰	۱۰	۱۲	۱۰	۹	۸	۷	۶	۱۲	۱۱	۱۰	۹	i4	
۹	۸	۷	۱۰	۱۲	۹	۱۲	۹	۸	۷	۶	۱۲	۱۱	۱۰	۹	۸	i5	
۸	۷	۶	۹	۱۱	۱۰	۱۱	۸	۷	۶	۱۲	۱۱	۱۰	۹	۸	۷	i6	
۷	۶	۱۲	۸	۱۰	۹	۱۲	۷	۶	۱۲	۱۱	۱۰	۹	۸	۷	۶	i7	
۶	۱۲	۱۱	۱۰	۱۲	۱۰	۱۲	۶	۱۲	۱۱	۱۰	۹	۸	۷	۶	۱۲	i8	
۱۲	۱۱	۱۰	۹	۱۱	۹	۱۲	۱۲	۱۱	۱۰	۹	۸	۷	۶	۱۲	۱۱	i9	
۱۱	۱۰	۹	۸	۱۰	۱۰	۱۲	۱۱	۱۰	۹	۸	۷	۶	۱۲	۱۱	۱۰	i10	
۱۰	۹	۸	۱۰	۱۲	۹	۱۲	۱۰	۹	۸	۷	۶	۱۲	۱۱	۱۰	۹	i11	
۹	۸	۷	۹	۱۱	۱۰	۱۲	۹	۸	۷	۶	۱۲	۱۱	۱۰	۹	۸	i12	
۸	۷	۶	۸	۱۰	۹	۱۱	۸	۷	۶	۱۲	۱۱	۱۰	۹	۸	۷	i13	
۷	۶	۱۲	۱۰	۱۲	۱۰	۱۳	۷	۶	۱۲	۱۱	۱۰	۹	۸	۷	۶	i14	
۶	۱۲	۱۱	۹	۱۱	۹	۱۲	۶	۱۲	۱۱	۱۰	۹	۸	۷	۶	۱۲	i15	
۱۲	۱۱	۱۰	۸	۱۰	۱۰	۱۱	۱۲	۱۱	۱۰	۹	۸	۷	۶	۱۲	۱۱	i16	
۱۱	۱۰	۹	۱۱	۱۳	۹	۱۲	۱۱	۱۰	۹	۸	۷	۶	۱۲	۱۱	۱۰	i17	
۱۰	۹	۸	۱۰	۱۲	۱۰	۱۲	۱۰	۹	۸	۷	۶	۱۲	۱۱	۱۰	۹	i18	
۹	۸	۷	۹	۱۱	۱۰	۱۲	۹	۸	۷	۶	۱۲	۱۱	۱۰	۹	۸	i19	
۸	۷	۶	۸	۱۰	۹	۱۱	۸	۷	۶	۱۲	۱۱	۱۰	۹	۸	۷	i20	



جدول ۳. مقادیر عددی هزینه مکانیابی و ایجاد مرکز توزیع DC متعلق به دولت

$F_{n1}$	$F_{n2}$	$F_{n3}$	$F_{n4}$	$F_{n5}$	$F_{n6}$	$F_{n7}$	$F_{n8}$	$F_{n9}$	$F_{n10}$
۱۰۰۰۰	۱۰۰۰۰	۱۰۰۰۰	۱۵۰۰۰	۱۵۰۰۰	۱۵۰۰۰	۲۰۰۰۰	۲۰۰۰۰	۲۰۰۰۰	۲۰۰۰۰

جدول ۴. مقادیر عددی هزینه یه کارگیری مرکز توزیع DC متعلق به پخش خصوصی

$F_{n1}$	$F_{n2}$	$F_{n3}$
۵۰۰	۵۰۰	۵۰۰

جدول ۵. مقادیر عددی هزینه یه کارگیری مرکز توزیع DC متعلق به سازمان کمکرسانی بین المللی

$F_{m1}$	$F_{m2}$
۵۰۰	۵۰۰

جدول ۶. مقادیر عددی هزینه یه کارگیری مرکز توزیع DC متعلق به سازمان خیریه مردمنهاد

$F_{n1}$	$F_{n2}$
۵۰۰	۵۰۰

جدول ۷. مقادیر عددی هزینه جایه‌جایی کالا از مرکز توزیع به منطقه آسیب‌دیده به ازای هر ساعت مسیر

$c_{in}^k$	$c_{im}^k$	$c_{in}^k$	$c_{ig}^k$
۲	۲	۲	۱

جدول ۸. مقادیر عددی هزینه دریافت و ذخیره کالا در مرکز توزیع به ازای حجم

$h_g^k$	$h_r^k$	$h_m^k$	$h_n^k$
۱	۱	۰	۱

جدول ۹. مقادیر عددی حجم واحد هر قلم کالا

$V^{n1}$	$V^{n2}$	$V^{n3}$
۱	۲	۱

موجود در مرکز توزیع دولت، پخش خصوصی، سازمان‌های بشردوستانه و سازمان‌های خیریه مردمنهاد است. ستون‌های جدول موجود در تصویر شماره ۳، نشان‌دهنده ۴ حالت عدددهی به پارامتر است. به ترتیب، ستون ۱ نشان‌دهنده مقدار تابع هدف بهینه در صورت کاهش میزان کل موجودی مرکز توزیع هر بازیکن، به یک‌سوم مقدار مثال عددی، ستون ۲ معادل مقادیر عددی مذکور، ستون سوم معادل ۲ برابر مقادیر مثال عددی و ستون چهارم معادل ۳ برابر مقادیر مثال عددی

### آنالیز حساسیت

برای آنالیز حساسیت مدل، ۵ پارامتر بررسی شده‌اند که شامل پارامتر بودجه کل عملیات و ۴ پارامتر موجودی انبارهای هر بازیکن است. تصویر شماره ۲ رابطه بودجه با مقدار تابع هدف را نشان می‌دهد که حاکی از رابطه‌ای نسبتاً خطی است.

تصویر شماره ۳ نشان‌دهنده آنالیز حساسیت ۴ پارامتر  $Q^K$ ،  $Q_m^K$ ،  $Q_q^K$  است که به ترتیب معادل میزان کالاهای



جدول ۱۰. مقادیر عددی تقاضایی هر نوع کالا در هر ستارو

K=1 T=1	K=2 T=1	K=3 T=1	K=1 T=2	K=2 T=2	K=3 T=2	K=1 T=3	K=2 T=3	K=3 T=3	جمعیت	منطقه آسیب‌دیده
۱۰۰۰	۱۱۰۰	۸۵۰	۱۵۰۰	۱۶۰۰	۱۳۲۰	۲۵۰۰	۲۷۰۰	۲۲۶۰	۱۵۰۰۰	i1
۱۱۵۰	۸۰۰	۱۰۰۰	۱۶۰۰	۱۴۲۰	۱۵۲۰	۲۷۲۰	۲۲۵۰	۲۵۲۰	۱۵۰۰۰	i2
۹۰۰	۱۰۴۰	۱۱۰۰	۱۴۰۰	۱۰۸۰	۱۶۰۰	۲۴۰۰	۲۵۰۰	۲۷۵۰	۱۵۰۰۰	i3
۱۰۰۰	۱۱۰۰	۹۰۰	۱۵۰۰	۱۶۲۱	۱۴۰۰	۲۵۰۰	۲۷۰۰	۲۳۱۰	۱۵۰۰۰	i4
۱۱۰۰	۸۰۰	۱۰۲۵	۱۶۰۰	۱۴۲۰	۱۵۲۱۰	۲۷۰۰	۲۲۵۰	۲۵۶۰	۱۵۰۰۰	i5
۹۰۰	۱۰۱۰	۱۱۲۰	۱۴۴۰	۱۵۱۰	۱۶۰۰	۲۷۵۰	۲۵۰۰	۲۷۲۰	۱۵۰۰۰	i6
۱۰۰۰	۱۱۰۰	۹۵۰	۱۵۴۰	۱۶۲۰	۱۴۲۰	۲۵۴۰	۲۲۵۰	۲۲۵۰	۱۵۰۰۰	i7
۱۱۰۰	۹۲۰	۱۱۵۰	۱۶۸۰	۱۴۲۰	۱۵۰۰	۲۷۰۰	۲۲۰۰	۲۵۰۰	۱۵۰۰۰	i8
۲۰۰۰	۲۱۵۰	۱۹۵۰	۲۰۵۰	۲۱۶۰	۲۹۱۰	۵۱۲۰	۵۲۰۰	۴۸۰۰	۳۰۰۰۰	i9
۲۱۰۰	۱۹۲۰	۲۲۰۰	۲۱۰۰	۲۹۲۰	۲۲۰۰	۵۱۱۰	۵۸۰۰	۵۱۰۰	۳۰۰۰۰	i10
۱۹۰۰	۲۱۰۰	۲۱۵۰	۲۹۰۰	۲۲۰۰	۳۱۶۰	۴۲۰۰	۴۰۰۰	۴۰۰۰	۳۰۰۰۰	i11
۲۰۰۰	۲۲۰۰	۱۹۶۰	۲۰۴۰	۳۱۰۰	۲۹۶۰	۵۰۶۰	۵۲۱۰	۴۸۲۰	۳۰۰۰۰	i12
۲۱۰۰	۱۹۶۵	۲۰۷۰	۳۱۶۰	۲۹۶۰	۳۰۰۰	۵۰۷۰	۴۸۳۰	۵۰۳۰	۳۰۰۰۰	i13
۱۹۰۰	۲۲۰۰	۲۰۸۰	۲۹۲۰	۲۰۵۰	۳۱۰۰	۴۰۳۰	۴۰۰۰	۴۰۰۰	۳۰۰۰۰	i14
۲۰۰۰	۲۱۰۰	۱۸۲۰	۳۰۶۰	۲۰۲۰	۲۹۴۰	۵۰۲۰	۵۲۱۰	۴۸۱۰	۳۰۰۰۰	i15
۳۲۰۰	۲۲۵۰	۲۲۱۰	۵۰۷۰	۵۱۰۰	۴۹۰۵	۸۲۷۰	۸۲۲۰	۸۲۰۰	۵۰۰۰۰	i16
۳۴۰۰	۲۲۵۰	۲۲۵۰	۵۰۸۰	۴۹۲۰	۵۱۰۰	۸۲۱۰	۸۲۰۰	۸۲۰۰	۵۰۰۰۰	i17
۳۳۰۰	۲۲۲۰	۲۲۲۰	۴۹۲۰	۵۱۰۰	۵۲۰۰	۸۲۰۰	۸۲۰۰	۸۲۰۰	۵۰۰۰۰	i18
۳۲۶۰	۲۲۲۰	۲۲۰۰	۴۰۰۰	۵۱۵۰	۴۹۱۰	۸۲۷۰	۸۲۱۰	۸۲۰۰	۵۰۰۰۰	i19
۳۴۰۰	۲۲۰۰	۲۲۰۰	۵۱۵۰	۴۸۰۰	۵۰۵۰	۸۱۰۰	۸۲۰۰	۸۲۵۰	۵۰۰۰۰	i20

## پیوست

در این پژوهش، مدلی همکارانه ارائه شد که بهمنتظر پوشش حداقلی نقاط آسیب‌دیده ناشی از فاجعه‌های طبیعی طراحی شده است. بازیگران اصلی این مدل شامل دولت، بخش خصوصی، سازمان‌های بشردوستانه بین‌المللی و سازمان‌های غیردولتی داخلی بودند. این مدل نوآورانه که مشابه آن در مطالعات در دسترس وجود نداشته، می‌تواند به عنوان یک چارچوب جدید برای ارتقای هماهنگی و هماهنگی میان این<sup>۴</sup> بازیکن عمل کند و

بوده است. براساس نتیجه این تحلیل، نمودار مربوط به دولت دارای کمترین شبیب و نمودار مربوط به بخش خصوصی دارای بیشترین شبیب است. این موضوع حاکی از این است که در صورت نیاز به افزایش موجودی بازیکنان برای افزایش پوشش و تقاضا، بهترین راه حل تخصیص کالای بیشتر به بازیکنان بخش خصوصی است. بعد از بخش خصوصی، به ترتیب سازمان‌های بشردوستانه بین‌المللی و پس از آن سازمان‌های مردم‌نهاد داخلی و در آخر دولت گزینه‌های بهینه برای افزایش مقدار بهینه تابع هدف و درنتیجه بیشینه‌سازی پوشش نقاط هستند.



جدول ۱۱. مقادیر عددی ظرفیت مرکز توزیع DC متعلق به دولت

CAP <sub>۱۱</sub>	CAP <sub>۱۲</sub>	CAP <sub>۱۳</sub>	CAP <sub>۱۴</sub>	CAP <sub>۱۵</sub>	CAP <sub>۱۶</sub>	CAP <sub>۱۷</sub>	CAP <sub>۱۸</sub>	CAP <sub>۱۹</sub>	CAP <sub>۲۰</sub>
۲۰۰۰	۲۰۰۰	۲۰۰۰	۳۰۰۰	۳۰۰۰	۳۰۰۰	۴۰۰۰	۴۰۰۰	۴۰۰۰	۴۰۰۰

جدول ۱۲. مقادیر عددی ظرفیت مرکز توزیع CD متعلق به بخش خصوصی

CAP <sub>۱۱</sub>	CAP <sub>۱۲</sub>	CAP <sub>۱۳</sub>
۱۵۰۰	۱۵۰۰	۱۵۰۰

جدول ۱۳. مقادیر عددی ظرفیت مرکز توزیع DC متعلق به سازمان کمکرسانی بین المللی

CAP <sub>m1</sub>	CAP <sub>m2</sub>
۱۷۰۰	۱۷۰۰

جدول ۱۴. مقادیر عددی ظرفیت مرکز توزیع DC متعلق به سازمان خبریه مردم‌نهاد

CAP <sub>n1</sub>	CAP <sub>n2</sub>
۱۳۰۰	۱۴۰۰

جدول ۱۵. مقادیر عددی ضریب احتمال وقوع هر سناریو

t1	t2	t3
۰/۲	۰/۳	۰/۵

جدول ۱۶. مقادیر عددی ضریب اهمیت هر نوع کالا

k1	k2	k3
۰/۲	۰/۳	۰/۵

جدول ۱۷. مقادیر عددی ضریب صلاحیت بازیکنان بخش خصوصی

r1	r2	r3
۰/۶	۰/۴	۰/۸

آسیب‌دیده را تضمین می‌کند. این مدل همچنین بررسی‌های کیفی انجام‌شده در دوران پیش از فاجعه را در نظر می‌گیرد و می‌تواند به طور قابل توجهی اثربخشی تلاش‌های مدیریت بلای را بهبود بخشد. نظر به اینکه پژوهش حاضر براساس داده‌های فرضی انجام شده است، پیشنهاد می‌شود در آینده مدل پیشنهادی در قالب یک مطالعه موردی بررسی شود.

به بهبود پاسخگویی به چالش‌های اجتماعی و انسانی کمک کند. هریک از این بازیگران دارای ظرفیت‌های متنوعی، از جمله مراکز توزیع متعدد و انواع مختلف کالاهای هستند. مدل طراحی شده با استفاده از یک نمونه عددی فرضی و نرم‌افزار گمز حل شده و تحلیل حساسیت نیز انجام شده است. نتایج به دست آمده از مدل، بینش‌های ارزشمندی را در مورد اقدامات بهینه هریک از بازیکنان در زنجیره تأمین در طول یک فاجعه ارائه می‌کند. این مدل ظرفیت‌ها و قابلیت‌های هر بازیکن و همچنین کیفیت خدمات ارائه‌شده توسط بخش خصوصی را در نظر می‌گیرد و امکان تخصیص کارآمدتر منابع را فراهم می‌کند و حداکثر پوشش نقاط



جدول ۱۸. مقادیر عددی موجودی اقلام در هر انبار

k3	k2	k1	متغیر
۵۶۰۰	۳۰۰۰	۴۵۰۰	g1
۴۲۰۰	۲۰۰۰	۶۵۰۰	g2
۶۲۰۰	۲۶۰۰	۷۵۰۰	g3
۳۲۰۰	۳۴۰۰	۵۰۰۰	g4
۲۲۰۰	۵۷۰۰	۴۰۰۰	g5
۳۵۰۰	۵۲۰۰	۵۵۰۰	g6
۶۳۰۰	۴۴۰۰	۶۰۰۰	g7
۳۷۰۰	۵۳۰۰	۴۰۰۰	g8
۲۸۰۰	۲۲۰۰	۴۵۰۰	g9
۴۲۰۰	۵۹۰۰	۵۰۰۰	g10
۲۶۰۰	۴۴۰۰	۳۵۰۰	r1
۴۳۰۰	۳۲۰۰	۵۰۰۰	r2
۳۶۰۰	۵۱۰۰	۲۵۰۰	r3
۴۰۰۰	۳۴۰۰	۴۰۰۰	m1
۴۳۰۰	۲۶۰۰	۵۵۰۰	m2
۴۸۰۰	۵۲۰۰	۳۰۰۰	n1
۳۶۰۰	۵۳۰۰	۴۰۰۰	n2

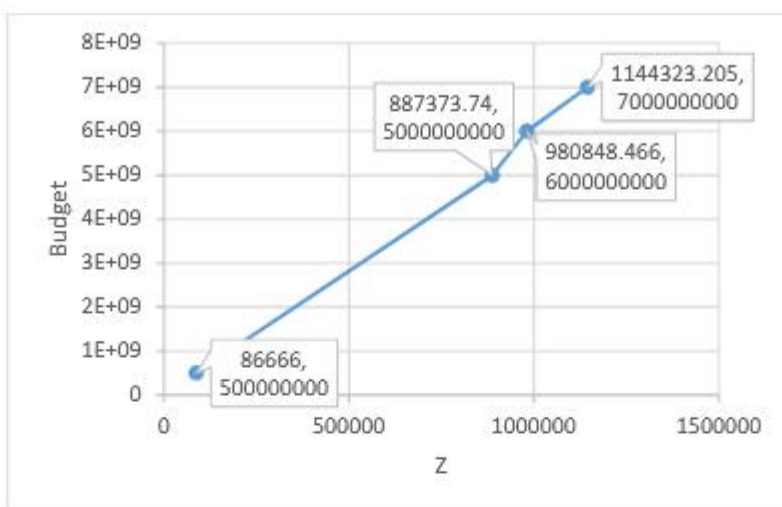
جدول ۱۹. نتایج حاصل از حل مدل در گمز

سازاری‌های مختلف	درصد برآورده شدن جمع تقاضای تمامی نقاط	تعداد اثباتهای به کار گرفته شده	تعداد نقاط آسیب‌دیده پوشش داده شده
تقاضا کم	۹۲/۶۳	۱۷	۲۰
تقاضا متوسط	۶۵/۵۶	۱۴	۱۶
تقاضا زیاد	۴۱/۵۳	۱۳	۱۲

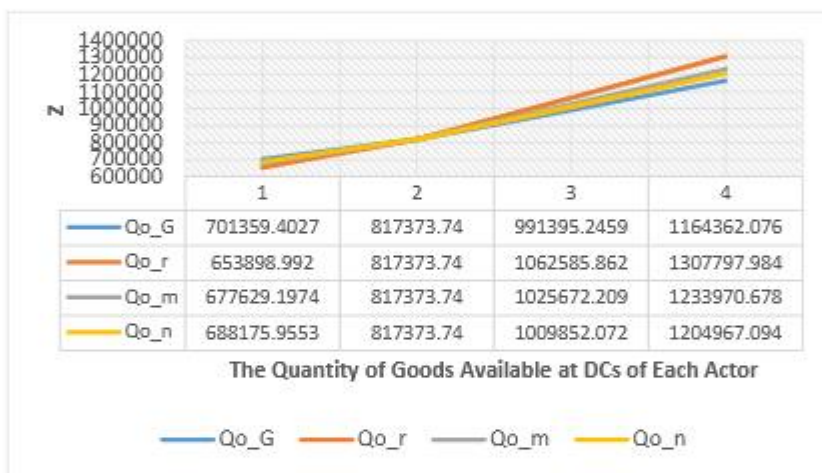
بین‌المللی به دلیل داشتن ظرفیت‌های مورد نیاز و با هدف کمک به دولت، می‌توانند ارزیابی فنی شرکت‌های دلوطلب را انجام داده و فهرستی از شرکت‌های داوطلب و اولویت کیفی هریک را بررسی و آماده کنند. سازمان‌های بین‌المللی دارای فهرستی از فروشنده‌گان سرویس و کالا هستند که در طول زمان با آن‌ها کار کرده‌اند. بنابراین چنانچه شرکت‌های خصوصی دلوطلب در این لیست باشند، می‌توانند براساس ارزیابی‌های عملکردی پیشنهاد خود که در آرشیو سازمان‌های بین‌المللی کمکرسانی قرار دارد به لیست داوطلبین اضافه شوند. جهت بررسی بهتر صلاحیت بنگاه‌های خصوصی، پیشنهاد می‌شود یک مدل برای محاسبه

### نتیجه‌گیری

با وجود اینکه مسئولیت اجتماعی اهمیت زیادی یافته است و در سال‌های اخیر این موضوع منتج به همکاری بدون چشمداشت شرکت‌های خصوصی در فجایع طبیعی و انسانی شده است، جهت افزایش آمادگی برای رسیدگی به عواقب یک فاجعه، پیشنهاد می‌شود طی یک آگهی دعوت به همکاری، از شرکت‌های خصوصی علاقمند دعوت شود تا در ازای برخورداری از مزایایی از جمله بخشودگی مالیاتی از سمت دولت، آمادگی خود را جهت کمک در صورت وقوع فاجعه اعلام کنند. سازمان‌های کمکرسانی



تصویر ۲. آنالیز پارامتر بودجه

تصویر ۳. آنالیز پارامتر  $Q_o^k$ 

- توانایی دولت برای هماهنگ کردن تلاش‌های همه بازیکنان در زنجیره تأمین.
- توانایی دولت برای واکنش سریع به شرایط در حال تغییر.
- هنجرهای فرهنگی و اجتماعی منطقه آسیب‌دیده.
- در دسترس بودن منابع محلی، مانند نیروی کار، حمل و نقل و امکانات ذخیره‌مسازی.
- تأثیر شرایط محیطی، مانند کیفیت جاده‌ها و آسیب واردہ به آن‌ها بر اثر فاجعه، آب‌وهوا و فصول.

مطلوبیت و اولویت‌بندی شرکت‌های پخش خصوصی ارائه شود که ذر آن عوامل مختلف از جمله شماره ابعاد یگان حمل، دامنه پوشش، تعداد انبارهای عادی و پیچالی موجود در سطح کشور وزن‌دهی شوند. این مدل می‌تواند جهت ارزیابی‌های دوره ای شرکت‌های داولطلب مورد بررسی قرار گیرد. عامل دیگری نیز وجود دارد که می‌تواند در یک مدل تئوری بازی مشارکتی برای زنجیره تأمین پژوهش‌دوستانه گنجانده شود. برخی از این عوامل عبارت‌انداز:

- کیفیت و قابلیت اطمینان وسائل نقلیه ارائه شده توسط پخش خصوصی.

- کیفیت و قابلیت اطمینان کالاهای کمکی ارائه شده توسط سازمان‌های کمکرسان بین‌المللی و سازمان‌های غیردولتی و سازمان‌های کمکرسان ملی.

## ملاحظات اخلاقی

### پیروی از اصول اخلاق پژوهش

این مقاله نمونه های انسانی و حیوانی نداشته است. براین اساس نیاز به کد اخلاق نبوده و تمام قوانین اخلاق در پژوهش رعایت شده است.

### حامي مالی

این مقاله برگرفته از رساله کارشناسی ارشد گلنوش جهرمی رجبی دانشگاه آزاد اسلامی، واحد تهران شمال می باشد و هیچگونه کمک مالی از سازمان های دولتی، خصوصی و غیرانتفاعی دریافت نکرده است.

### مشارکت نویسندها

اعتبارسنجی، تحلیل رسمی، تحقیق، منابع، جمع آوری دادهها، گلنوش جهرمی رجبی؛ مفهومسازی و روش شناسی؛ راضیه کشاورزفرد و گلنوش جهرمی رجبی؛ نگارش پیش‌نویس اولیه، بررسی و ویرایش و نظارت؛ راضیه کشاورزفرد.

### تعارض منافع

بنابر اظهار نویسندها، این مقاله تعارض منافع ندارد.



## References

- Abidi, H., De Leeuw, S., & Klumpp, M. (2014). Humanitarian supply chain performance management: A systematic literature review. *Supply Chain Management: An International Journal*, 19(5/6), 592-608. [\[Link\]](#)
- Adsanver, B., Balci, B., Bélanger, V., & Rancourt, M. E. (2023). Operations research approaches for improving coordination, cooperation, and collaboration in humanitarian relief chains: A framework and literature review. Quebec: CIRRELT. [\[Link\]](#)
- Aldashev, G., & Verdier, T. (2010). Goodwill bazaar: NGO competition and giving to development. *Journal of Development Economics*, 91(1), 48-63. [\[DOI:10.1016/j.jdeveco.2008.11.010\]](#)
- Arikan, E., Silbermayr, L., & Toyasaki, F. (2023). Interplay between humanitarian procurement operations and fundraising. *Computers & Industrial Engineering*, 184, 109559. [\[DOI:10.1016/j.cie.2023.109559\]](#)
- Chen, J., Chen, T. H. Y., Vertinsky, I., Yumagulova, L., & Park, C. (2013). Public-private partnerships for the development of disaster resilient communities. *Journal of Contingencies and Crisis Management*, 21(3), 130-143. [\[Link\]](#)
- Coles, J., & Zhuang, J. (2011). Decisions in disaster recovery operations: A game theoretic perspective on organization cooperation. *Journal of Homeland Security and Emergency Management*, 8(1), 1-16. [\[Link\]](#)
- Coskun, A., Salman, F. S., & Pashapour, A. (2024). Relief item inventory planning under centralized and decentralized bilateral cooperation and uncertain transshipment quantities. *Socio-Economic Planning Sciences*, 95, 101991. [\[DOI:10.1016/j.seps.2024.101991\]](#)
- Day, J. M., Melnyk, S. A., Larson, P. D., Davis, E. W., & Whybark, D. C. (2012). Humanitarian and disaster relief supply chains: A matter of life and death. *Journal of Supply Chain Management*, 48(2), 21-36. [\[Link\]](#)
- Diehlmann, F., Lüttenberg, M., Verdonck, L., Wiens, M., Zienau, A., & Schultmann, F. (2021). Public-private collaborations in emergency logistics: A framework based on logistical and game-theoretical concepts. *Safety Sciences*, 141, 105301. [\[DOI:10.1016/j.ssci.2021.105301\]](#)
- Ergün, S., Usta, P., Alparslan Gök, S. Z., & Weber, G. W. (2023). A game theoretical approach to emergency logistics planning in natural disasters. *Annals of Operations Research*, 324(1), 855-868. [\[Link\]](#)
- Fathalikhani, S., Hafezalkotob, A., & Soltani, R. (2018). Cooperation and competition among humanitarian organizations: A game theory approach. *Kybernetes*, 47(8), 1642-1663. [\[DOI:10.1108/K-10-2017-0369\]](#)
- Fathalikhani, S., Hafezalkotob, A., & Soltani, R. (2020). Government intervention on cooperation, competition, and competition of humanitarian supply chains. *Socio-Economic Planning Sciences*, 69, 100715. [\[DOI:10.1016/j.seps.2019.05.006\]](#)
- Habib, M. S., Lee, Y. H., & Memon, M. S. (2016). Mathematical models in humanitarian supply chain management: A systematic literature review. *Mathematical Problems in Engineering*, 2016(1), 3212095. [\[DOI:10.1155/2016/3212095\]](#)
- Holguin-Veras, J., Pérez, N., Jaller, M., Van Wassenhove, L. N., & Aros-Vera, F. (2013). On the appropriate objective function for post-disaster humanitarian logistics models. *Journal of Operations Management*, 31(5), 262-280. [\[DOI:10.1016/j.jom.2013.06.002\]](#)
- Hong, J. D., Jeong, K. Y., & Feng, K. (2015). Emergency relief supply chain design and trade-off analysis. *Journal of Humanitarian Logistics and Supply Chain Management*, 5(2), 162-187. [\[DOI:10.1108/JHLSCM-05-2014-0019\]](#)
- Hosseini-Motlagh, S. M., Choi, T. M., Johari, M., & Nouri-Harzvili, M. (2022). A profit surplus distribution mechanism for supply chain coordination: An evolutionary game-theoretic analysis. *European Journal of Operational Research*, 301(2), 561-575. [\[DOI:10.1016/j.ejor.2021.10.059\]](#)
- Katsaliaki, K., Kumar, S., & Loulos, V. (2024). Supply chain competition: A review of structures, mechanisms and dynamics. *International Journal of Production Economics*, 267, 109057. [\[DOI:10.1016/j.ijpe.2023.109057\]](#)
- Li, J., Zhang, X., & Yao, Y. (2024). A bi-level robust optimization model for the coupling allocation of post-disaster personnel and materials assistance. *Journal of Cleaner Production*, 469, 143099. [\[DOI:10.1016/j.jclepro.2024.143099\]](#)
- Li, X., Ramshani, M., & Huang, Y. (2018). Cooperative maximal covering models for humanitarian relief chain management. *Computers & Industrial Engineering*, 119, 301-308. [\[DOI:10.1016/j.cie.2018.04.004\]](#)
- Muggy, L., & Heier Stamm, J. L. (2014). Game theory applications in humanitarian operations: A review. *Journal of Humanitarian Logistics and Supply Chain Management*, 4(1), 4-23. [\[DOI:10.1108/JHLSCM-07-2013-0026\]](#)
- Nagurney, A., Flores, E. A., & Soylu, C. (2016). A Generalized Nash Equilibrium network model for post-disaster humanitarian relief. *Transportation Research Part E: Logistics and Transportation Review*, 95, 1-18. [\[DOI:10.1016/j.tre.2016.08.005\]](#)
- Ramos, M. A., Boix, M., Aussel, D., & Montastruc, L. (2024). Development of a multi-leader multi-follower game to design industrial symbioses. *Computers & Chemical Engineering*, 183, 108598. [\[DOI:10.1016/j.compchemeng.2024.108598\]](#)
- Schulz, S. F., & Blecken, A. (2010). Horizontal cooperation in disaster relief logistics: benefits and impediments. *International Journal of Physical Distribution & Logistics Management*, 40(8/9), 636-656. [\[DOI:10.1108/09600031011079300\]](#)
- Wankmüller, C., & Reiner, G. (2020). Coordination, cooperation and collaboration in relief supply chain management. *Journal of Business Economics*, 90, 239-276. [\[Link\]](#)
- Wiens, M., Schätter, F., Zobel, C. W., Schultmann, F. (2018). Collaborative emergency supply chains for essential goods and services. In A. Fekete & F. Friedrich (Eds), *Urban Disaster Resilience and Security: The Urban Book Series*. Cham: Springer. [\[Link\]](#)
- Zhuang, J., Saxton, G. D., & Wu, H. (2014). Publicity vs. impact in nonprofit disclosures and donor preferences: A sequential game with one nonprofit organization and N donors. *Annals of Operations Research*, 221(1), 469-491. [\[Link\]](#)

This Page Intentionally Left Blank



## Research Paper

# A Two-echelon Model of Location-routing Problem for Optimizing Relief Operations in Natural Disasters



Hossein Jamali<sup>1</sup> , \*Mehdi Kabiri Naeini<sup>2</sup> , Zeynab Elahi<sup>2</sup>

1. Department of Industrial Engineering, Payam Noor University, Tehran, Iran.

2. Department of Industrial Engineering, Faculty of Engineering, Yazd University, Yazd, Iran.



**Citation** Jamali, H., Kabiri Naeini, M., & Elahi, Z. (2025). [A Two-echelon Model of Location-routing Problem for Optimizing Relief Operations in Natural Disasters (Persian)]. *Disaster Prevention and Management Knowledge*, 15(2):202-229. <https://doi.org/10.32598/DMKP.15.2.909.1>

<https://doi.org/10.32598/DMKP.15.2.909.1>

## ABSTRACT

**Background and objective** The location-routing problem (LRP) during disasters is a fundamental challenge in managing relief efforts to the affected areas. One of the most significant limitations in this context is the effective coverage of relief bases and the ability to provide timely aid to the affected area. In this study, a two-echelon model for LRP is developed, where each relief base can only provide services within a designed coverage radius. The goal is to determine the optimal locations for relief bases and routing relief teams to minimize relief time and cost at both levels.

**Method** We combined the covering tour problem (CTP) with the two-echelon LRP to propose a model named “two-echelon relief covering tour location routing problem” (2E-RCTLRP). To solve the LRP in a large scale, a metaheuristic genetic algorithm (GA) was developed and utilized. To validate the proposed model, five small-scale problems were solved, and the solutions obtained from the proposed GA were compared with the exact solutions obtained from GAMS software. Also, a sensitivity analysis of the CTP was conducted to determine the necessary conditions for using the CTP and two-echelon methods for relief problems.

**Results** The developed GA was efficient and converged to the optimal solution. The sensitivity analysis results showed that two-echelon methods provide significantly better results than single-echelon methods. Additionally, the comparison of the solution for the non-synchronization of tours at two levels and the proposed model demonstrated the necessity of using the proposed model.

**Conclusion** The proposed model is an effective method to improve relief operations and strengthen crisis management during natural disasters.

**Keywords** Two-echelon location-routing problem (2E-RCTLRP), Covering tour problem (CTP), Natural disaster relief, Crisis management, Genetic algorithm (GA)

### Article Info:

Received: 16 Dec 2024

Accepted: 05 May 2025

Available Online: 01 Jul 2025

\* Corresponding Author:

Mehdi Kabiri Naeini, Professor.

Address: Department of Industrial Engineering, Payam Noor University, Tehran, Iran.

Tel: +98 (912) 5141636

E-mail: [kabiri@pnu.ac.ir](mailto:kabiri@pnu.ac.ir)



Copyright © 2025 The Author(s).

This is an open access article distributed under the terms of the Creative Commons Attribution License (CC-BY-NC: <https://creativecommons.org/licenses/by-nd/4.0/legalcode.en>), which permits use, distribution, and reproduction in any medium, provided the original work is properly cited and is not used for commercial purposes.



## Extended Abstract

### Introduction

**D**uring natural disasters such as earthquakes, floods, and storms, or man-made disasters such as explosions and fires, rapid and efficient response from relief forces is necessary to save human lives and minimize the damage caused by the disaster. One of the most important limitations crisis managers face is the need to effectively cover relief bases and ensure timely and efficient aid to affected areas. To enhance the efficiency of search and rescue operations and optimize resource management, determining the appropriate location for relief bases and the correct and optimal routing of relief teams is particularly important. The location-routing problem (LRP) during disasters is thus a fundamental and highly significant challenge for relief management in the affected areas. Furthermore, risk analysis and the assessment of potential threats in different areas have been considered as an important part of the decision-making process for locating. Addressing this issue can play a crucial role in improving crisis management and increasing the efficiency of relief systems in emergencies.

To respond to the complexities of the LRP and the possibility of solving it on a large scale, the use of mathematical algorithms is not enough, and there is a need to utilize metaheuristic methods. In this study, an innovative two-echelon model for the LRP is developed, which specifically considers the spatial coverage constraint; i.e. each relief base is allowed to provide services within a designated service radius only. The main goal of this study is to determine the optimal locations for relief bases and simultaneously design suitable routes for relief teams so that it can significantly reduce the total time of relief operations and the related costs. The proposed model also considered the risk analysis and the assessment of potential threats in different areas. In this research, an advanced genetic algorithm (GA) is developed to provide appropriate and efficient solutions for the two-echelon LRP. Inspired by natural evolution and natural selection processes, this algorithm gradually finds optimal or near-optimal solutions by utilizing operations such as selection, crossover, and mutation.

### Methods

We combined the covering tour problem (CTP) with the two-echelon LRP to propose a model named “two-echelon relief covering tour location routing problem” (2E-RCTLRP). To evaluate the accuracy and efficiency

of the proposed model and the developed algorithm, five small-scale sample problems were initially designed, and the optimal solutions to them were obtained using GAMS software, version 24.1.3 which has the capability to solve exact optimization problems. The results obtained from the GA were then compared with the exact GAMS results to evaluate the algorithm's efficiency, accuracy, and convergence rate. The proposed algorithm is designed to allow control over various parameters such as population size, mutation rate, and crossover rate, thereby providing the necessary flexibility to adapt to the different characteristics of the problem. Sensitivity analysis was also performed on various model variables, which were examined in terms of the CTP. The risk analysis was also conducted to identify the locations with higher levels of threat.

### Results

The results obtained from the implementation of the developed GA demonstrated the very high efficiency of this method in achieving near-optimal solutions, even similar to the exact solutions obtained from GAMS. These findings indicated the rapid convergence of this algorithm and its ability to manage large problem dimensions. The results of the sensitivity analysis showed that in many cases, the use of two-echelon models led to significantly better results compared to single-level models. In two-echelon models, it is possible to model the decision-making structure more accurately, consider real operational constraints, and better account for spatial and temporal complexities, which is of great importance in emergencies. Furthermore, comparing the solution for the non-synchronization of tours at two levels with the proposed model showed that the proposed approach not only improved the performance but also led to optimal resource management and cost reduction. Based on the risk analysis, the locations with higher threat levels were identified, based on which appropriate planning for resource allocation and base deployment was carried out. Thus, the proposed model comprehensively considers all critical aspects of relief operations in a crisis and provides effective operational solutions.

### Conclusion

The proposed two-echelon model and the developed GA can efficiently optimize the locating and routing of relief teams during disasters. The proposed model can provide better decisions for the deployment of relief bases by considering the real constraints of search and rescue operations and incorporating risk and threat analyses, thereby accelerating and improving the relief process. Using metaheuristic methods in large problem dimensions



enables the solution of more realistic and operational problems, which can help strengthen crisis management infrastructure in the face of natural disasters. The results of this research can serve as a basis for the development of decision support systems in the field of crisis management. By improving the speed, accuracy, and efficiency of decision-making, the proposed model can significantly contribute to saving lives and property in critical situations. Paying attention to two-level approaches in modeling relief problems, especially in combination with intelligent optimization techniques, is a forward-looking and effective solution for managing crises. The application of these approaches can not only be effective in optimizing relief operations but also improve urban planning, enhance the resilience of areas to crises, and increase the preparedness of relief organizations. Combining metaheuristic algorithms with machine learning methods can enhance the LRP model's capacity to respond to multidimensional crises and complex scenarios.

## Ethical Considerations

### Compliance with ethical guidelines

All ethical principles were considered in this study. Since there was no experiment on human or animal samples, the need for an ethical code was waived.

### Funding

This research did not receive any specific grant from funding agencies in the public, commercial, or not-for-profit sectors.

### Authors' contributions

All authors contributed equally to the conception and design of the study, data collection and analysis, interpretation of the results, and drafting of the manuscript. Each author approved the final version of the manuscript for submission.

### Conflicts of interest

The authors declared no conflict of interest.



## مقاله پژوهشی

مدل سازی و تحلیل دو سطحی مکان یابی - مسیر یابی برای بهینه سازی امنادرسانی در  
بلایای طبیعیحسین جمالی<sup>۱</sup>, مهدی کبیری نائینی<sup>۱</sup>, زینب الهی<sup>۲</sup>

۱. گروه مهندسی صنایع، دانشگاه پیام نور، تهران، ایران.

۲. گروه مهندسی صنایع، دانشکده مهندسی، دانشگاه یزد، یزد، ایران.



**Citation:** Jamali, H., Kabiri Naemini, M., & Elahi, Z. (2025). [A Two-echelon Model of Location-routing Problem for Optimizing Relief Operations in Natural Disasters (Persian)]. *Disaster Prevention and Management Knowledge*, 15(2):202-229. <https://doi.org/10.32598/DMKP.15.2.909.1>

## حکم

**مقدمه و هدف** مسئله مکان یابی - مسیر یابی در شرایط بحران، از جمله چالش‌های اساسی در مدیریت امنادرسانی به مناطق حادثه دیده است. یکی از مهم‌ترین محدودیت‌های در این زمینه، پوشش دهنده مؤثر پایگاه‌های امنادی و توانایی امنادرسانی به موقع به مناطق آسیب‌دیده است. در این مقاله، یک مدل دو سطحی برای مسئله مکان یابی - مسیر یابی توسعه داده شده است که در آن هر پایگاه امنادی تنها می‌تواند خدمات را در شعاع پوشش دهنده مشخصی ارائه دهد. هدف، تعیین مکان‌های بهینه برای پایگاه‌های امنادی و مسیر یابی تیم‌های امنادی برای به حداقل رساندن زمان و هزینه امناد در هر دو سطح به طور همزمان است.

**روش** در این تحقیق مسئله تور پوششی با مسئله مکان یابی - مسیر یابی دو سطحی ترکیب شده تأمینی به نام «مسئله مکان یابی - مسیر یابی تور پوشش همنه امناد دو سطحی» پیشنهاد گردید. برای حل این مسئله مکان یابی - مسیر یابی در مقیاس بزرگ، الگوریتم فرابینکاری زنتیک توسعه داده شده و مورد استفاده قرار گرفت. برای انتبارستجی مدل پیشنهادی، پنج مسئله در مقیاس کوچک به طور دقیق توسط نرم افزار GAMS حل شد و راه حل‌های بدست آمده از الگوریتم فرابینکاری زنتیک پیشنهادی با راه حل‌های دقیق بدست آمده از نرم افزار GAMS مقایسه شد. همچنین، یک تحلیل حساسیت از مسئله تور پوششی برای تعیین شرایط لازم برای استفاده از تور پوششی و روش‌های دو سطحی برای مسائل امنادی انجام شد.

**نتایج** نتایج بدست آمده نشان می‌دهند الگوریتم فرابینکاری پیشنهادی کارآ و همگرا به جواب بهینه است. همچنین این مقاله به تحلیل حساسیت مسئله تور پوششی می‌پردازد که نتایج برسی، شرایط الزام استفاده از مدل تور پوششی و روش‌های دو سطحی برای مسائل امنادرسانی را معین می‌کند و مشخص می‌شود که روش‌های دو سطحی به مراتب نتایج بهتری نسبت به روش‌های تک‌سطحی ارائه می‌دهند. همچنین، مقایسه حل غیرهمزنای تورها در دو سطح با مدل پیشنهادی نشان‌دهنده ضرورت استفاده از مدل پیشنهادی است.

**نتیجه‌گیری** این تحقیق می‌تواند به عنوان یک ابزار مؤثر برای بهبود فرآیندهای امنادرسانی و تقویت زیرساخت‌های مدیریت بحران در برابر بلایای طبیعی مورد استفاده قرار گیرد.

**کلیدواژه‌ها** مسئله مسیر یابی - مکان یابی ۲ سطحی، تور پوششی، امنادرسانی در بلایای طبیعی، مدیریت بحران، الگوریتم زنتیک

اطلاعات مقاله

تاریخ دریافت: ۲۶ آذر ۱۴۰۳

تاریخ پذیرش: ۱۶ اردیبهشت ۱۴۰۴

تاریخ انتشار: ۱۰ تیر ۱۴۰۴

\* نویسنده مسئول:

دکتر مهدی کبیری نائینی

نشانی: تهران، دانشگاه پیام نور، گروه مهندسی صنایع

تلفن: +۹۸ ۰۵۱ ۶۳۲ ۹۱۶

پست الکترونیکی: kabiri@pnu.ac.ir



همچنین ایجاد همکاری‌های بین‌نهادی و تبادل اطلاعات در زمان وقوع بحران‌ها، یکی دیگر از گسترش‌دهنده‌های مؤثر در بهبود فرایندهای امدادرسانی است (دلال و همکاران، ۲۰۱۹؛ جبور و همکاران، ۲۰۲۲).

در این پژوهش، مسئله مکان‌یابی - مسیریابی ۲ سطحی با محدودیت پوشش‌دهی بررسی می‌شود که در آن پایگاه‌های امداد تنها مجاز به ارائه خدمات در شعاع پوششی خود هستند. تصمیم‌گیری در دو سطح انجام می‌شود: در سطح اول، مکان‌یابی پایگاه‌های امداد در شهرها با در نظر گرفتن میزان آسیب‌دیدگی و امکانات موجود انجام می‌شود و در سطح دوم، تیمهای امدادی مستقر در این پایگاه‌ها به صورت بهینه مسیرهای را طی می‌کنند تا به روستاهای حادثه‌دیده در محدوده پوششی خود امدادرسانی کنند. مدل‌های پیشین معمولاً یا مکان‌یابی پایگاه‌های امداد را بدون در نظر گرفتن محدودیت پوششی بررسی کرده‌اند یا در مسیریابی تیمهای امدادی، تأثیر سطح آسیب‌پذیری مناطق را نادیده گرفته‌اند. در این پژوهش، با ترکیب هم‌زمان این دو عامل و در نظر گرفتن یک مدل ۲ سطحی، سعی شده است تا کارایی امدادرسانی در شرایط بحران بهبود یابد و با حداقل‌سازی هزینه‌ها و زمان پاسخ‌گویی، یک راهکار کارآمدتر برای مدیریت بحران ارائه شود که در آن تحلیل ریسک، ارزیابی تهدیدات و استراتژی‌های پیشگیرانه نیز لحاظ شده است.

درنتیجه این مقاله به ارائه یک مدل‌سازی و تحلیل مسیریابی ۲ سطحی به صورت هم‌زمان می‌پردازد که با هدف بهینه‌سازی امدادرسانی در شرایط بحرانی و کاهش زمان واکنش به این بحران‌ها راهه می‌شود. مقاله حاضر به صورت زیر‌سازماندهی شده است:

در بخش دوم مقاله، مطالعات پیشین بررسی شده و خلاصه تحقیقاتی مرتبط استخراج شده است. در بخش سوم، مسئله مسیریابی - مکان‌یابی تور پوششی ۲ سطحی در شرایط امدادرسانی بیان شده و مدل ریاضی آن مطرح می‌شود. در بخش چهارم، روش حل مسئله توضیح داده شده است. بخش پنجم، شامل ساختار الگوریتم ریتیک پیشنهادی جهت حل مسئله با پارامترهای تنظیم شده است. بخش ششم و هفتم مثال‌های عددی حل شده و تحلیل حساسیت انجام شده را دربر می‌دارند. نهایتاً در بخش هشتم جمع‌بندی و نتیجه‌گیری ارائه شده است.

#### بررسی مطالعات پیشین

مدیریت بحران به ۴ مرحله پیشگیری، آمادگی، پاسخ و بازسازی تقسیم‌بندی می‌شود. از میان این ۴ مرحله، مرحله پاسخ به دلیل امکان کاهش بیشتر تلفات و خسارات جانی و مالی از اهمیت ویژه‌ای برخوردار است (کاتهای و همکاران، ۲۰۱۲). مکان‌یابی مرکز امدادرسانی و مسیریابی وسایل نقلیه امدادی جهت ارسال کالا و خدمات به آسیب‌دیدگان یکی از فعالیت‌های مرحله پاسخ

#### مقدمه

در عصر حاضر، وقوع بلایای طبیعی نظیر زلزله، سیل و طوفان به عنوان یکی از بزرگ‌ترین چالش‌ها برای جوامع بشری محسوب می‌شود. با افزایش تعداد و شدت این بلایای طبیعی، بهبود و بهینه‌سازی فرایندهای امدادرسانی از اهمیت بیشتری برخوردار شده است (باتانی و همکاران ۲۰۲۱؛ ژو و همکاران، ۲۰۲۰). از این‌رو مسئله امدادرسانی در شرایط بحران، یکی از چالش‌های مهم در حوزه مدیریت بحران است. با توجه به پیچیدگی‌های موجود در این نوع مسائل، طراحی و پیاده‌سازی سیستم‌های امدادرسانی کارآمد، تیازمند رویکردهای علمی و مدل‌سازی دقیق است. تحقیقات اخیر نشان می‌دهند وجود یک مدل مسیریابی مناسب در شرایط بحرانی می‌تواند منجر به کاهش زمان واکنش و افزایش کارایی در توزیع منابع شود (مالکوف و همکاران، ۲۰۲۲؛ ژانگ و همکاران، ۲۰۲۲). به علاوه، استفاده از الگوریتم‌های پیشرفته، مانند الگوریتم‌های بهینه‌سازی فرالبتکاری در ترکیب با مدل‌های ۲ سطحی، نویدیخش بهبودهای چشمگیری در حل مسائل پیچیده این حوزه است (پنگ و همکاران، ۲۰۲۳؛ لیتو و همکاران، ۲۰۲۰).

مسیریابی به عنوان یکی از مسائل کلیدی در مدیریت بحران، به دنبال یافتن بهترین مسیر برای رسیدن به مناطق آسیب‌دیده و توزیع منابع امدادی است. در سال‌های اخیر، پژوهشگران بسیاری به این موضوع پرداخته و مدل‌های مختلفی را برای حل مسئله مسیریابی در شرایط اضطراری ارائه داده‌اند. بالاین حال اکثر این مدل‌ها به صورت تکمیرحله‌ای و با تمرکز بر یک سطح از تصمیم‌گیری طراحی شده‌اند. در حالی که در واقعیت، فرایند امدادرسانی شامل تصمیم‌گیری در سطوح مختلفی، از جمله تخصیص منابع، تعیین مسیرهای بهینه و برنامه‌ریزی عملیات است، یکی از رویکردهای مؤثر در این زمینه، استفاده از مدل‌های مسیریابی ۲ سطحی است که می‌توانند به بهینه‌سازی زمان و منابع در شرایط بحرانی کمک کنند (محمد و همکاران، ۲۰۲۳؛ تاراهان و همکاران، ۲۰۲۳). مدل‌سازی مسیریابی دو سطحی عموماً دو سطح عمده است: سطح اولیه که به شناسایی و تخصیص منابع به نقاط بحرانی می‌پردازد و سطح ثانویه که به طراحی مسیرهای بهینه برای انتقال منابع به این نقاط مربوط می‌شود (کای و همکاران، ۲۰۲۳).

این رویکرد قابلیت‌های بالایی در تطبیق با تغییرات غیرمنتظره وضعیت بحران‌ها فراهم می‌کند و می‌تواند بهبود قابل توجهی در کارایی و سرعت امدادرسانی به همراه داشته باشد. بهبود تجربه‌های گذشته و استفاده از فناوری‌های نوین نظیر سیستم‌های اطلاعات جغرافیایی و داده‌های بزرگ می‌تواند به طراحی و اجرای مدل‌های بهینه‌تر برای مسیریابی در واکنش به بلایای طبیعی کمک کند (خانا و همکاران، ۲۰۲۱؛ چونی و همکاران، ۲۰۲۲).

مرتبط (آرکین و هاسین، ۱۹۹۴؛ گلدن و همکاران، ۲۰۰۸؛ گلدن و همکاران، ۲۰۱۲) مراجعه کند.

ژندریو و همکاران (ژاندر و همکاران، ۱۹۹۷) برای اولین بار با ترکیب مسائل پوشش مجموعه<sup>۱</sup> و فروشنده دوره‌گرد<sup>۲</sup> مسئله تور پوششی را تعریف کردند. آن‌ها یک مدل برنامه‌ریزی خطی ارائه دادند و سپس مسئله را با استفاده از یک روش دقیق و یک روش ابتکاری حل کردند. هاچیچا و همکاران (۲۰۰۰) نوعی چندوسیله‌ای از مسئله تور پوششی<sup>۳</sup> با کاربردهای گوناگون، شامل طراحی مسیرهایی برای تیمهای ارائه‌دهنده خدمات مراقبت پزشکی سیار را گسترش دادند. در این مسئله هدف، طراحی چند تور همیلتونی بر روی یک زیرمجموعه از رؤس بود. نویسنده‌گان یک فرموله‌سازی ریاضی و ۳ الگوریتم ابتکاری را برای این مسئله ارائه کردند.

کاربرد دیگری از پوشش برای مراقبتها بهداشتی در برخی مقالات (هاجسون و همکاران، ۱۹۹۸؛ دورتر، فوکه و گوتجر، ۲۰۰۲) ارائه شد. نولز و همکاران (۲۰۱۰) یک مسئله تور پوششی چنددهده قه را پیشنهاد دادند که در آن یک ایستگاه مرکزی و مجموعه‌ای از وسایل نقلیه یکسان فرض شده بود. در این تحقیق امدادرسانی از طریق توزیع کمک‌های حیاتی مانند غذا، دارو و غیره به افراد حادثه‌دیده در یک سطح و بهصورت غیرمستقیم صورت می‌گیرد. برای حل مسائل این مقاله از هر دو روش دقیق و فرآبتكاری استفاده شده است. روش دقیق استفاده شده روش اپسیلون-محدودیت<sup>۴</sup> است. همچنین از روش فرآبتكاری جستجوی همسایگی و الگوریتم NSGA-II استفاده شده است. ناجی عظیمی و همکاران (۲۰۱۲) تعمیمی از مسئله تور پوششی را برای مکان‌یابی مراکز توزیع ارائه دادند. این مسئله به بررسی مکان‌یابی مراکز توزیع در جهت کمک به ارائه خدمات بشردوستانه برای همه افرادی که در یک ناحیه حادثه‌دیده قرار گرفته‌اند، می‌پردازد. در این مدل، نویسنده‌گان وسایل حمل و نقل مختلف و با ظرفیت محدود را به کار گرفتند. برای حل این مسئله از روش ابتکاری الگوریتم شروع چندگانه (multi-start) استفاده شده است.

نتایج محاسباتی بر روی داده‌هایی که بهطور تصادفی تولید شده‌اند نشان می‌دهند که تنها مثال‌های کوچک با استفاده از مدل ریاضی بهصورت کارا حل می‌شوند و روش ابتکاری پیشنهادی، مثال‌های در اندازه واقعی را با کیفیت بالا و در یک زمان منطقی حل می‌کند. الهیاری و همکاران (۲۰۱۴) ترکیبی

است که از لحظات اولیه وقوع بحران شروع می‌شود و عملکرد مطلوب در مرحله پاسخ، نقش تعیین‌کننده‌ای در کاهش تلفات و خسارات ایفا می‌کند. توجه همزمان به ۲ مقوله مکان‌یابی مراکز امداد و مسیریابی می‌تواند تأثیر مناسبی بر عملکرد سیستم ایفا کند. عدم توجه به مسیریابی در هنگام مکان‌یابی مراکز امدادی می‌تواند باعث افزایش زمان رسیدن اقلام امدادی به مراکز امداد شود و این امر باعث کاهش اثربخشی امدادرسانی شود (جانگ و همکاران، ۲۰۰۹).

استفاده از تور پوششی، رویکردی است که برخی محققین در زمینه امدادرسانی در زمان بحران به کار گرفته‌اند. در کتاب مسیریابی به روش تور پوششی، مکان‌یابی مراکز امدادرسانی و توزیع کالاهای موردنیاز انجام می‌شود. در برخی تحقیقات ایجاد این مراکز بهصورت سریایی مطرح است تا در کمترین زمان ممکن احداث و راهاندازی آن صورت گیرد. بی و ازدامار در سال ۲۰۰۷ به ارائه مدل مکان‌یابی و توزیع بهمنظور تخلیه مناطق آسیب‌دیده و ارائه کالاهای اساسی در شرایط بحران پرداخته‌اند. آن‌ها بسته-بندی مناسب کالاهای ضروری (دارو و غذا و آب آشامیدنی و غیره) بهمنظور سرعت و سهولت در توزیع را مد نظر قرار دادند و برای بسته‌های کالایی وزن‌هایی مشخص شده است که در بین آن‌ها بسته‌های دارویی از اهمیت بیشتری برخوردار است. در مدل ارائه شده برای مکان‌یابی مراکز امداد آن‌ها بهصورت موقع و سریایی در نظر گرفته شده و هزینه بریایی آن ناچیز فرض شده است. این مدل، رویکرد پوششی دارد و هدف آن کمینه کردن درصد تقاضای برآورده شده است.

برای ادبیات این تحقیق تعدادی از مطالعات مرتبه در این زمینه بررسی و نکات کلیدی آن‌ها ذکر می‌شود. مقالاتی که در آن‌ها به مسیریابی، مکان‌یابی، تور پوششی و امدادرسانی پرداخته شده است از آن جمله هستند. مفهوم پوشش کاربردهای فراوانی در دنیای واقعی دارد. به عنوان مثال می‌توان ترکیب مفاهیم پوشش و مسیریابی را در مسائل مرتبط با حالات اورژانسی نظری سیل، زلزله، سونامی و غیره در مقالات (آلتاوی و گرین، ۲۰۰۶؛ دلاتوره و همکاران، ۲۰۱۲؛ کانهای و همکاران، ۲۰۱۲؛ جمالی و بشیری، ۲۰۲۰) پیدا کرد. کارنرت و همکاران (۲۰۱۵؛ جمالی و بشیری، ۲۰۲۰) پیشنهاد می‌کنند مسیریابی به نام مسئله فروشنده پوششی<sup>۵</sup> را بیان کرند که در آن ویزیت همه مقاضیان بر روی تور در نظر گرفته نشده است. آن‌ها در این مقاله به مسیریابی تیم‌های خدمات بهداشتی در کشورهای در حال توسعه پرداختند و برای حل مدل برنامه‌ریزی عدد صحیح خود، از یک روش ابتکاری ۲ مرحله‌ای استفاده کردند.

روش‌های حل گوناگونی برای مسئله فروشنده پوششی و انواع آن ارائه شده است که خواننده علاقمند می‌تواند به مقالات

2. Set Covering Problem (SCP)
3. Traveling Salesman Problem (TSP)
4. Covering Tour Problem (CTP)
5. ε-constraint

#### 1. Covering Salesman Problem



جاکوبسن و مدن ارائه شد. جاکوبسن و مدن در این مقاله یک کاربرد واقعی این مسئله را در ارتباط با توزیع و پخش روزنامه در بخش غربی دانمارک به کار برند. هدف این مسئله مکان‌بایی مراکز توزیع، یافتن مسیرهای بهینه برای سطوح اول و دوم با حداقل هزینه است. نویسندهان این مقاله<sup>۳</sup> الگوریتم ابتکاری مختلف را برای حل این مسئله ارائه کردند (جاکوبسن و مدن، ۱۹۸۰). مدن<sup>۴</sup> (۱۹۸۳) با انجام اصلاحاتی بر روی<sup>۵</sup> الگوریتم از<sup>۶</sup> الگوریتم ابتکاری بیان شده در قبل، کارایی آن‌ها را افزایش داد و برای همان مسئله از آن‌ها استفاده کرد. بوسیا و همکاران<sup>۷</sup> (۲۰۱۰) یک روش حل فرالبتکاری جستجوی منوع (TS) را برای مسئله مسیریابی - مکان‌بایی<sup>۸</sup> سطحی با ظرفیت محدود ارائه کردند. این روش در اصل برای مسائل LRP طراحی شده بود و قبلاً توسعه ناگی و صالحی (۱۹۹۶) و توزان و بورکه (۱۹۹۹) پیشنهاد شده بود. ایده اصلی این الگوریتم، اولاً تجزیه مسئله اصلی به<sup>۹</sup> ۲ مسئله LRP و ثانیاً تجزیه هر LRP را به یک مسئله مکان‌بایی تسهیلات دارای ظرفیت<sup>۱۰</sup> و یک مسئله مسیریابی و سایر حمل و نقل چندایستگاهی بود. بنابراین الگوریتم TS ارائه شده شامل<sup>۱۱</sup> ۲ مرحله اصلی است: مرحله اول مکان‌بایی است که در آن تعداد و مکان تسهیلات مشخص می‌شوند و مرحله دوم مسیریابی است. یک رویکرد از پایین به بالا در این مقاله استفاده شده است، به این صورت که در ابتدا یک راه حل برای سطح دوم ساخته می‌شود و سپس با توجه به آن راه حل، راه حل سطح اول ساخته می‌شود. در تحقیقی مشابه، کراتنیک و همکاران (الف)<sup>۱۲</sup> (۲۰۱۱) نیز از همین ایده برای حل مسئله خود استفاده کردند.

**ذگری و نیکبخش** (۲۰۱۰) ۱ مدل ریاضی<sup>۱۳</sup> اندیسه، ۱ روش ابتکاری سریع و کارا و ۱ کران پایین را برای مسئله 2E-LRP با محدودیت‌های پنجره‌های زمانی نرم<sup>۱۴</sup> ارائه دادند.

روش ابتکاری پیشنهادشده تلاش می‌کند مسئله را با استفاده از ایجاد یک راه حل اولیه، سپس بهبود دادن آن از طریق جستجوی<sup>۱۵</sup> ۶ همسایه از راه حل اولیه و استفاده از روش ابتکاری Or-opt حل کند. در پایان، نتایج محاسباتی نشان از کارایی روش ابتکاری پیشنهادشده و استفاده از کران پایین ارائه شده دارد.

**کراتنیک و همکاران (الف)**<sup>۱۶</sup> (۲۰۱۱) مدل سازی بر پایه برنامه‌ریزی خطی عدد صحیح مختلط<sup>۱۷</sup> برای مسئله مسیریابی - مکان‌بایی<sup>۱۸</sup> سطحی با ظرفیت محدود معرفی کردند. هدف این مقاله معرفی مسئله 2E-LRP<sup>۱۹</sup> و به دست آوردن این بینش است که این مسئله با توجه به مدل‌های ارائه شده، برای مثال‌های گوناگون چگونه عمل می‌کند.

محاسباتی برای مثال‌های با اندازه متوسط و کوچک برای

از مسئله CSP و MDVRP<sup>۲۰</sup> را با نام MDCTVRP<sup>۲۱</sup> ارائه کردند. در این مقاله فرض ویزیت شدن تمامی مقاطعیان وجود ندارد. تقاضای هر فرد می‌تواند به صورت مستقیم با ویزیت شدن در تور و یا به صورت غیرمستقیم با پوشش یافتن توسط تور برآورده شود. نویسندهان ۲ فرمول بندی برنامه‌ریزی عدد صحیح مختلط<sup>۲۲</sup> (MIP) و ۱ الگوریتم فرالبتکاری هیبریدی که ترکیبی از GRASP<sup>۲۳</sup> و ۱ جستجوی محلی تکراری است را برای این مسئله گسترش دادند.

**مطالعه جمالی و بشیری** (۱۳۹۹) که به طراحی مدلی جدید در حوزه مدیریت بحران اختصاص یافته است، در آن مسئله پوشش‌دهی مناطق بحرانی در قالب یک تور بهینه مورد بررسی قرار می‌گیرد. این مدل در شرایط توسعه یافته که محدودیت منابع و امکانات مانع از حضور مستقیم تیمهای امدادی در تمامی نقاط آسیب‌دیده است و به همین دلیل تمرکز بر ایجاد مسیری بین برخی شهرهای توسعه یافته نیاز راستهای مجاور را نیز پوشش ندارد. در این چارچوب، هدف، یافتن کوتاه‌ترین مسیر همیلتونی ممکن بین مجموعه‌ای از شهرها به‌گونه‌ای است که کلیه رستهای آسیب‌دیده نیز به طور غیرمستقیم تحت پوشش قرار گیرند. برای حل مدل در مقایسه‌های بزرگ، یک الگوریتم رُنتیک طراحی و پیاده‌سازی شده است. به‌منظور ارزیابی عملکرد مدل و روش پیشنهادی، چند نمونه کوچک‌مقایسه با استفاده از این الگوریتم حل شده و نتایج با خروجی‌های دقیق نرم‌افزار GAMS مقایسه شده است. بررسی‌ها نشان داده‌اند الگوریتم مذکور از نظر کیفیت جواب و هم‌گرایی بهینه، عملکرد مطلوبی دارد. همچنین این پژوهش به تحلیل حساسیت مدل نیز پرداخته و نشان داده است استفاده از ساختار تور پوششی در مسائل امدادرسانی می‌تواند منجر به تصمیم‌گیری‌های مؤثر در شرایط بحرانی شود. تمامی مقالات ارائه شده در زمینه تور پوششی، در یک سطح به مسائل می‌پردازند و این فرض وجود دارد که افراد باید خود را به تیمهای مستقر در تور سطح اول برسانند. با این شرایط اگر افرادی دچار حادثه یا مصدوم شده باشند و نتوانند خود را به تیمهای امداد برسانند، ممکن است جان آن‌ها در خطر باشد.

در ادامه تعدادی از مقالات بررسی می‌شود که در حوزه حمل و نقل دو سطحی هستند. تمامی این مقالات در دو سطح بدون در نظر گرفتن مفهوم پوشش به حل مثال‌ها می‌پردازند و این فرض که ممکن است به علت آسیب ناشی از فاجعه رخداده در هر شهر نتوان پایگاه امدادی با ظرفیت دلخواه برپا کرد، در نظر گرفته نشده است. یکی از اولین و مهم‌ترین مقالات در زمینه مسئله مسیریابی - مکان‌بایی دو سطحی (2E-LRP) توسعه

6. Multi Depot Vehicle Routing Problem

7. Multi Depot Covering Tour Vehicle Routing Problem

8. Mixed-Integer Programming (MIP)

9. Capacitated Facility Location Problem (CFLP)

10. Soft Time Windows

11. Mixed Integer Linear Programming (MILP)



مرکز توزیع و ۲۰۰ مقاضی بودند. نتایج محاسباتی نشان دادند GRASP ترکیبی مذکور کارتر از دیگر روش‌های ابتکاری بیان شده در این مقاله هستند (نگوین و همکاران ۲۰۱۲ ب). یک مدل برنامه‌ریزی خطی عدد صحیح مختلط جدید و یک الگوریتم جستجوی محلی تکراری<sup>۱۷</sup> چند شروعی را برای 2E-CLRPSP پیشنهاد دادند که دارای چند ویژگی خاص است. این ویژگی‌ها شامل موارد زیر هستند:

اولین ویژگی یک معیار پذیرش برای راه حل ها است. به طوری که این راه حل ها تنها در صورتی می توانند پذیرفته شوند که اختلاف اشان از بهترین راه حل شناخته شده از یک مقدار معین تجاوز نکند. دومین ویژگی شامل ۲ روش بهبود یافته بر پایه جستجوی ۲ همسایه با پیچیدگی متفاوت است و سومین ویژگی شامل یک لیست است که راه حل های بازدید شده اخیر توسط یک الگوریتم TS را ذخیره می کند. در ادامه نتایج الگوریتم ۲۱۳ چند شروعی با روش path relinking تقویت شد. این الگوریتم همراه با تعدادی روش ابتکاری ساده تر و با کارایی کمتر بر روی تعدادی از مثال های پایه که در مقاله (نگوین و همکاران، ۱۲۰الف) تولید شده بودند، مورد آزمایش قرار گرفت. همچنین در این مقاله، تویسند گان تنها بهترین مقادیر به دست آمده از تعدادی اجرا را اگزارش داده اند. در حالی که هیچ اطلاعاتی در مورد میانگین عملکرد اجراء اداه نشده است. مقایسه دو مقاله (نگوین و همکاران، ۱۲۰الف؛ نگوین و همکاران، ۱۲۰ب) نشان می دهد که ۲۱۳ چند شروعی ترکیب شده با path relinking می تواند کمی بهتر از الگوریتم GRASP در مقاله (نگوین و همکاران، ۱۲۰ب) است. اسجونگر بیان شده در مقاله (نگوین و همکاران، ۱۲۰الف) است. اسجونگر و همکاران (۲۰۱۲) روش ابتکاری جستجوی همسایگی متغیر ۲E-CLRP گسترش دادند که این الگوریتم قبلاً توسط پیر کویس و رایدل (۲۰۱۰) برای مسئله LRP طراحی شده بود.

محاسبات بر روی ۳ مجموعه از مثال‌های به کاررفته توسط کوتارتادو و همکاران (۲۰۱۳) در مقاله انجام گرفت؛ کارایی VNS در مقایسه با کارایی الگوریتم آزمون شده در مقالات الگوریتم (کاتارتادو و همکاران، ۲۰۱۳؛ نگوین و همکاران، ۲۰۱۲؛ نگوین و همکاران، ۲۰۱۲، ب) مورد تأیید قرار گرفت. نتایج محاسباتی تشان دادند الگوریتم VNS پیشنهادشده بهتر از روش‌های فرآیندکاری پیشنهادشده در (نگوین و همکاران، ۲۰۱۲؛ نگوین و همکاران، ۲۰۱۲، ب) هستند، اما به طور متوسط الگوریتم ALNS ارائه شده در (کاتارتادو و همکاران، ۲۰۱۳) عملکرد بهتری داشته است. گویندان و همکاران یک مدل بهینه‌سازی چنددهدفه را برای یک شبکه زنجیره تأمین مواد غذایی فاسیدشدنی پیشنهاد دادند. این مدل یک مسئله مسیریابی-مکان‌یابی ۲ سطحی با پنجره‌های زمانی، برای طراحی، یک شبکه زنجیره تأمین و بهینه‌سازی اهداف

مدل‌های ۲ شاخصه و ۳ شاخصه انجام گرفت. این مثال‌ها با استفاده از حل‌کننده XPRESS حل شدند و سپس از نظر زمان محاسباتی، کران‌ها و کیفیت راه حل‌ها با هم مقایسه شدند. نتایج محاسباتی نشان دادند مدل ۳ شاخصه کران‌های پایین بهتری به دست می‌دهد و کارآتر از مدل ۲ شاخصه برای حل مثال‌های با اندازه متوسط است.

کونتاردو و همکاران (۲۰۱۲) الگوریتم شاخه و برش<sup>۱۲</sup> را که یک روش دقیق است برای حل مسئله 2E-LRP پیشنهاد دادند. در این مقاله نویسندگان یک مدل سازی جریان مینا را پیشنهاد دادند که براساس الگوریتم شاخه و برش طراحی شده و قادر است مثال‌های در اندازه کوچک و متوسط را به صورت بهینه در یک زمان محاسباتی منطقی حل کند. این فرموله بندی ریاضی یک مدل برنامه‌ریزی خطی عدد صحیح مختلط است که توسط چندین نامساوی معتبر که از مقالات بلنگر و همکاران (۲۰۱۱) و کونتاردو و همکاران (۲۰۱۳) گرفته شده، تقویت شده است. همچنین نویسندگان یک الگوریتم<sup>۱۳</sup> ALNS را برای حل این مسئله پیشنهاد دادند. هر دو الگوریتم دقیق و فرالبتکاری ارائه شده براساس تجزیه مسئله 2E-CLRP به ۲ مسئله LRP در هر سطح طراحی شده‌اند. این کار نویسندگان را قادر می‌کند الگوریتم‌های پیشنهادشده را برای مسئله CLRP در هر سطح به کار گیرند و سپس راه حل‌های جزئی به دست آمده را برای به دست آوردن یک راه حل کلی ترکیب کنند. نتایج محاسباتی که بر روی یک مجموعه بزرگ از مثال‌ها انجام گرفت حاکی از آن است که الگوریتم ALNS کارتر از روش‌های ابتکاری موجود است. علاوه بر این روش شاخه و برش ارائه شده، کران‌های پایین دقیقی را فراهم می‌آورد.

نگوین و همکاران (۲۰۱۲) نوعی از مسئله مسیریابی - مکان‌یابی ۲ سطحی با ظرفیت محدود و دارای یک ایستگاه<sup>۱۰</sup> که در آن تنها یک ایستگاه با مکان مشخص وجود دارد را بررسی کردند. آن‌ها این مسئله را با یک مدل برنامه‌ریزی خطی عدد صحیح و با استفاده از متغیرهای تصمیم ۲ شاخه مدل‌سازی کردند. همچنین آن‌ها <sup>۴</sup> روش ابتکاری سازنده، یک روش فرآبتكاری ترکیبی<sup>۱۵</sup> GRASP که با استفاده از pro- learning path relinking تقویت شده است را برای حل این مسئله ارائه کردند. الگوریتم GRASP از <sup>۳</sup> روش ابتکاری تصادفی حریصانه برای تولید راه حل‌های آزمایشی و <sup>۲</sup> روش VND<sup>۱۶</sup> برای بهبود آن‌ها استفاده می‌کند. نویسنده‌گان این مقاله <sup>۲</sup> مجموعه مثال را برای این مسئله تعریف کردند که شامل حداکثر <sup>۱۰</sup>

## 12. Branch-and-Cut (B&C)

### 13. Adaptive Large Neighborhood Search

#### 14. Two-Echelon Capacitated Location Routing Problem with a Single Depot (2E-CLRPSD)

## 15. Greedy Randomized Adaptive Search Procedure

## 16. Variable Neighborhood Descent

مسیریابی - مکانیابی ۱ سطحی هم‌گرا می‌شود و نهایتاً با برپایی پایگاه‌های امداد با ظرفیت بیشتر و استفاده از وسائل حمل و نقل متناظر با آن‌ها، امدادرسانی با هزینه کمتر و سرعت بیشتری انجام خواهد گرفت.

**اولیواری و همکاران (۲۰۲۵)** مسئله تور پوشش چند وسیله نقلیه را تعریف می‌کنند. هدف تعیین مجموعه‌ای از مسیرها با حداقل هزینه است که محدودیت‌های زیر را بر طرف می‌کند:

هر مسیر در انبار شروع و به پایان می‌رسد. هر تسهیلات اجباری دقیقاً ۱ بار در یک مسیر واحد بازدید می‌شود. هر مسیر از امکانات ۰ بیشتر بازدید نمی‌کند و حداکثر هزینه آن ۵ است. برای هر مشتری، حداقل یک تسهیلات اختیاری از مجموعه پوشش آن باید توسط یکی از مسیرها بازدید شود. در این مقاله، یک الگوریتم دقیق ساخته - برش و قیمت. خانواده جدیدی از برش‌های ظرفیت مانند و مجموعه جدیدی از نمونه‌های معیار وجود دارد. نتایج نشان داد الگوریتم پیشنهادی از بهترین روش دقیق از ادبیات عملکرد بهتری دارد و برش‌های پیشنهادی عملکرد آن را با یک مرتبه قدر بهبود می‌بخشد.

در ادامه چند مقاله در زمینه امدادرسانی بحران که مرتبط با این تحقیق هستند بررسی و ویژگی‌های آن‌ها به طور خلاصه ذکر می‌شوند.

**راس و گوتوجهر (۲۰۱۴)** یک مدل بهینه‌سازی ۳ هدفه را برای یک مسئله مسیریابی - مکانیابی اثبات جهت امدادرسانی بعد از وقوع حادثه پیشنهاد دادند. در این مسئله چند ایستگاه وجود دارد که باید در ابتدا مکان‌یابی شوند. سپس باید متقاضیان به این ایستگاه‌ها تخصیص یابند و در ادامه مسیریابی به این متقاضیان توسط یک ناوگان از وسائل حمل و نقل با ظرفیت یکسان انجام گیرد. تعداد، اندازه و مکان انبارها، تخصیص متقاضیان به انبارها و مسیریابی حمل کالاها باید به گونه‌ای انجام گیرد که حداقل هزینه را دربرداشته باشد. نویسنده‌گان برای حل این مسئله از روش دقیق اپسیلون-محدودیت و الگوریتم VNS<sup>۱۸</sup> استفاده کردند. وانگ و همکاران یک مدل مسیریابی - مکانیابی عدد صحیح غیرخطی را برای مسئله توزیع امداد ۱ سطحی با در نظر گرفتن مدت زمان پیموده شده، کل هزینه و قابلیت اطمینان تعریف کردند. به طوری که در این مدل شکست تقاضا مجاز است. به این معنی که وسائل حمل و نقل می‌توانند در آخرین نقطه توقفشان تا فرار سیدن مأموریت بعدی منتظر بمانند بدون اینکه به ایستگاه برگردند. توزیع امداد شامل مکان‌یابی مرکز توزیع، مسیریابی وسایل نقلیه و زمان‌بندی پس از وقوع زلزله است. در این مسئله از یک ناوگان وسایل حمل و نقل ناهمگون که دارای ظرفیت و سرعت‌های مختلف استفاده شده است. هدف این مسئله مشخص کردن یک زیرمجموعه از مراکز توزیع جهت

محیطی و اقتصادی در یک شبکه زنجیره تأمین مواد غذایی فاسدشدنی را تعریف می‌کند. هدف این مدل، شناسایی تعداد و مکان تسهیلات، بهینه‌سازی مقدار مواد حمل شده به سطوح پایین و مسیریابی در هر سطح است. همچنین هدف دیگر این مقاله کاهش هزینه‌های مرتبط با کرین ناشی از تماس لاستیک‌های وسایل نقلیه با سطح جاده و انتشار گازهای گلخانه‌ای در کل شبکه است. روش پیشنهادشده شامل یک رویکرد هیبریدی چندهدفه جدید به نام فرابتکاری هیبریدی مبتنی بر جمعیت برای چندهدفه (MHPV)، ترکیبی از ۲ الگوریتم چندهدفه شناخته شده به نام الگوریتم بهینه‌سازی تجمع ذرات چندهدفه<sup>۱۹</sup> و الگوریتم جستجوی همسایگی متغیر چندهدفه تعديل شده<sup>۲۰</sup> است. نتایج نشان می‌دهند این رویکرد هیبریدی راه حل‌های بهتری در مقایسه با روش‌های دیگر ارائه می‌دهد.

**جمالی و همکاران (۱۳۹۴)** در مقاله‌ای به بررسی و حل مسئله امدادرسانی ۲ سطحی نقاط آسیب‌دیده از بحران پرداختند. این مقاله به بررسی مسئله مسیریابی - مکانیابی ۲ سطحی ظرفیت‌دار با پنجه‌های زمانی سخت<sup>۲۱</sup> در شرایط امدادرسانی<sup>۲۲</sup> برای افرادی که در یک ناحیه بحران‌زده قرار گرفته‌اند، می‌پردازد. در این شرایط افراد باید در اسرع وقت توسط تیم‌های امدادرسان مورد حمایت قرار گیرند و لازمه این امر، یافتن مسیرهای بهینه جهت حمل و نقل سریع این تیم‌ها و ارائه کالاهای ضروری موردنیاز به افراد حادثه‌دیده است. هدف این مقاله تعیین مجموعه‌ای بهینه از پایگاه‌های امداد جهت استقرار تیم‌های امدادرسان، مسیریابی بهینه این تیم‌ها از پایگاه اصلی به پایگاه‌های امداد برپا شده و سپس از این پایگاه‌ها به نقاط حادثه‌دیده است. به طوری که کل تقاضا برآورده شود و هزینه کل که شامل مجموع هزینه برپا شدن پایگاه‌های امداد و هزینه‌های حمل و نقل هستند، حداقل شود. نتایج حاصل از حل مسئله نشان می‌دهند الگوریتم زنگیک پیشنهادی، الگوریتمی کارا و کاربردی است. این مسئله با مسائل مسیریابی - مکانیابی ۱ سطحی و تور پوششی در شرایط امدادرسانی طی چندین مثال و در شرایط یکسان مقایسه و نتیجه‌گیری شد این مسئله به مراتب دلایل هزینه کمتری بوده و بنابراین کلرتر است. در ادامه به تحلیل حساسیت مسئله از نظر ظرفیت وسایل حمل و نقل، ظرفیت پایگاه‌های امداد و تعداد این پایگاه‌ها پرداخته و نتیجه‌گیری شد با کاهش ظرفیت وسایل حمل و نقل سطح دوم، مسئله امدادرسانی ۲ سطحی به مسئله تور پوششی هم‌گرا می‌شود، همچنین با افزایش ظرفیت پایگاه‌های امداد و استفاده از وسائل حمل و نقل بزرگ‌تر، این مسئله به مسئله

18. Multi-Objective Particle Swarm Optimization (MOPSO)

19. Adapted Multi-Objective Variable Neighborhood Search (AMOVNS)

20. Two-Echelon Capacitated Location Routing Problem with Hard Time Windows (2E-CLRPHTW)

21. Relief



جهدیل از مقایسه مطالعات مرتبط اینجا شده در حوزه مسائل مسیریابی - مکان یابی دو سطحی و امدادرسی و خلاصی تحقیقاتی آنها

		روش حل فرآیندکاری		NSDE					
		NSGA II		ILS					
		ALNS		GA					
		TS		TS					
		GRASP		GRASP					
		MHPV		MHPV					
در نظر گرفتن شعاع پوشش متفاوت									
روش حل ابتکاری									
روش حل دقیق									
امدادرسانی همراه مان در دو سطح									
۲ سطحی									
یک سطحی									
امدادرسانی									
نوع محدودیت									
تعداد									
ایستگاه									
نوزیج									
سلخ دوم									
سلخ اول									
واسایل تغذیه									
هر آنچه									
سلخ									
طریقت									
بدون ظرفیت									
دارای ظرفیت									
بدون ظرفیت									
دارای ظرفیت									
بدون ظرفیت									
دارای ظرفیت									
بدون ظرفیت									
دارای ظرفیت									
بدون ظرفیت									
دارای ظرفیت									
چند									
یک									
حذف زیرتور									
وابسته به جریان									
پنجه ره زمانی									
مدل سازی ریاضی									
توبیسنگان / سال									
جاگوبن و ملسن ۱۷۶									
ملسن ۱۷۸									
بوسا و همکاران ۲۰۱۰									
گردی و یونخن ۲۰۱۰									
بلوز و همکاران ۲۰۱۰									
کوفک و همکاران ۲۰۱۱ گاپ									
کوفک و همکاران ۲۰۱۱ گلف									
راس و همکاران ۲۰۱۲									
کوتلتادو و همکاران ۲۰۱۲									
نگونی و همکاران ۲۰۱۲ گاپ									
نگونی و همکاران ۲۰۱۲ گلف									
لنجوکر و همکاران ۲۰۱۲									
نامی عظیمی و همکاران ۲۰۱۲									
کوییلان و همکاران ۲۰۱۲									
بلک و همکاران ۲۰۱۳									
نمکنی خلسر ۲۰۱۴									

قرار نگرفته‌اند.

### بيان مسئله و مدل‌سازی ریاضی آن

فرض کنید مجموعه معینی از رئوس وجود دارند که باید در تور قرار گیرند. همچنین رئوس موجودند که می‌توانند جهت بازدید در تور قرار گیرند. مجموعه سومی از رئوس نیز موجودند که باید حداقل به وسیله یک شهر ویزیت شده، پوشش یابند. منظور از پوشش این است که این رئوس باید در یک فاصله از پیش تعیین شده نسبت به شهر ویزیت شدهای در تور قرار گیرند. حال اگر در یک منطقه جغرافیایی، حادثه‌ای طبیعی تغییر سیل، زلزله و غیره رخ داده باشد و هدف امدادرسانی به افراد حادثه‌دیده با استفاده از مسئله تور پوششی کلاسیک باشد، افراد حادثه‌دیده باید خود را به نقاط ویزیت شده جهت دریافت خدمات برسانند. در این شرایط ممکن است به هر علی، مثلاً محدودیت زمانی، دوری راه، آسیب‌دیدگی افراد حادثه‌دیده و غیره، تعدادی از افراد حادثه‌دیده نتوانند خود را به پایگاه‌های امداد برویاند در تور اصلی برسانند و خدمت موردنظرشان را دریافت کنند و قطعاً در این حالت جان انسان‌های زیادی ممکن است در خطر باشد.

زمانی که ظرفیت پایگاه‌ها حداکثر برابر با مقدار تقاضای کل افراد حادثه‌دیده باشد، افزایش ظرفیت پایگاه‌ها مجاز است و میتوان در آن پایگاه‌ها از وسائل حمل و نقل متناظر با ظرفیت آن پایگاه‌ها بهره برد و در این صورت امدادرسانی با هزینه کمتر و سرعت بیشتری انجام خواهد گرفت، ولی اگر با یک برنامه‌ریزی نادرست، پایگاه‌های امداد با ظرفیت بیشتر از حد نیاز برویانند، با آنکه این کار هزینه امدادرسانی بیشتری دربر دارد، در سرعت امدادرسانی تأثیر چندانی نمی‌گذارد؛ بنابراین پایگاه‌های امداد باید با ظرفیت بهینه و متناسب با میزان تقاضای افراد حادثه‌دیده برویان گردند (جمالی و همکاران، ۱۵، الف).

از آنجایی که یکی از اهداف اصلی امدادرسانی، کاهش مرگ‌ومویر افراد حادثه‌دیده است، نمی‌توان در چنین شرایطی انتظار داشت مردم بحران‌زده، خود را به تیمهای امداد که در پایگاه‌های شهری مستقر شده‌اند، جهت دریافت خدمت برسانند. بنابراین استفاده از تور سطح دوم برای امدادرسانی مستقیم از افراد حادثه‌دیده لازم به نظر می‌رسد. برای درک بهتر مسئله فرض کنید در یک منطقه جغرافیایی، تعدادی شهر و روستا وجود دارد که در شرایط بحرانی بعد از وقوع حادثه قرار دارند. شهرها به ۲ دسته تقسیم می‌شوند: دسته اول شامل شهرهایی هستند که حادثه دیده‌اند و باید حتماً در تور سطح اول قرار گیرند و در ضمن باید در آن‌ها پایگاه‌های امداد جهت خدماترسانی به روستاهای حادثه‌دیده برویان شود.

دسته دوم شامل شهرهایی هستند که حادثه ندیده‌اند و می‌توانند در تور سطح اول به عنوان پایگاه امدادرسانی جهت امدادرسانی به نقاط حادثه‌دیده قرار گیرند. همه پایگاه‌های امداد دارای ظرفیت محدود و هزینه بازگشایی هستند.

بازگشایی، تخصیص نواحی بحران‌زده و وسائل حمل و نقل به مراکز توزیع و برنامه‌ریزی مسیرهای مراکز توزیع به نواحی حادثه‌دیده با توجه به ظرفیت وسائل حمل و نقل و مجاز بودن شکست تقاضا است. نویسنده‌گان این مقاله از ۲ روش فراتکاری الگوریتم زنگیک مرتب‌سازی نامغلوب نسخه ۲ (NSGA-II و NSGA) برای حل مدل‌شان استفاده کردند. این ۲ روش در عملگرهای تقاطع و جهش با هم تفاوت دارند. برای ارزیابی کارایی ۲ روش پیشنهادشده، ۵ مجموعه از مثال‌ها در اندازه‌های مختلف بهصورت تصادفی تولید و توسط مدل‌های پیشنهادی حل شد. مقایسه جواب‌های نشان داد روش NSGA-II در اکثر موارد نسبت به روش NSGA عملکرد بهتری داشته است.

**وانگ و زانگ (۲۰۰۵)** برای بهینه‌سازی مکان مراکز امداد مدلی را براساس احتمال وقوع فاجعه، توابع هدف پرآنکنگی فاجعه و امدادرسانی ارائه کردند. آن‌ها یک الگوریتم زنگیک (GA) را با استفاده از کدهای باینری و در نظر گرفتن یک روش ابتکاری حریصانه برای محاسبهتابع هدف گسترش دادند. نتایج محاسباتی که برروی مثال‌ها انجام گرفت نشان داد الگوریتم مذکور دارای عملکرد رضایت‌بخشی است. **هان و زانگ (۲۰۰۹)** یک مسئله مکان‌یابی تسهیلات اورژانسی را گسترش دادند که به عنوان یک مسئله برنامه‌ریزی خطی مدل‌سازی شد. آن‌ها یک الگوریتم زنگیک (GA) که در آن هر کروموزوم از شماره سریال تسهیلات اورژانسی موردنظر تشکیل شده بود و تنوع جمعیت به واسطه استفاده از یک عملگر احتمالی جهش پشتیبانی می‌شد را ارائه کردند. نتایج آزمایشات نشان دادند کارایی الگوریتم زنگیک ارائه شده بسیار بیشتر از کارایی الگوریتم‌های دیگر است. **جدول شماره ۱** بهطور خلاصه، ویژگی‌های مطالعات انجام‌شده در حوزه مسائل تور پوششی، مسیریابی - مکان‌یابی دو سطحی و امدادرسانی را به همراه خلاصهای تحقیقاتی نشان می‌دهد.

**هدف پاشاپور و همکاران (۲۰۲۴)** کمک به سازمان‌های بشردوستانه در بهینه‌سازی مقرر به صرفه لجستیک امکانات سیار با ظرفیت مورداً استفاده برای ارائه کمک‌های امدادی به پناهندگان در حال عبور در یک محیط چند دوره بود. ۱ مدل برنامه‌ریزی خطی عدد صحیح مختلط فرموله شد و ۲ روش راه حل برای حل این مشکل پیچیده پیشنهاد شد: یک رویکرد تجزیه سریع بندرز به عنوان یک روش حل دقیق و یک الگوریتم ریاضی که بر یک دستور کار اصلاح و بهینه‌سازی پیشرفته تأکید دارد.

با مشاهده **جدول شماره ۱**، واضح است مدل‌سازی مسئله تور پوششی ۲ سطحی در شرایط امدادرسانی، امدادرسانی در دو سطح و بهصورت همزمان به نقاط حادثه‌دیده، در نظر گرفتن شعاع پوششی متقاول با توجه به امکانات موجود در پایگاه‌ها، طراحی الگوریتم فراتکاری زنگیک برای حل این مسئله در اندازه‌های واقعی و در نظر گرفتن چند وسیله نقلیه در سطح اول و دوم در صورت لزوم از نکاتی هستند که تاکنون مورد مطالعه

اول در پایگاه اصلی موجودند. هر وسیله نقلیه سطح اولی یک زیرمجموعه از پایگاههای امداد را می‌پیماید و سپس به پایگاه مرکزی بر می‌گردد. به محض رسیدن وسیله نقلیه سطح اول به پایگاههای امداد و تأمین شدن مقدار تقاضای تخصیص یافته به آن پایگاه، وسیله نقلیه سطح دوم از آن پایگاه حرکت خود را آغاز می‌کند. مسیری را که برای ارائه خدمت و توزیع مواد امدادی به افراد حادثه‌دیده در نظر گرفته شده است را می‌پیماید و سپس به همان پایگاه بر می‌گردد. در این مسئله وسایل نقلیه سطح اول ظرفیت بیشتری نسبت به وسایل نقلیه سطح دوم دارند. هر پایگاه امداد بروایشده باید دقیقاً توسط یک وسیله نقلیه سطح اول بازدید شود. به طور مشابه هر نقطه متقارنی دریافت خدمات امداد باید دقیقاً توسط یک وسیله نقلیه سطح دوم خدمات رسانی شود. بنابراین باید مقدار تقاضای امدادی هر نقطه حادثه‌دیده، کوچک‌تر از ظرفیت هر یک از وسایل نقلیه سطح دوم باشد.

با توجه به توضیحات بیان شده می‌توان نتیجه گرفت مسئله موردبررسی در این تحقیق، تعیینی از مساله تور پوششی<sup>۳۳</sup> و مسئله مسیریابی مکان‌یابی ۲ سطحی<sup>۳۴</sup> در شرایط امدادرسانی است به همین علت این مسئله با عنوان مسئله مسیریابی - مکان‌یابی تور پوششی ۲ سطحی<sup>۳۵</sup> در شرایط امدادرسانی نام‌گذاری می‌شود که به اختصار در این مقاله مسئله تور پوششی دو سطحی نامیده می‌شود. نوآوری‌های تحقیق حاضر را می‌توان در موارد زیر دانست:

#### مدل‌سازی مسئله تور پوششی دو سطحی در شرایط

امدادرسانی در سطح دوم با توجه به امکانات آن سطح، صرفاً به نقاط آسیب دیده‌ای امکان پذیر است که در فاصله کمتری از یک شعاع معین نسبت به پایگاه مرکزی به شهرها و سپس از در این مقاله امدادرسانی از پایگاه مرکزی به شهرها و سپس از شهرها به روستاهای حادثه‌دیده در دو سطح و به صورت همزمان انجام می‌گیرد. به این صورت که در سطح اول پایگاههای امداد شهری برپا و تجهیز می‌شوند، به محض تجهیز شدن این پایگاه‌ها، امدادرسانی از آن‌ها به روستاهای حادثه‌دیده‌ای که تحت پوشش آن‌ها هستند و به آن‌ها تخصیص یافته‌اند توسط وسایل نقلیه امدادی مستقر در آن‌ها صورت می‌گیرد. این کار باعث می‌شود که تورها به طور همزمان در دو سطح تشکیل شوند و امدادرسانی با سرعت بیشتری انجام گیرد.

پایگاه مرکزی موجود در این مسئله دلایل امکاناتی نظیر وسایل حمل و نقل جهت امدادرسانی و مواد موردنیاز افراد حادثه‌دیده است. فاصله پوششی شهرها با یکدیگر متفاوت است و هر شهر فقط می‌تواند به روستاهایی که در فاصله پوششی آن شهر قرار دارند، امدادرسانی کند. هدف این مقاله تعیین مجموعه‌ای بهینه از پایگاههای امداد جهت استقرار تیم‌های امدادرسان و تجهیز آن‌ها توسط پایگاه امداد مرکزی، مسیریابی بهینه این تیم‌ها از پایگاه مرکزی به پایگاههای امداد بروایشده و سپس از این پایگاه‌ها به روستاهای حادثه‌دیده است. به طوری که نیاز امداد تمامی نقاط حادثه‌دیده برآورده شود و هزینه کل که شامل مجموع هزینه برپاشدن پایگاههای امداد و هزینه‌های حمل و نقل هستند، حداقل شود.

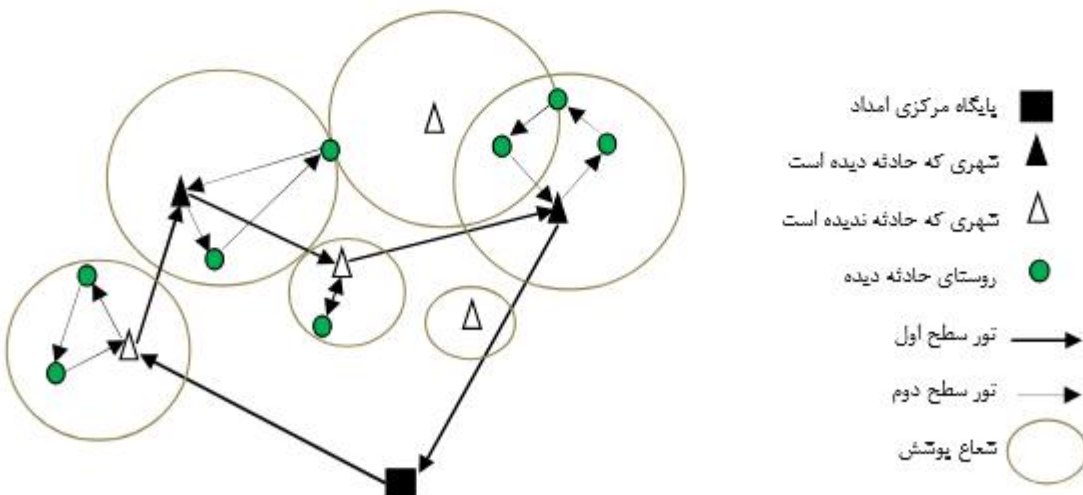
این مسئله دلایل دو سطح است: سطح اول شامل پایگاه اصلی و پایگاههای امداد بروایشده و سطح دوم شامل این پایگاه‌ها و نقاط حادثه‌دیده است. در هر سطح، یک تاوگان از وسایل نقلیه مشابه با ظرفیت‌های یکسان و معین وجود دارد. وسایل حمل و نقل سطح

23. Covering Tour Problem (CTP)

24. Two-Echelon Location Routing Problem (2E-LRP)

25. Two-Echelon Relief Covering Tour Location Routing Problem (2E-RCTLRP)

23. Roulette Wheel



تصویر ۱. یک راه حل شدنی برای مسئله یا مشخصات  $|crs|=1$ ,  $|RS|=6$ ,  $|T|=3$ ,  $|D|=8$

1.

$$(A_1 = \{(v_i, v_j) : v_i, v_j \in RS \cup \{crs\}, i < j\})$$

امدادرسانی در سطح دوم با توجه به امکانات آن سطح، صرفاً به نقاط آسیب‌دیده‌ای امکان‌پذیر است که در فاصله کمتری از یک شعاع معین نسبت به پایگاه امداد متناظر قرار داشته باشدند (فرمول شماره ۲).

2.

$$(A_2 = \{(v_i, v_j) : v_i, v_j \in RS \cup D, i < j\})$$

هدف از این مسئله، کمینه کردن هزینه‌های مربوطه، تعیین مکان‌های مناسب احداث پایگاه‌های امداد، تعیین و برنامه‌ریزی تورهای وسائل نقلیه در هر سطح است. به طوری که همه تقاضاهای برآورده شوند. در این مقاله فرض شده است که پایگاه مرکزی امداد و پایگاه‌های امداد برپاشده می‌توانند کل مقدار تقاضا را برآورده کنند. یک راه حل شدنی شامل زیرمجموعه‌ای از پایگاه‌های امداد برپاشده و یک زیرمجموعه از مسیرهای سطح اول و دوم است. در ضمن محدودیت‌های زیر باید اعمال شوند:

هر نقطه حادثه‌دیده باید توسط تنها یک وسیله نقلیه سطح دوم خدمت‌رسانی شود و هر مرکز پایگاه امداد برپاشده باید تنها توسط یک وسیله نقلیه سطح اول تأمین شود. کل مقدار کالای تحویل شده توسط یک وسیله نقلیه نمی‌تواند از ظرفیت آن وسیله تجاوز کند. هر مسیر سطح دوم باید از یک پایگاه امداد برپاشده شروع شده و در همان پایگاه پایان یابد. کل مقدار کالای دریافت‌شده توسط یک پایگاه امداد باید به طور کامل به مقاضیان تحويل داده شود (ذخیره‌سازی مجاز نیست). تابع هدف که کل هزینه سیستم است و شامل هزینه استقرار پایگاه‌های امداد، هزینه‌های ثابت وسائل نقلیه استفاده شده و هزینه‌های مسیرهای سطح اول و سطح دوم، باید حداقل شود. برای بیان مدل سازی ریاضی برنامه‌ریزی عدد صحیح مختلط مسئله مورد تحقیق، ابتدا نمادها و پارامترهای به کار رفته در مدل ریاضی تشریح می‌شوند. سپس با افزودن ملاحظات مربوط به محدودیت‌های پوشش به مسئله مسیریابی - مکان‌بایی ۲ سطحی ارائه شده توسط نگوین و همکاران (۲۰۱۲ ب) مسئله مورد تحقیق مدل سازی می‌شود.

#### مجموعه‌های مسئله

$$V \text{ مجموعه کل رئوس برابر با } RS \cup D \cup \{crs\}$$

$$RS \text{ مجموعه کل شهرها}$$

$$D \text{ مجموعه روستاهای حادثه‌دیده}$$

$$T \text{ مجموعه شهرهای حادثه‌دیده}$$

$$A_1 \text{ مجموعه مسیرهای سطح اول}$$

$$A_2 \text{ مجموعه مسیرهای سطح دوم}$$

امدادرسانی، امدادرسانی در دو سطح و به صورت همزمان به نقاط حادثه‌دیده، در نظر گرفتن شعاع پوششی متفاوت با توجه به امکانات موجود در پایگاه‌ها، طراحی الگوریتم فرالبتکاری ژنتیک برای حل این مسئله در اندازه‌های واقعی و تحلیل حساسیت آن.

**تصویر شماره ۱** راه حلی شدنی را برای یک مثال (مثال ۴ جدول شماره ۷) از مسئله موردبررسی در این تحقیق نشان می‌دهد. این مثال شامل ۱۵ رأس است که از این ۱۵ رأس، یک پایگاه امداد مرکزی (crs)، ۶ شهر (RS) که از این شهرها، ۲ شهر باید در تور قرار گیرند و ۴ شهر دیگر می‌توانند در تور واقع شوند. همچنین ۸ نقطه حادثه‌دیده وجود دارد (D). همه نقاط حادثه‌دیده از طریق پایگاه‌های امداد برپاشده در شهرهای قرار گرفته در تور امدادرسانی شده‌اند. همچنین در این شکل نحوه امدادرسانی از پایگاه اصلی به پایگاه‌ها به نقاط حادثه‌دیده در سطح دوم به ترتیب و به طور همزمان نمایش داده شده‌اند.

مسئله تور پوششی دو سطحی در شرایط امدادرسانی بر روی گراف کامل  $G=(V,E)$  که در آن  $V$  برابر با  $RS \cup D \cup \{crs\}$  مجموعه یال‌هاست، تعریف می‌شود.  $RS$  مجموعه پایگاه‌های امدادرسان شهری است که به ۲ دسته تقسیم می‌شود: دسته اول شامل آن دسته از پایگاه‌ها است که لزوماً باید برپا شوند و دسته دوم شامل پایگاه‌هایی است که می‌توانند جهت امدادرسانی به نقاط حادثه‌دیده، برپا شوند. رأس  $crs$  بیانگر پایگاه مرکزی امدادرسانی است، باید در تور قرار گیرد و بنابراین به مجموعه  $T$  تعلق دارد ( $crs \in T$ ). مجموعه  $T$  شامل برخی از رئوس مجموعه  $RS$  و پایگاه مرکزی است. بنابراین داریم  $T \subseteq RS \cup \{crs\}$ . مجموعه  $D$  شامل نقاط حادثه‌دیده‌ای است که باید توسط پایگاه‌های امداد برپاشده امدادرسانی شوند.

توجه شود که هر نقطه حادثه‌دیده فقط می‌تواند توسط پایگاه‌هایی امدادرسانی شود که در فاصله پوششی آن قرار داشته باشند. این فاصله پوششی برای رئوس مجموعه  $RS$  با توجه به میزان امکانات موجود در آن‌ها متفاوت است. در این مسئله مجموعه‌ای از مقاضیان دریافت امداد (نقاط حادثه‌دیده)، مجموعه‌ای از نقاط (شهرهای حادثه‌دیده) که باید در آن‌ها پایگاه امداد برپا شود و مجموعه‌ای از نقاط (شهرهای آسیب‌نديده) که می‌توان در آن‌ها پایگاه‌های امدادرسانی برپا کرد، وجود دارد. مقدار تقاضای نقاط آسیب‌دیده و ظرفیت پایگاه‌ها از ابتدا مشخص هستند. وسائل حمل و نقل کالا در هر سطح، مشابه و دارای ظرفیتی یکسان هستند. همچنین این مسئله شامل ۲ مجموعه از مسیرهای وسائل حمل و نقل نیز هست. مسیرهای سطح اول بر روی مجموعه  $RS$  تعریف می‌شوند به این صورت که در شهرهای مجموعه  $T$  حتماً باید پایگاه‌های امداد برپا شوند و در بقیه شهرها می‌توان پایگاه‌های امداد جهت خدمت‌رسانی به نقاط حادثه‌دیده برپا کرد (فرمول شماره ۱).



4.

$$\begin{aligned} \text{Min } & \sum_{s \in RS} o_s z_s + \sum_{k \in K} \sum_{s \in RS} F x_{cts,s}^k + \\ & \sum_{k \in K} \sum_{s \in RS} F x_{s,cts}^k + \sum_{k \in K} \sum_{s \in RS} \sum_{j \in RS} F \cdot \end{aligned}$$

$$\sum_{i \in RS \cup D} \sum_{d \in D} G y_{id}^l + \sum_{i \in L} \sum_{d \in D} \sum_{j \in D} G y_{ij}^l + \sum_{i \in R} \sum_{\{j, l\} \in A_i} c_{ij} x_{ij}^l + \sum_{i \in L} \sum_{\{j, l\} \in A_i} c_{lj} y_{ij}^l$$

Subject to:

5.

$$\sum_{i \in RS \cup D} \sum_{d \in D} y_{id}^l = 1, \quad \forall d \in D$$

6.

$$\sum_{j \in RS \cup D} y_{ji}^l = \sum_{j \in RS \cup D} y_{lj}^l, \quad \forall i \in RS \cup D, l \in L$$

7.

$$\sum_{s \in RS} \sum_{d \in D} y_{sd}^l \leq 1, \quad \forall l \in L$$

8.

$$\sum_{i \in D} \sum_{j \in RS \cup D} d_i y_{ij}^l \leq R, \quad \forall l \in L$$

9.

$$\sum_{i \in D} \sum_{j \in D} y_{ij}^l \leq |\bar{D}| - 1, \quad \forall l \in L, \bar{D} \subseteq D, |\bar{D}| \geq 2$$

10.

$$\sum_{i \in D} y_{ni}^l + \sum_{j \in RS \cup D} y_{ij}^l \leq 1 + u_{sj}, \quad \forall s \in RS, j \in D, l \in L$$

11.

$$\sum_{s \in RS} u_{sj} = 1, \quad \forall j \in D$$

12.

$$\sum_{i \in D} d_i u_{si} \leq A_s z_s, \quad \forall s \in RS$$

13.

$$\sum_{i \in RS \cup D} \sum_{k \in K} x_{ik}^k = z_s, \quad \forall s \in RS$$

14.

$$\sum_{j \in RS \cup D} x_{ji}^k = \sum_{j \in RS \cup D} x_{lj}^k, \quad \forall k \in K, i \in RS \cup D$$

15.

$$\sum_{i \in RS} \sum_{j \in RS} x_{ij}^k \leq |RS| - 1, \quad \forall k \in K, RS \subseteq RS, |RS| \geq 2$$

مجموعه وسائل نقلیه سطح اول  $K$ مجموعه وسائل نقلیه سطح دوم  $L$ 

3.

$$S_i = \{s \in RS | dis_{si} \leq r_s\}$$

فرمول شماره ۳ حاوی رئوی از مجموعه  $RS$  است که می‌توانند برای پوشش رأس  $i \in D$  در فاصله پوششی  $r_s$  استفاده شوند.

پارامترهای مسئله

 $O_s$  هزینه برپا شدن پایگاه امداد $A_s$  ظرفیت پایگاه امداد $d_j$  مقدار تقاضای امدادی روستای  $j$  $Q$  ظرفیت وسائل نقلیه سطح اول $R$  ظرفیت وسائل نقلیه سطح دوم $F$  هزینه ثابت استفاده از وسائل نقلیه سطح اول $G$  هزینه ثابت استفاده از وسائل نقلیه سطح دوم $r_s$  شعاع پوششی پایگاه امداد $dis_{sd}$  فاصله نقطه  $d \in D$  و  $s \in RS$  $c_{ij}$  هزینه طی مسافت از گره  $i$  به گره  $j$ 

متغیرهای مسئله

اگر وسیله نقلیه سطح اول  $k$  کمان  $(i, j)$  را پیموده باشد و در غیر این صورت صفر است.

اگر وسیله نقلیه سطح دوم  $l$  کمان  $(i, j)$  را پیموده باشد و در غیر این صورت صفر است.

اگر پایگاه امداد  $s \in RS$  برپا شده باشد و در غیر این صورت صفر است.

$u_{sd}$  اگر پایگاه امداد  $s \in RS$  به نقطه  $d \in D$  خدمت‌رسانی کرده باشد ۱ و در غیر این صورت صفر است.

متغیر نامتفقی  $b_s^k$  مقدار کالای تحویل داده شده به پایگاه امداد  $s \in RS$  توسط وسیله نقلیه  $K$  را نشان می‌دهد.

باتوجه به موارد ذکر شده، مدل برنامه‌ریزی عدد صحیح مختلط مسئله تور پوششی دو سطحی در شرایط امدادرسانی به صورت فرمول‌های شماره ۴، ۵، ۶، ۷، ۸، ۹، ۱۰، ۱۱، ۱۲، ۱۳، ۱۴، ۱۵، ۱۶، ۱۷، ۱۸، ۱۹، ۲۰، ۲۱، ۲۲، ۲۳، ۲۴، ۲۵، ۲۶ و ۲۷ ارائه می‌شود.



وجود داشته باشد که پایگاه امداد  $s$  را ترک کرده و به نقطه حادثه‌دیده  $j$  رسیده باشد. همچنین  $u_{sj}$  می‌تواند مساوی ۱ باشد حتی اگر هیچ وسیله نقلیه‌ای از  $s$  به  $j$  نرفته باشد. محدودیت ۸ درای تخصیص هر نقطه حادثه‌دیده به ۱ پایگاه امداد به کار می‌رود. محدودیت ۹ بیان می‌دارد اگر پایگاه امداد  $s$  برای نشده باشد آن گاه هیچ نقطه حادثه‌دیده‌ای، به آن تخصیص نمی‌باید و در غیر این صورت اگر پایگاه امداد  $s$  برای شده باشد، آن گاه کل تقاضای تخصیص یافته به آن نمی‌تواند از ظرفیتش تجاوز کند.

محدودیت‌های ۱۰ تا ۱۷ مربوط به سطح اول هستند. محدودیت ۱۰ بیان می‌دارد که هر پایگاه امداد برپاشده باید توسط ۱ وسیله نقلیه سطح اول بازدید شود. محدودیت ۱۱ یک سفر پیوسته را برای هر وسیله نقلیه به کار گرفته شده در سطح اول تضمین می‌کند. محدودیت ۱۲ مربوط به حذف زیرتورها است. محدودیت ۱۳ مقدار جریان را در هر پایگاه امداد  $s$  نشان می‌دهد به این صورت که کل مقدار کالای آورده شده به پایگاه امداد  $s$  توسط وسائل نقلیه سطح اول باید با کل تقاضای تخصیص یافته به این پایگاه امداد برابر باشد (ذخیره‌سازی مجاز نیست). محدودیت ۱۴ مربوط به ظرفیت وسائل نقلیه سطح اول است. محدودیت ۱۵ بیان می‌دارد اگر وسیله نقلیه  $k$  پایگاه امداد  $s$  را بازدید نکرده باشد، مقدار کالای ارائه شده توسط وسیله نقلیه  $k$  به پایگاه امداد  $s$  باید صفر باشد. محدودیت ۱۶ تضمین می‌کند هر نقطه حادثه‌دیده فقط به ۱ پایگاه‌های امدادی که در فاصله پوششی آن قرار دارد تخصیص باید. محدودیت ۱۷ تضمین می‌کند در نقاط مجموعه  $T$  حتماً باید پایگاه امداد برپا شود. محدودیت‌های ۱۸ تا ۲۳ متغیرهای تصمیم مسئله را تعریف می‌کنند.

#### روشن حل مسئله

برای حل این مسئله از روش‌های دقیق و فرآیندکاری در این مقاله استفاده شده است. این مسئله یک مسئله Np-hard می‌باشد، زیرا تعمیمی از مسائل شناخته شده Np-hard مانند مسئله مسیر یا میان‌مکان یا ۲ سطحی (2E-LRP) تعریف شده در مقاله (تگوبین، پرینس و پرودون، ۱۲۰۰، ۱۲۰۰) و مسئله تور پوششی بیان شده در مقاله (زندر و همکاران، ۱۹۹۷) است. در ابتدا مسئله در بعد کوچک توسط نرم‌افزار بهینه‌سازی Gams به صورت دقیق حل می‌شود. از آنجایی که این مسئله در حوزه مسائل Np-hard قرار دارد و با بزرگتر شدن ابعاد مسئله، روش‌های دقیق قادر به حل آن‌ها در یک زمان منطقی و قابل قبول نیستند، برای ابعاد بزرگتر مسئله از روش فرآیندکاری الگوریتم ژنتیک استفاده می‌شود. به این صورت مسئله مذکور در نرم‌افزار متلب<sup>۲۰</sup> کدنویسی شده و سپس حل شده است. با مقایسه جواب‌ها بعد از حل مسئله در ابعاد کوچک، با استفاده از هر دو روش دقیق و فرآیندکاری مشاهده می‌شود جواب‌ها کاملاً یکسان هستند. بنابراین عملکرد الگوریتم

$$16. \sum_{k \in K} b_s^k = \sum_{i \in D} d_i u_{si}, \quad \forall s \in RS$$

$$17. \sum_{s \in RS} b_s^k \leq Q, \quad \forall k \in K$$

$$18. b_s^k \leq Q \times \sum_{i \in R \setminus \{l, r\}} x_{zi}^k, \quad \forall s \in RS, k \in K$$

$$19. \sum_{z \in S_i} u_{zi} = 1, \quad \forall i \in D, S_i = \{s \in RS | d_{zi} \leq r_i\}$$

$$20. z_s = 1, \quad \forall s \in T$$

$$21. x_{ij}^k \in \{0, 1\}, \quad \forall (i, j) \in A_1, k \in K$$

$$22. y_{lj}^k \in \{0, 1\}, \quad \forall (i, j) \in A_2, l \in L$$

$$23. z_s \in \{0, 1\}, \quad \forall s \in RS$$

$$24. z_s = 1, \quad \forall s \in T$$

$$25. u_{si} \in \{0, 1\}, \quad \forall s \in RS, i \in D$$

$$26. b_s^k \geq 0, \quad \forall s \in RS, k \in K$$

تابع هدف ۱ شامل هزینه‌های پرپایی پایگاه‌های امداد، هزینه‌های استفاده از وسائل نقلیه سطح اول و دوم و دوم و هزینه‌های مسیر یا میان‌مکان یا ۲ سطحی است. محدودیت‌های ۲ تا ۹ مربوط به سطح دوم است. محدودیت ۲ تضمین می‌کند که تمام نقاط حادثه‌دیده بازدید شوند. محدودیت ۳ تضمین می‌کند یک وسیله نقلیه سطح دوم به پایگاه امداد اولیه‌اش برگردد. در محدودیت ۴، هر وسیله نقلیه سطح دومی حداقل از یک پایگاه امداد حرکت می‌کند. محدودیت ۵ مربوط به ظرفیت وسائل نقلیه سطح دوم است. محدودیت ۶ مربوط به حذف زیرتورها است. محدودیت ۷ تضمین می‌کند پایگاه امداد  $s$  به نقطه حادثه‌دیده  $j$  خدمت‌رسانی می‌کند ( $u_{sj} = 1$ ). اگر یک وسیله نقلیه  $L$



جدول ۲. یک راه حل لینتلی و نشدنی برای مسئله

شهر	گره ۱	گره ۲	گره ۳	گره ۴	گره ۵
۱	۲	۸	۹	۱۰	۲
۲	۳	۱۱	۳		
۳	۴	۱۳	۱۴	۴	۴
۴	۵	۱۲	۱۵	۶	
۵	۶	۱۲	۱۵	۶	۷
۶	۷	۹	۱۰	۱۵	۷

جدول ۲. نحوه تشکیل یک راه حل شدنی برای مسئله

شهر	گره ۱	گره ۲	گره ۳	گره ۴	گره ۵
۱	۲	۸	۹	۱۰	۲
۲	۳	۱۱	۳		
۳	۴	۱۳	۱۴	۴	۴
۴	۵	۱۲	۱۵	۶	
۵	۶	۱۲	۱۵	۶	۷
۶	۷	۹	۱۰	۱۵	۷
شهر	گره ۱	گره ۲	گره ۳	گره ۴	گره ۵
۱	۲	۸	۹	۲	۲
۲	۳	۱۱	۱۱	۳	۳
۳	۴	۱۳	۱۳	۴	۴
۴	۵	۱۲	۱۲	۵	۵
۵	۶	۱۲	۱۵	۶	۶
۶	۷	۹	۱۰	۱۰	۷
شهر	گره ۱	گره ۲	گره ۳	گره ۴	گره ۵
۱	۲	۸	۹	۲	۲
۲	۳	۱۱	۱۱	۳	۳
۳	۴	۱۳	۱۴	۴	۴
۴	۵	۱۲	۱۵	۵	۵
۵	۶	۱۲	۱۵	۶	۶
۶	۷	۹	۱۰	۱۰	۷



جدول ۴. ولد اول

شهر	گره ۱	گره ۲	گره ۳	گره ۴
۱	۶	۱۲	۶	۶
۲	۴	۱۳	۱۴	۴
۳	۲	۸	۹	۲
۴	۷	۱۰	۱۵	۷
۵	۳	۱۱	۳	۳

جدول ۵. ولد دوم

شهر	گره ۱	گره ۲	گره ۳	گره ۴
۱	۲	۸	۲	۲
۲	۳	۱۱	۱۱	۳
۳	۴	۱۳	۱۴	۴
۴	۶	۱۲	۱۵	۶
۵	۷	۹	۱۰	۷

سطرهای این ماتریس برابر با تعداد شهرها و تعداد رستونهای این ماتریس برابر با حداقل تعداد رستاهای تخصیص داده شده به یک شهر است. بنابراین ماتریس Subtours به این صورت ساخته می‌شود: در ابتداء عنصر اول هر سطر از ماتریس برابر با شماره ۱ شهر قرار می‌گیرد و سپس رستاهای با توجه به شاع پوشش شهرها به آن‌ها تخصیص می‌یابند:

27.

$$\forall i \in N_{RS}, j \in N_D; \text{ If } dis(RS_i, D_j) \leq r_i \Rightarrow$$

$$Subtours(i, t) = D_j; \quad t = 2, 3, \dots$$

سپس در انتهای هر سطر از ماتریس Subtours شهری که در ابتدای آن سطر قرار گرفته بود، قرار داده می‌شود. به عنوان مثال، ماتریس Subtours می‌تواند به صورت جدول شماره ۲ باشد.

در واقع ماتریس Subtours شامل زیرتورهای مسئله است که از هر پایگاه امداد شروع شده و در همان پایگاه خاتمه می‌یابند. ماتریس Subtours باید دارای ۲ ویزگی باشد: اولاً تمامی رستاهای در این ماتریس وجود داشته باشند و ثانیاً هر رستا فقط ۱ بار ظاهر شده باشد. شرط اول بیان می‌کند که تمامی رستاهای توسط شهرها پوشش یافته‌اند و شرط دوم بیانگر آن است که هر رستا فقط به یک شهر تخصیص یافته باشد. در ماتریس مذکور شرط اول برقرار است، اما در مورد شرط دوم باید گفت رستاهای ۹ و

زنگنه مورد تأیید و قابل استفاده برای مثال‌های در ابعاد بزرگ است.

الگوریتم زنگنه می‌باشد برای حل مسئله

نمایش جواب و تولید جواب شدنی

برای مسئله مورد بررسی در این تحقیق یک جواب شدنی، شامل مکان‌یابی پایگاه‌های امدادرسانی و مسیریابی وسائل حمل و نقل در دو سطح است. در سطح اول مسئله، پایگاه‌های امداد برپا شده در شهرها توسط پایگاه مرکزی امداد و بهوسیله وسائل نقلیه مستقر در این پایگاه تأمین می‌شوند. در سطح دوم، رستاهای بحران‌زده تخصیص یافته به هر پایگاه امداد، توسط وسائل نقلیه مستقر در آن پایگاه‌ها امدادرسانی می‌شوند. برای توضیح بیشتر، روند الگوریتم زنگنه برای مثال ۴ جدول شماره ۲ تشریح می‌شود. این مثال شامل ۱۵ رأس است که از این ۱۵ رأس، ۱ رأس مربوط به پایگاه امداد مرکزی، ۶ رأس نشان‌دهنده شهرها ( $|RS| = 6$ ) و ۸ رأس مربوط به نقاط حادثه‌دیده (\_RSTها) ( $|D| = 8$ ). از مجموع ۶ شهر، شهرهای ۲ و ۶ باید هستند ( $|T| = 3$ ). در تور قرار گیرند و ۴ شهر دیگر می‌توانند جهت امدادرسانی به رستاهای در تور قرار گیرند. بنابراین با توجه به اینکه پایگاه مرکزی امداد نیز در تور سطح اول قرار می‌گیرد، ۳ رأس باید در تور قرار گیرد ( $|T| = 3$ ). ماتریس Subtours را در نظر بگیرید: تعداد

Newtour1=1-6-12-6-4-13-4-2-8-2-7-9-10-15-7-3-11-3-1

Newtour2=1-2-8-9-2-3-11-3-4-13-4-4-6-12-15-6-7-10-7-1

حال تورهای فرزند به وجود آمده قطعاً شدنی نیز هستند. برای تسريع در رسیدن به بهترین تور، می‌توان از عملگر ۲ نقطه‌ای یا چند نقطه‌ای نیز استفاده کرد. به این صورت که به جای انتخاب ۱ شهر، ۲ یا چند شهر به طور تصادفی انتخاب شوند و جای زیرتورهای مرتبط با آن‌ها در تورهای والد عوض شود.

#### عملگر جهش

بعد از اجرای عملگر تقاطع بر روی تورهای قدیم و به وجود آوردن تورهای جدید، استفاده از عملگر جهش بر روی تورهای جدید و به دست آوردن تورهای جهش یافته جهت رسیدن به بهترین تورها، لازم به نظر می‌آید. برای این کار، یک یا چند پایگاه امداد مستقر در تور جدید به تصادف انتخاب می‌شود و سپس ترتیب قرار گرفتن روزتاهای در آن زیرتور به طور تصادفی تعییر می‌یابد. به عنوان مثال، فرض کنید برای Newtour1 عدددهای تصادفی تولید شده ۲ و ۴ باشند، تور جهش یافته فرض کنید ۲ والد به صورت زیر باشد:

Newtour 1=1-2-8-9-2-3-11-3-4-13-14-4-6-12-15-6-7-10-7-1

Mutatedtour= 1-2-9-8-2-3-11-3-4-14-13-4-6-12-15-6-7-10-7-1

#### عملگر انتخاب

برای تولید نسل جدید از عملگر انتخاب استفاده می‌شود. نسل جدید در این مسئله شامل تعدادی از تورهای برتر نسل قبل، تورهای جدید تولید شده و تورهای جهش یافته است. این عمل با استفاده از عملگر چرخ رولت<sup>۷</sup> صورت می‌پذیرد. درصد مربوط به هر قسمت با توجه به طراحی آزمایش‌ها برای هر مثال به دست آمده است. مثلاً برای مثال ۴، ۶۰ درصد جمعیت نسل جدید از عملگر تقاطع، ۲۰ درصد از عملگر جهش و ۲۰ درصد بقیه نیز از جمعیت برتر نسل قبل به وجود آمداند.

شبکه کد الگوریتم ژنتیک استفاده شده در این مقاله به صورت زیر است:

- پارامترهای اولیه الگوریتم را تعیین کنید.

- جمعیت اولیه از تورها را به صورت تصادفی تولید کنید.

- مقدار تابع هدف برای هر یک از تورها را محاسبه کنید.

۱۰ و ۱۵ به ۲ شهر تخصیص یافته‌اند، بنابراین برای شدنی بودن مسئله، به طور تصادفی در ماتریس مذکور روزتاهای تکراری حذف می‌شوند تا زمانی که شرط دوم برقرار شود و هر روزتا فقط به ۱ شهر تخصیص داده شده باشد. بنابراین ماتریس Subtours می‌تواند به صورت جدول شماره ۳ باشد.

در ادامه شهرهایی که جزو مجموعه  $\mathbb{N}$  نیستند و روزتایی نیز به آن‌ها تخصیص نیافته است حذف می‌شوند. به این ترتیب شهر ۵ نیز در تور قرار نمی‌گیرد و از ماتریس Subtours حذف می‌شود. در ادامه تور موردنظر با قرار دادن سطرهای ماتریس Subtours پشت سر هم و افزودن پایگاه امداد مرکزی (عدد شماره ۱) در ابتدا و انتهای آن ساخته می‌شود. بنابراین یک راه حل شدنی اولیه برای این مثال به صورت زیراست:

Tour=1-2-8-2-3-11-3-4-13-14-4-6-12-15-6-7-9-10-7-1

#### عملگر تقاطع

از این عملگر برای جستجوی محلی در فضای پاسخ استفاده می‌شود و دلایل انواع مختلفی، مانند ۱ نقطه‌ای، ۲ نقطه‌ای، چند نقطه‌ای و غیره است. در این مقاله به منظور تولید ۲ مسیر جدید از ۲ مسیر اولیه از عملگر ۱ نقطه‌ای استفاده شده است. فرض کنید ۲ والد به صورت جدول شماره ۴ و ۵ داشته باشیم.

والد اول با Oldtour 1 و والد دوم با Oldtour 2 نام‌گذاری می‌شوند، بنابراین داریم:

Oldtour1= 1-6-12-6-4-13-14-4-2-8-9-2-7-10-15-7-3-11-3-1

Oldtour2=1-2-8-2-3-11-3-4-13-14-4-6-12-15-6-7-9-10-7-1

حال عددی از بین پایگاه‌های امداد مستقر در شهرها که در هر دو تور وجود داشته باشد به تصادف انتخاب می‌شود. این عدد همان Crosspoint=2 است. فرض کنید انتخاب شده باشد. برای به وجود آوردن تورهای جدید (فرزندها) با استفاده از تورهای قدیم (والدها)، جای زیرتورهایی که با شهر شماره ۲ شروع می‌شود، در تورهای قدیم با هم عوض می‌شوند و تورهای جدید با توجه به فاصله پوششی شهرها و اینکه همه روزتاهای باید در تور وجود داشته باشند و هر روزتا نیز فقط ۱ بار در تور وجود داشته باشد، به وجود می‌آیند. بنابراین با توجه به جایه‌جایی زیرتورها در تورهای جدید، در تور جدید اول، به علت تکراری بودن روزتای ۹، این روزتا حذف شده و در تور جدید دوم، با توجه به فاصله پوششی شهر ۷ و اینکه روزتای ۹ می‌تواند به این شهر تخصیص یابد، این روزتا اضافه شده است. فرزند اول با Newtour1 و فرزند دوم با Newtour2 نام‌گذاری می‌شوند:

جدول ۶ نتایج طرح آزمایش تاکوجی برای پارامترهای الگوریتم رتیک مثال ۱۰ از جدول ۷ در مسئله تور یوشی ۲ سطحی

میانگین	تکرار ۹	تکرار ۸	تکرار ۷	تکرار ۶	تکرار ۵	تکرار ۴	تکرار ۳	تکرار ۲	تکرار ۱	طرح آزمایش	شماره طرح
۳۹۲/۵۹۲۸	۳۹۲/۹۲۲	۳۹۲/۹۲۲	۳۹۲/۹۲۲	۳۹۲/۹۲۲	۳۹۲/۹۲۲	۳۹۲/۹۲۲	۳۹۲/۹۲۲	۳۹۲/۹۲۲	۳۹۲/۹۲۲	۱-۱-۱-۱	۱
۳۹۲/۹-۰-۱	۳۹۲/۳۰۵	۳۹۲/۳۰۵	۳۹۲/۳۰۵	۳۹۲/۳۰۵	۳۹۲/۳۰۵	۳۹۲/۳۰۵	۳۹۲/۳۰۵	۳۹۲/۳۰۵	۳۹۲/۳۰۵	۱-۲-۲-۲	۲
۳۸۶/۱۲۰	۳۸۶/۱۲۰	۳۸۶/۱۲۰	۳۸۶/۱۲۰	۳۸۶/۱۲۰	۳۸۶/۱۲۰	۳۸۶/۱۲۰	۳۸۶/۱۲۰	۳۸۶/۱۲۰	۳۸۶/۱۲۰	۱-۳-۲-۳	۳
۳۸۶/۱۲۱	۳۸۶/۱۲۱	۳۸۶/۱۲۱	۳۸۶/۱۲۱	۳۸۶/۱۲۱	۳۸۶/۱۲۱	۳۸۶/۱۲۱	۳۸۶/۱۲۱	۳۸۶/۱۲۱	۳۸۶/۱۲۱	۲-۱-۲-۳	۴
۳۸۶/۵۸۷	۳۸۶/۵۸۷	۳۸۶/۵۸۷	۳۸۶/۵۸۷	۳۸۶/۵۸۷	۳۸۶/۵۸۷	۳۸۶/۵۸۷	۳۸۶/۵۸۷	۳۸۶/۵۸۷	۳۸۶/۵۸۷	۲-۲-۳-۱	۵
۳۸۶/۵۱۶	۳۸۶/۵۱۶	۳۸۶/۵۱۶	۳۸۶/۵۱۶	۳۸۶/۵۱۶	۳۸۶/۵۱۶	۳۸۶/۵۱۶	۳۸۶/۵۱۶	۳۸۶/۵۱۶	۳۸۶/۵۱۶	۲-۳-۱-۲	۶
۳۸۶/۸۹۲	۳۸۶/۸۹۲	۳۸۶/۸۹۲	۳۸۶/۸۹۲	۳۸۶/۸۹۲	۳۸۶/۸۹۲	۳۸۶/۸۹۲	۳۸۶/۸۹۲	۳۸۶/۸۹۲	۳۸۶/۸۹۲	۳-۱-۲-۲	۷
۳۸۶/۸۱۰	۳۸۶/۸۱۰	۳۸۶/۸۱۰	۳۸۶/۸۱۰	۳۸۶/۸۱۰	۳۸۶/۸۱۰	۳۸۶/۸۱۰	۳۸۶/۸۱۰	۳۸۶/۸۱۰	۳۸۶/۸۱۰	۳-۲-۱-۳	۸
۳۸۶/۸۰۷	۳۸۶/۸۰۷	۳۸۶/۸۰۷	۳۸۶/۸۰۷	۳۸۶/۸۰۷	۳۸۶/۸۰۷	۳۸۶/۸۰۷	۳۸۶/۸۰۷	۳۸۶/۸۰۷	۳۸۶/۸۰۷	۳-۳-۲-۱	۹

پارامترها روی کیفیت جواب‌ها از طرح آزمایشی تاگوچی استفاده شده است. برای هریک از عوامل ۳ سطح در نظر گرفته شده است. نزخ تقاطع ۰/۱۶، ۰/۸، ۰/۷، نزخ چهش ۰/۱، ۰/۲، ۰/۱۵ و جمعیت ۴۰، ۵۰، ۶۰ و برای حداکثر تکرارها ۴۰۰، ۶۰۰، ۸۰۰ در نظر گرفته شده است. برای حل هریک از مسائل، تنظیم پارامترها انجام گرفته و درنهایت مسئله با الگوریتم تنظیم شده حل شده است. به عنوان نمونه در جدول شماره ۶ برای مثال ۱۰ از جدول شماره ۷، طرح آزمایش تاگوچی دلای ۹ آزمایش بوده که توسط نرمافزار مینی‌تب به دست آمده است. در ستون آخر، جواب الگوریتم ژنتیک به صورت میانگین بعد از ۵ بار تکرار آورده شده است.

با در نظر گرفتن ستون میانگین در نرم افزار مینی تب و با توجه به تصویر شماره ۲، طرح ۱-۲-۳-۳ به عنوان بهترین طرح

سایر ایجاد نسایا تکار کنند.

و-التي تهمها (بنية، والدين) بالتجاهل، كنها

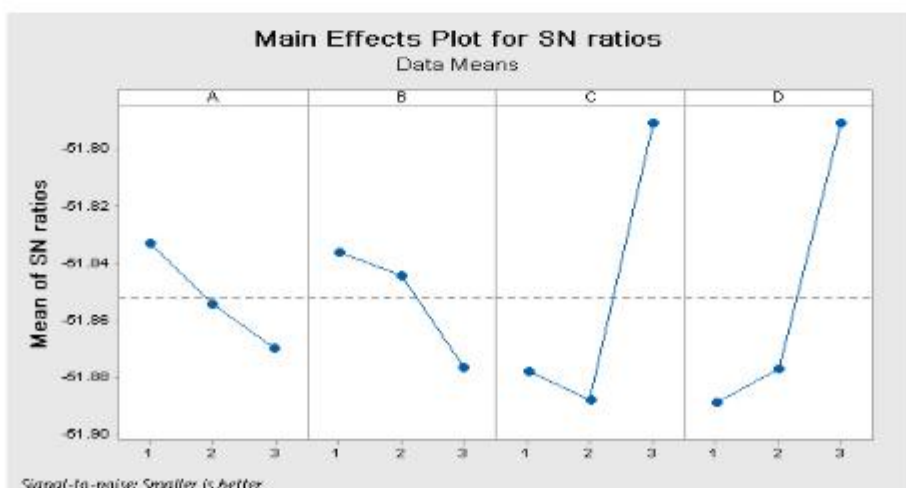
-تورهای جدید را براساس عملگرهای ادغام و جهش تولید کنند.

مقدار تابع هدف برای تورهای جدید را محاسبه کنند.

اعضای نسل جدید را از داخل اعضای نسل قبل و تورهای جدید ایجاد شده انتخاب کنید.

استفاده از طرح آزمایش های تنظیم یا امتی های الگو، یعنی نتیج

پارامترهای الگوریتم زنگیک پیشنهادی برای مسئله تور پوششی ۲ سطحی تعریف شده در این مقاله نرخ جهش، نرخ قطعات، جمعیت و تعداد تکرارها هستند. برای تعیین اثر تغییر این



تصویر ۲. آنالیز مثال ۱: توسط نماینده انتخاب مناسبین، یادهای ها



جدول ۷. حل مثال‌های 2E-RCTLRP با استفاده از نرم‌افزار Gams و الگوریتم زنتیک

Gap	الگوریتم زنتیک			Gams		مشخصات مسئله	مثال‌ها
	زمان (ثانیه)	بین‌ترین مقدار	زمان (ثانیه)	تابع هدف			
.	۰/۰۴	۱۲۳/۰۹۸	۱۳	۱۲۳/۰۹۸	n=10,  RS =3,  T =1,  D =6		۱
.	۰/۱۱	۱۲۸/۱۷۶	۱۰۷	۱۲۸/۱۷۶	n=12,  RS =4,  T =1,  D =7		۲
.	۰/۳	۱۲۹/۵۲۰	۲۵	۱۲۹/۵۲۰	n=13,  RS =5,  T =2,  D =7		۳
.	۰/۴	۱۵۳/۲۲۶	۱۵	۱۵۳/۲۲۶	n=15,  RS =6,  T =3,  D =8		۴
.	۰/۴	۱۵۶/۱۵۶	۱۱۳	۱۵۶/۱۵۶	n=16,  RS =7,  T =4,  D =8		۵
-	۰/۶۵	۱۸۹/۱۷۶	>۱۰۰	-	n=20,  RS =7,  T =4,  D =12		۶
-	۲/۹	۲۱۲/۲۲۰	>۱۰۰	-	n=25,  RS =8,  T =4,  D =16		۷
-	۴/۷	۲۷۵/۲۲۸	>۱۰۰	-	n=35,  RS =8,  T =4,  D =26		۸
-	۶/۵	۳۴۱/۳۵۸	>۱۰۰	-	n=45,  RS =9,  T =4,  D =35		۹
-	۱۱/۲۵	۳۸۳/۹۲۰	>۱۰۰	-	n=55,  RS =10,  T =5,  D =44		۱۰
-	۱۶/۹۵	۴۲۱/۱۶۸	>۱۰۰	-	n=60,  RS =11,  T =5,  D =48		۱۱
-	۲۹/۴۴	۴۸۶/۶۵۹	>۱۰۰	-	n=70,  RS =14,  T =5,  D =55		۱۲
-	۳۶/۴۴	۵۶۲/۲۰۲	>۱۰۰	-	n=80,  RS =17,  T =5,  D =62		۱۳
-	۷۸/۵۵	۶۱۱/۸۰۶	>۱۰۰	-	n=90,  RS =19,  T =5,  D =70		۱۴
-	۱۱۴/۸۹	۶۶۱/۰۴۵	>۱۰۰	-	n=100,  RS =22,  T =5,  D =77		۱۵

گرفته، مثال‌ها حل شده و جوابها به همراه زمان حل آن‌ها آورده شده‌اند. با مقایسه جواب‌های به دست آمده مشاهده می‌شود نتایج حل مسائل با استفاده از الگوریتم زنتیک و نرم‌افزار Gams کاملاً یکسان است و کد نوشته شده برای مسئله با استفاده از الگوریتم زنتیک کارایی لازم را برای حل مثال‌های با ابعاد بزرگ‌تر دارد. از آنجایی که با افزایش ابعاد مسئله، زمان حل آن‌ها در نرم‌افزار Gams بهشت افزایش می‌یابد در ادامه برای حل این مسائل از الگوریتم زنتیک و کدنویسی در نرم‌افزار متلب استفاده شده است. انجام تمامی محاسبات در کامپیوتری با مشخصات CPU: Intel CPU: i5-4200U, 1.6GHz RAM: 4GB و Core i5-4200U, 1.6GHz انجام گرفته است.

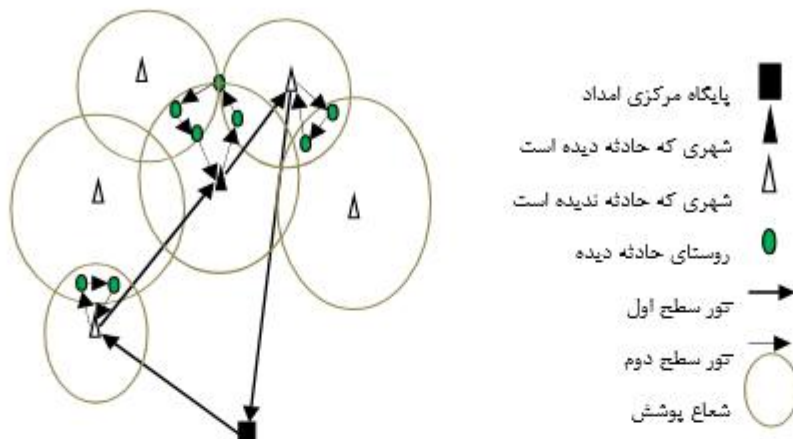
نتایج در **جدول شماره ۷** قابل مشاهده هستند.

در اینجا برای درک بهتر مثال‌ها به تشریح مثال ۴ از **جدول شماره ۷** پرداخته می‌شود. این مثال شامل ۱۵ رأس است که از این ۱۵ رأس، یک رأس مربوط به پایگاه امداد مرکزی، ۶ رأس نشان‌دهنده شهرها ( $|RS| = 6$ ) با شعاع‌های پوشش متفاوت و ۸ رأس مربوط به نقاط حادثه‌دیده (روستاهای) هستند. از مجموع ۶ شهر، ۲ شهر باید در تور قرار گیرند و ۴ شهر دیگر می‌توانند جهت امدادرسانی به روستاهای در تور قرار گیرند. بنابراین با توجه به اینکه پایگاه مرکزی امداد نیز در تور سطح اول قرار می‌گیرد

معرفی می‌شود. یعنی برای مثال ۱۰ نرخ تقاطع ۰/۸، نرخ جهش ۰/۲، تعداد جمعیت ۵۰ و حداکثر تعداد تکرارها برابر ۴۰۰ در نظر گرفته شده است. با وارد کردن اعداد بالا در الگوریتم زنتیک مذکور و بعد از ۱۰ بار اجرا توسط نرم‌افزار متلب، جواب به صورت میانگین برابر ۳۸۳/۹۲۰ شده است. برای تمامی مثال‌ها آزمایش تاگوچی انجام گرفته و مثال‌ها با پارامترهای تنظیم شده حل شده‌اند.

#### مثال‌های عددی

در این بخش ۱۵ مثال در اندازه‌های مختلف برای مسئله تور پوششی ۲ سطحی در شرایط امدادرسانی بررسی و حل شده است. در این مثال‌ها تعداد رئوس از ۱۰ تا ۱۰۰ رأس در نظر گرفته شده است. مجموعه ۵ بیانگر مجموعه شهرها، مجموعه ۷ شامل پایگاه مرکزی به علاوه شهرهایی که باید در تور قرار گیرند و مجموعه  $W$  شامل روستاهای حادثه‌دیده است که باید امدادرسانی شوند. در ابتدا برای ۵ مثال اول کدنویسی در نرم‌افزار Gams انجام گرفته و جوابها به صورت دقیق به همراه زمان حل آن‌ها آورده شده‌اند. در ادامه با استفاده از الگوریتم زنتیک برای ۵ مثال ابتدایی، کدنویسی در نرم‌افزار متلب انجام



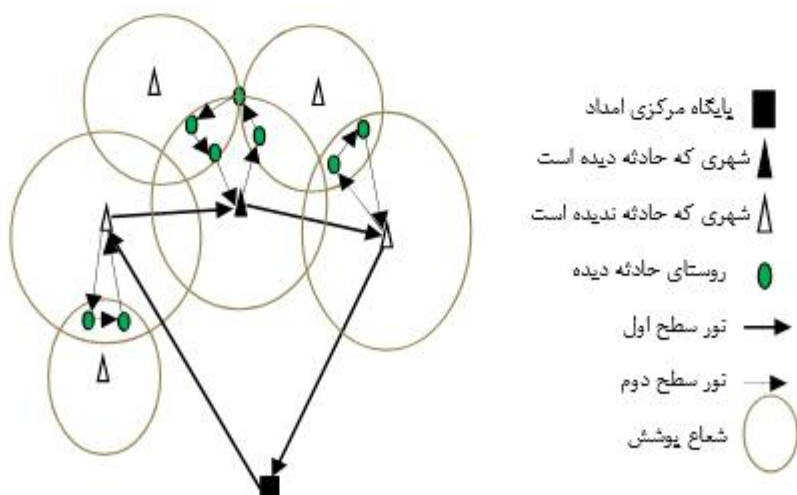
تصویر ۳. زمانی که تورهای سطح اول و دوم همزمان تشکیل می‌شوند

ساده هستند تشکیل داد. در این قسمت با لارائه مثالی نشان داده می‌شود این دیدگاه صحیح نیست و با حل همزمان و غیرهمزمان، جواب‌های مختلفی به دست می‌آید. این مثال از ۱۵ رأس تشکیل شده است که ۶ رأس آن شهرها و ۸ رأس دیگر نقاط حادثه دیده و یک رأس مربوط به پایگاه مرکزی امداد هستند. کل مسافت پیموده شده در حالت همزمانی تورها برابر با  $21/4582$  واحد و در حالت غیرهمزمان برابر با  $73/6704$  واحد است. جواب مثال در هر دو حالت در قالب تصاویر شماره ۳ و ۴ آورده شده است.

#### تحلیل حساسیت مسئله

در این قسمت تحلیل حساسیت مسئله از چند جنبه بررسی می‌شود. هدف از انجام تحلیل حساسیت در این پژوهش، بررسی میزان تأثیر تغییر در پارامترهای کلیدی مدل بر نتایج نهایی و

بنابراین ۳ رأس باید در تور قرار گیرند ( $|T| = 3$ ). بعد از حل مثال مشخص شد برای امدادرسانی به همه روستاهای حادثه دیده لازم است ۴ شهر در تور سطح اول قرار گیرند و در آن شهرها پایگاه‌های امدادرسانی برپا شود. سپس امدادرسانی از ۴ پایگاه امداد برپاشده به روستاهای حادثه دیده توسط تورهای سطح دوم انجام گیرد. مقدار هزینه امدادرسانی در این مثال در حالت بهینه برابر با  $152/436$  واحد شده است. توجه شود که مثال‌های ارائه شده برای این مسئله با در نظر گرفتن این اصل که دو سطح بهصورت همزمان تشکیل می‌شوند، حل شده‌اند. شاید این گونه به نظر برسد که در ابتدا می‌توان مسئله را به صورت یک مسئله تور پوششی ساده حل کرد و سپس بعد از به دست آوردن تور سطح اول و تخصیص نقاط حادثه دیده به پایگاه‌های امداد مستقر در تور سطح اول، تورهای سطح دوم را که هر کدام یک مسئله TSP



تصویر ۴. زمانی که تورهای سطح اول و دوم همزمان تشکیل نمی‌شوند



جدول ۸. تحلیل حساسیت مسئله از نظر ظرفیت وسایل حمل و نقل سطح اول

مرحله	مشخصات مسئله	تعداد پایگاه‌های امداد برباشده	تعداد وسایل نقلیه	تعداد وسایل دوم	سطح اول	سطح دوم	هزینه کل امدادرسانی
۱	n=16, F=20, G=10, Q=15, R=5	۶	۳	۲	۸	۵-۵/۵۲۸	
۲	n=16, F=21, G=10, Q=20, R=5	۴	۲	۲	۸	۴۱۷/۲۰۹	
۳	n=16, F=22, G=10, Q=25, R=5	۴	۲	۲	۸	۴۱۲/۰۸۸	
۴	n=16, F=23, G=10, Q=30, R=5	۴	۲	۲	۸	۴۱۷/۰۸۸	
۵	n=16, F=24, G=10, Q=35, R=5	۴	۲	۲	۸	۴۲۴/۰۸۸	
۶	n=16, F=25, G=10, Q=40, R=5	۴	۱	۲	۸	۴۸۲/۲۲۷	
۷	n=16, F=26, G=10, Q=45, R=5	۴	۱	۲	۸	۴۸۷/۲۲۷	
۸	n=16, F=27, G=10, Q=50, R=5	۴	۱	۲	۸	۴۹۲/۲۲۷	
۹	n=16, F=28, G=10, Q=55, R=5	۴	۱	۲	۸	۴۹۷/۲۲۷	
۱۰	n=16, F=29, G=10, Q=60, R=5	۴	۱	۲	۸	۴۰۲/۲۲۷	

در این قسمت تحلیل حساسیت بر روی مثال ۵ جدول شماره ۲ انجام می‌شود. در هر مرحله از وسایل نقلیه بزرگ‌تر و با ظرفیت بیشتر و بالطبع دارای هزینه به کارگیری بیشتر استفاده می‌شود. از آنجایی که شکست تقاضا در هر دو سطح مجاز نیست باید وسایل نقلیه سطح اول به گونه‌ای انتخاب شوند که ظرفیت آن‌ها بزرگ‌تر یا مساوی با حداقل مقدار تقاضای امدادی تخصیص یافته به پایگاه‌های امداد و کوچک‌تر یا مساوی با حداقل ظرفیت پایگاه‌های امداد باشند. همچنین ظرفیت هر وسیله نقلیه سطح دو باید بزرگ‌تر یا مساوی با حداقل مقدار تقاضای امدادی نقاط حادثه‌دیده باشد. برای این مثال حداقل تقاضای نقاط حادثه‌دیده برابر ۵ واحد و حداقل تقاضای تخصیص یافته به پایگاه‌های امداد برابر ۱۵ واحد است. بنابراین برای سطح اول باید از وسایل

ساختار تصمیم‌گیری است. در شرایط بحرانی، تصمیم‌گیرندگان ممکن است با عدم قطعیت در برخی پارامترها، مانند ظرفیت وسایل حمل و نقل یا شعاع پوشش پایگاه‌ها مواجه باشند. در این پژوهش، ۲ پارامتر حیاتی تحت تحلیل حساسیت قرار گرفتند: تحلیل حساسیت نسبت به ظرفیت وسایل حمل و نقل و تحلیل حساسیت نسبت به شعاع پوششی پایگاه‌های امداد. برای بررسی تأثیر ظرفیت حمل تیم‌های امداد، سناریوهایی با افزایش و کاهش درصدی ظرفیت وسایل نقلیه در مدل اجرا شد. با تغییر شعاع پوششی پایگاه‌ها، تغییرات در پوشش‌دهی، تعداد پایگاه‌های موردنیاز و الگوی مسیر یابی بررسی شد.

تحلیل حساسیت مسئله از نظر ظرفیت وسایل حمل و نقل

جدول ۹. تحلیل حساسیت مسئله از نظر ظرفیت وسایل حمل و نقل سطح دوم

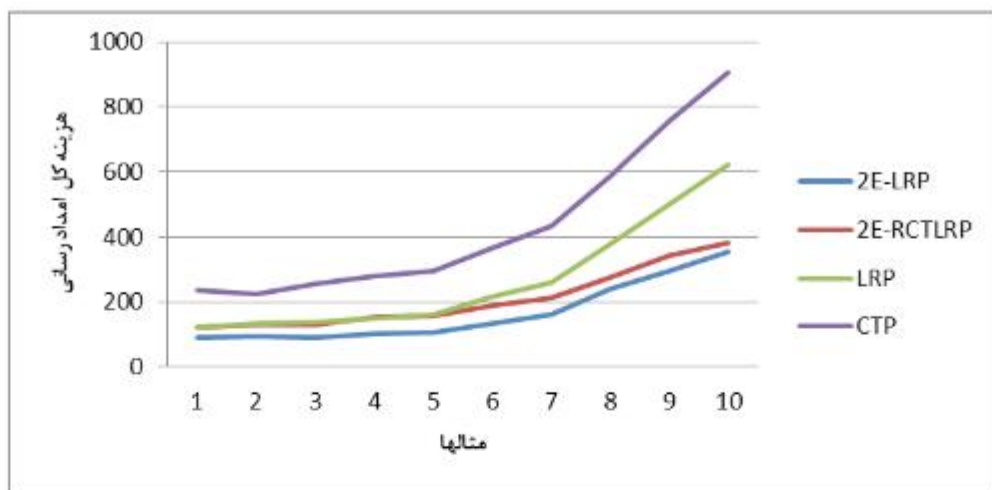
مرحله	مشخصات مسئله	تعداد پایگاه‌های امداد برباشده	تعداد وسایل نقلیه	سطح دوم	سطح اول	هزینه کل امدادرسانی
۱	n=16, F=25, G=10, Q=40, R=5	۴	۱	۸	۲۸۲/۲۲۷	
۲	n=16, F=25, G=11, Q=40, R=10	۴	۱	۵	۳۶۴/۱۵۶	
۳	n=16, F=25, G=12, Q=40, R=15	۴	۱	۴	۳۶۲/۱۵۶	
۴	n=16, F=25, G=13, Q=40, R=20	۴	۱	۴	۳۷۵/۱۵۶	
۵	n=16, F=25, G=14, Q=40, R=25	۴	۱	۴	۳۸۷/۱۵۶	
۶	n=16, F=25, G=15, Q=40, R=30	۴	۱	۴	۳۹۹/۱۵۶	
۷	n=16, F=25, G=16, Q=40, R=35	۴	۱	۴	۴۱۱/۱۵۶	

جدول ۱۰. تحلیل حساسیت مسئله از نظر شاعع یوششی یا پگاههای امداد و مقایسه آن با مسئله 2E-LRP 2متناظر

2E-LRP		مشخصات مسئله 2E-RCTLRP							مرحله	
جواب	جواب	شعاع یوششی یا پگاههای								
		ششم	پنجم	چهارم	سوم	دوم	اول			
۱-۳/۷۹۸	۲۲۷/۲۷۸	۲	۴	۱	۳/۵	۲	۴/۵	۱		
۱-۳/۷۹۸	۱۹۹/۲۲۶	۴	۴	۲	۳/۵	۲	۴	۲		
۱-۳/۷۹۸	۱۹۵/۲۵۸	۴	۴	۳	۳/۵	۲	۴	۳		
۱-۳/۷۹۸	۱۷۵/۷۸۷	۴	۴	۲	۶/۵	۴	۴	۴		
۱-۳/۷۹۸	۱۶۷/۲۲۷	۴	۴	۲	۶/۵	۶	۴	۵		
۱-۳/۷۹۸	۱۵۹/۸۴۹	۴	۱۰	۲	۶/۵	۶	۴	۶		
۱-۳/۷۹۸	۱۵۲/۴۰۳	۴	۱۰	۳	۶/۵	۶	۸	۷		
۱-۳/۷۹۸	۱۳۷/۲۸۵	۴	۱۰	۱۱	۶/۵	۶	۸	۸		
۱-۳/۷۹۸	۱۲۸/۵۶۰	۴	Max	۱۱	۶/۵	۶	۸	۹		
۱-۳/۷۹۸	۱۲۸/۵۶۰	۴	Max	۱۱	۶/۵	۶	Max	۱۰		
۱-۳/۷۹۸	۱۰۷/۰۷	۴	Max	۱۱	Max	۶	Max	۱۱		
۱-۳/۷۹۸	۱۰۷/۰۷	Max	Max	۱۱	Max	۶	Max	۱۲		
۱-۳/۷۹۸	۱-۷/۶۸۶	Max	Max	۱۱	Max	Max	Max	۱۲		
۱-۳/۷۹۸	۱-۷/۶۸۶	Max	Max	Max	Max	Max	Max	۱۳		
۱-۳/۷۹۸	۱-۷/۷۹۸	Max	Max	Max	Max	Max	Max	۱۴		

جدول ۱۱. نتایج حل مسائل CTP، 2E-RCTLRP، 2E-LRP و LRP در حالت امدادرسانی

CTP	LRP	2E-RCTLRP	2E-LRP	مشخصات مسئله	مثال
۲۲۷/۷۸۶۸	۱۲۷/۹-۷	۱۲۷/-۹۸	۹۱/۰۳۱	n=10,  RS =3,  T =1,  D =6	۱
۲۲۳/۱۲۴۱	۱۲۳/۵۶۴	۱۲۳/۱۲۶	۹۳/۶۸	n=12,  RS =4,  T =1,  D =7	۲
۲۵۷/۷۹۷۴	۱۲۷/۰۲۹	۱۲۷/۵۲۰	۹۷/۲۲۲	n=13,  RS =5,  T =2,  D =7	۳
۲۸-/۳۱۶۸	۱۲۹/۷۸۴	۱۲۹/۴۷۶	۱-۳/۷۹۸	n=15,  RS =6,  T =3,  D =8	۴
۳۶۵/۱۲۳۶۹	۱۶۲/۹۱۰	۱۶۲/۱۵۶	۱-۵/۳۹۵۴	n=16,  RS =7,  T =4,  D =8	۵
۴۵۸/۸۹۷۶۷	۲۱۶/۲۷۸	۱۸۸/۱۷۶	۱۲۲/۹۱۲۴	n=20,  RS =7,  T =4,  D =12	۶
۴۳۳/۱۵۶۴	۲۶-۲۲۷	۲۱۲/۴۲۰	۱۵۹/۹-۰۸۹	n=25,  RS =8,  T =4,  D =16	۷
۵۰۰/۱۲۱۰	۳۷۷/۲۲۵	۳۷۵/۲۲۸	۲۲۸/۷۹۰۷	n=35,  RS =8,  T =4,  D =26	۸
۷۵۶-/۱۸۲	۴۹۹/۸۱۸	۴۹۱/۲۵۸	۲۹۷/-۱۷۲	n=45,  RS =9,  T =4,  D =35	۹
۹-۵/۳۷۹	۶۲-۲۲۹	۲۸۲/۹۲۰	۲۸۵/۲۲۶-	n=55,  RS =10,  T =5,  D =44	۱۰



تصویر ۵. هزینه مربوط به مثال‌های حل شده برای مسائل LRP، 2E-RCTLRP، 2E-LRP و CTP

حساسیت در جدول شماره ۱۰ آمده است. با مشاهده این جدول می‌توان نتیجه گرفت با افزایش شعاع پوشش پایگاه‌های امداد، مسئله 2E-RCTLRP با مسئله 2E-LRP همگرا می‌شود.

مقایسه حل مسئله 2E-RCTLRP با LRP، 2E-LRP و CTP متناظر

در این قسمت جواب مثال‌های از نوع 2E-RCTLRP با مثال‌های 2E-LRP، LRP و CTP مقایسه شده است. در همه مثال‌ها ظرفیت وسایل نقلیه، هزینه ثابت استفاده از وسایل نقلیه و هزینه برای پایگاه‌های امداد یکسان در نظر گرفته شده است. در مسئله LRP یک سطحی تعریف شده و امدادرسانی از پایگاه مرکزی امداد به نقاط حدائقه دیده با استفاده از وسایل نقلیه موجود در پایگاه مرکزی امداد صورت گرفته است. در مسئله CTP، ۱ سطحی تعریف شده، پایگاه‌های امداد توسط پایگاه مرکزی امداد تجهیز می‌شوند و سپس افراد حدائقه دیده جهت دریافت خدمات امداد به پایگاه‌های برپا شده مراجعه می‌کنند. بنابراین چون افراد مستقیماً امدادرسانی نمی‌شوند هزینه‌ای به مدل اضافه شده است. از آنجایی که برای مسئله 2E-RCTLRP محدودیت پوشش برای پایگاه‌های امداد در نظر گرفته شده است، هزینه این مثال‌ها از مثال‌های مربوط به 2E-LRP بیشتر شده است که این اختلاف به معنای برتری 2E-LRP نسبت به 2E-RCTLRP نیست. نتایج حل مثال‌ها در جدول شماره ۱۱ و تصویر شماره ۵ زیر آورده شده است. همان‌گونه که پیداست روش‌های ۲ سطحی بهمراه نتایج بهتری نسبت به روش‌های تک‌سطحی ارائه می‌دهند.

#### نتیجه‌گیری

بر اساس بررسی‌های صورت گرفته به نظر می‌رسد، پژوهش حاضر نوآوری‌های قابل توجهی را در دو بعد اصلی ارائه می‌دهد:

نقلیه‌ای با حداقل ظرفیت ۱۵ و برای سطح دوم از وسایل نقلیه‌ای با حداقل ظرفیت ۵ استفاده کرد.  $Q$  ظرفیت وسایل نقلیه سطح اول،  $R$  ظرفیت وسایل نقلیه سطح دوم،  $F$  هزینه ثابت استفاده از وسایل نقلیه سطح اول و  $G$  هزینه ثابت استفاده از وسایل نقلیه سطح دوم است. در ابتدا تحلیل حساسیت مسئله از نظر ظرفیت وسایل حمل و نقل سطح اول و سپس برای سطح دوم انجام گرفته است. همان‌گونه که در جدول شماره ۸ مشاهده می‌شود استفاده از وسایل نقلیه با ظرفیت بیشتر باعث کاهش تعداد وسایل استفاده شده و درنهایت کاهش هزینه امدادرسانی به نقاط آسیب‌دیده شده است. اما باید دقت شود که لزوماً استفاده از وسایل نقلیه با ظرفیت زیاد همواره باعث کاهش هزینه‌های امنیتی شود. به عنوان مثال بزرگ‌ترین وسیله نقلیه‌ای که می‌تواند برای سطح اول به کار گرفته شود وسیله نقلیه‌ای با حداقل ظرفیت برابر با کل مقدار تقاضای امدادی نقاط حدائقه دیده است. برای این مثال بهترین وسایل حمل و نقل سطح اول در مرحله ۶ جدول شماره ۹ و برای سطح دوم در مرحله ۳ جدول شماره ۹ به دست آمده است. نتایج در جدول شماره ۸ آورده شده‌اند.

تحلیل حساسیت مسئله از نظر شعاع پوششی پایگاه‌های امداد تحلیل حساسیت مسئله 2E-RCTLRP از نظر شعاع پوششی پایگاه‌های امداد برای مثال ۴ جدول شماره ۷ انجام می‌شود. بدین منظور شعاع پوشش پایگاه‌ها در هر مرحله بهصورت تصادفی افزایش داده می‌شود تا اینکه درنهایت شعاع پوشش حداقل شود. شعاع پوشش حداقل برای یک پایگاه امداد برای بیشترین فاصله نقاط حدائقه دیده از آن پایگاه است. شعاع پوششی مرحله اول برابر با حداقل شعاعی است که همه نقاط حدائقه دیده توسط پایگاه‌های امداد پوشش یابند. تمامی مشخصات پایگاه‌های امداد و وسایل نقلیه استفاده شده در تمامی مراحل تحلیل حساسیت و مسئله 2E-LRP یکسان در نظر گرفته شده‌اند. نتایج این تحلیل

افزون بر این، انعطاف‌پذیری بالای الگوریتم ژنتیک در انطباق با انواع مختلف توابع هدف و قیود، آن را به ابزاری قادرمند در شرایط متغیر و پویای مسئله، بمیزه در حوزه امدادرسانی، تبدیل کرده است. با این حال استفاده از الگوریتم ژنتیک با برخی محدودیت‌ها نیز همراه است. از جمله، این الگوریتم تصمیم‌یابی برای دستیابی به جواب بهینه مطلق ندارد و عموماً تنها راه حل‌های تقریباً بهینه را ارائه می‌دهد که در برخی کاربردها ممکن است ناکافی باشد. همچنین عملکرد الگوریتم بهشت وابسته به تنظیم مناسب پارامترهایی، مانند اندازه جمعیت، نرخ تقاطع و نرخ جهش است. انتخاب نادرست این پارامترها می‌تواند منجر به هم‌گرایی زودهنگام یا کاهش کیفیت پاسخ شود. از سوی دیگر، بمیزه در مسائل بزرگ، الگوریتم ژنتیک ممکن است برای دستیابی به پاسخ‌های قابل قبول، به زمان محاسباتی قابل توجهی نیاز داشته باشد که این امر در مقایسه با برخی روش‌های فرآیندکاری دیگر، می‌تواند به عنوان یک نقطه ضعف تلقی شود.

در نظر گرفتن شاعع پوشش متغیر برای هر پایگاه امداد، استفاده از وسایل حمل و نقل متفاوت در هر سطح و همچنین بررسی مسئله در حالت پوشش حداقل بهمنظور کاهش زمان امدادرسانی می‌تواند به عنوان موضوع مطالعات آتی در این حوزه پیشنهاد شود. همچنین استفاده از داده‌های واقعی در مدل‌سازی یا مقایسه الگوریتم ژنتیک با سایر روش‌های بهینه‌سازی می‌تواند به عنوان زمینه‌ای برای تحقیقات آتی مطرح شود.

## ملاحظات اخلاقی

### پیروی از اصول اخلاق پژوهش

در این مطالعه تمام اصول اخلاقی رعایت شد. از آنجایی که هیچ آزمایشی بر روی نمونه‌های انسانی یا حیوانی انجام نشد، نیازی به رعایت اصول اخلاقی نبود.

### حامی مالی

این پژوهش هیچ‌گونه کمک مالی از سازمانی‌های دولتی، خصوصی و غیرانتفاعی دریافت نکرده است.

### مشارکت‌نویسندهان

همه نویسندهان به طور یکسان در مفهوم و طراحی مطالعه، جمع‌آوری و تجزیه و تحلیل داده‌ها، تفسیر نتایج و تهیه پیش‌نویس مقاله مشارکت داشتند.

### تعارض منافع

بنابر اظهار نویسندهان، این مقاله تعارض منافع ندارد.

نخست، «در این تحقیق، برای نخستین بار مدلی دوسته از مسئله مکان‌یابی سیسیریابی ارائه شده است که همزمانی تشکیل تورها در هر دو سطح را در قالب تورهای پوششی با شاعع متغیر پوشش پایگاه‌های امداد در نظر می‌گیرد. این مدل، برخلاف بسیاری از پژوهش‌های پیشین که با فرض شاعع ثابت پوشش، ساختار تک‌سطحی و بی‌توجهی به همزمانی تورها همراه بوده‌اند، به واقعیت‌های پیچیده شرایط بحران و امدادرسانی نزدیک‌تر است» دوم، مدل پیشنهادی با در نظر گرفتن تفاوت در ظرفیت و میزان آسیب‌دیدگی شهرها، امکان تصمیم‌گیری هوشمندانه‌تر در مکان‌یابی پایگاه‌ها را فراهم می‌آورد. در حالی که در اغلب مطالعات گذشته این متغیرها یا لحاظ نشده‌اند یا به شکل ساده‌شده مدل‌سازی شده‌اند. حال آنکه طراحی یک شبکه امدادرسانی دو سطحی می‌تواند سرعت و کیفیت امدادرسانی در شرایط بحران را افزایش دهد. در این تحقیق در ابتدا مسئله امدادرسانی تور پوششی دو سطحی تعریف، مدل‌سازی و سپس حل شد. نتایج حاصل از حل مسئله نشان می‌دهد الگوریتم ژنتیک پیشنهادی، الگوریتمی کارا و کاربردی است. در حل تمام مثال‌ها، تورهای هر دو سطح به طور همزمان تشکیل شده‌اند. با ارائه مثالی نشان داده شده است که نتایج حل حاصل از تشکیل تورهای دو سطح به صورت همزمان و غیره همزمان متفاوت است و حل مسئله با در نظر گرفتن تشکیل همزمانی تورها در هر دو سطح دارای نتایج بهتری است. در ادامه به تحلیل حساسیت مسئله از نظر ظرفیت وسایل حمل و نقل پرداخته و نتیجه‌گیری شد افزایش ظرفیت وسایل حمل و نقل معمولاً باعث کاهش هزینه امدادرسانی می‌شود، اما باید دقیق شود لزوماً استفاده از وسایل نقلیه با ظرفیت بیشتر همواره باعث کاهش هزینه‌ها نمی‌شود و باید وسیله حمل و نقل با ظرفیت بهینه استفاده شود. همچنین با افزایش شاعع پوششی پایگاه‌های امداد، مسئله مورد تحقیق با مسئله 2E-LRP 2 همگرا می‌شود و نهایتاً مقایسه‌ای بین مسائل 1 سطحی و 2 سطحی در شرایط امداد انجام گرفت و نتیجه‌گیری شد روش‌های دو سطحی به مراتب نتایج بهتری نسبت به روش‌های تک‌سطحی ارائه می‌دهند.

الگوریتم ژنتیک به عنوان یک روش فرآیندکاری، در حل مسائل پیچیده و با ابعاد بزرگ، مانند مسئله تور پوششی 2 سطحی در شرایط امدادرسانی، دارای مزایای قابل توجهی است. یکی از مهم‌ترین نقاط قوت این الگوریتم، توانایی آن در جست‌وجوی گسترده و متنوع در فضای پاسخ است، به گونه‌ای که با بهره‌گیری از یک جمعیت از راه حل‌ها، امکان اکتشاف همزمان در نواحی مختلف فضای جست‌وجو فراهم می‌شود. این ویژگی باعث افزایش احتمال یافتن پاسخ‌های بهتر و کاهش خطر گیر افتادن در بهینه‌های محلی می‌شود. همچنین الگوریتم ژنتیک به دلیل ساختار جمعیتی و مبتنی بر تکامل خود، برای مسائل بزرگ‌مقیاس که در آن‌ها روش‌های دقیق از نظر زمانی یا محاسباتی ناکارآمد هستند، گزینه‌ای مناسب محسوب می‌شود.



## References

- Allahyari, S., Salari, M., & Vigo, D. (2015). A hybrid metaheuristic algorithm for the multi-depot covering tour vehicle routing problem. *European Journal of Operational Research*, 242(3), 756-768. [DOI:10.1016/j.ejor.2014.10.048]
- Altay, N., & Green III, W. G. (2006). OR/MS research in disaster operations management. *European Journal of Operational Research*, 175(1), 475-493. [DOI:10.1016/j.ejor.2005.05.016]
- Arkin, E. M., & Hassin, R. (1994). Approximation algorithms for the geometric covering salesman problem. *Discrete Applied Mathematics*, 55(3), 197-218. [DOI:10.1016/0166-218X(94)90008-6]
- Belenguer, J., Benavent, E., Prins, C., Prodhon, C., & Wolter Calvo, R. (2011). A branch-and-cut method for the capacitated location-routing problem. *Computers and Operations Research*, 38(6), 931-941. [DOI:10.1016/j.cor.2010.09.019]
- Boccia, M., Crainic, T. G., Sforza, A., & Sterle, C. (2010). A metaheuristic for a two echelon location-routing problem. In P. Festa (Ed.), *Experimental Algorithms: SEA 2010. Lecture Notes in Computer Science*, vol 6049. Berlin: Springer. [DOI:10.1007/978-3-642-13193-6\_25]
- Bottani, E., Casella, G., & Murino, T. (2021). A hybrid metaheuristic routing algorithm for low-level picker-to-part systems. *Computers & Industrial Engineering*, 160, 107540. [DOI:10.1016/j.cie.2021.107540]
- Cai, Z., Mo, D., Geng, M., Tang, W., & Chen, X. M. (2023). Integrating ride-sourcing with electric vehicle charging under mixed fleets and differentiated services. *Transportation Research Part E: Logistics and Transportation Review*, 169, 102965. [DOI:10.1016/j.tre.2022.102965]
- Caunhye, A. M., Nie, X., & Pokharel, S. (2012). Optimization models in emergency logistics: A literature review. *Socio-Economic Planning Sciences*, 46(1), 4-13. [DOI:10.1016/j.seps.2011.04.004]
- Choi, J., Lee, S., & Choi, H. (2022). The influence of knowledge, trust, and perceived risk on firefighters' preparedness and willingness to respond to nuclear emergencies: The case of South Korea. *International Journal of Disaster Risk Sciences*, 13, 536-548. [Link]
- Contardo, C., Cordeau, J. F., & Gendron, B. (2013). A computational comparison of flow formulations for the capacitated location-routing problem. *Discrete Optimization*, 10(4), 263-295. [DOI:10.1016/j.disopt.2013.07.005]
- Contardo, C., Hemmelmayr, V., & Crainic, T. G. (2012). Lower and upper bounds for the two-echelon capacitated location-routing problem. *Computers & Operations Research*, 39(12), 3185-3199. [DOI:10.1016/j.cor.2012.04.003] [PMID]
- Crainic, T. G., Sforza, A., & Sterle, C. (2011a). Tabu search heuristic for a two-echelon location-routing problem. Quebec: Cirrelt. [Link]
- Crainic, T. G., Sforza, A., & Sterle, C. (2011b). Location-routing models for two-echelon freight distribution system design. Quebec: Cirrelt. [Link]
- Current, J. R., & Schilling, D. A. (1989). The covering salesman problem. *Transportation Science*, 23(3), 208-213. [DOI:10.1287/trsc.23.3.208]
- De La Torre, L. E., Dolinskaya, I. S., & Smilowitz, K. R. (2012). Disaster relief routing: Integrating research and practice. *Socio-Economic Planning Sciences*, 46(1), 88-97. [DOI:10.1016/j.seps.2011.06.001]
- Doerner, K., Focke, A., & Gutjahr, W. J. (2007). Multicriteria tour planning for mobile healthcare facilities in a developing country. *European Journal of Operational Research*, 179(3), 1078-1096. [DOI:10.1016/j.ejor.2005.10.067]
- Dalal, J., & Üster, H. (2019). Combining worst-case and average-case considerations in an integrated emergency response network design problem. *Transportation Science*, 52(1), 52-67. [DOI:10.1287/trsc.2016.0725]
- Gendreau, M., Laporte, G., & Semet, F. (1997). The covering tour problem. *Operations Research*, 45(4), 568-576. [DOI:10.1287/opre.45.4.568]
- Golden, B., Naji-Azimi, Z., Raghavan, S., Salari, M., & Toth, P. (2012). The generalized covering salesman problem. *INFORMS Journal on Computing*, 24(4), 534-553. [DOI:10.1287/ijoc.1110.0480]
- Golden, B. L., Raghavan, S., & Wasil, E. A. (2008). *The vehicle routing problem: Latest advances and new challenges*. Berlin: Springer. [Link]
- Govindan, K., Jafarian, A., Khodaverdi, R., & Devika, K. (2013). Two-Echelon Multiple-Vehicle Location-Routing Problem with Time Windows for optimization of sustainable supply chain network of perishable food. *International Journal of Production Economics*, 152, 9-28. [DOI:10.1016/j.ijpe.2013.12.028]
- Hachicha, M., Hodgson, M. J., Laporte, G., & Semet, F. (2000). Heuristics for the multi-vehicle covering tour problem. *Computers & Operations Research*, 27(1), 29-42. [DOI:10.1016/S0305-0548(99)00006-4]
- Han, C. F., & Zhang, C. (2009). Genetic algorithm for solving problems in emergency management. Paper presented at 2009 Fifth International Conference on Natural Computation, Tianjin, China, 14-16 August 2009. [DOI:10.1109/ICNC.2009.533]
- Hodgson, M. J., Laporte, G., & Semet, F. (1998). A covering tour model for planning mobile health care facilities in Suhum District, Ghana. *Journal of Regional Science*, 38(4), 621-638. [Link]
- Jacobsen, S. K., & Madsen, O. B. G. (1980). A comparative study of heuristics for a two-level routing-location problem. *European Journal of Operational Research*, 5(6), 378-387. [DOI:10.1016/0377-2217(80)90124-1]
- Jang, H. C., Lien, Y. N., & Tsai, T. C. (2009, June). Rescue information system for earthquake disasters based on MANET emergency communication platform. *Proceedings of the 2009 International Conference on Wireless Communications and Mobile Computing: Connecting the World Wirelessly*, 623-627. [DOI:10.1145/1582379.1582514]
- Jamali, H., Bashiri, M., & Tavakkoli-Moghaddam, R. (2016). [Modeling and a genetic algorithm for the two-echelon relief logistics problem (Persian)]. *Emergency Management*, 4(2), 5-22. [Link]
- Jamali, H., Bashiri, M., & Tavakkoli Moghadam, R. (2015). [Management of relief operations in emergency situations using the concept of cover tour and the possibility of sending (Persian)]. *Modiriat-e-Farda*, 42(14), 1-10. [Link]
- Jamali, H., & Bashiri, M. (2020). [Modeling for the Covering Tour Problem in Relief Condition for Disaster Management (Persian)]. *Emergency Management*, 9(1), 69-82. [Link]
- Jebbor, S., Raddouane, C., & El Afia, A. (2022). A preliminary study for selecting the appropriate AI-based forecasting model for hospital assets demand under disasters. *Journal of Humanitarian Logistics and Supply Chain Management*, 12 (1), pp. 1-29. [DOI:10.1108/JHLSCM-12-2020-0123]



- Jiao, L., Peng, Z., Xi, L., Guo, M., Ding, S., & Wei, Y. (2023). A multi-stage heuristic algorithm based on task grouping for vehicle routing problem with energy constraint in disasters. *Expert Systems with Applications*, 212, 118740. [DOI:10.1016/j.eswa.2022.118740]
- Khanna, R., Konyukhov, Y. V., Burmistrov, I., Cayumil, R., Belov, V. A., & Rogachev, S. O., et al. (2021). An innovative route for valorising iron and aluminium oxide rich industrial wastes: Recovery of multiple metals. *Journal of Environmental Management*, 295, 113035. [DOI:10.1016/j.jenvman.2021.113035]
- Liu, W., Li, J., & Xu, J. (2020). Effects of disaster-related resettlement on the livelihood resilience of rural households in China. *International Journal of Disaster Risk Reduction*, 49, 101649. [DOI:10.1016/j.ijdrr.2020.101649]
- Malikov, E., Zhang, J., Zhao, S., & Kumbhakar, S. C. (2022). Accounting for cross-location technological heterogeneity in the measurement of operations efficiency and productivity. *Journal of Operations Management*, 68(2), 153-184. [Link]
- Madsen, O. B. G. (1983). Methods for solving combined two-level location-routing problems of realistic dimensions. *European Journal of Operational Research*, 12(3), 295-301. [DOI:10.1016/0377-2217(83)90199-6]
- Mohamad, F. A., Rezapour, S., Baghaian, A., & Amini, M. H. (2023). An integrative framework for coordination of damage assessment, road restoration, and relief distribution in disasters. *Omega*, 115, 102748. [DOI:10.1016/j.omega.2022.102748]
- Nagy, G., & Salhi, S. (1996). Nested heuristics methods for the location-routing problem. *Journal of Operational Research Society*, 47(9), 1166-1174. [DOI:10.1057/jors.1996.144]
- Naji-Azimi, Z., Renaud, J., Ruiz, A., & Salari, M. (2012). A covering tour approach to the location of satellite distribution centers to supply humanitarian aid. *European Journal of Operational Research*, 222(3), 596-605. [DOI:10.1016/j.ejor.2012.05.001]
- Nguyen, V.P., Prins, C., & Prodhon, C. (2012a). Solving the two-echelon location routing problem by a GRASP reinforced by a learning process and path re-linking. *European Journal of Operational Research*, 216(1), 113-126. [DOI:10.1016/j.ejor.2011.07.060]
- Nguyen, V. P., Prins, C., & Prodhon, C. (2012b). A multi-start iterated local search with tabu list and path re-linking for the two-echelon location-routing problem. *Engineering Applications of Artificial Intelligence*, 25(1), 56-71. [DOI:10.1016/j.engappai.2011.09.012]
- Nolz, P. C., Doerner, K.F., Gutjahr, W. J., & Hartl, R. F. (2010). A bi-objective metaheuristic for disaster relief operation planning. In C. A. Coello Coello, C. Dhaenens & L. Jourdan, (Eds.), *Advances in Multi-Objective Nature Inspired Computing. Studies in Computational Intelligence*, vol. 272. Berlin: Springer. [DOI:10.1007/978-3-642-11218-8\_8]
- Oliveira, B., Pessoa, A., & Roboredo, M. (2025). New cuts and a branch-cut-and-price model for the multi-vehicle covering tour problem. *4OR: A Quarterly Journal of Operations Research*. [DOI:10.1007/s10288-025-00584-0]
- Pashapour, A., Günneç, D., Salman, F. S., & Yücel, E. (2024). Capacitated mobile facility location problem with mobile demand: Efficient relief aid provision to en route refugees. *Omega*, 129, 103138. [DOI:10.1016/j.omega.2024.103138]
- Pirkwieser, S., & Raidl, G. R. (2010). Variable neighborhood search coupled with ILP-based very large neighborhood searches for the (periodic) location-routing problem. In M. J. Blesa, C. Blum, G. Raidl, A. Roli & M. Sampels (Eds.), *Hybrid Metaheuristics. HM 2010. Lecture Notes in Computer Science*, vol. 6373. Berlin: Springer. [DOI:10.1007/978-3-642-16054-7\_13]
- Rath, S., & Gutjahr, W.J. (2014). A math-heuristic for the warehouse location-routing problem in disaster relief. *Computers and Operations Research*, 42, 25-39. [DOI:10.1016/j.cor.2011.07.016]
- Schwengerer, M., Pirkwieser, S., & Raidl, G. R. (2012). A variable neighborhood search approach for the two-echelon location-routing problem. In J. K. Hao & M. Middendorf (Eds.), *Evolutionary Computation in Combinatorial Optimization. EvoCOP 2012. Lecture Notes in Computer Science*, vol. 7245 (pp. 13-24). Berlin: Springer. [DOI:10.1007/978-3-642-29124-1\_2]
- Tarhan, I., Zografos, K. G., Sutanto, J., & Kheiri, A. (2023). A quadrant shrinking heuristic for solving the dynamic multi-objective disaster response personnel routing and scheduling problem. *European Journal of Operational Research*, 314(2), 776-791. [DOI:10.1016/j.ejor.2023.09.002]
- Tuzun, D., & Burke, E. L. (1999). A two-phase tabu search approach for the location routing problem. *European Journal of Operational Research*, 116, 87-99. [DOI:10.1016/S0377-2217(98)00107-6]
- Wang, H., Du, L., & Ma, Sh. (2014). Multi-objective open location-routing model with split delivery for optimized relief distribution in post-earthquake. *Transportation Research Part E: Logistics and Transportation Review*, 69, 160-179. [DOI:10.1016/j.tre.2014.06.006]
- Wang, D. W., & Zhang, G. X. (2005). Model and algorithm to optimize location of catastrophic rescue center. *Journal of Northeastern University (Natural Sciences)*, 26(10), 953-956. [Link]
- Yi, W., & Özdamar, L. (2007). "A dynamic logistics coordination model for evacuation and support in disaster response activities. *European Journal of Operational Research*, 179(3), 1177-1193. [DOI:10.1016/j.ejor.2005.03.077]
- Zegordi, S. H., & Nikbakht, E. (2010). A heuristic algorithm and a lower bound for the two-echelon location-routing problem with soft time window constraints. *Scientia Iranica*, 17(1), 36-47. [Link]
- Zhang, N., Ou, M., Liu, B., & Liu, J. (2023). A GERT network model for input-output optimization of general aviation industry chain based on value flow. *Computers & Industrial Engineering*, 176, 108945. [DOI:10.1016/j.cie.2022.108945]
- Zhu, Q., Chen, J. M., Tseng, M. L., & Luan, H. M. (2020). Modeling green multimodal transport route performance with Witness simulation software. *Journal of Cleaner Production*, 248, 119245. [DOI:10.1016/j.jclepro.2019.119245]

This Page Intentionally Left Blank



## Research Paper

# Bow-tie Risk Assessment of Hydrogen Gas Leakage From the Chlorination Unit of a Combined-cycle Power Plant



Iraj Mohammadfam<sup>1</sup> \*Tahereh Eskandari<sup>2</sup>

1. Department of Ergonomics, Health in Emergency and Disaster Research Center, University of Social Welfare and Rehabilitation Sciences, Tehran, Iran.  
2. Department of Occupational Health Engineering, School of Public Health, Iran University of Medical Sciences, Tehran, Iran.



**Citation** Mohammadfam, I., & Eskandari, T. (2025). [Bow-tie Risk Assessment of Hydrogen Gas Leakage From the Chlorination Unit of a Combined-cycle Power Plant (Persian)]. *Disaster Prevention and Management Knowledge*, 15(2):230-241. <https://doi.org/10.32598/DMKP.15.2.811.1>

<https://doi.org/10.32598/DMKP.15.2.811.1>

## ABSTRACT

**Background and objective** The combined-cycle power plants are one of the important types of power plants in the world with high occupational accidents. To reduce the costs for occupational accidents and reduce the lost days, finding the root causes of accidents in these industries is necessary. This study aims to assess the risk of hydrogen gas leakage from the chlorination unit of a combined-cycle power plant with once-through cooling system using the Bow-tie risk assessment method.

**Method** At first, the hydrogen gas leakage from the chlorination unit of a combined-cycle power plant in Iran was selected as the scenario for probabilistic risk assessment. For finding the causes and consequences of the scenario, the bow-tie method was used.

**Results** We identified 44 basic events, three safety barriers that prevent the occurrence of the desired scenario (congestion, immediate ignition, and delayed ignition), and six consequences including flash fire, jet fire, fire ball, pool fire, explosion, and safe release of hydrogen gas. The probability of hydrogen leakage from the chlorination unit was  $1.51 \times 10^{-3}\%$ , and the most likely consequence was "explosion/jet fire/flash fire," with a probability of  $4.89 \times 10^{-4}\%$ .

**Conclusion** We identified the causes, safety barriers, and potential consequences of hydrogen gas leakage from the chlorination unit of a combined-cycle power plant. The malfunction of electrolyzers is the most significant cause and explosion/jet fire/flash fire is the most important consequence of hydrogen leakage.

**Keywords** Combined-cycle power plant, Hydrogen gas, Risk assessment, Bow-tie technique, Chlorination unit, Safety system, Gas leakage

### Article Info:

Received: 07 Dec 2024

Accepted: 01 Mar 2025

Available Online: 01 Jul 2025

### \* Corresponding Author:

Tahereh Eskandari

Address: Department of Occupational Health Engineering, School of Public Health, Iran University of Medical Sciences, Tehran, Iran.

Tel: +98 (991) 0714120

E-mail: [t.eskandari304@gmail.com](mailto:t.eskandari304@gmail.com)



Copyright © 2025 The Author(s).

This is an open access article distributed under the terms of the Creative Commons Attribution License (CC-BY-NC: <https://creativecommons.org/licenses/by-nd/4.0/legalcode.en>), which permits use, distribution, and reproduction in any medium, provided the original work is properly cited and is not used for commercial purposes.



## Extended Abstract

### Introduction

**C**ombined-cycle power plants are one of the most important and efficient types of power plants worldwide, where exhaust gases from gas turbines are utilized for generating steam and additional energy. However, the presence of chemicals such as chlorine and flammable gases like hydrogen in various processes of these plants poses specific risks. Chlorination units, which are used to prevent scaling and microbial growth in cooling systems, are critical safety points due to the production of hydrogen gas, which is highly flammable and explosive. This study aims to identify and analyze the risks of hydrogen gas leakage from the chlorination unit of a combined-cycle power plant with once-through cooling system in Iran using the bow-tie risk assessment method. This method was selected due to its ability to simulate causes and consequences of industrial accidents, especially in complex processes like chlorination, where multiple factors interact with each other. It was used in this study to identify root causes, analyze the probability of hazardous events, and predict potential outcomes.

### Methods

In this research, the scenario of hydrogen gas leakage from the chlorination unit was first selected. To simulate and analyze the probable cause-effect relationships of this scenario, the bow-tie technique was employed. This technique, which combines fault tree analysis (FTA) and event tree analysis (ETA), provides a graphical representation of causes and consequences of incidents. Initially, the causes and intermediate events leading to hydrogen leakage were identified, and then effective safety barriers to prevent the incident were simulated. Finally, the potential consequences of the scenario were examined.

### Results

The results showed that hydrogen leakage from the chlorination unit occurs due to failures in three main systems: The chlorine storage tank, rectifier, and electrolyzers. A total of 44 root causes and 20 intermediate causes were identified that could lead to hydrogen leakage. Also, three effective safety barriers were identified: Congestion, immediate ignition, and delayed ignition. These safety barriers play a crucial role in preventing the leakage, and their success or failure can lead to different consequences such as flash fires, jet fires, pool fire, fire ball, explosion, or safe release of hydrogen gas. Quantitative analysis of this scenario indicated that the probability of hydrogen leakage from the chlorina-

tion unit was  $1.51 \times 10^{-10}$ , and the most likely consequence, "explosion/flash fire/jet fire," was identified with a probability of  $4.89 \times 10^{-9}$ .

### Conclusion

The analysis using the Bow-tie method showed that the probability of hydrogen leakage from the chlorination unit increases significantly if safety systems fail. Furthermore, since the failure of electrolyzers was identified as the primary cause of this incident, it seems that this part of the system requires greater attention and improvements in safety and monitoring. Strengthening safety barriers can significantly reduce the risks associated with hydrogen gas leakage. The findings also indicate that the likelihood of consequences such as explosions and flash fires is very high if safety barriers do not function correctly. Therefore, measures to strengthen these barriers and reduce the likelihood of incidents are essential.

This study demonstrates that the bow-tie technique can be an effective tool for analyzing and assessing risks in complex systems such as the chlorination unit of combined-cycle power plants. The model is particularly useful in cases where factors such as sensitive equipment and environmental hazards interact with each other. This research can help power plants and similar industries and be a basis for future studies in industrial accident risk management of power plants.

### Ethical Considerations

#### Compliance with ethical guidelines

This research was conducted in compliance with all ethical principles. Since there was no experiment on human or animal samples, the need for an ethical code was waived.

#### Funding

This research did not receive any grant from funding agencies in the public, commercial, or non-profit sectors.

#### Authors' contributions

All authors contributed equally to the conception and design of the study, data collection and analysis, interpretation of the results, and drafting of the manuscript. Each author approved the final version of the manuscript for submission.

#### Conflicts of interest

The authors declared no conflict of interest.

This Page Intentionally Left Blank



## مقاله پژوهشی

# ارائه مدل ارزیابی و تحلیل ریسک دینامیک نشت گاز هیدروژن در یک واحد کلرزنی نیروگاه سیکل ترکیبی با استفاده از تکنیک پاپیونی

ایرج محمدفام<sup>۱</sup>، طاهره اسکندری<sup>۲</sup>

۱. گروه ارگونومی، مرکز تحقیقات سلامت در حوادث و بلازه، دانشگاه علوم توانبخشی و سلامت اجتماعی، تهران، ایران.

۲. گروه بهداشت حرفاها، دانشکده بهداشت، دانشگاه علوم پزشکی ایران، تهران، ایران.



**Citation:** Mohammadfam, I., & Eskandari, T. (2025). [Bow-tie Risk Assessment of Hydrogen Gas Leakage From the Chlorination Unit of a Combined-cycle Power Plant (Persian)]. *Disaster Prevention and Management Knowledge*, 15(2):230-241. <https://doi.org/10.32598/DMKP.15.2.811.1>

**doi:** <https://doi.org/10.32598/DMKP.15.2.811.1>

## حکم\*

تئیینه و هدف نیروگاه از نقطه نظر بروز حوادث شغلی از کاتونهای فوق العاده حساس در جهان به شمار می‌برد. با توجه به موقعیت حساس نیروگاه‌های سیکل ترکیبی، جهت حفظ نیروی انسانی، کاهش هزینه‌های برداختی بابت حوادث شغلی و کاهش روزهای تلفشده می‌باشد. ریشه‌یابی اصولی حوادث در این صنایع مورد تحقیق، پژوهش و بررسی روزافزون قرار گیرد.

برای ابتدا نشت گاز هیدروژن از واحد کلرزنی به عنوان سناریوی موردمطالعه جهت ارزیابی ریسک احتمالی انتخاب شد. برای آنالیز علت-پیامد سناریوی موردنظر از تکنیک پاپیونی (Bow-tie) استفاده شد. یک روش گرافیکی برای نشان دادن سناریوی کامل حادثه است که از علل حادثه شروع و با عاقب آن پایان می‌پارد.

یافته‌ها تحلیل نشت گاز هیدروژن از واحد کلرزنی با استفاده از تکنیک Bow-tie، ۴۴ علت پایه‌ای را شناسایی کرد. همچنین ۳ مانع ایمنی در پیشگیری از وقوع سناریوی موردنظر شناسایی شد که موقیت و شکست این موانع ایمنی منجر به تعیین ۶ پیامد نهایی شد.

نتیجه‌گیری: تجزیه‌وتحلیل علت - پیامد سناریوی با استفاده از دیاگرام Bow-tie، رویدادهای پایه‌ای، رویدادهای میانی، رویدادهای انتهایی و شناسایی پیامدهای احتمالی ناشی از نشت هیدروژن از واحد کلرزنی توجه شد. براساس تحلیل تکنیک BT، نقص عملکرد الکترولایزرها به عنوان مهم‌ترین عامل و انفجار آتش فورانی/آتش ناگهانی به عنوان مهم‌ترین پیامد در وقوع نشت هیدروژن از واحد کلرزنی شناخته شدند.

کلیدواژه‌ها: تحلیل ریسک، تکنیک پاپیونی، گاز هیدروژن، نیروگاه

اطلاعات مقاله

تاریخ دریافت: ۷ آذر ۱۴۰۳

تاریخ پذیرش: ۱۱ اسفند ۱۴۰۳

تاریخ انتشار: ۱۰ تیر ۱۴۰۴

اطلاعات مقاله

تاریخ دریافت: ۷ آذر ۱۴۰۳

تاریخ پذیرش: ۱۱ اسفند ۱۴۰۳

تاریخ انتشار: ۱۰ تیر ۱۴۰۴

\* نویسنده مسئول:  
طاهره اسکندری

نشانی: تهران، دانشگاه علوم پزشکی ایران، دانشکده بهداشت، گروه بهداشت حرفاها.

تلفن: +۹۸ ۰۲۱۴۱۲۰-۰۷۱

پست الکترونیکی: [T.eskandari304@gmail.com](mailto:T.eskandari304@gmail.com)



Copyright © 2025 The Author(s).

This is an open access article distributed under the terms of the Creative Commons Attribution License (CC-BY-NC). <https://creativecommons.org/licenses/by-nc/4.0/legalcode.en>, which permits use, distribution, and reproduction in any medium, provided the original work is properly cited and is not used for commercial purposes.

کیلوژول بر مول است. در صورت ترکیب هیدروژن با هوا، ممکن است در اثر یک جرقه کوچک، مقدار اندکی گرمایانور خورشید انفجار رخ دهد. حوادث مربوط به گاز هیدروژن در صنعت به علت خصوصیات ویژه آن (قابلیت اشتعال بالا، انفجار و پراکندگی) متفاوت از سایر حوادث صنعتی است. برای مثال انفجار هیدروژن در پاسلاندا<sup>۷</sup> آمریکا (سال ۱۹۹۲) منجر به کشته شدن ۲۳ نفر و زخمی شدن ۳۱۶ نفر شد. انفجار بر اثر نشت گاز هیدروژن در یک نیروگاه در هنگ کنگ (سال ۱۹۹۹) باعث مرگ ۲ نفر و مجروح شدن ۱۹ نفر شد. در همان سال آتشسوزی و انفجار هیدروژن در نیروگاهی در فلوریدا منجر به مرگ ۳ نفر و زخمی شدن ۵۰ نفر شد (باند و رید، ۲۰۲۰).

نیروگاه از نقطه‌نظر بروز حوادث شغلی از کانون‌های فوق العاده حساس در جهان به شمار می‌رود (فرشادمنش و همکاران، ۲۰۲۴). بنابراین با توجه به موقعیت حساس نیروگاه‌های سیکل ترکیبی، جهت حفظ نیروی انسانی، کاهش هزینه‌های پرداختی بابت حوادث شغلی و کاهش روزهای تلف شده می‌پایست ریشه‌یابی اصولی حوادث در این صنایع مورد تحقیق، پژوهش و بررسی روزافزون قرار گیرد (روبن و زای، ۲۰۱۲؛ لعل و همکاران، ۲۰۱۹). ارزیابی ریسک یکی از مهم‌ترین روش‌های کنترل هدفمند خطرات در صنعت است. همچنین مدیریت ریسک از مهم‌ترین ابزارهای تعیین استراتژی‌های کنترل است که باید در سطوح مختلف و ابعاد مختلف یک فرایند کاری بررسی شود (شیرالی و همکاران، ۲۰۱۳). از روش‌های مورداستفاده در ارزیابی ریسک، روش ارزیابی ریسک Bow-tie است که با یافتن روش احتمالاتی یکپارچه در مدیریت ریسک است که با یافتن علل بنیادین بروز یک حادثه و روابط منطقی حاکم بر آن‌ها، به تجزیه و تحلیل پیامدهای آن و ارزیابی احتمالات و مسیر رخداد سناریوهای مختلف جهت جلوگیری، کنترل و کاهش رویدادهای ناخواسته می‌پردازد (حیرانی و بقائی، ۲۰۱۶).

مارکوفسکی و کوتینیا در سال ۲۰۱۲، مطالعه‌ای با عنوان «کاربرد مدل Bow-tie در آنالیز لایه‌های حفاظتی» به این نتیجه رسیدند که در میان مدل‌های کیفی مختلفی که برای ارائه سناریوی حادثه استفاده می‌شود، رویکرد Bow-tie بهترین نمایش تصویری روابط بین خطرات مختلف (علل)، حادث، سیستم‌های ایمنی و پیامدهای آن به شمار می‌رود. این مدل می‌تواند برای همه سناریوهای احتمالی مورد استفاده قرار گیرد (مارکوفسکی و کوتینیا، ۲۰۱۱).

در مطالعه انجام‌شده توسط امیرحسین تکیه و همکاران، تحت عنوان «کاربرد تکنیک Bow-tie در آنالیز حادثه واحد SRP پالایشگاه شهید تندگویان تهران (سال ۱۳۹۰)» یکی از حوادث

## مقدمه

نیروگاه‌ها شامل مجموعه‌ای از ماشین‌آلات و دستگاه‌ها هستند که برای تبدیل انرژی نهفته برخی از مواد قابل احتراق یا انرژی پتانسیل جریان آب به انرژی الکتریکی مورد استفاده قرار می‌گیرند (آزاده و همکاران، ۲۰۰۷؛ فرشادمنش و همکاران، ۲۰۲۴). انواع نیروگاه‌ها شامل نیروگاه حرارتی (نیروگاه‌های هسته‌ای، بخاری، گازی، سیکل ترکیبی و دیزلی)، نیروگاه برق‌لایی، نیروگاه بخار، نیروگاه گازی و نیروگاه‌های با انرژی تجدیدپذیر هستند (هرینچنکو و همکاران، ۲۰۲۲). نیروگاه سیکل ترکیبی پریازده‌ترین نوع نیروگاه در بین تمامی نیروگاه‌های است. در چنین نیروگاه‌هایی انرژی حرارتی ناشی از گازهای خروجی توربین گاز به یک بویلر بازیافت با چرخه آب (بخار رفته و با چرخش پرهای توربین سبب تولید برق می‌شود (کومار و همکاران، ۲۰۲۰)). از آنجایی که یک نیروگاه سیکل ترکیبی دارای توربین بخار و کندانسور است، وجود سیستم خنک کننده در این نیروگاه لازم و ضروری است. با توجه به موقعیت جغرافیایی و شرایط آب‌وهوازی این نیروگاه‌ها نوع سیستم خنک کننده کندانسور می‌تواند یکی از سیستم‌های برج خشک<sup>۱</sup>، سیستم خنک کننده هوای کندانسور<sup>۲</sup> و یا سیستم یک بار - گذر<sup>۳</sup> باشد. سیستم یک بار - گذر برای نیروگاه‌های واقع در کنار دریا و یا رودخانه مناسب است (لین و همکاران، ۲۰۲۴).

به طور معمول نیروگاه‌های واقع در مجاورت دریا، آب را مستقیماً از دریا به داخل چرخه سیستم خنک کاری یک بار - گذر کشیده و نهایتاً دوباره آن را به داخل دریا تخلیه می‌کنند. شرایط در داخل چرخه سیستم خنک کاری محیط مناسبی جهت رسوب و رشد میکرووارگانیسم‌های دریایی است. این رسوبات می‌تواند منجر به انسداد لوله‌ها و کانال‌ها شود (محمدقاسم و همکاران، ۲۰۲۲). غربالگری جریان آب خنک کننده و تمیز کردن رسوبات، جزء استراتژی‌های کنترل کننده مؤثر در سیستم‌های نیروگاهی است. دوزینگ شیمیایی نظیر کلرزنی مکرر در سطوح پایین تراز سطح کشندگی<sup>۴</sup>، روشنی مؤثر برای پاکسازی فیزیکی آب است که به طور گسترده جهت کنترل رسوبات در کانال‌های خنک کننده نیروگاه برق مورد استفاده قرار می‌گیرد. فعل و افعال شیمیایی صورت گرفته در فرآیند تولید کلر موردنیاز در واحد کلرزنی نیروگاه‌های سیکل ترکیبی، منجر به تولید سدیم هیپوکلریت و گاز هیدروژن می‌شود (گلاور و همکاران، ۲۰۲۰). گاز هیدروژن بسیار قابل اشتعال و انفجار است. به طوری که در ترکیب با هوا و در بازه گسترده‌ای از غلظت ۴ تا ۷۵ درصد حجمی، قابلیت اشتعال و انفجار را دارد و آنتالپی استاندار سوختن آن ۲۸۶

1. Heller

2. Acc

3. Once-through

4. Sub-lethal)

### لیمیریک و همکاران، ۲۰۱۴.

باتوجه به موارد ذکر شده هدف مطالعه حاضر شناسایی و کمی سازی علل وقوع نشت گاز هیدروژن از واحد کلرزنی یک نیروگاه سیکل ترکیبی با سیستم خنک کننده یک بار - گذر براساس تکنیک Bow-tie است.

### روش

#### تکنیک Bow-tie

شناسایی و ارزیابی علل اصلی رخداد نشت گاز هیدروژن از واحد کلرزنی، همچنین پیامدهای ناشی از رخداد آن براساس تکنیک Bow-tie انجام شد.

BT یا تکنیک پاپیونی یک روش گرافیکی برای نشان دادن سناریوی کامل حادثه است که از علل حادثه شروع و با عاقب آن پایان می‌یابد. این مدل درواقع از ترکیب ۲ روش تحلیل درخت خطأ و تحلیل درخت رویداد تشکیل شده است. شناسایی و ارزیابی علل اصلی سناریوی موردنظر (رویداد اصلی) با استفاده از تکنیک تحلیل درخت خطأ انجام شد (رمضانی فروهمکاران، ۲۰۲۳). روش تحلیل درخت خطأ، یک مدل منطقی و سلسه‌مراتبی است که چگونگی وقوع یک حادثه ناخواسته را از ترکیب رویدادهای میانی<sup>۱</sup> و رویدادهای پایه‌ای<sup>۲</sup> نشان می‌دهد. حادثه ناخواسته معمولاً به عنوان رویداد اصلی درخت خطأ معرفی می‌شود. در این روش ارتباط بین رویدادها و علل آن‌ها با استفاده از دورازمایی منطقی OR AND و نشان داده می‌شود (اسکندری فروهمکاران، ۲۰۱۹، رمضانی فروهمکاران، ۲۰۲۳). همچنین براساس ارتباط منطقی بین رویدادهای پایه با رویدادهای میانی، احتمال رویدادهای میانی و درنهایت احتمال رویداد اصلی از طریق قوانین ترکیب دروازه‌ها طبق فرمول‌های شماره ۱، ۲، ۳ و ۴ محاسبه می‌شود.

قوانين ترکیب دروازه‌ها:

$$1. \text{ AND Gate: } P(A \cdot B) = P(A) \times P(B)$$

$$2. \text{ OR Gate: } P(A + B) = P(A) + P(B) - P(A) \cdot P(B)$$

$$3. P_{And}(E) = \prod_{i=1}^k P(E_i)$$

$$4. P_{Or}(E) = 1 - \prod_{i=1}^k (1 - P(E_i))$$

$P_{And}(E)$ : احتمال وقوع رویداد میانی یا رویداد اصلی با ورودی  $k$ : تعداد کل رویدادهای ورودی به دروازه موردنظر  
and

8. Fault Tree Analysis (FTA)

9. Event Tree Analysis (ETA)

10. Intermediate Events

11. Basic Events

فرایندی مهم منجر به فوت در شرکت ملی پالایش و پخش (Bow-tie) فراوردهای نفتی ایران با استفاده از تکنیک پاپیون (Bow-tie) که از مؤثرترین و نوین‌ترین روش‌های تجزیه و تحلیل حوادث به شمار می‌رود، مدل‌سازی شد. این بررسی نشان داد استفاده از روش سیستماتیک و تحلیلی Bow-Tie ضمن تعیین علل ریشه‌ای حوادث، در تعیین وظایف بحرانی با هدف اطمینان از یکپارچگی و اثربخشی کنترل‌های جاری کاملاً مؤثر بوده و نقش مهمی در شناسایی شاخص‌های کلیدی عملکرد (ایمنی، بهداشت و محیط زیست-HSE)<sup>۳</sup> و بهبود آن‌ها راه می‌دهد (تکیه، ۲۰۰۰).

در مطالعه‌ای که توسط لی و همکاران در سال ۲۰۱۸ در ارتباط با شبیه‌سازی سیستم مدیریت ایمنی پروسه کلرزنی براساس روش سیستم پویا<sup>۴</sup> صورت گرفت، به این مهم اشاره شد که کارگران، تجهیزات، مواد، محیط زیست و اورژی در فرایند کلرزنی در ارتباط بسیار نزدیک با هم هستند، در این مقاله با استفاده از تئوری و روش‌های پویایی سیستم، یک مدل دینامیکی سیستم کلرزنی برای بررسی عوامل ناظمینه‌ای که تأثیر قابل ملاحظه‌ای در فرایند کلرزنی دارند شبیه‌سازی شده است.<sup>۵</sup> مائزول مربوط به کارگران، مدیریت، قوانین (و مقررات) و تجهیزات و همچنین یک عامل مرتبط با درجه خوردگی، به طور جامع یکپارچه شده است. از طریق پیاده‌سازی یکسری از سناریوها با ورودی‌های مختلف، می‌توان دریافت مدل پیشنهادی دینامیکی سیستم می‌تواند الگوی نفوذ در میزان خوردگی تجهیزات را به دست آورد و مهارت کار، تأثیر مثبت و کاملی بر ایمنی سیستم دارد (لی و همکاران، ۲۰۱۸).

مارکوفسکی و کوتینیا در سال ۲۰۱۲، مطالعه‌ای با عنوان «کاربرد مدل Bow-tie در آنالیز لایه‌های حفاظتی» به این نتیجه رسیدند که در میان مدل‌های کیفی مختلفی که برای ارائه سناریو حادثه استفاده می‌شود، رویکرد Bow-tie بهترین نمایش تصویری برای روابط بین خطرات مختلف (علل)، حوادث، سیستم‌های ایمنی و پیامدهای آن به شمار می‌رود. این مدل می‌تواند مجموعه‌ای کامل از رویدادهای مسیر را معرفی کند که می‌تواند برای همه سناریوهای احتمالی مورد استفاده قرار گیرد (مارکوفسکی و کوتینیا، ۲۰۱۱).

در مطالعه انجام گرفته توسط بورگس-لیمیریکو همکاران در سال ۲۰۱۴، به تجزیه و تحلیل پاپیونی یک برخورد کشنده در یک معدن زغال‌سنگ زیرزمینی (معدن زغال‌سنگ زیرزمینی Queenland در سال ۲۰۰۷) با هدف آنالیز مرگ‌ومیر پرداخته شد. در این مقاله برای تشریح از روش Bow-Tie استفاده شد و به این نتیجه رسیدند که نمایش پاپیونی ارائه‌دهنده یک روش مؤثر سیستماتیک بررسی دلایل، نتایج و پیشگیری احتمالی و کاهش اقدامات کنترل یا موقع مرتبط با تصادف قبلی است (بورگس-

6. Health, Safety and Environmental (HSE)

7. System Dynamics (SD)

رویدادها و حوادث مختلف پس از رویداد اصلی ترسیم شد. با توجه به عملکرد موانع ایمنی یعنی شکست یا عملکرد صحیح و موردنانتظار، سناریوی نشت هیدروژن از واحد کلرزنی منجر به ۶ پیامد نهایی شد که آتش ناگهانی، آتش فورانی، آتش کروی، انفجار و انتشار مواد را شامل می‌شود.

بعد از ترسیم کیفی Bow-tie، احتمال رخداد رویدادهای پایه و موانع ایمنی با استفاده از پایگاه داده‌های مانند OREDA نظر کارشناسان در این زمینه و داده‌های ارائه شده در راهنمای آنالیز ریسک (۲۰۰۰) استخراج شد و کمی‌سازی BT با استفاده از ترکیب دروازه‌های منطقی و فرمول‌های شماره ۴، ۳ و ۵ انجام گرفت (جدول‌های منطقی و فرمول‌های شماره ۱ و ۲).

### بحث

این مطالعه در صنایع نیروگاهی با هدف شناسایی و ارزیابی خطرات و تعیین ریسک‌های ایمنی مؤثر در واحد کلرزنی نیروگاه‌های سیکل ترکیبی با سیستم خنک‌کاری یک بار - گذر با استفاده از جمع‌آوری داده‌ها از طریق روش‌های میدانی، شامل بررسی نقشه‌های دیاگرام جریان فرآیند (PFD)<sup>۱۰</sup> و نقشه‌های نمودار لوله کشی و ابزار دقیق (P&ID)<sup>۱۱</sup> و توسط اعضای تیم ارزیابی ریسک، بررسی حوادث و شبه‌حوادث واحد کلرزنی نیروگاه موردمطالعه و صنایع مشابه، مصاحبه با اپراتورها و خبرگان واحد کلرزنی نیروگاه موردمطالعه، بررسی دستورالعمل‌های کاری مکتوب جهت بهره‌برداری از سیستم، بررسی داده‌های نرخ نقص اجزای واحد کلرزنی، بررسی لای شیت‌های راماندازی و کنترل عملکرد روزانه سیستم و روش کتابخانه‌ای (استفاده از کتاب‌ها، مقاله‌ها، اینترنت و غیره) براساس روش تحلیل ریسک‌های نامطلوب سیستم با استفاده از روش صورت گرفته است. امروزه بیشتر مطالعات جهت طراحی استراتژی‌های پیشگیرانه و کنترلی حوادث در صنایع بر روی فرآیند مدیریت ریسک تمرکز بیشتری دارد، زیرا در این فرآیند رویدادهای پایه منجر به رخداد رویداد اصلی (سناریو) شناسایی می‌شوند تا امکان طراحی استراتژی‌های پیشگیرانه کارآمدتر فراهم شود (امین و همکاران، ۲۰۲۳).

در بین روش‌های تحلیل حوادث، تکنیک Bow-tie به عنوان یک روش کارآمد و قابل اعتبار به خاطر توانایی آن در نمایش علل رخداد یک حادثه در قالب یک مدل گرافیکی ثابت شده است (برقی‌پور و همکاران، ۲۰۲۱؛ آنکار و همکاران، ۲۰۲۳). tie، تکنیکی ثابت در مدیریت ریسک مرتبط و شناسایی علل مخاطرات است. این یک روش تجزیه و تحلیل جامع، سازمان‌یافته و منطقی با هدف شناسایی و ارزیابی مخاطرات سیستم‌های پیچیده است (برقی‌پور و همکاران، ۲۰۱۹).

16. Process Flow Diagram

17. Piping and Instrumentation Diagram

$$P_0(E) : \text{احتمال وقوع رویداد میانی یا رویداد اصلی با ورودی OR}$$

$$P(E_i) : \text{احتمال رخداد رویدادها در درخت خطای E برای i, k = ۱, ۲, \dots, n$$

در ادامه بهمنظور شناسایی پیامدهای مختلفی که در صورت وقوع رویداد اصلی (نشت گاز هیدروژن از واحد کلرزنی) و نقص هریک از موانع ایمنی ممکن است رخداد، از تکنیک آنالیز درخت رویداد<sup>۱۲</sup> (ETA) استفاده شد (کورمانوف و همکاران، ۲۰۲۴).

ETA یک ابزار بسیار قدرتمند برای شناسایی و محاسبه ترتیب رخداد سناریوهای دخیل در حادثه بالقوه است و یک تکنیک مدل‌سازی قیاسی است که با ایجاد ۲ شاخه موقیت و نقص بهطور همزمان به ارزیابی یک رویداد منفرد می‌پردازد. هدف این تکنیک، تعیین رخداد اولیه و پیامدهای آن در صورت عدم کارکرد صحیح سیستم‌های ایمنی است (اسکندر و همکاران، ۲۰۱۸؛ آندرورو و اریکسون، ۲۰۰۰). در این رویکرد، احتمال رخداد هر پیامد از طریق فرمول شماره ۵ محاسبه شد.

$$5. \Pr(\text{Consequence}) = \Pr(\text{TE}) \times \prod_{j=1}^n \Pr(E_j)$$

در این رابطه  $\Pr(\text{Consequence})$  احتمال رخداد هریک از پیامدها،  $\Pr(\text{TE})$  احتمال رویداد اصلی و  $\Pr(E_j)$  احتمال شکست یا موقیت موانع ایمنی است.

### یافته‌ها

تصویر شماره ۱ دیاگرام Bow-tie حاصل از سناریو نشت گاز هیدروژن از واحد کلرزنی را نشان می‌دهد که سمت چپ آن دیاگرام تحلیل درخت خطای و سمت راست آن دیاگرام ETA است.

در ابتدا ترسیم دیاگرام تحلیل درخت خطای نشت هیدروژن از واحد کلرزنی (به عنوان سناریو اصلی) انجام شد. شناسایی علل اصلی نشت هیدروژن از واحد کلرزنی از طریق مشاهدات مستقیم، مصاحبه با کارشناسان، بررسی استاندار و نقشه‌های عملیاتی جمع‌آوری شد. نتایج به ۳ علل اصلی، از جمله نقص در مخزن ذخیره کلر، نقص در عملکرد رکتی فایر و نقص عملکرد الکترولایزرها اشاره کرد. این علل اصلی به ۴۴ علل میانی و پایه‌ای بیشتر شکسته شدند. در مجموع ۶۴ علل یا نقص (۴۴ علل پایه‌ای و ۲۰ علل میانی) در وقوع نشت هیدروژن از واحد کلرزنی شناسایی شد.

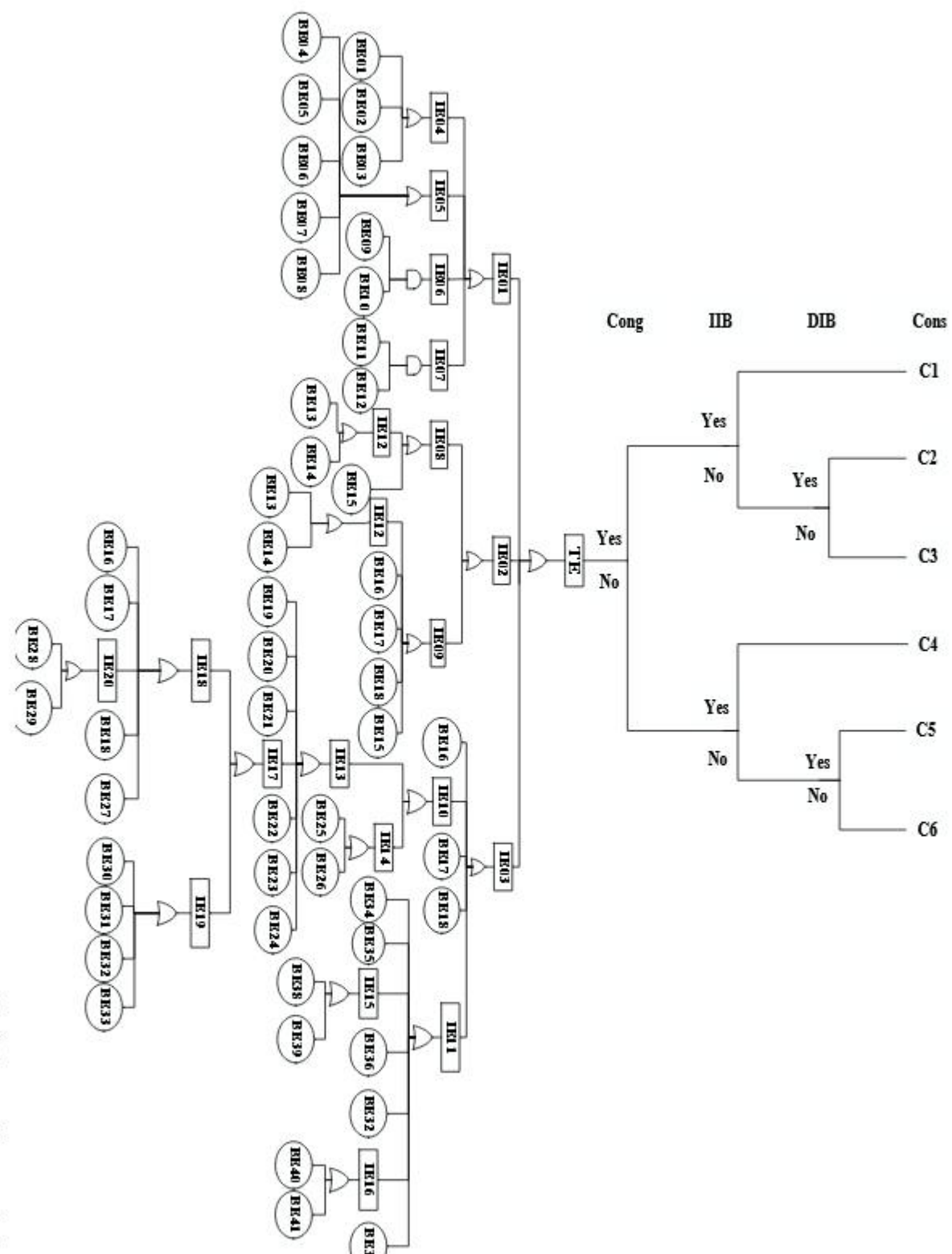
بخش درخت رویداد با درنظر گرفتن ۳ مانع ایمنی، تراکم و احتقان<sup>۱۳</sup>، جرقه آنی<sup>۱۴</sup> و جرقه تأخیری<sup>۱۵</sup> با هدف تعیین توالی

12. Event Tree Analysis (ETA)

13. Congestion

14. Immediate ignition barrier

15. Delay ignition barrier



تصویر ۱. دیاگرام Bowtie مدل ارزیابی و تحلیل ریسک دینامیک نشت گاز هیدروژن در یک واحد کارزنشی نیروگاه سیکل ترکیبی با استفاده از تکنیک پایه‌پویی



جدول ۱. نمادها، توصیف‌ها و احتمالات رویدادهای میانی (IE)

احتمال (BT)	توضیف	رویدادهای اصلی و میانی و پیامدها
$1/51 \times 10^{-1}$	نشست هیدروژن از واحد کلرزنی	Top Event
$2/41 \times 10^{-2}$	نقص در مخزن ذخیره کلر	IE01
$1/93 \times 10^{-2}$	نقص عملکرد رکتی فایر	IE02
$1/03 \times 10^{-1}$	نقص عملکرد الکترولایزرها	IE03
$6/44 \times 10^{-2}$	پایین بودن دبی تزريق	IE04
$2/78 \times 10^{-2}$	کاهش دبی هوای بلور	IE05
$1/78 \times 10^{-2}$	بالا بودن سطح مخزن	IE06
$1/59 \times 10^{-2}$	پایین بودن سطح مخزن	IE07
$5/59 \times 10^{-2}$	بالا بودن ولتاژ در رکتی فایر	IE08
$1/38 \times 10^{-2}$	چریان بالا در رکتی فایر	IE09
$4/68 \times 10^{-2}$	نقص سیستم تهیه آب نمک	IE10
$4/68 \times 10^{-2}$	بالا بودن فشار هیدروژن	IE11
$7/99 \times 10^{-4}$	خطای اپراتور	IE12
$4/24 \times 10^{-2}$	کاهش غلظت آب نمک	IE13
$4/65 \times 10^{-2}$	انتقال پایین نمک	IE14
$2/51 \times 10^{-2}$	نشست کل از سل‌ها	IE15
$7/71 \times 10^{-2}$	گرفتگی مسیر تهویه هیدروژن	IE16
$3 \times 10^{-2}$	بروز تنش در سل‌ها	IE17
$1/68 \times 10^{-2}$	چریان بالا	IE18
$1/33 \times 10^{-2}$	ولتاژ بالا	IE19
$1/13 \times 10^{-2}$	خطای انسانی	IE20

جدول ۲. نمادها، توصیف‌ها و احتمالات پیامدهای ناشی از نشت گاز هیدروژن

احتمال (BT)	توضیف	پیامدها
$9/06 \times 10^{-2}$	آتش کروی / آتش فورانی	C1
$4/89 \times 10^{-2}$	انفجار / آتش فورانی / آتش ناگهانی	C2
$2/26 \times 10^{-2}$	رهایش اینمن	C3
$6/04 \times 10^{-2}$	آتش فورانی	C4
$2/26 \times 10^{-2}$	آتش فورانی / آتش ناگهانی	C5
$2/17 \times 10^{-2}$	رهایش اینمن	C6

با توجه به پیچیدگی‌های فرایند و تأثیرات احتمالی آن، استفاده از مدل Bow-tie در شبیه‌سازی و تحلیل حوادث سیستم‌های پیچیده، مانند نیروگاه‌های سیکلی ترکیبی از اهمیت ویژگی برخوردار است. این مدل با لرائه تصویری شفاف از علل و پیامدهای حادثه، امکان شناسایی راههای مقابله با خطرات و طراحی استراتژی‌های مؤثر برای کاهش ریسکها و پیامدهای ناخواسته را فراهم می‌آورد. درنتیجه، استفاده از این روش در تحلیل ریسک‌های مرتبط با واحدهای کلرزنی نیروگاهها می‌تواند به افزایش ایمنی و کاهش خطرات منجر شود.

درنهایت، پیشنهاد می‌شود نیروگاههای بطور مدلوم بر سیستم‌های کنترل ایمنی نظارت داشته باشند و از نتایج این مطالعه برای بهبود برنامه‌های ایمنی و پیشگیری از حوادث استفاده کنند. این امر نه تنها به حفظ سلامت کارکنان و محیط زیست کمک خواهد کرد، بلکه به کاهش هزینه‌های اقتصادی ناشی از حوادث نیز منتهی می‌شود.

### ملاحظات اخلاقی

#### پیروی از اصول اخلاق پژوهش

این تحقیق با رعایت تمام اصول اخلاقی انجام شد. از آنجایی که هیچ آزمایشی روی نمونه‌های انسانی یا حیوانی انجام نشد، نیازی به رعایت اصول اخلاقی نبود.

حامی مالی

این پژوهش هیچ گونه کمک مالی از سازمان‌های دولتی، خصوصی و غیرانتفاعی دریافت نکرده است.

مشارکت‌نویسنگان

همه نویسنگان به طور یکسان در مفهوم و طراحی مطالعه، جمع‌آوری و تجزیه و تحلیل داده‌ها، تفسیر نتایج و تهیه پیش‌نویس مقاله مشارکت داشتند.

تعارض منافع

بنابر اظهار نویسنگان این مقاله تعارض منافع ندارد.

Bow-tie دارای توانایی استدلال استقرایی است که احتمال وقوع رویداد اصلی را پیش‌بینی می‌کند (میرزاچی علی‌آبادی و همکاران، ۲۰۱۶؛ پاپازور گیو و همکاران، ۲۰۲۳). نتایج استدلال استقرایی به منظور پیش‌بینی احتمال نشت گاز هیدروژن از واحد کلرزنی با رویکرد BT نشان داد احتمال وقوع بدست آمده  $10^{-1} \times 1/51$  است. همچنین نتایج استدلال استقرایی سناریوی نشت گاز هیدروژن از واحد کلرزنی با استفاده از مدل Bow-tie نشان داد پیامد دوم (انفجار / آتش فورانی / آتش ناگهانی) محتمل ترین پیامد ناشی از نشت گاز هیدروژن از واحد کلرزنی با احتمال وقوع  $10^{-1} \times 4/89$  است.

نتایج حاصل، حاکی از توان بالای این روش در تحلیل خطرات و ریسک‌ها با لرائه یک تحلیل روش و قابل فهم برای همگان از اقدامات پیشگرانه و واکنشی مطلوب است که این موضوع با یافته‌های تحقیق تکیه و همکاران در سال ۱۳۹۰ (تکیه، ۲۰۰۰)، مبنی بر نقش مهم Bow-tie در شناسایی شاخص‌های کلیدی عملکرد HSE و بهبود آن‌ها و همچنین مطالعه بورگس‌لیمیریکو در سال ۲۰۱۴ (بورگس‌لیمیریکو، ۲۰۱۴)، مبنی بر امکان ارائه یک روش مؤثر سیستماتیک بررسی دلایل، نتایج و پیشگیری احتمالی و کاهش اقدامات کنترل یا موائع مرتبط با تصادف قبلی با استفاده از روش Bow-tie، هم‌است است.

مطالعه حاضر یک رویکرد جامع تحلیل کمی ریسک نشت هیدروژن از واحد کلرزنی یک نیروگاه سیکلی ترکیبی با سیستم خنک‌کننده یک بار - گذر ارائه می‌دهد. نشت هیدروژن از واحد کلرزنی (سناریوی اصلی) و پیامدهای ناشی از آن برای تحلیل ریسک احتمالی مدنظر قرار گرفت. تجزیه و تحلیل علت - پیامد سناریو با استفاده از دیاگرام Bow-tie، رویدادهای پایه‌ای، رویدادهای میانی، موائع ایمنی و شناسایی پیامدهای احتمالی ناشی از نشت هیدروژن از واحد کلرزنی انجام شد. براساس تحلیل تکنیک Bow-tie، نقش عملکرد الکتروولایزرها به عنوان مهم‌ترین عامل و انفجار / آتش فورانی / آتش ناگهانی به عنوان مهم‌ترین پیامد در وقوع نشت هیدروژن از واحد کلرزنی شناخته شدند.

### نتیجه‌گیری

در این مطالعه، با استفاده از تکنیک تحلیل Bow-tie، خطرات و ریسک‌های ناشی از نشت گاز هیدروژن از واحد کلرزنی یک نیروگاه سیکلی ترکیبی با سیستم خنک‌کننده یک بار - گذر شناسایی و لرزیابی شد. نتایج نشان داد وقوع نشت هیدروژن از واحد کلرزنی ممکن است به پیامدهای جدی همچون انفجار، آتش فورانی و آتش ناگهانی منجر شود. از آنجایی که نقش عملکرد الکتروولایزرها به عنوان مهم‌ترین علت در وقوع این حادثه شناسایی شد اقدامات پیشگیرانه باید بر بهبود عملکرد این سیستم و پایش دقیق آن متمرکز شود.

## References

- Alencar, M., Silva, L., Bhardwaj, U., & Guedes Soares, C. (2023). Risk identification and Bowtie analysis for risk management of subsea pipelines. Paper presented at *The 33rd European Safety and Reliability Conference (ESREL 2023)*, 3 - 8 September 2023, Southampton, UK. [DOI:10.3850/978-981-18-8071-1\_P195-cd]
- Amin, Z., & Mohammad, R. (2023). Bowtie analysis for risk assessment of confined space at sewerage construction project. *Progress in Energy and Environment*, 24, 22-34. [DOI:10.37934/prog.e.24.1.2234]
- Andrews, J., & Ericson, C. A. (2000). Fault tree and Markov analysis applied to various design complexities. *Proceedings of the 18th international system safety conference*. [Link]
- Azadeh, A., Mohammad, F. I., & Garakani, M. (2007). A total ergonomic design approach to enhance the productivity in a complicated control system. *Information Technology Journal*, 6(7), 1036-1042. [DOI:10.3923/itj.2007.1036.1042]
- Bond, J., & Reid, D. (2020). Explosion at the Phillips' Houston chemical complex, Pasadena, 23 October 1989. *Loss Prevention Bulletin*, 272, 29-51. [Link]
- Borshipoour, H., Tehrani, G., Eskandari, T., Mohammadi, O., & Mohammadfam, I. (2021). Dynamic risk analysis of hydrogen gas leakage using Bow-tie technique and Bayesian network. *International Journal of Environmental Science and Technology*, 18, 3613-3624. [DOI:10.1007/s13762-020-03090-4]
- Borshipoour, H., Tehrani, G. M., Tehrani, N. A., Lomer, S. N., Esfahani, A. N., & Mohammadfam, I. (2019). Health Safety and Environmental Hazards of the Chlorination Unit of Combined Cycle Power Plants by Using HAZOP and Bow-Tie Methods. *Occupational Hygiene and Health Promotion*. [DOI:10.18502/ohhp.v3i2.1391]
- Burgess-Limerick, R., Horberry, T., & Steiner, L. (2014). Bow-tie analysis of a fatal underground coal mine collision. *Ergonomics Australia*, 10, 1-5. [Link]
- Eskandari, T., Aliabadi, M. M., & Mohammadfam, I. (2018). Dynamic analysis of the consequences of gas release in process industries using event tree technique and bayesian network. *International Journal of Occupational Hygiene*, 10(3), 151-157. [Link]
- Eskandari, T., Mohammadfam, I., & Mirzaei Aliabadi, M. (2019). [Dynamic Safety Analysis CNG Stations Using Fault Tree Approach and Bayesian Network (Persian)]. *Journal of Health and Safety at Work*, 9(4), 250-264. [Link]
- Fam, I. M., Azadeh, A., & Azadeh, M. A. (2023). Modeling an integrated health, safety and ergonomics management system: Application to power plants. *Journal of Research in Health Sciences*, 7(2), 1-10. [Link]
- Farshadmanesh, P., Beal, J., Sakurahara, T., Reihani, S., Kee, E., & Rowell, A. et al. (2024). Modeling interconnections of safety and financial performance of nuclear power plants part 1: Categorical review and theoretical bases. *Progress in Nuclear Energy*, 171, 105123. [DOI:10.1016/j.pnucene.2024.105123]
- Glover, A., Baird, A., & Brooks, D. (2020). *Final report on hydrogen plant hazards and risk analysis supporting hydrogen plant siting near nuclear power plants*. New Mexico: Sandia National Laboratories. [DOI:10.2172/1678837]
- Heyrani, P., & Baghaei, A. (2016). [Risk assessment in gas and oil pipelines based on the fuzzy Bow-tie technique (Persian)]. *Journal of Health and Safety at Work*, 6(1), 59-70. [Link]
- Hrinchenko, H., Koval, V., Shmygol, N., Sydorov, O., Tsimoshynska, O., & Matuszewska, D. (2023). Approaches to sustainable energy management in ensuring safety of power equipment operation. *Energies*, 16(18), 6488. [DOI:10.3390/en16186488]
- Kumar, P., Singh, L. K., & Kumar, C. (2020). Performance evaluation of safety-critical systems of nuclear power plant systems. *Nuclear Engineering and Technology*, 52(3), 560-567. [DOI:10.1016/j.net.2019.08.018]
- Kurmanov, A., Bekmagambetov, A., Daumova, G., Issamadiyeva, G., & Kulmagambetova, E. (2024). Event tree analysis as a method of assessing occupational risks in the production of titanium ingots. *International Journal of Safety and Security Engineering*, 14(5), 1371-1376. [DOI:10.18280/ijssse.140503]
- Laal, F., Fallah Madvari, R., & Halvani, G. (2019). The impact of safety programs on accident indicators in a combined cycle power plant. *Health in Emergencies and Disasters Quarterly*, 5(1), 45-52. [DOI:10.32598/hdq.5.1.320.1]
- Li, C. Y., Wang, J. H., Zhi, Y. R., Wang, Z. R., & Gong, J. H. (2018). Simulation of the chlorination process safety management system based on system dynamics approach. *Procedia Engineering*, 211, 332-342. [Link]
- Lin, H., Zhang, S., Cao, R., Yu, S., Bai, W., & Zhang, R., et al. (2024). A review on the risk, prevention and control of cooling water intake blockage in coastal nuclear power plants. *Nuclear Engineering and Technology*, 56(2), 389-401. [DOI:10.1016/j.net.2023.10.009]
- Markowski, A. S., & Kotynia, A. (2011). "Bow-tie" model in layer of protection analysis. *Process Safety and Environmental Protection*, 89(4), 205-213. [DOI:10.1016/j.psep.2011.04.005]
- Mirzaei Aliabadi, M., Mohammad Fam, I., Kalatpour, O., & Babayi Mesdaraghi, Y. (2016). [Risk assessment of liquefied petroleum gas (LPG) storage tanks in the process industries using the Bowtie technique (Persian)]. *Journal of Occupational Hygiene Engineering*, 3(2), 1-11. [DOI:10.21859/johhe-03021]
- Papageorgiou, P., Dermatis, Z., Anastasiou, A., Liargovas, P., & Papadimitriou, S. (2023). Using a Proposed Risk Computation Procedure and Bow-Tie Diagram as a Method for Maritime Security Assessment. *Transportation Research Record*, 2678(2), 318-339. [DOI:10.1177/03611981231173641]
- Ramezanifar, E., Gholamizadeh, K., Mohammadfam, I., & Aliabadi, M. M. (2023). Reliability assessment of fixed foam systems of storage tank based on fuzzy fault tree analysis. *Journal of Health & Safety at Work*, 13(1), 1-17. [Link]
- Rubin, E. S., & Zhai, H. (2012). The cost of carbon capture and storage for natural gas combined cycle power plants. *Environmental Science & Technology*, 46(6), 3076-3084. [DOI:10.1021/es204514f] [PMID]
- Shirali, G.A., Mohammadfam, I., Ebrahimipour, V. (2013). A new method for quantitative assessment of resilience engineering by PCA and NT approach: A case study in a process industry. *Reliability Engineering & System Safety*, 119, 88-94. [DOI:10.1016/j.ress.2013.05.003]
- Tekyeh, A. H., Jafari, M. J., & Mortazavi, S. B. (2000). [Application of Bow-Tie technique in the accident analysis of SRP Unit of Shahid Tondrooghan Refinery in Tehran (Persian)]. Paper presented at: The 7th National Conference on Occupational Health, Qazvin, Iran, 3 May 2011. [Link]

This Page Intentionally Left Blank



## Research Paper

# Analyzing the Physical and Infrastructural Resilience to Fire Accidents in District 20 of Tehran, Iran, Based on the Geographic Information System



Eslam Ali Khodabandehlou<sup>1</sup> , \*Amir Hooman Hemmasi<sup>2</sup> , Akramolmoluk Lahijanian<sup>1</sup> , Amir Hesam Hassani<sup>1</sup> , Ali Mohammadi<sup>1</sup>

1. Department of Environmental Management, Faculty of Natural Resources and Environment, Science and Research Branch, Islamic Azad University, Tehran, Iran.  
2. Department of Industry and Energy Engineering, Faculty of Natural Resources and Environment, Science and Research Branch, Islamic Azad University, Tehran, Iran.



**Citation** Khodabandehlou, E.A., Hemmasi, A.H., Lahijanian, A., Hassani AH., & Mohammadi, A. (2025). [Analyzing the Physical and Infrastructural Resilience to Fire Accidents in District 20 of Tehran, Iran, Based on the Geographic Information System (Persian)]. *Disaster Prevention and Management Knowledge*, 15(2):242-265. <https://doi.org/10.32598/DMKP.15.2.915.1>



<https://doi.org/10.32598/DMKP.15.2.915.1>

## ABSTRACT

**Background and objective** The present study aims to analyze the status of physical and infrastructural resilience to fire accidents in District 20 of Tehran, Iran based on the geographic information system.

**Method** First, the criteria to evaluate the physical and infrastructural resilience were collected. Then, researcher-made questionnaires were completed by 15 experts from fire departments in Tehran, to rate the importance of these criteria. The weight of these factors was calculated using the Expert Choice 11 software. By layering the criteria using the weights obtained from the analytical hierarchical process (AHP) in ArcGIS software, version 10.6 and overlaying the layers, the final resilience map of District 20 was prepared.

**Results** There were three main criteria, seven sub-criteria, and 21 indicators to evaluate the resilience. Based on the software output, the main criteria were prioritized as infrastructure resilience with a weight of 0.731, physical resilience with a weight of 0.188, and environmental resilience with a weight of 0.081. Based on the zoning map of resilience in the context of health, safety, and environment, it was found that 3.3% of the area (729,718 m<sup>2</sup>) had low resilience, 35.38% (7,802,578 m<sup>2</sup>) moderate resilience, 29.54% (6,513,646 m<sup>2</sup>) high resilience, 30.1% (6,639,824 m<sup>2</sup>) very high resilience, and 1.65% (364,196 m<sup>2</sup>) extremely high resilience.

**Conclusion** According to the results, the District 20 of Tehran has appropriate physical and infrastructural resilience to fire and accidents.

**Keywords** Physical resilience, Infrastructural resilience, GIS, Fire department, Tehran

Article Info:

Received: 29 Dec 2024

Accepted: 15 Mar 2025

Available Online: 01 Jul 2025

\* Corresponding Author:

Amir Hooman Hemmasi, Professor.

Address: Department of Industry and Energy Engineering, Faculty of Natural Resources and Environment, Science and Research Branch, Islamic Azad University, Tehran, Iran.

Tel: +98 (21) 44865164

E-mail: [h-hemmasi@yahoo.com](mailto:h-hemmasi@yahoo.com)



Copyright © 2025 The Author(s).

This is an open access article distributed under the terms of the Creative Commons Attribution License (CC-BY-NC: <https://creativecommons.org/licenses/by-nd/4.0/legalcode.en>), which permits use, distribution, and reproduction in any medium, provided the original work is properly cited and is not used for commercial purposes.



## Extended Abstract

### Introduction

**T**

he communication network plays an important role in the cities' resilience against natural disasters such as earthquakes and fire accidents. If this network has appropriate resilience and does not fail, it can play an important role in reducing casualties from accidents. Access routes as a communication network of the city are very important for rescue forces to reach the accident scene in the shortest possible time and continue operational measures. Various accidents and events have occurred in the Tehran metropolis, Iran. The present study aims to investigate the current and ideal state of physical and infrastructural resilience of District 20 of Tehran based on the geographic information system (GIS) in order to help the Tehran Fire Department during crises and natural disasters.

### Materials and Methods

First, three criteria, seven sub-criteria, and 21 indicators were collected to evaluate the physical and infrastructural resilience of the fire stations. Considering that some criteria and sub-criteria are preferable to other criteria and play a significant role in the infrastructural and physical resilience, 15 researcher-made questionnaires were completed by experts from fire departments in Tehran. They were asked to rate the importance of the criteria from 1 to 9. The weight of these criteria was calculated using the Expert Choice 11 software. The inconsistency ratio for judgment consistency was less than 0.1. By layering the criteria using the weights obtained from the analytical hierarchical process (AHP) method in the ArcGIS software, version 10.6 and overlaying the layers, the final resilience map of District 20 was prepared.

### Results

The first examined criterion was the infrastructure resilience, which had three sub-criteria, including: Fire stations (number and area of fire stations, number of vehicles and equipment, population density, number of personnel, number of hydrants), vital arteries (roads, power transmission, and gas lines), and relief and military centers (health centers, military centers). The second criterion was physical resilience, which had two sub-criteria of occupations (low-risk places, high-risk places, moderate-risk places) and urban fabric (worn fabric, historical buildings, bridges). The third criterion was environmental resilience with the sub-criteria of geographical features (slope, faults, and

canals) and environmental sustainability (green space of public and private roads).

Based on the AHP results and the output of Expert Choice 11 software, the infrastructure resilience was the first priority (weight=0.731), followed by the physical resilience (weight=0.188) and environmental resilience (weight=0.081). Based on the zoning map of resilience in the context of health, safety, and environment, it was found that 3.3% of the area ( $729,718 \text{ m}^2$ ) had low resilience, 35.38% ( $7,802,578 \text{ m}^2$ ) moderate resilience, 29.54% ( $6,513,646 \text{ m}^2$ ) high resilience, 30.1% ( $6,639,824 \text{ m}^2$ ) very high resilience, and 1.65% ( $364,196 \text{ m}^2$ ) extremely high resilience. The results of analyzing the functional radius of seven fire stations showed that fire stations (fire, rescue, and support) in old neighborhoods with narrow passages (region 1 and the southern part of region 4) face accessibility challenges which should be considered in order to make the area resilient to fires and accidents.

### Conclusion

According to the results, the District 20 of Tehran has appropriate physical and infrastructural resilience to fire and accidents.

### Ethical Considerations

#### Compliance with ethical guidelines

This research was conducted in compliance with the ethical principles. Since there was no experiment on human or animal samples, the need for an ethical code was waived.

#### Funding

This research did not receive any specific grant from funding agencies in the public, commercial, or not-for-profit sectors.

#### Authors' contributions

All authors contributed equally to the conception and design of the study, data collection and analysis, interpretation of the results, and drafting of the manuscript. Each author approved the final version of the manuscript for submission.

#### Conflicts of interest

The authors declared no conflict of interest.



### Acknowledgments

The authors would like thank the Technology and Information Unit of the Tehran Fire Department for providing information and all firefighters and experts who participated in responding to the questionnaire.



## مقاله پژوهشی

## ارزیابی تابآوری کالبدی و زیرساختی محدوده عملیاتی ایستگاههای آتشنشانی منطقه ۲۰ شهر تهران با استفاده از سامانه GIS

اسلام علی خدابندلou<sup>۱</sup>, امیرهومن حمصی<sup>۲</sup>, اکرمالمولک لاهیجانیان<sup>۱</sup>, امیرحسام حسنی<sup>۱</sup>, علی محمدی<sup>۱</sup>

۱. گروه مدیریت محیط زیست، دانشکده منابع طبیعی و محیط زیست، واحد علوم تحقیقات، دانشگاه آزاد اسلامی، تهران، ایران

۲. گروه مهندسی صنعت و انرژی، دانشکده منابع طبیعی و محیط زیست، واحد علوم و تحقیقات، دانشگاه آزاد اسلامی، تهران، ایران



**Citation:** Khodabandehlou, EA., Hemmasi, AH., Lahijanian, A., Hassani AH., & Mohammadi, A. (2025). [Analyzing the Physical and Infrastructural Resilience to Fire Accidents in District 20 of Tehran, Iran, Based on the Geographic Information System (Persian)]. *Disaster Prevention and Management Knowledge*, 15(2):242-265. <https://doi.org/10.32598/DMKP.15.2.915.1>

**doi:** <https://doi.org/10.32598/DMKP.15.2.915.1>

## حکایت

**تئیین و هدف:** هدف از پژوهش حاضر، تحلیل وضعیت تابآوری کالبدی و زیرساختی در برابر حوادث و آتشسوزی در منطقه ۲۰ شهر تهران بر اساس سامانه اطلاعات جغرافیایی (GIS) است.

**روش:** ابتدا معیارهای ارزیابی تابآوری کالبدی و زیرساختی گردآوری شد. سپس، پرسشنامه‌های محقق‌ساخته توسط ۱۵ نفر از کارشناسان سازمان آتش‌نشانی تهران تکمیل شد تا اهمیت این معیارها مشخص شود. وزن این عوامل با استفاده از ترم‌افزار Expert نسخه ۱۱ محاسبه شد. با لایه‌بندی معیارها با استفاده از وزن‌های بدست‌آمده از فرآیند تحلیل سلسه مراتبی (AHP) در محیط نرم‌افزار Arc GIS نسخه ۲۶، ۱۰ روی هم قرار دادن لایه‌ها، نقشه تهابی تابآوری منطقه ۲۰ تهیه شد.

**یافته‌ها برای تابآوری سه معیار اصلی، هفت زیرمعیار و ۲۱ شاخص مورد تحلیل قرار گرفت.** بر اساس خروجی نرم‌افزار، معیارهای اصلی به ترتیب تابآوری زیرساختی با وزن ۰/۷۳۱، تابآوری کالبدی با وزن ۰/۱۸۸ و تابآوری زیستمحیطی با وزن ۰/۰۸۱ لولویت‌بندی شدند. بررسی ۳ معیار ۷ زیرمعیار و ۲۱ شاخص مکانی برای ارزیابی تابآوری مکانی در منطقه ۲۰، حاکی از آن است که بر اساس ضریب اهمیت، لولویت‌بندی معیارهای تابآوری به ترتیب تابآوری زیرساختی با وزن ۰/۷۳۱، تابآوری کالبدی با وزن ۰/۰۸۱ و تابآوری زیستمحیطی ۰/۰۸۱ تعیین گردید. بر اساس نقشه پهنه‌بندی تابآوری در زمینه اینست، بهداشت و محیط زیست مشخص شد ۰/۷۳ درصد مساحت ۷۹۷۱۸ مترمربع (تابآوری کم، ۳۵۳۸ درصد ۷۸۰ مترمربع) تابآوری متوسط، ۰/۹۰۵ درصد ۲۹۰۵۴ مترمربع (تابآوری زیاد، ۱/۰ درصد ۳۰۱۹۶ مترمربع) تابآوری خیلی زیاد و ۰/۰۶۵ درصد ۳۶۴۱۹۶ مترمربع (تابآوری بسیار بالا) دارد.

**نتیجه‌گیری:** بر اساس نتایج منطقه ۲۰ تهران از نظر تابآوری کالبدی و زیرساختی در برابر آتشسوزی و حراثت از وضعیت مناسب برخوردار است.

**کلیدواژه‌ها:** تابآوری کالبدی، تابآوری زیرساختی، سامانه اطلاعات جغرافیایی، آتشنشانی تهران، منطقه ۲۰ شهر تهران

اطلاعات مقاله

تاریخ دریافت: ۹ دی ۱۴۰۳

تاریخ پذیرش: ۲۵ اسفند ۱۴۰۳

تاریخ انتشار: ۱ تیر ۱۴۰۴

\* نویسنده مسئول:

دکتر امیرهومن حمصی

+۱

نشانی: تهران، دانشگاه آزاد اسلامی، واحد علوم و تحقیقات، دانشکده منابع طبیعی و محیط زیست، گروه مهندسی صنعت و انرژی

تلفن ثابت: +۹۸ (۰۱۱) ۴۴۸۵۱۹۴

پست الکترونیکی: h-hemmasi@yahoo.com



آتش‌نشانان معمولاً در محیط‌های مخاطره‌آمیز و از جمله انفجارها به امدادرسانی و عملیات می‌پردازند، بنابراین آسیب‌پذیری آنان در حد بالایی است. با توجه به اهمیت تاب‌آوری سازمانی در سازمان‌های امدادی و بمویزه سازمان‌های آتش‌نشانی به عنوان اولین پاسخ‌گو در مواجهه با حریق و حوادث، کیفیت خدمات و تاب‌آوری سازمانی در ارزیابی خدمات ایمنی شهروندان یک موضوع مهم و مؤثر در این سازمان‌ها است (خدینده‌لو، ۱۴۰۳). شهر تاب‌آور، شهری است که برای آماده‌شدن و پاسخ‌گویی به همه‌گونه مخاطرات طبیعی و انسان‌ساخت، ناگهانی و کند (براساس سرعت وقوع)، موردنانتظار و غیرمنتظره ارزیابی، برنامه‌ریزی و اقدام می‌کند (انجرانی و همکاران، ۱۴۰۲).

#### پیشینه تحقیق

روند توسعه شهری در طی دهه‌های اخیر بسیار شدت یافته و انطباق محیط ساخته شده و زیرساخت‌های حیاتی برای افزایش تاب‌آوری آن‌ها نیاز است. یکی از مهم‌ترین عناصر، زیرساخت‌های حمل و نقل هستند. پرداختن به تاب‌آوری این زیرساخت‌ها به عنوان رویکردی راهبردی از اهمیت خاصی برخوردار است (زبردست و همکاران، ۱۴۰۲). امروزه نظریه‌های مدیریت سوانح به دنبال ایجاد جوامع تاب‌آور در برابر مخاطرات طبیعی هستند و ضرورت توجه به رویکرد آینده‌پژوهی و نقش و جایگاه آن در ارتقای تاب‌آوری از اهمیت بسیاری برخوردار است (آراسته و همکاران، ۱۳۹۹).

در پژوهشی با عنوان «تاب‌آوری شهر در برابر زلزله با رویکرد آینده‌پژوهی در راستای افزایش تاب‌آوری منطقه ۱ شهرداری تهران» علاوه بر مدل بهینه تاب‌آوری، دسترسی به ایستگاه‌های آتش‌نشانی و مراکز درمانی که نقش بسیار حیاتی در افزایش تاب‌آوری منطقه در برابر زلزله با رویکرد آینده‌پژوهی دارد، محدوده تحت پوشش و عملکرد مطلوب مورد بحث و بررسی قرار گرفته است. کاهش سازگاری تاب‌آوری شهری در آینده، ممکن است ابزاری جهانی برای ردیابی پیشرفت شهرها به سمت توسعه تاب‌آور آب و هوا و افزایش جاهطلبی و تقویت اقدامات ارائه دهد (پلینگ و همکاران، ۲۰۲۴).

براساس بررسی پژوهش‌ها و استاندارد جهانی، حداقل زمان پاسخ به کنترل حریق و حوادث ۵ دقیقه است. بنابراین هر کدام اعزام از ایستگاه‌های آتش‌نشانی از زمان اعلام حریق و حوادث تا رسیدن آتش‌نشانان به محل حادثه (در محدوده تحت پوشش)، نباید بیش از ۵ دقیقه طول بکشد. بنابراین پراکندگی و جانمایی مناسب ایستگاه‌های آتش‌نشانی در سطح شهر از مهم‌ترین موارد ضروری و کلیدی در کلان‌شهرها جهت کاهش زمان سفر است (آیشم و همکاران، ۱۴۰۲).

#### مقدمه

حریق و حوادث رخ داده در سالیان اخیر بیانگر این موضوع است که سازمان‌ها به صورت فزاینده‌ای آسیب‌پذیر شده و ریسک‌هایی ناشی از حریق و حوادث نیز افزایش یافته‌اند. نگاه مدیریت شهری در سوانح، رویکرد کاهش مخاطرات و آسیب‌پذیری بوده است. کلان شهر تهران همواره با حوادث و رویدادهای مختلفی همراه است (خدینده‌لو و همکاران، ۱۴۰۳).

هدف اصلی و کاربردی پژوهش حاضر، بررسی وضعیت موجود و ایدئال تاب‌آوری کالبدی و زیرساختی محدوده موردمطالعه جهت افزایش تاب‌آوری و درنتیجه کاهش آسیب‌پذیری در سازمان آتش‌نشانی تهران به عنوان اولین سازمان امدادی پاسخ‌گو در زمان وقوع بحران و سوانح طبیعی (سیل، زلزله و غیره)، سوانح انسان‌ساخت (حریق، حوادث و خدمات ایمنی) و همچنین حوادث تروریستی است که درنهایت منجر به کاهش خسارات جانی و مالی (آتش‌نشانان و شهروندان) و کاهش آسیب به محیط زیست شهری خواهد شد. شبکه ارتباطی شهر، نقش مهمی در تاب‌آوری شهر در برابر حریق و حوادث دارد. در صورتی که شبکه ارتباطی و مسیرهای دسترسی از تاب‌آوری مناسبی برخوردار باشد و عملکرد خود را از دست ندهد، می‌تواند نقش مهمی در کاهش تلفات ناشی از حوادث داشته باشد. مسیرهای دسترسی بعد از وقوع حوادث به عنوان شبکه ارتباطی (شريان‌های حیاتی) شهر برای نیروهای امدادی جهت رسیدن به محل حادثه در کمترین زمان ممکن و در ادامه اقدامات عملیاتی، از قبیل تخلیه، نجات و فاصله گرفتن از شرایط پر خطر و دسترسی به فضاهای امن بسیار حائز اهمیت است. بنابراین در صورت مسدود شدن هر کدام از مسیرهای ارتباطی، خسارات و تلفات ناشی از حوادث و بحران چندین برابر افزایش می‌یابد. در این میان، زلزله اغلب تلفات جبران‌ناپذیری را بر این سکونتگاه‌ها و ساکنان آن تحمیل کرده که لازم است تا با مقاومت‌سازی شهرها بتوان صدمات ناشی از آن را کاهش داد (واله و همکاران، ۱۴۰۰).

تاب‌آوری<sup>۱</sup>، مفهوم نوظهوری است که بیشتر در مواجهه با عدم قطعیت‌ها به کار می‌رود. تاب‌آوری سازمانی به منظور رویارویی و مقابله با چالش‌ها و رخدادهای ناپنهنگام، اقداماتی را که نقش اساسی در افزایش تاب‌آوری در سازمان‌ها بازی می‌کنند در پیش می‌گیرد (سیاح‌پور، ۱۳۹۷). تاب‌آوری را می‌توان جزو مباحث چالش پرانتگیز سازمان امداد و نجات دانست (آقایانی و همکاران، ۱۴۰۳). تاب‌آوری توانایی ذاتی یک سیستم برای تنظیم عملکرد آن است تا بتواند عملیات موردنیاز را در هر دو مورد پیش‌بینی کرده و شرایط غیرمترقبه را حفظ کند (هولناز، ۱۴۰۱). تاب‌آوری در مشاغل پر خطر که در آن‌ها یک حادثه می‌تواند منجر به آسیب یا حتی مرگ شود بسیار حائز اهمیت است (زردان، ۱۳۹۶).

1. Resilience

تجزیه و تحلیل تابآوری زیرساخت‌های حمل و نقل برای حمایت از برنامه‌ریزی و طراحی و همچنین مدیریت کارآمد متمرکز هستند. به عنوان یک بررسی جامع، این پژوهش معیارهای مختلفی را برای ارزیابی تابآوری با بحث درمورد چالش‌های اساسی ناشی از عدم قطعیت‌ها و ابستگی‌های متقابل، پوشش می‌دهد (سان و همکاران، ۲۰۲۰).

**پژوهش لویی و همکاران (۲۰۱۹)** براساس تحلیل عمیق خطر تابآوری در بلایا، ضریب سازگاری ساختار صنعتی و استغال و نرخ رشد سرانه تولید ناخالص داخلی را از دیدگاه اجتماعی اقتصادی برای سنجش تابآوری در برابر بلایا بررسی می‌کند. نتایج نشان می‌دهد تأثیر «اثر پس از زلزله» بر تابآوری در برابر بلایا به طور قابل توجهی در طول زمان کاهش می‌یابد و شدت لرزه‌ای و پیچیدگی توپوگرافی، عوامل داخلی مهمی هستند که بهبود تابآوری در بلایا را محدود می‌کنند. این پژوهش یک سناریوی کاربردی گستردگر برای مفهوم تابآوری، بهویژه در مدیریت ریسک یکپارچه و فرایند بازسازی پس از زلزله ارائه می‌کند.

**پژوهش سرشتمداری و همکاران (۲۰۲۲)** زمان پاسخ آتش‌نشانی به مکان‌های دچار آتش‌سوزی شده پس از زلزله را بررسی می‌کند و چارچوبی را برای شناسایی مناطق آسیب‌پذیر در یک جامعه با در نظر گرفتن احتمال حریق و تأخیرهای بالقوه در پاسخ آتش‌نشانی پیشنهاد می‌کند. تأخیرها به عنوان تابعی از آسیب پل و راه‌های مسدودشده به دلیل آوار ساختمان محاسبه می‌شود. عدم قطعیت در عملکرد پل و تجمع زباله در تجزیه و تحلیل گنجانده شده است. این چارچوب برای یک مطالعه موردي اعمال می‌شود تا نشان دهد چگونه کار پیشنهادی می‌تواند برای برنامه‌ریزی متابع آتش‌نشانی و به حداقل رساندن تلفات ناشی از آتش‌سوزی‌های پس از زلزله استفاده شود. سنجش تابآوری مناطق زلزله‌زده در اولویت برای علم پیشگیری و کاهش بلایا است. این پژوهش براساس تحلیل عمیق، خطر تابآوری در بلایا، ضریب سازگاری ساختار صنعتی و استغال و نرخ رشد سرانه تولید ناخالص داخلی را از دیدگاه اجتماعی اقتصادی برای اندازه‌گیری تابآوری در برابر بلایا می‌سنجد (لوی و همکاران، ۲۰۱۹).

تابآوری نوظهورترین مفهوم برای کاهش خسارات مربوط به فاجعه است. ارزیابی تابآوری زیرساخت ویژگی‌های کلیدی را در تمام مراحل، یعنی قبل، حین و بعد از فاجعه ارائه می‌کند. اگر این ویژگی‌ها بدرستی مورد توجه قرار گیرند، تقویت تابآوری زیرساختی آسان می‌شود. میراث فرهنگی جوامع را به گذشته متصل می‌کند و سهمی برابر در توسعه اقتصادی دارد. در این پژوهش، روش‌های گذشته با مرکز بر تابآوری سیستم زیرساخت بهطور انتقادی بررسی شده‌اند و یک رویکرد تحلیلی برای مقابله با مفهوم تابآوری از طریق بعد اقتصادی و حفاظت از میراث فرهنگی پیشنهاد شده‌اند (کامران، ۲۰۲۲).

نتایج حاصل از پژوهش مکان‌یابی بهینه گسترش کالبدی شهر سردشت نشان می‌دهد بر مبنای نقشه همپوشانی به دست آمده که حاصل مدل‌های فازی و فرایند تحلیل شبکه‌ای<sup>۱</sup> (ANP) است، بهترین اراضی جهت توسعه آتی شهر سردشت با توجه به موقعیت مکانی شهر به صورت پراکنده در قسمت‌های جنوب، جنوب غربی، شمال شرقی و غرب قرار گرفته است (بزنانی و همکاران، ۲۰۲۴). مطالعه تابآوری شهرها در مقابل زلزله از الزامات برنامه‌ریزی کاهش خسارات جانی و مالی زلزله در شهرهاست. تابآوری تعاریف گوناگونی دارد و مدلی جامع بهمنظور محاسبه کمی آن وجود ندارد. تنها یک راهکار فنی یا اجتماعی نمی‌تواند ضمن موفقیت طرح‌های بهبود تابآوری شهری باشد (قاسمی و همکاران، ۱۳۹۹).

با آنکه پژوهش‌های بسیاری در حوزه بحث تابآوری اجتماعی انجام پذیرفته است، اما هنوز زوایای دقیق نحوه کنشگری یک جامعه محلی در مواجهه با شرایط بحران و نیز نحوه تأثیر آنچه از ادبیات علمی به عنوان شاخص‌های تابآوری اجتماعی شناخته می‌شود، روش نیست. به نظر می‌رسد انجام پژوهش‌های عمیق با رویکرد کیفی و پدیدارشناخته در مقیاس محلی بتواند درک عمیق‌تری از ابعاد و لایه‌های تابآوری یک اجتماع محلی به دست دهد (روستا و همکاران، ۱۴۰۳). فرونشست زمین پتانسیل ایجاد یک فاجعه عظیم انسانی را دارد و در صورت وقوع آن، زمین‌های کشاورزی، بافت شهرها، شریان‌های حیاتی و بسیاری از جنبه‌های زیست‌محیطی را در معرض آسیب‌پذیری شدید قرار خواهد داد (رضایی و همکاران، ۱۴۰۱). در پژوهشی با عنوان «ارائه راهبردهای کاهش آسیب‌پذیری کالبدی شهر کرمانشاه از زلزله» به ارائه راهبردهای کاهش آسیب‌پذیری کالبدی شهر کرمانشاه از زلزله، ارائه مدل‌های کاهش آسیب‌پذیری از زلزله با استفاده از اصول برنامه‌ریزی شهری و به کارگیری مدیریت بحران شهری، جهت ارائه راهبردها و برنامه‌های عملیاتی بهمنظور ارتقاء تابآوری و کاهش آسیب‌پذیری شهر کرمانشاه از زلزله پرداخته شد (حمیدی، ۱۴۰۲).

**نصیری هنده خاله و همکاران (۱۴۰۲)** در پژوهشی به مکان‌یابی پایگاه پشتیبانی مدیریت بحران مرکزی شهر کرج با استفاده از سیستم اطلاعات جغرافیایی پرداختند. براساس یافته‌های این پژوهش و پس از ترکیب لایه‌های اطلاعاتی در سیستم اطلاعات جغرافیایی<sup>۲</sup> (GIS) نقشه مکان‌یابی پایگاه پشتیبانی مدیریت بحران مرکزی شهر کرج در ۵ سطح طبقه‌بندی شد. زیرساخت‌های حمل و نقل، نقش مهمی در حمایت از اقتصاد ملی و رفاه اجتماعی ایفا می‌کند. رویدادهای شدید، آسیب‌های فیزیکی و حشتناکی را به زیرساخت‌های حمل و نقل همراه با اثرات اجتماعی و اقتصادی درازمدت وارد کرده است. تعداد فرایندی از مطالعات بر

2. Analytical Network Process

3. Geographic Information System (GIS)



شدت حادثه در زمان وقوع سیل می‌شوند (ابراهیمی‌پور و همکاران، ۱۴۰۰). عدم آمادگی در راستای مواجهه و رویارویی با بحران منجر به افزایش تلفات انسانی و مادی و زمان بر شدن فرایند بازگشت جوامع انسانی به شرایط پیش از وقوع بحران خواهد شد. با توجه به اینکه از اصلی ترین نیازهای فرد آسیب‌دیده ناشی از بحران، دستیابی به یک سرپناه و دریافت خدمات اولیه در ساعت‌های ابتدایی وقوع بحران است، پایگاه‌های پشتیبان مدیریت بحران، می‌توانند در راستای امدادرسانی به بازمدگان مؤثر واقع شوند (صادقی‌پور و همکاران، ۱۴۰۲).

توجه به مقیاس و ابعاد بافت فرسوده از بعد تاب‌آوری در برابر آتش‌سوزی رویکردی لازم و ضروری است، بنابراین رعایت حریم مناسب تصرف‌ها از اماکن پرخطر، مانند پمپ بنزین و گاز، تعریض و اصلاح معابر در برخی نواحی، بهخصوص نواحی با تراکم جمعیتی بالا و دلایل بافت فرسوده و احداث ایستگاه‌های آتش‌نشانی جدید می‌تواند باعث افزایش تاب‌آوری در منطقه شود (خیردست و همکاران، ۱۴۰۳الف). عوامل متعددی، از جمله عدم توجه مدیران به مسائل اینمنی و تصمیمات اتخاذ شده در این زمینه و همچنین بی‌توجهی به ریسک‌ها و مخاطرات موجود، باعث کاهش تاب‌آوری می‌شود (خیردست و همکاران، ۱۴۰۳ب).

### روش

هدف از انجام پژوهش حاضر، ارزیابی تاب‌آوری کالبدی و زیرساختی محدوده عملیاتی ایستگاه‌های آتش‌نشانی منطقه ۲۰ شهر تهران با استفاده از سامانه (GIS) است. ماهیت این تحقیق از نوع علمی‌پژوهشی و روش این مطالعه، کاربردی مبتنی بر مطالعات کتابخانه‌ای و نیز روش‌های میدانی، نظریه پرسشنامه محقق‌ساخته است. در پژوهش حاضر جهت تهیه پرسشنامه وضعیت تاب‌آوری کالبدی و زیرساختی محدوده عملیاتی ایستگاه‌های تحت پوشش منطقه ۲۰ شهرداری تهران از ۳ معیار، ۷ زیرمعیار و ۲۱ شاخص طبق جدول شماره ۱ استفاده شده است. با عنایت اینکه بعضی از معیارها و زیرمعیارها نسبت به سایر معیارها لرجحیت دارند و نقش بسزایی در تاب‌آوری زیرساختی و کالبدی منطقه مورد مطالعه داشتند، پرسش‌نامه‌ای برای وزن دهنی و تعیین اهمیت نسبی هر کدام از معیارها گردآوری شد و در میان کارشناسان و خبرگان سازمان آتش‌نشانی تهران توزیع و تکمیل شد. در پژوهش حاضر و در فرایند تحلیل تاب‌آوری ایستگاه‌های آتش‌نشانی، اولین گام گردآوری داده‌های موردنیاز از منطقه مورد مطالعه بود.

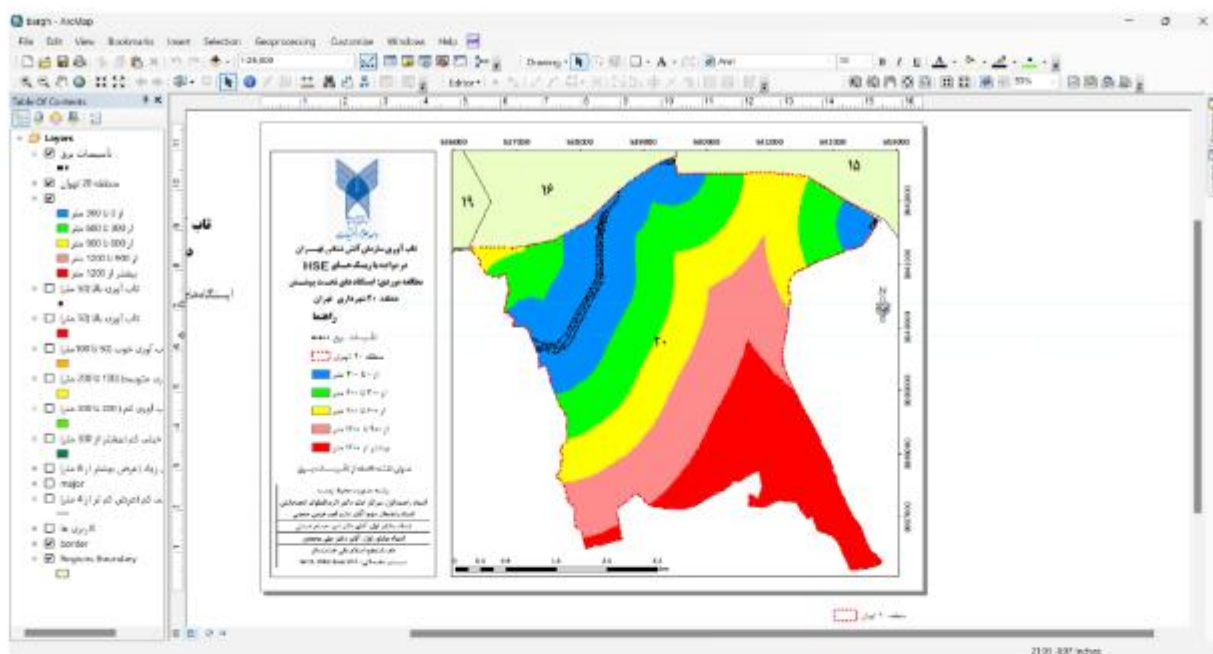
این داده‌ها می‌توانند شامل اطلاعات جغرافیایی، مانند موقعیت دقیق ایستگاه‌ها و شبکه راه‌ها و داده‌های مرتبط با ویژگی‌های محیطی و جمعیتی باشد. جمع‌آوری شیپ‌فایل داده‌های موردنیاز پس از اخذ مجوزهای لازم توسط واحد فناوری و اطلاعات شهرداری منطقه ۲۰ و واحد GIS سازمان آتش‌نشانی تهران جهت

پژوهش ساتی و همکاران (۱۴۰۲۱)، یک روش جدید ارزیابی ریسک لرزه‌ای را در سطح ناحیه محلی پیشنهاد می‌کند. بهطور خلاصه، یافته‌های پژوهش به عنوان پایه‌ای برای کاهش آسیب‌پذیری کشور در برابر بلایا عمل می‌کند. روابط بین وضعیت فعلی و آینده توسعه و تاب‌آوری هم‌تراز (همسو یا احتمالی) و هم در تضاد (مقابله یا محدود) شکل‌دهنده استراتژی برای تنظیم سیاست است. کاهش و سازگاری در آینده، تاب‌آوری شهری ممکن است ایزولی جهانی برای ردیابی پیشرفت شهرها به سمت توسعه تاب‌آور آبوهوا و با انجام این کار، افزایش جاهطلبی و تقویت اقدامات ارائه دهد (پلینگ و همکاران، ۱۴۰۲۴).

پژوهش رحیمی و همکاران (۱۴۰۲۴)، برای اولین بار به دنبال تعیین تاب‌آوری کالبدی عملکردی در مرکز شهر اصفهان از نظر تحمل زلزله فرضی بود. برای اساس این پژوهش می‌تواند به پژوهشگران علوم شهری، سرمایه‌گذاران، مدیران شهری و سازمان‌های محلی و ملی کمک کند تا مناطق تاب‌آور را شناسایی کرده و بر رفع نقاط ضعف عمده آن‌ها تمرکز کرده و از تلفات جانی، مالی و منابع مختلف شهری در اثر زلزله جلوگیری کنند. یکی از اهداف مهم برنامه‌ریزی شهری، کاهش میزان آسیب‌پذیری سکونت‌گاه‌ها در برابر بحران است. شبکه ارتباطی و مسیرهای دسترسی شهری یکی از فاکتورهای مهم در کاهش میزان آسیب‌پذیری شهر در مواجهه با حوادث است (معصومی و همکاران، ۱۴۰۰).

سیستم‌های واکنش اضطراری سنتی بیشتر براساس مکانیسم‌های سنتی و فاقد فناوری مدرن، مانند اینترنت اشیا و یکپارچه‌سازی داده‌های مکانی عمل می‌کنند. به همین دلیل، این سیستم‌ها ممکن است با مشکلاتی همچون تأخیر در اعزام کارکنان اورژانس به محل حادثه و کمبود اطلاعات دقیق و سریع از بیمار مواجه شوند. فناوری‌های مدرن، مانند هوش مصنوعی، اینترنت اشیا و سیستم‌های اطلاعات جغرافیایی امکان پاسخ سریع تر و کارآمدتر به بحران‌ها را فراهم می‌کنند و به سازمان‌های ذی‌ربط، از جمله سازمان مدیریت بحران کمک می‌کنند تا تصمیمات بهتری برای تخصیص منابع در شرایط اضطراری بگیرند و عملکرد کلی خود را بهبود بخشند (سعیدی و همکاران، ۱۴۰۳). در کشورهای در حال احداث است، ضرورت توجه زیرساخت‌های شهری هنوز در حال احداث است، ضرورت توجه به پداشتند غیرعامل شهری برای کاهش حجم خسارات بیشتر موردنموده است. به کارگیری اصول و راهبردهای عملیاتی دفاعی غیرعامل با تأکید بر اصل هم‌جواری برای مکان‌یابی پناهگاه‌های شهری ضروری است (حجاریان، ۱۴۰۳).

براساس بررسی تاریخچه سیلاب‌ها، آسیب‌پذیری ناشی از وقوع سیلاب به دلایل مختلفی از جمله نبود شبکه جمع‌آوری آبهای سطحی، ساختوساز غیرمجاز در حریم رودخانه و محدودیت‌های معلب و شبکه ارتباطی است که باعث افزایش



تصویر ۱. محیط نرم‌افزار Arc GIS

کوکران استفاده شد. وزن عوامل با استفاده از نرم‌افزار Expert Choice نسخه ۱۱ محاسبه شد و همچنین میزان نرخ ناسازگاری قضاوت‌ها محاسبه شد و ضریب ناسازگاری کمتر از ۱/۰ به دست آمد.

#### فرمول کوکران جهت تعیین حجم نمونه (فرمول شماره ۱):

$$1. n = \frac{NZ^2 Pq}{Nd^2 + Z^2 Pq} - (25 \times 3.84 \times 0.5 / 25 \times 0/05 + 1/92) \Rightarrow n = 15$$

جهت تعیین روابی پرسشنامه نسبت روابی محتوایی (CVR) براساس نظر ۲۵ نفر از خبرگان محاسبه شد. هریک از سوالات در قالب طیف لیکرت (سوال ضروری است، سوال مفید است ولی ضروری نیست و سوال ضرورتی ندارد) ارزیابی شد و سوالاتی را که مقدار شاخص CVR آن‌ها کمتر از حد مجاز بود حذف شد. مقدار روابی پرسشنامه ۰/۴۹ محسوبه شد.

تعیین روابی پرسشنامه با استفاده از فرمول شماره ۲ انجام شده است.

$$2. CVR = \frac{ne - N/2}{N/2} = 0.49$$

برای سنجش پایایی پرسشنامه از ضریب آلفای کرونباخ و نرم‌افزار SPSS نسخه ۲۲ استفاده شد. همچنین جهت تعیین اهمیت و برتری هر کدام از پارامترها از دامنه امتیازی ۱ تا ۹ و از شاخص‌های جدول شماره ۲ استفاده شد.

#### 4. Content Validity Ratio (CVR)

تحلیل تابآوری صورت گرفت و پس از جمعآوری، این داده‌ها به فرمت مناسب برای پردازش در GIS تبدیل و به سیستم وارد شد. برای استفاده بهینه، تمامی اطلاعات وروودی استانداردسازی شدند تا هماهنگی لازم برای تحلیل برقرار شود. ابتدا با لایه‌سازی برای هریک از معیارهای اصلی و زیرمعیارهای در ۴ بعد ایستگاه‌های آتش‌نشانی، شریان‌های حیاتی، مراکز امدادی و نظامی، تصرفات و کالبد شهری، با استفاده از اووزان حاصل از فرایند سلسه‌مراتبی در محیط نرم‌افزار Arc GIS نسخه ۱۰/۶ (تصویر شماره ۱) و روی هم گذاری لایه‌ها، نقشه تابآوری کلی منطقه ۲۰ تهیه شد. پس از تکمیل نقشه نهایی تابآوری منطقه ۲۰ شهرداری تهران، با استفاده از وزن دهی به هریک از معیارهای تأثیرگذار در تابآوری منطقه و همچنین با به کارگیری روش طوفان فکری در بین خبرگان، معیارها و شاخص‌های مؤثر در تقویت و افزایش تابآوری ایستگاه‌های آتش‌نشانی محدوده تحت پوشش منطقه ۲۰ تهران استخراج شد. برای تعیین مؤثرترین شاخص‌ها با رویکرد ارزیابی تابآوری مکانی، از نرم‌افزار Arc Map استفاده شده است.

داده‌های به کاررفته براساس معیارهای مؤثر در ارزیابی تابآوری با استفاده از مدل تصمیم‌گیری چندمعیاره مورد ارزیابی قرار گرفته است. با ایجاد ساختار سلسه‌مراتبی و اعمال ضرایب مدل تصمیم‌گیری چندمعیاره، درجه‌بندی شاخص‌ها مشخص شد و ۱۵ پرسشنامه در اختیار خبرگان آتش‌نشانی و حوزه مدیریت بحران قرار گرفت. روش انجام پژوهش کاربردی بوده و تجزیه و تحلیل داده‌ها با استفاده از مدل ارزیابی سلسه‌مراتبی و نرم‌افزار Arc GIS استانداردسازی شده است. روش نمونه‌گیری به صورت تصادفی ساده بود و برای تعیین حجم نمونه از فرمول

جدول ۱. معیارهای بررسی تابآوری مکانی محدوده تحت یوشن منطقه ۲ شهر تهران (یافته‌های پژوهش؛ خدایندلو و همکاران، ۱۴۰۳)

منبع	میزان یا فاصله	شاخص‌ها	زیر معیار	معیار	هدف
	هر ۵ کیلومتر یک ایستگاه آتش‌نشانی	تمدّل و محدوده ایستگاه‌های آتش‌نشانی			
NFPA 1221	۳۶ نفر برای ایستگاه تک متظوظره	تمدّل پرستل	ایستگاه‌های آتش‌نشانی		
NFPA 6430	۵ دستگاه سبک و سنگین	تمدّل خودروها و تجهیزات			
	۱۵۰ متر	تمدّل هیدرات	(Z1)		
مقیمی و همکاران، نشریه تحمل فضایی مخاطرات محیطی، ۱۳۹۸	به ازای هر ۵۰ هزار نفر ۱ ایستگاه	جمعیت		تابآوری زیرساختی (Z)	
	۱۰۰-۵۰ متر	معابر(پرگاره، خیابان و کوچه)	شريان‌های حياني		
	۵۰ الی ۹۰۰ متر	انتقال نیرو	(Z2)		
	۰ الی بیش از ۱۲۰۰ متر	گاز			
NFPA 1037	هرچه بیشتر بتر	مراکز امدادی و نظالی			
LSP2017	هرچه بیشتر بتر	مراکز نظامی و انتظامی	(Z3)		
کاظمی، نیا، ۱۳۹۸	۳۰۰ متر	اماكن کم خطر		تصرفات	
	۱۰۰۰-۴۰۰ متر	اماكن میان خطر			
		اماكن پر خطر	(K1)		
LSP2017		بافت فرسوده		تابآوری کالبدی (K)	
NFPA1720	هرچه بیشتر بتر	لبنه تاریخی و فرهنگی		کالبد شهری	
NFPA 1402			(K2)		
(قدیری و طهرانچی، ۱۳۹۹)		پل‌ها			
SOP6	۶-۲ درصد	شیب		خصوصیات جغرافیایی	
NFPA 1901	۱۰۰۰ متر	قطوات	(M1)	تابآوری زیستمحیطی (M)	
قوچانی و همکاران، ۱۳۹۵	۳ الی ۹ کیلومتر	گسل			
NFPA 1852	صفرا لی بیش از ۱۵۰ متر	پایداری محیط زیستی فضای سیز معابر اختصاصی فضای سیز معابر عمومی	(M2)		

در سال‌های اخیر در سطح جهانی تغییرات زیادی در نگرش به مخاطرات رخ داده است؛ به طور کلی دیدگاه از کاهش آسیب‌پذیری، به افزایش تابآوری شهرها در مواجهه با حوادث تغییر پیدا کرده است. با توجه به غیرمنتظره بودن حوادث طبیعی و انسان‌ساخت و غیرقابل پیش‌بینی بودن آن، تابآوری کالبدی و زیرساختی می‌تواند به عنوان توانایی تطابق و سازش سیستم‌ها در برایر شوک‌ها، بدون از دست رفتن سیستم در زمان وقوع حوادث مطرح شود. از دیدگاه تابآوری کالبدی و زیرساختی، قبل از وقوع حوادث، برنامه‌های پیشگیرانه و کاهش اثر حوادث جهت

سنگش پایابی پرسشنامه با استفاده فرمول شماره ۳ انجام شد.

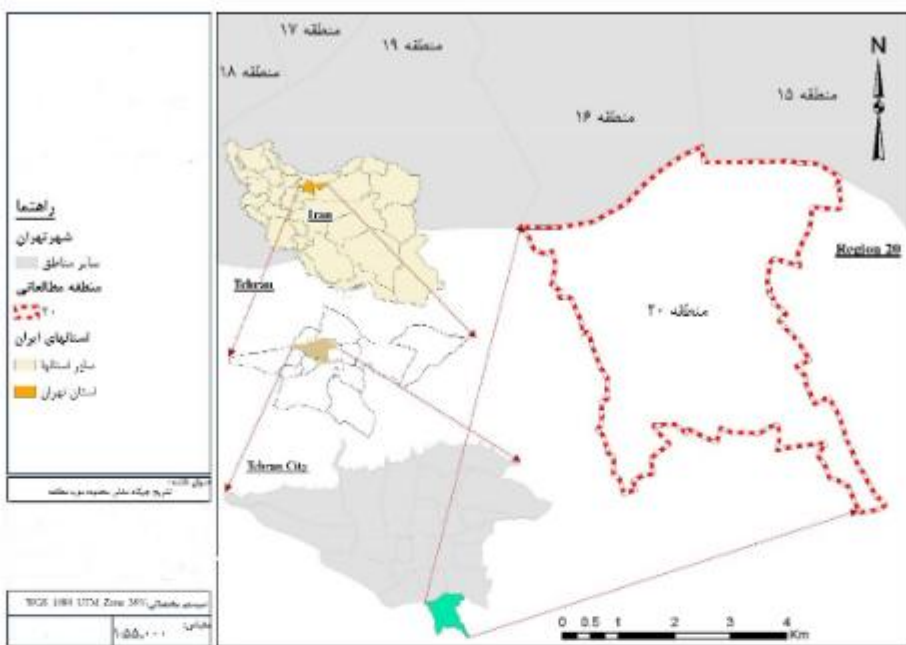
$$3. \alpha = \left( \frac{k}{k-1} \right) \left( 1 - \frac{\sum_{i=1}^k S_i^2}{S_2} \right) = 0.82$$

شناسایی و ارزیابی عوامل تابآوری کالبدی منطقه مورد مطالعه

شناسایی عوامل مؤثر بر تابآوری کالبدی

جدول ۲. درجه‌بندی عوامل مؤثر بر تابآوری کالبدی (یافته‌های پژوهش؛ خداینده‌لو و همکاران، ۱۴۰۳)

درجه‌بندی عوامل تابآوری مکانی	۹	۷	۵	۳	۱	تابآوری خلی کم	تابآوری خلی زیاد	تابآوری متوسط	تابآوری زیاد	تابآوری خلی زیاد						
تفویت ویژگی‌های سیستم تابآور باید پیاده‌سازی شود. با توجه به این دیدگاه، تقویت تابآوری زیرساختی و کالبدی شهری در مواجهه با حوادث برای نیل به اهداف توسعه پایدار شهری از اهمیت ویژه‌ای برخوردار است. در این پژوهش ۲ زیرمعیار تصرفات (شامل اماکن کم، میان و پر خطر) و کالبد شهری (شامل بافت فرسوده، اینیه تاریخی و فرهنگی، پل‌ها) طبق جدول شماره ۱ مورد بررسی و ارزیابی قرار گرفته است.	شناصایی عوامل مؤثر بر تابآوری زیرساختی	ججهت بررسی عوامل موجود در زیرساخت‌های تأسیسات شهری منطقه ۲۰، باید سازمان‌های موزایی درگیر در مدیریت بحران مورد بررسی قرار بگیرند. بنابراین با بررسی مدارک و مستندات موجود و رعایت الزامات و استانداردهای شهرسازی می‌توان به این مهم دست یافت. از دیدگاه تابآوری، تأسیسات شهری یکی از عوامل کلیدی زیرساخت است. در پژوهش حاضر هریک از طبقات عوامل مؤثر بر تابآوری زیرساختی مانند ایستگاه‌های آتش‌نشانی، شریان‌های حیاتی و مراکز امدادی و نظامی بین ۱ تا ۹ طبق <b>جدول شماره ۲</b> درجه‌بندی شدند. عدد ۱ نشان‌دهنده تابآوری خلی کم و عدد ۹ نشان‌دهنده تابآوری خلی زیاد است. پس از طبقه‌بندی لایه‌های مکانی، هرکدام از عوامل مکانی و وزن‌های هرکدام از آن‌ها با استفاده از تکنیک ترکیب خطی وزنی در سامانه GIS روی هم‌گذاری شدند. شاخص‌های مورد بررسی در این گام از پژوهش، شامل تعداد و محدوده ایستگاه‌های آتش‌نشانی، تعداد پرسنل، تعداد خودروها و تجهیزات، ایستگاه‌های گاز، مراکز بهداشتی و درمانی، مراکز نظامی و انتظامی، تعداد هیدراتنت (شیرهای آتش‌نشانی)، جمعیت، معابر (بزرگراه، خیابان و کوچه) و خطوط انتقال نیرو بودند. میزان و تعداد هرکدام از شاخص‌ها طبق <b>جدول شماره ۱</b> و استانداردهای موجود مشخص شده است.	شناصایی عوامل مؤثر بر تابآوری زیرساخت-محیطی	مهم‌ترین هدف پژوهش حاضر بررسی تابآوری زیرساختی و کالبدی در منطقه ۲۰ تهران از نظر اینمی و آتش‌نشانی است که با استفاده از معیارها و استانداردها تعیین می‌شود. تعیین تابآوری زیرساختی به عوامل مختلفی بستگی دارد. بنابراین با در نظر گرفتن مختصات جغرافیایی منطقه ۲۰ می‌توان عوامل مؤثر در آن را تعیین کرد. در پژوهش حاضر برای تعیین تابآوری، یکی از معیارهای بررسی شده از نوع زیرساختی است که خودداری ۳ زیر معیار شامل ایستگاه‌های آتش‌نشانی، شریان‌های حیاتی و مراکز	یافته‌ها	معروف منطقه مورد مطالعه	منطقه ۲۰ (شهری)، جنوبی‌ترین منطقه شهری شهرداری تهران است و دارای ۵ ناحیه داخل محدوده و ۲ ناحیه خارج از محدوده و ۲۲ محله است. منطقه ۲۰ تهران از لحاظ موقعیت شهری در جنوب شهر تهران قرار داشته و با مناطق ۱۶، ۱۹، ۱۵ هم‌جوار است. این منطقه با احتساب حریم ۱۸۶ کیلومتر مربع مساحت دارد و ۵ ناحیه در داخل حریم و ۲ ناحیه در خارج از حریم تشکیل شده است و تقریباً ۴۵۳ هزار نفر جمعیت دارد. تصویر شماره ۲ محدوده منطقه ۲۰ شهرداری تهران را نشان می‌دهد.	یافته‌های حاصل از معیار تابآوری زیرساختی	مهم‌ترین هدف پژوهش حاضر بررسی تابآوری زیرساختی و							
شناصایی عوامل مؤثر بر تابآوری زیرساخت-محیطی	وقوع بیش از صدها نوع آتش‌سوزی (کوچک و بزرگ) در بین ایستگاه‌های تحت پوشش منطقه مورد مطالعه، بیانگر این موضوع است که منطقه ۲۰ از نظر وقوع آتش‌سوزی‌ها از آمار بالایی برخوردار است که درنتیجه باعث ایجاد خسارت‌های جانی، مالی و آلودگی‌های زیرساختی زیادی برای ساکنین منطقه می‌شود. ججهت بررسی تهدیدهای زیرساختی، این عامل مورد وزن‌دهی قرار گرفت. با به کارگیری روش‌های صحیح	شناصایی عوامل مؤثر بر تابآوری زیرساختی	در پژوهش حاضر از مجموعه ایستگاه‌های آتش‌نشانی با استفاده از سامانه GIS	شناصایی عوامل مؤثر بر تابآوری زیرساختی	و درست مدیریت آتش‌سوزی‌های فضای سبز (معايير اختصاصی و عمومی) و پرداختن به مقوله اینمی و پیشگیری می‌توان در راستای حفاظت از محیط زیست شهری و کاهش آثار مخرب زیست‌محیطی ناشی از حریق و حوادث گام مؤثری در منطقه پرداشت. از مهم‌ترین برنامه‌های مدیریت زیست‌محیطی بررسی چالش‌های زیست‌محیطی ناشی از حریق و حوادث است که باعث آلودگی هوا، خاک و آب بر اثر آتش‌سوزی‌های عمدی و غیرعمدی می‌شود.	در پژوهش حاضر هریک از طبقات عوامل مؤثر بر تابآوری مکانی، طبق <b>جدول شماره ۲</b> ، براساس اعداد ۱ تا ۹ درجه‌بندی شدند. عدد ۱ نشان‌دهنده تابآوری خلی زیاد و عدد ۹ نشان‌دهنده تابآوری خلی کم است. پس از طبقه‌بندی لایه‌های مکانی هرکدام از عوامل مکانی و وزن‌های هرکدام از آن‌ها با استفاده از تکنیک ترکیب خطی وزنی در سامانه GIS روی هم‌گذاری شدند. شاخص‌های مورد بررسی در این گام از پژوهش، شامل تعداد و محدوده ایستگاه‌های آتش‌نشانی، تعداد پرسنل، تعداد خودروها و تجهیزات، ایستگاه‌های گاز، مراکز بهداشتی و درمانی، مراکز نظامی و انتظامی، تعداد هیدراتنت (شیرهای آتش‌نشانی)، جمعیت، معابر (بزرگراه، خیابان و کوچه) و خطوط انتقال نیرو بودند. میزان و تعداد هرکدام از شاخص‌ها طبق <b>جدول شماره ۱</b> و استانداردهای موجود مشخص شده است.	شناصایی عوامل مؤثر بر تابآوری زیرساختی	شناصایی عوامل مؤثر بر تابآوری زیرساختی	شناصایی عوامل مؤثر بر تابآوری زیرساختی	شناصایی عوامل مؤثر بر تابآوری زیرساختی	شناصایی عوامل مؤثر بر تابآوری زیرساختی	شناصایی عوامل مؤثر بر تابآوری زیرساختی	شناصایی عوامل مؤثر بر تابآوری زیرساختی	شناصایی عوامل مؤثر بر تابآوری زیرساختی	شناصایی عوامل مؤثر بر تابآوری زیرساختی	شناصایی عوامل مؤثر بر تابآوری زیرساختی



تصویر ۲. محدوده منطقه ۲ شهرداری تهران، محدوده مطالعاتی (یافته‌های پژوهش؛ خلپندلو و همکاران، ۱۴۰۳)

منطقه در برابر حريق و حوادث، مراکز آتش‌نشانی موجود منطقه به لحاظ قرارگیری مکانی و شعاع عملکرد آن‌ها مورد بررسی قرار گرفت. از این‌رو براساس موقعیت ایستگاه‌های آتش‌نشانی در منطقه، فاصله اقلیدسی تسبیت به ایستگاه‌ها محاسبه شده است. یافته‌های پژوهش در این گام حاکی از آن است که فاصله تا ۱۵۰۰ متر از ایستگاه‌ها تاب‌آوری بالا، از ۱۵۰۰ تا ۲۵۰۰ متر تاب‌آوری خوب، از ۲۵۰۰ تا ۳۵۰۰ متر تاب‌آوری مطلوب، از ۳۵۰۰ تا ۵۰۰۰ متر تاب‌آوری متوسط و از ۵۰۰۰ متر بیشتر، تاب‌آوری نامطلوب را نشان می‌دهد. براساس رابطه مسافت، یک خودروی آتش‌نشانی در ۵ دقیقه<sup>۰</sup>، حداقل ۲/۹ کیلومتر مسافت را در معابر شهری با وجود موانع در طول مسیر دسترسی و در شرایطی که تردد در وضعیت عادی و نرمال باشد، می‌تواند طی کند.

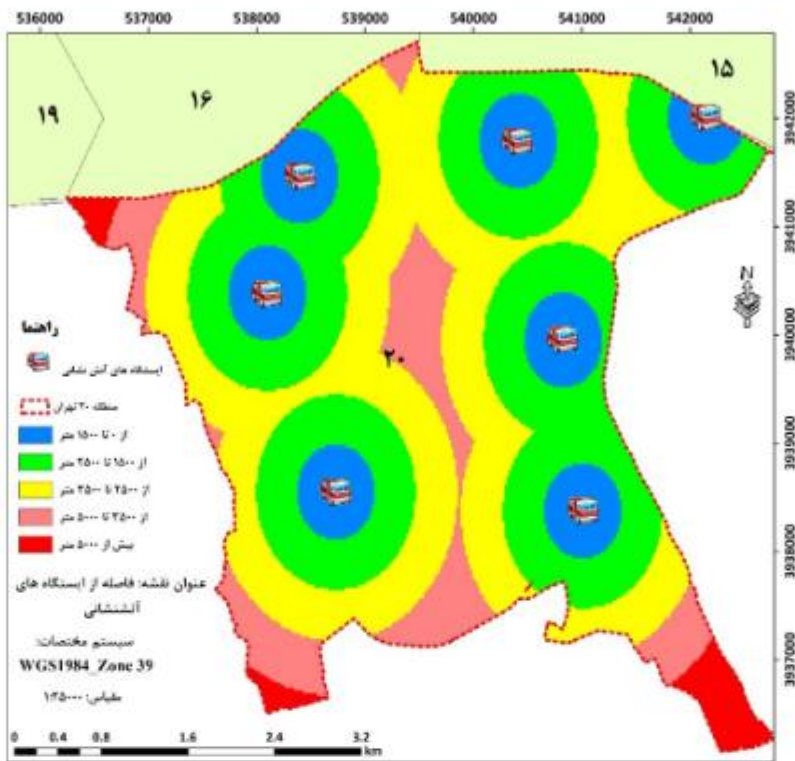
در شرایط تشديد اوضاع، بهویژه در شرایط اضطرار و وقوع حادثی که منجر به آسیب به شیکه ارتباطی شده‌اند و یا در شرایطی که وقوع حادثه باعث نتیجه مسدود شدن مسیرهای دسترسی و ترافیک سنگین شده است خودروی آتش‌نشانی چنین مسافتی را نمی‌تواند طی کند. بنابراین در پژوهش حاضر، به لحاظ اینکه بررسی تاب‌آوری منطقه موردمطالعه، در شرایط اضطرار مدنظر است، حداقل مسافت طی شده توسط خودروهای سنگین عملیاتی آتش‌نشانی حدود ۱۵۰۰ متر پیش‌بینی شده است. درواقع محدوده تحت پژوهش هر ایستگاه (محدوده عملیاتی)، ۱۵۰۰ متر، یعنی نیمی از شعاع تحت پژوهش در وضعیت عادی و معمولی (بدون

<sup>۰</sup> ایستگاه‌های آتش‌نشانی با پوشش مناسب در فاصله زمانی کمتر از ۵ دقیقه می‌توانند از شدت حریث و خسارات مالی و جانی پیش‌بینی شوند. چراکه آتش‌سوزی در این فاصله زمانی قبلیت کنترل پیشتری دارد (مهندسین مشاور عرصه، ۱۳۷۸: ۱۴).

امدادی و نظامی است. در ادامه به ترتیب به تفسیر یافته‌های پرداخته شده است.

#### دسترسی به ایستگاه‌های آتش‌نشانی

ساختمان‌ها و ایستگاه‌های آتش‌نشانی به اندازه هر ساختمان عمومی و امدادی دیگری دارای اهمیت فراوان است. ایستگاه‌های آتش‌نشانی محل استقرار و جانمایی خودروهای سبک و سنگین عملیاتی آتش‌نشانی (حریق، نجات و پشتیبانی)، از جمله مراکز بسیار مهم و حیاتی خدمات رسانی در شهرها هستند که نقش بسیار مهمی در امر تأمین اینمی شهر وندان بر عهده دارند. جانمایی و مکان‌یابی مناسب ایستگاه‌های آتش‌نشانی به دلیل اهمیت روزافزون امر اینمی در شهرها و همچنین دسترسی آتش‌نشانان به محل حريق و حادثه در کمترین زمان ممکن از اهمیت بسیار زیادی برخوردار است. دسترسی مناسب و سریع تیروهای امدادی مستقر در ایستگاه‌های آتش‌نشانی به محل حادثه نیز به عنوان یک فاکتور بسیار مهم در امدادرسانی به شهر وندان تلقی می‌شود و افزایش فاصله تصرفات (نوع کاربری) و محل وقوع حريق و حادث با ایستگاه‌های آتش‌نشانی، زمان رسیدن به محل حادثه را افزایش و سرعت امداد و نجات را کاهش می‌دهد. در منطقه ۲۰ شهرداری تهران، ۷ ایستگاه آتش‌نشانی در نقاط مختلف جانمایی شده است. وجود این تعداد از ایستگاه‌ها برای تعیین تاب‌آوری لازم است، ولی کافی نیست. تعیین نقاط تاب‌آور در منطقه مطالعاتی باید در محل یا منطقه‌ای باشد که به ایستگاه‌های آتش‌نشانی نزدیک باشد تا امدادرسانی در صورت بروز حريق و حادث در کمترین زمان ممکن صورت گیرد. بنابراین در این تحقیق برای تاب‌آور کردن



تصویر ۳. شاعع عملکردی ایستگاههای آتش نشانی تحت پوشش منطقه ۰ (لقطه های پژوهش؛ خدابندلو و همکاران، ۱۴۰۳)

وقوع حادثه) در نظر گرفته شده است (تصویر شماره ۳).

با توجه به تصویر شماره ۳ و تعیین فاصله اقلیدسی ایستگاههای آتش نشانی، مشاهده می شود که ایستگاه ۸۲ خارج از محدوده موردمطالعه است و همچنین موقعیت ایستگاه ۷۹ به دلیل عدم دسترسی مناسب به معابر اصلی و اتویان امام علی (ع) باعث کاهش تابآوری عملیاتی منطقه شده است.

#### تراکم جمعیت

مفهوم تابآوری به عنوان امری ضروری در بحث تراکم جمعیتی باید در نظر گرفته شود. اخیراً تأکید بر این است که چرا تابآوری شهری متفاوت با پایداری شهری است. افزایش تراکم جمعیتی، پتانسیل آسیب‌پذیری شهرها را در برابر تهدیدات ناشی از بحران‌های طبیعی و انسان ساخت افزایش می‌دهد. بنابراین بهمنظور کاهش پیامدهای متصور این تهدیدات، می‌بایست برنامه‌ریزی و اقدامات مقابله‌ای مناسب پیش‌بینی شود. در پژوهش حاضر تراکم جمعیتی بهزادی هر ۵۰ نفر در هر کیلومتر مربع در نظر گرفته شده است. فواصل تعیین شده در ۹ گروه در محیط Arc GIS لایه‌گذاری و مطلوبیت منطقه از نظر تابآوری تراکم جمعیتی استخراج شد. با توجه به طیف رنگ‌های آبی تاب‌بینی می‌توان عنوان کرد منطقه ۲۰ از نظر تراکم جمعیتی در نواحی پادشاهی از درجه مطلوبیت برخوردار است.

#### هیدرات (شیرهای آتش نشانی)

شیر هیدرات آتش نشانی، به عنوان یکی از عناصر حیاتی سیستم اطفای حریق شهری، نقشی اساسی در حفظ ایمنی شهر ایفا می‌کند. این شیرهای آتش نشانی که به شبکه اصلی آب شهری متصل هستند، در موقع بحرانی، مانند آتش‌سوزی، به عنوان منبعی مطمئن و سریع برای تأمین آب مردمی‌ز آتش نشانان عمل می‌کنند. با طراحی خاص و جنس مقاوم، شیرهای هیدرات در برابر شرایط سخت محیطی (نشست‌ها و یا شکست) مقاومت کرده و در هر زمان آمده تأمین آب هستند. نصب این شیرها در مکان‌های استراتژیک و عمومی، به آتش نشانان این امکان را می‌دهد تا در کمترین زمان ممکن به متبع آب دسترسی پیدا کرده و عملیات اطفای حریق را آغاز کنند. بررسی وضعیت پراکندگی شیرهای هیدرات منطقه ۲۰ با توجه به تراکم، نوع تصرفات و عرض معابر و مسیرهای دسترسی خودروهای آتش نشانی انجام شد. فواصل تعیین شده در ۵ گروه (۵۰ متر، تابآوری بالا به رنگ قرمز و بیش از ۳۰۰ متر، تابآوری کم با رنگ سبز تیره) در محیط Arc GIS لایه‌گذاری و مطلوبیت منطقه از نظر تابآوری شیرهای آتش نشانی استخراج شد.

جدول ۳. تلفیق زیرمعیارهای تابآوری زیرساختی یا اعمال ضرایب ماتریس PHA (یاقتهای یزوهوش؛ خداینده‌لو و همکاران، ۱۴۰۳)

مرکز امدادی و نظامی	شریان‌های حیاتی	ایستگاه‌های آتش‌نشانی	AHP	ماتریس اولیه	خروجی ضرب ماتریس W در ماتریس AHP	لنداهای ماتریس AHP	لنداهای ناسازگاری
۷	۵	۱	ایستگاه‌های آتش‌نشانی	۲/۲۴	لندای ۱ ایستگاه‌های آتش‌نشانی	۲/۲۷	
۷	۱	۰/۱۴	شریان‌های حیاتی	۰/۷۵	لندای ۲ شریان‌های حیاتی	۲/۰۶	
۱	۰/۱۴	۰/۱۱	مرکز امدادی و نظالی	۰/۱۷	لندای ۳ مرکز امدادی و نظالی	۲/۸۷	
۱۵	۶/۱۴	۱/۲۵	مجموع	AHP (W)	پارامترهای که به آنها ضرب اعمال می‌شود	لندای حداکثری	۰/۰۹
۰/۴۶	۰/۸۱	۰/۸	۲/۰۸	۰/۶۹	ایستگاه‌های آتش‌نشانی	۲/۱۰۷	
-۰/۴۶	۰/۱۶	۰/۱۱	۰/۷۴	۰/۲۴	شریان‌های حیاتی	شاخص ناسازگاری	
۰/۰۶	۱/۰۲	۰/۰۸	۰/۱۷	۰/۰۵	مرکز امدادی و نظالی	۰/۰۵	
				۳	۱	شاخص ناسازگاری تست درستی محاسبات تصادفی	۰/۵۸

نخ ناسازگاری قابل قبول کمتر از ۰/۱ است

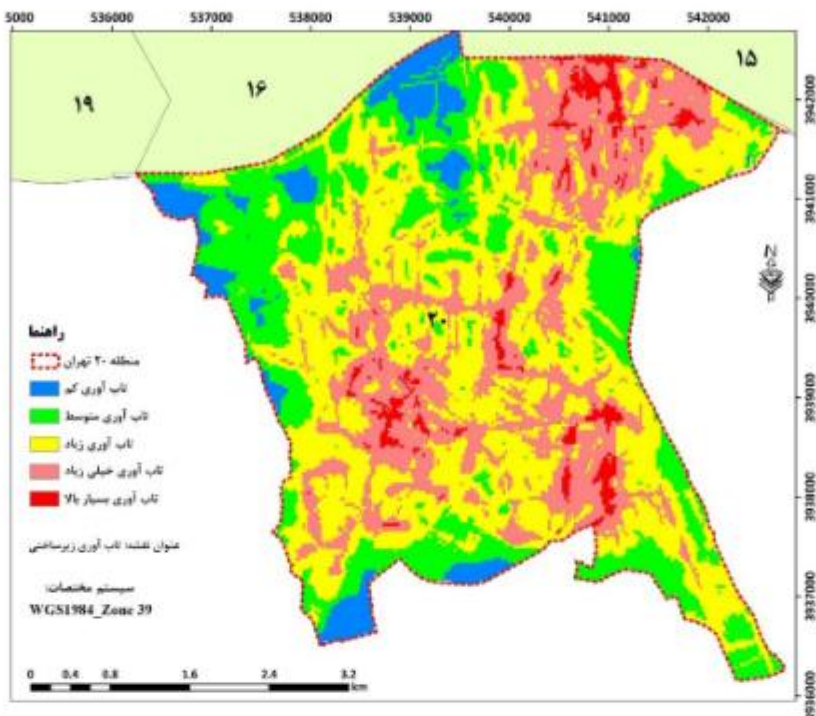
مسیر جهت رسیدن به محل حادثه است. جهت بررسی دقیق تر و استفاده از الگوریتم‌های مختلف برای تصمیم‌گیری بهتر از منطق فازی نیز استفاده شده است.

#### شبکه معابر (بزرگراه، خیابان و کوچه)

مسیرهای دسترسی و شبکه ارتباطی شهر، نقش مهمی در کاهش زمان رسیدن نیروهای امدادی به محل حادثه و درنتیجه افزایش تابآوری شهر در برابر حریق و حادث را دارد. درصورتی که شبکه معابر از تابآوری مناسبی برخوردار باشد و کارایی خود را حفظ کند، می‌تواند تا حد زیادی از خسارات ناشی از حادث را بکاهد. شبکه معابر و راههای ارتباطی پس از وقوع حادث را بسازد. بنابراین در صورت مسدود شدن یکی از معابر اصلی یا حتی معابر فرعی، بر اثر ترافیک یا تصادفات، آسیب‌های ناشی از حادث چندین برابر می‌شود. بین عرض معابر و تراکم جمعیت، با افزایش آسیب‌پذیری ناشی از حادث رابطه مستقیمی وجود دارد. بهطوری که هرچه عرض معابر کمتر و تراکم جمعیت زیاد باشد، تردد و استقرار خودروهای سنگین عملیاتی، مانند نزدیک هیدرولیکی و بالابر با مشکل مواجه می‌شود و آسیب‌پذیری ناشی از حادث افزایش خواهد یافت.

#### شریان‌های حیاتی

تعیین مناسب‌ترین و کوتاه‌ترین مسیر جهت رسیدن به افراد آسیب‌دیده در منطقه مورد مطالعه یک امر ضروری در تابآوری است. مسیرهای شبکه معابر منطقه براساس خیابان اصلی طراحی شدند. منطقه از نظر تابآوری باید در موقعیتی باشد که به مسیرهای مواصلاتی و تردد شهری و همچنین شریان‌های اصلی نزدیک باشد تا امدادرسانی بسرعت انجام گیرد. معابری که عمدتاً کمتر از ۶ متر عرض داشته باشد به عنوان بافت‌های فرسوده آسیب‌پذیر در برابر حریق و حادث در نظر گرفته شدند و تردد خودروهای سنگین عملیاتی آتش‌نشانی در این معابر با کندی حرکت مواجه است و یا به دلیل پارک خودروها عملکرد امکان‌پذیر نیست و دسترسی نیروهای آتش‌نشانی به محل حریق و حادثه مختلف است. همچنین وجود نقاط پر ترافیک و یا مسدود شدن مسیرها به علت تنگ بودن معبر منجر به افزایش زمان سفر خودروهای عملیاتی آتش‌نشانی به محل حادثه و ناکارآمدی مسیرهای دسترسی بیشتر و کاهش میزان تابآوری منطقه می‌شود. از این‌رو براساس نقشه، فاصله اقلیدسی نسبت به نقاط مسیرهای اصلی در منطقه ۲۰ تهیه شد. از آنجایی که میزان نزدیکی به مسیرها و راههای ارتباطی و شریان‌های اصلی جهت تعیین تابآوری مهم است، باید یک بار دیگر نقشه را باز تولید و با امتیازدهی ۱ تا ۹ وارونه‌سازی داده‌ها نتیجه مطلوب حاصل شود. امتیازدهی ۹ به معنای اهمیت مطلق برای تعیین نزدیک‌ترین



تصویر ۴. تلقیق نقشه‌های تولیدشده در معیار تاب‌آوری زیرساختی (باتههای یزووهش، خدایندلو و همکاران، ۱۴۰۳)

تامراکز درمانی بیشتر باشد، رهاسازی و نجات و همچنین انتقال مصدومین به مراکز درمانی زمان بر شده و اقدامات درمانی و مراقبتی به مخاطره می‌افتد. از طرف دیگر وجود مراکز نظامی به خاطر دلایل بودن خطرات خاص باعث کاهش تاب‌آوری مکانی در منطقه می‌شوند. از این‌رو فاصله اقلیدی‌سی نسبت به دسترسی به بیمارستان‌ها، مراکز درمانی و نظامی نیز مورد محاسبه قرار گرفته است. با توجه به بررسی‌های صورت گرفته کاملاً مشخص است که جهت امدادرسانی و انتقال سریع مصدومین حوادث به مراکز درمانی و حضور سریع عوامل انتظامی جهت برقراری نظم و امنیت در محل حادثه و افزایش تاب‌آوری امنیتی، هرچه فاصله این اماکن کمتر باشد، تاب‌آوری بیشتر است. همان‌طور که در تصویر شماره ۳ مشاهده می‌شود، نقشه با امتیازدهی ۱ تا ۹ و وارون‌سازی داده‌ها تولید شد که این روش دارای بیش تخمینی بود و نمی‌توان به محاسبات آن جهت تصمیم‌گیری استناد کرد. به همین دلیل در زیرمعیار دسترسی به بیمارستان‌ها و مراکز درمانی، به خروجی امتیازدهی فواصل اقلیدی‌سی بسته شده است.

در این معیار میزان مطلوبیت تاب‌آوری زیرساختی مورد بررسی قرار گرفت. در این ماتریس با توجه به شرایط مکانی، مانند ایستگاه‌های آتش‌نشانی، شریان‌های حیاتی و مراکز نظامی و امدادی مورد تجزیه و تحلیل قرار گرفت. پس از تولید تک‌تک نقشه‌ها برای هر سه زیرمعیار به روش فواصل اقلیدی‌سی، هر نقشه امتیازدهی شده به صورت رستری با اعمال ضرایب فرآیند تحلیل

#### خطوط انتقال نیرو

وجود خطوط انتقال نیرو هم به عنوان یک عامل ناسازگار و خطرناک و هم به عنوان یک عامل سازگار در محاسبه تاب‌آوری به حساب می‌آید. با امتیازدهی این عامل از ۱ تا ۹ و عدم وارون‌سازی داده‌ها نتیجه مطلوب حاصل شد. این معیار در ۵ طبقه و از فواصل صفر تا بیش از ۱۲۰۰ متر طبقه‌بندی و تاب‌آوری آن‌ها محاسبه شد. نقاط آبرینگ و سیزرنگ از درجه بسیار مطلوب و مطلوب از نظر فاصله خطوط انتقال نیرو در تاب‌آوری شناخته شدند.

#### خطوط انتقال گاز

خطوط انتقال گاز می‌تواند خطر بزرگی در منطقه، به ویژه در شرایط بحرانی همچون زلزله باشد. در صورت دور بودن منطقه از ایستگاه‌های تقلیل فشار گاز و خطوط مربوط به آن، تاب‌آوری افزایش می‌یابد، بنابراین فاصله اقلیدی‌سی نسبت به فاصله از ایستگاه‌های تقلیل فشار گاز نیز محاسبه شد.

#### دسترسی به مراکز درمانی و نظامی

دسترسی به مراکز درمانی، بیمارستان‌ها، درمانگاه‌ها و پایگاه‌های اورژانس باعث افزایش تاب‌آوری در منطقه می‌شوند. وجود فاصله کم بین مراکز درمانی تا محل وقوع حادثه منجر به دسترسی سریع به مصدومین و سرعت بخشیدن به عملیات نجات می‌شود. بالعکس هرچه فاصله محل وقوع حادثه

اماکن پرخطر مانند پمپ بنزین، پمپ گاز و غیره به عنوان کاربری ناسازگار تلقی می‌شود و با داشتن خطرات خاص باعث کاهش تابآوری مکانی می‌شوند. با توجه به اینکه میزان فاصله از اماکن پرخطر (پمپ بنزین و غیره) جهت افزایش تابآوری مهم است، با امتیازدهی ۱ تا ۹ به نتیجه مطلوب رسیده و نقشه تولید شد.

سلسله مراتبی<sup>۶</sup> (AHP) (جدول شماره ۳) با هم جمع شدند که نتیجه آن در تصویر شماره ۴ قابل مشاهده است. به این روش، تلفیق همپوشانی شاخص می‌گویند که نتیجه بسیار دقیقی برای معیار تابآوری زیرساختی ارائه داده است.

معیار تابآوری کالبدی

### کالبد شهری

#### پل‌ها و معابر

شبکه (مسیرهای) دسترسی و ارتباطی، مهم‌ترین عامل در افزایش تابآوری سازمان آتش‌نشانی در مواجهه با حريق و حوادث است. چنانچه مسیرهای دسترسی و معابر از تابآوری مناسب پرخوردار باشند و عملکرد خود را در زمان وقوع حوادث حفظ کنند باعث دسترسی سریع نیروهای امدادی به محل حادثه‌ها کاهش خسارات و تلفات ناشی از حوادث می‌شوند. معابر بعد از وقوع حوادث، به عنوان شریان‌های حیاتی شهر در جهت دسترسی سریع خودروهای عملیاتی و تجهیزات امداد و نجات سازمان آتش‌نشانی به محل حادثه در کمترین زمان ممکن برای پاسخ به عملیات نجات، تخلیه، اطفا و انتقال محبوسین و مصدومین احتمالی به محل امن هستند. بنابراین در صورت مسدود شدن یکی از جاده‌های اصلی یا حتی معابر فرعی، بر اثر تصادفات، آوار و یا زلزله، صدمات ناشی از حوادث چندین برابر می‌شود. تابآوری رابطه معکوس با آسیب‌پذیری دارد و عوامل متعددی بر آن تأثیرگذار هستند. همچنین بین معابر و مسیرهای دسترسی و تراکم جمعیت، رابطه مستقیمی وجود دارد و بر تابآوری منطقه مؤثر است؛ بنابراین هرچه عرض معابر کمتر (تنگ بودن معبر) و تراکم جمعیت در آن محدوده زیاد باشد، کاهش تابآوری و در نهایت افزایش آسیب‌پذیری ناشی از حريق و حوادث را در بی خواهد داشت. **جدول شماره ۴ و تصویر شماره ۵** زیرمعیارهای تابآوری کالبدی با اعمال ضرایب ماتریس AHP را نشان می‌دهد.

براساس بند ۱-۲-۴ در الزامات عمومی ساختمان در مبحث چهارم مقررات ملی ساختمان ایران، تصرف به معنی در اختیار گرفتن ساختمان یا بخشی از آن بهمنظور کار با استفاده‌ای معین است. تصرفات ۹ گانه شامل مسکونی، حرفه‌ای / اداری، آموزشی افرهنگی، درمانی / مراقبتی، تجمعی، کسبی / تجاری، صنعتی، ابزاری و مخاطره‌آمیز (اماکن پرخطر (تراکم مواد مشتعل بیش از ۱۰۰ کیلوگرم بر مترمربع)، میان خطر (تراکم مواد مشتعل بین ۵۰ تا ۱۰۰ کیلوگرم بر مترمربع) و کم خطر (تراکم مواد مشتعل بین ۵۰ کیلوگرم بر مترمربع)) و کالبد شهر به عنوان عوامل اساسی در تابآوری کالبدی محاسبه می‌شود. این معیار بیان کننده این است که تابآوری کالبدی دارای مقیاس است. از اماکن کم خطر، پرخطر و میان خطر و بناهای تاریخی و پل‌ها به عنوان شاخص‌های مهم این معیار استفاده شده است. برای بررسی دقیق تر و استفاده از الگوریتم‌های مختلف برای تصمیم‌گیری بهتر از منطق فازی نیز استفاده شد. هرچه تراکم جمعیت در نواحی کمتر باشد، تراکم متعادل تر خواهد بود و اماکن، جزء کم خطر به شمار می‌رود. تراکم‌های جمعیتی زیاد در مناطق شهری کاهش تابآوری را در آن مناطق به دنبال خواهد داشت. بنابراین ضروری است توزیع متعادل اماکن در سطح منطقه انجام شود.

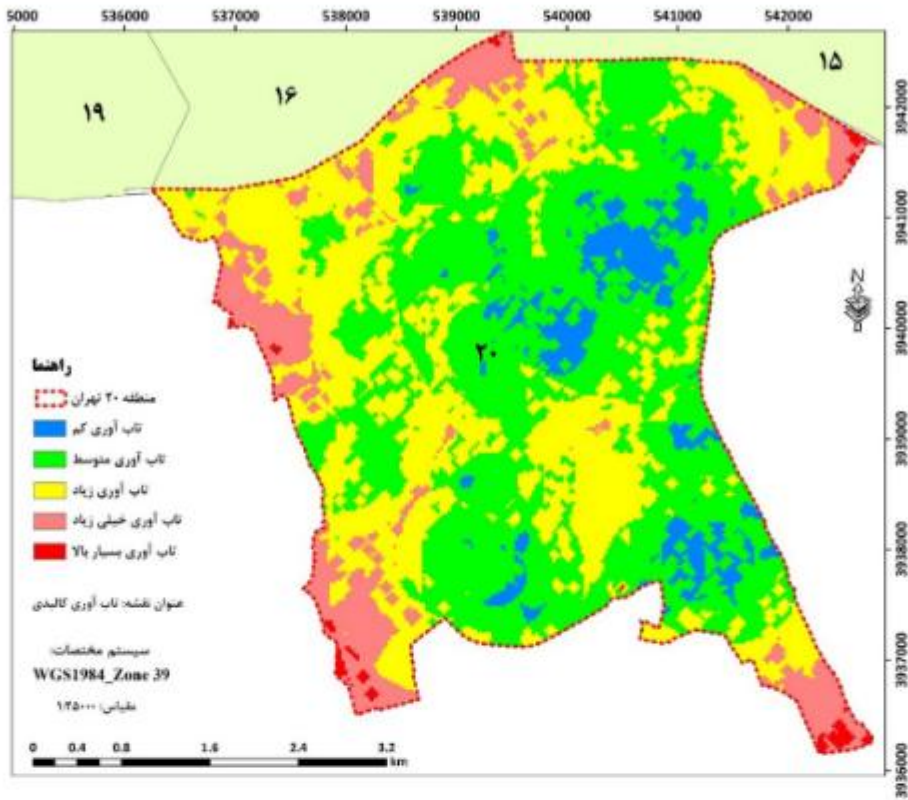
اماکن پرخطر(پمپ بنزین و غیره)

#### 6. Analytical Hierarchical Process (AHP)

جدول ۴. زیرمعیارهای تابآوری کالبدی با اعمال ضرایب ماتریس AHP (راقصهای پژوهش؛ خدینده‌لو و همکاران، ۲۰۰۳)

لاندآهای ماتریس سلسه مراتبی	خرجی ضرب ماتریس W در ماتریس اولیه	ماتریس AHP	تصرفات	کالبد شهری
۵	۱	تصرفات		
۱	۷	کالبد شهری		
۶	۸	مجموع		
۰/۶۲	۱	۱/۶۲	AHP (w)	
۰/۱۲	۷	۷/۱۲	۰/۸۱	
		۸/۷۵	۲/۵۶	
		۴/۷۷	تست درستی محلسات	

در ماتریس ۲۰۳ به دلیل صفر بودن مقادیر RI در مخرج باعث می‌شود نزخ ناسازگاری تعریف نشده باشد



تصویر ۵. تلفیق نقشه‌ها در معیار تاب آوری کالبدی (یاقتهای پژوهش؛ خدایندلو و همکاران، ۱۴۰۳)

علاوه بر کاهش گره ترافیکی مسیر و حفظ عملکرد شبکه ارتباطی، تردد خودروهای سنگین عملیاتی آتش‌نشانی تسهیل می‌شود و این منجر به کاهش زمان رسیدن به محل حادثه و درنهایت افزایش میزان تاب آوری منطقه خواهد شد.

#### ابنیه تاریخی

وجود آثار باستانی و ابنیه‌های تاریخی، قدمت و تاریخچه هر سرزمینی را مشخص می‌کند. شهری ری کی از قدیمی‌ترین شهرهای ایران است. وجود اماکن تاریخی بسیاری از جمله باروی ری، قلعه گبری، برج طغرل، آتشکده ری، دزرسکان و حرم عبدالعظیم حسنی و بازار سنتی نیازمند حفاظت و توجه و افزایش تاب آوری این اماکن در مواجهه با حریق و حوادث است. یکی از مهم‌ترین عوامل در کاهش آسیب‌پذیری وجود مسیر دسترسی مناسب نیروهای اندادی به ویژه، آتش‌نشانان در پاسخ به حریق و حوادث در این اماکن است.

#### از زیبایی معیار تاب آوری زیست محیطی

#### ذیرمعیار خصوصیات جغرافیایی

#### شبیب زمین

یکی از آسیب‌های رایج در بحران‌های طبیعی و غیرطبیعی سستی زمین و خطر گسیختگی در تمامی سطوح شبیب‌دار است که باعث

#### بافت فرسوده

اجزای کالبدی شهر، بخش مهمی از محیط زیست انسان را فراهم می‌کند. یکی از مشکلات اصلی منطقه ۲۰ وجود بافت فرسوده شهری، به ویژه در ناحیه ۱ است که علاوه بر مشکلات مربوط به فاضلاب، دارای معاشر کم عرض، تراکم جمعیت و وجود فضای نامرغوب و نامن است. توانمندسازی کالبد شهر در بافت‌های فرسوده و قدیمی (تاریخی)، مؤلفه بسیار مهمی در رضایتمندی ساکنین و افزایش تاب آوری منطقه است. بنابراین بهمنظور ایجاد پایداری در شهر و محلات باید در وجه کالبدی به پایداری دست یافت. میزان تاب آوری در مناطق دارای بافت فرسوده در برابر حریق و حوادث، مناسب نیست و درنهایت آسیب‌پذیری ساکنین منطقه را به دنبال خواهد داشت. یکی دیگر از دلایل آسیب‌پذیری ساکنان بافت فرسوده، نداشتن توان مالی ساکنین جهت بهسازی و نوسازی ساختمان خود است که به مرور زمان، روند تخریب ساختمان‌های موجود در این محدوده را در سالیان اخیر شدت بخشیده است. با توجه به وجود نقاط وابسته حادثه‌خیز در این منطقه، می‌باشد در راستای ارتقای شرایط کیفی محل سکونت ساکنین در این محدوده اقدامات لازم از سوی مراجع ذی‌ربط صورت گیرد. براساس طرح‌های جامع و تفصیلی شهر تهران، به دلیل چالش دسترسی تیمهای آتش‌نشانی معاشر با عرض کمتر از ۶ متر به عنوان بافت فرسوده آسیب‌پذیر در برابر حریق و حوادث در نظر گرفته می‌شود. بنابراین هرچه عرض مسیرهای دسترسی بیشتر باشد،

## پایداری محیط زیستی

## فضای سبز

در سال‌های اخیر، آتش‌سوزی فضای سبز در منطقه مورده مطالعه افزایش یافته است. مدیریت مؤثر و کارآمد حریق نیاز به اخذ اطلاعات دقیق درمورد وقوع آتش‌سوزی، گسترش سریع حریق فضای سبز به اطراف به دلیل نوع گونه‌های گیاهی موجود و تأثیر آن بر محیط زیست دارد. در این پژوهش با توجه به تعدد وقوع حریق فضای سبز معابر عمومی (شامل بزرگراه‌ها، اتووان، خیابان و کوچه) و فضای سبز معابر اختصاصی (شامل ادارات، سازمان‌ها و غیره) و بوستان‌ها به عنوان کاربری‌های سازگار جهت افزایش تاب‌آوری مکانی در آتش‌سوزی مورد بررسی قرار گرفت. با توجه به اهمیت وقوع حریق‌های فضای سبز شهری به صورت فصلی، این شاخص به عنوان یک شاخص سازگار است. جهت بررسی تاب‌آوری فضای سبز فواصل ۳۰۰ متری در ۶ طبقه بصورت فاصله اقلیدسی در نظر گرفته شده است.

## تلقیق نقشه‌های تولید شده در معیار تاب‌آوری زیست‌محیطی

با توجه به روش تحلیل سلسله‌مراتبی مطابق وزن‌های ارائه شده در **جدول شماره ۵**، نقشه معیار تاب‌آوری زیست‌محیطی تهیه شد (**تصویر شماره ۶**). به عبارتی طبق این نقشه مناطقی دارای تاب‌آوری بالا هستند که با رنگ قرمز مشخص شده‌اند. پس از تولید نقشه‌ها هر دو زیرمعیار زیست‌محیطی به روش فواصل ماتریس AHP (**جدول شماره ۵**) با هم جمع شدند که نتیجه آن در **تصویر شماره ۶** دیده می‌شود.

آسیب و خسارت می‌شود. شب زمین ارتباط مستقیم با حرکات دامنه‌ها دارد. هرچه شب زمین کمتر باشد، خطر حرکت‌های دامنه‌ای زمین و آسیب ناشی از آن کمتر خواهد بود. بنابراین در این پژوهش برای تهیه نقشه شب منطقه ابتدا مدل رقومی ارتفاعی تهیه و در نهایت با استفاده از نرم‌افزار ArcGIS نقشه شب تهیه شد. شب موردنظر در این پژوهش در ۵ گروه و بین صفر تا ۲، ۵ تا ۸، ۸ تا ۱۱ و بیشتر از ۱۱ درجه به دست آمد. براساس نقشه شب زمین، فاصله اقلیدسی نسبت به مناطق پوشیدگی محاسبه شد.

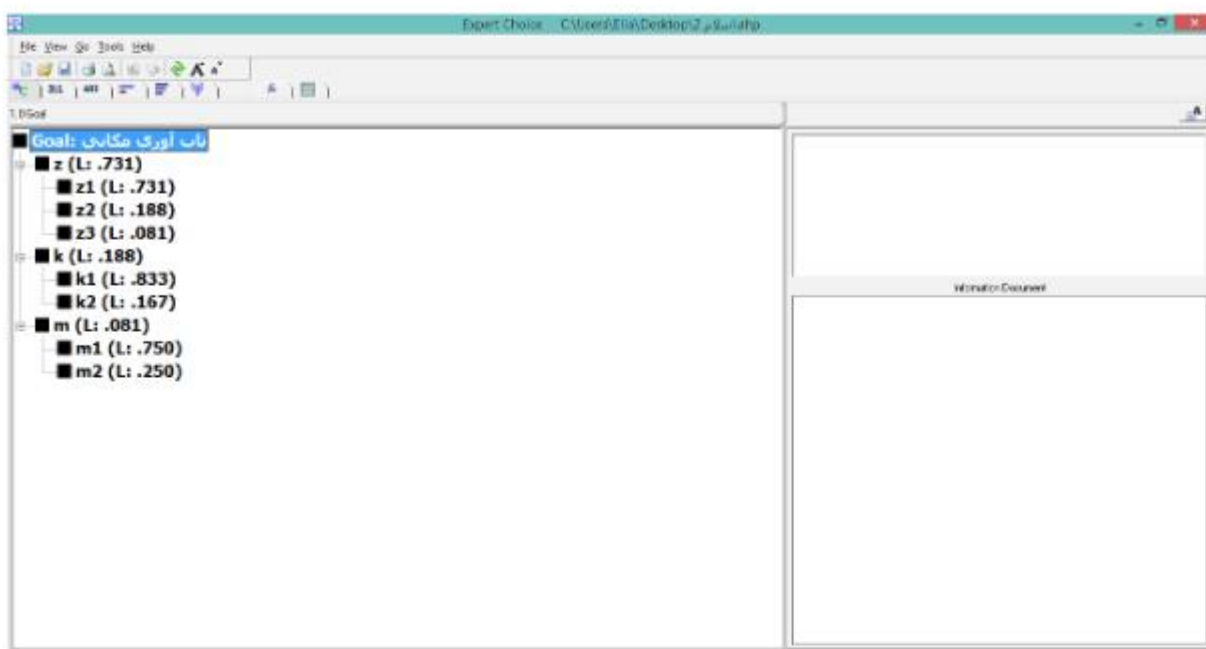
## فاصله از گسل

گسل‌های فعال در تهران و اطراف آن باعث کاهش تاب‌آوری شهری و کالبدی شده است. فاصله از گسل رابطه مستقیمی با میزان تاب‌آوری اینیه، شریان‌های حیاتی و زیرساخت‌های شهری در برابر حریق و حادث و بحران‌ها دارد. هرچه فاصله سازه‌ها و زیرساخت‌های شهری با گسل کم باشد منجر به کاهش تاب‌آوری و از طرفی افزایش آسیب‌پذیری در مواجهه با سوانح طبیعی و انسان‌ساخت خواهد شد. مهم‌ترین گسل‌های جنوب تهران شامل گسل‌های جنوب و شمال شهری هستند که خود گسل شمال ری نیز دارای دو گسل است که در قسمت میانی هم‌پوشانی دارند. گسل شمال ری در راستای شرقی‌غربی و به طول ۱۶/۵ کیلومتر در شمال و شمال غربی به صورت دیواره به ارتفاع ۲ متر در نزدیکی محله عظیم‌آباد وجود دارد. گسل جنوب شهری نیز به صورت دیواره کوتاه و فرسوده‌ای به ارتفاع ۱ تا ۲ متر در ضلع جنوبی تپه باستانی محله قلعه‌مندو دیده می‌شود. هرچه فاصله از گسل بیشتر باشد تاب‌آوری در آن منطقه یا ناحیه بیشتر خواهد شد. در این پژوهش میزان فاصله از گسل بین ۳ تا ۹ کیلومتر محاسبه شد. مقدار مطلوبیت این معیار با امتیازدهی به این معیار از ۱ تا ۹ در نظر گرفته شده است.

جدول ۵ ماتریس PHA معیار تاب‌آوری زیست‌محیطی (یافته‌های پژوهش؛ خدایندگو و همکاران، ۱۴۰۳)

لادهای ماتریس سلسله‌مراتبی	خروجی ضرب ماتریس W در ماتریس اولیه	ماتریس AHP	خصوصیات چراغیابی	خصوصیات چراغیابی	پایداری محیط زیستی
۷	۱				
۱	.				پایداری محیط زیستی
۸	۱	مجموع			AHP(W)
.۸۷	۱	.۱۸۷			
.۱۲	.	.۰۱۲			
	۲				
			۱		تست درستی محاسبات

در ماتریس ۲۰۲ به دلیل صفر بودن مقدار RI در مخرج باعث می‌شود نرخ ناسازگاری تعریف نشده باشد.



تصویر ۷. خروجی نرم‌افزار Expert Choice (یاقتهای یژوهش؛ خدایندemu و همکاران، ۱۴۰۳)

جدول ۶ ماتریس PHA مقایسه اهمیت معیارها (یاقتهای یژوهش؛ خدایندemu و همکاران، ۱۴۰۳)

نرخ ناسازگاری	لانداها	لانداهای AHP ماتریس اولیه	خرچه شرب ماتریس W در	ماتریس AHP	تاب آوری زیرساختی	تاب آوری کالبدی	تاب آوری زیستمحیطی	تاب آوری کالبدی	تاب آوری زیرساختی	تاب آوری مکانی
.۰۹۸	.۰۵۸	۱/۰۱	۰/۰۶	۰/۰۱	۰/۰۱	۰/۰۱	۰/۰۱	۰/۰۱	۰/۰۱	۰/۰۱
۲/۲۲	۲/۱۱	۲/۰۶	۰/۰۸	۰/۰۸	۰/۰۸	۰/۰۸	۰/۰۸	۰/۰۸	۰/۰۸	۰/۰۸
۲/۷۶	۲/۰۷	۰/۰۸	۰/۰۸	۰/۰۸	۰/۰۸	۰/۰۸	۰/۰۸	۰/۰۸	۰/۰۸	۰/۰۸
۰/۰۸	۰/۰۷	۰/۰۷	۰/۰۷	۰/۰۷	۰/۰۷	۰/۰۷	۰/۰۷	۰/۰۷	۰/۰۷	۰/۰۷
۳/۱۳	۰/۰۶	۰/۰۶	۰/۰۶	۰/۰۶	۰/۰۶	۰/۰۶	۰/۰۶	۰/۰۶	۰/۰۶	۰/۰۶
۰/۰۶	۰/۰۵	۰/۰۵	۰/۰۵	۰/۰۵	۰/۰۵	۰/۰۵	۰/۰۵	۰/۰۵	۰/۰۵	۰/۰۵
۰/۰۵۸	۰/۰۴۱	۰/۰۴۱	۰/۰۴۱	۰/۰۴۱	۰/۰۴۱	۰/۰۴۱	۰/۰۴۱	۰/۰۴۱	۰/۰۴۱	۰/۰۴۱

نرخ ناسازگاری قابل قبول کمتر از ۰/۰ است



جدول ۷. مساحت و درصد تابآوری مکانی در مواجهه با ریسکهای HSE در منطقه موردمطالعه

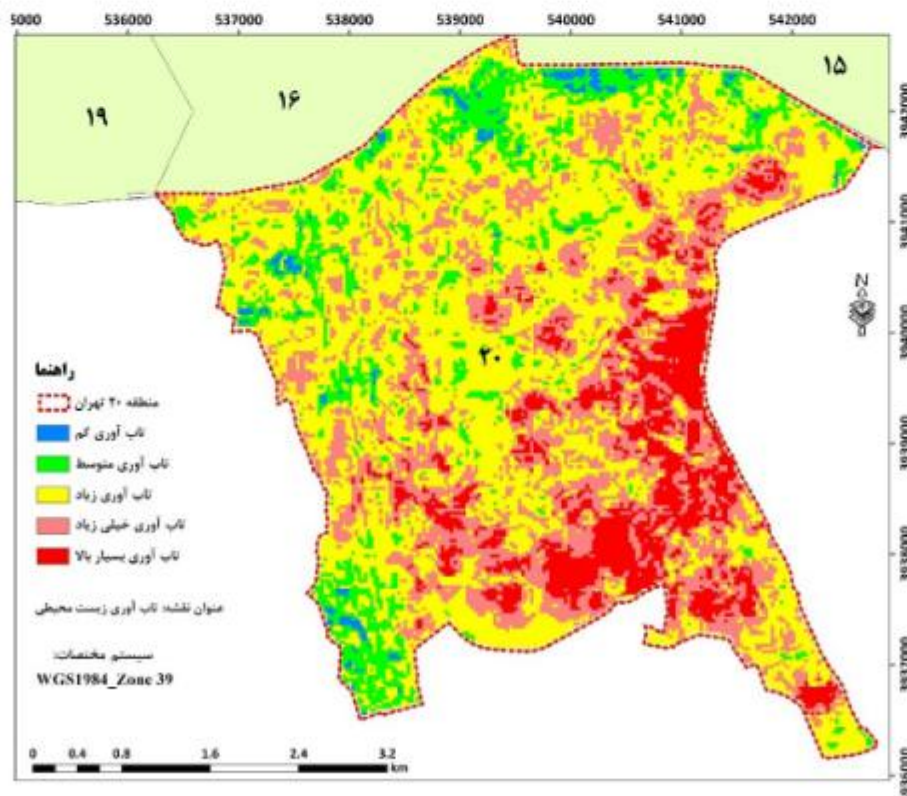
کلاس	مساحت (متر مربع)	درصد	تابآوری کم	تابآوری متوسط	تابآوری زیاد	تابآوری خیلی زیاد	تابآوری بسیار بالا
۷۲۹۷۱۸	۷۸۰۲۵۷۸	۶۵۱۳۶۴۶	۶۶۳۹۸۲۴	۳۶۴۱۹۶	۱/۶۵	۴۰/۱	۲۹/۵۴
۷۷۳	۲۵/۳۸	۷۸/۵۴	۳۰/۱	۱/۶۵			

خطر ناشی از رخداد طبیعی و غیرطبیعی است. بررسی مجموعه معیارها و زیرمعیارهای پژوهش نشان داد میزان تابآوری در منطقه ۲۰ به شکل همگن و یکنواخت نیست. با روی هم گذاری هر یک از لایه های تولید شده ناشی از شاخص های موجود که به آن اشاره شد، نقشه کلی تابآوری مکانی در مواجهه با آتش سوزی در منطقه موردمطالعه، حاصل شد (تصویر شماره ۹). براساس نتایج بدست آمدۀ از نقشه پنهان بندی تابآوری مکانی در مواجهه با ریسک های HSE منطقه موردمطالعه، ۲/۳ درصد از سطح منطقه ۷۲۹۷۱۸ (متر مربع) دارای تابآوری کم، ۳۵/۳۸ درصد (متر مربع) دارای تابآوری متوسط، ۲۹/۵۴ درصد (متر مربع) دارای تابآوری زیاد، ۱/۶۵ درصد (متر مربع) دارای تابآوری خیلی زیاد، ۴۰/۱ درصد (متر مربع) دارای تابآوری بسیار بالا است (جدول شماره ۷).

تلقیق نقشه های تولید شده در هر سه معیار

پس از تولید نقشه ها برای هر سه معیار تابآوری زیست محیطی، تابآوری کالبدی و تابآوری زیرساختی به روش فواصل اقلیدسی، هر سه نقشه نهایی معیارها به صورت جداگانه به صورت رستری با اعمال ضرایب ماتریس سلسله مراتبی (جدول شماره ۶) و با استفاده از نرم افزار Expert Choice (تصویر شماره ۷) با هم تجمیع شدند که نتیجه آن در تصویر شماره ۸ قابل مشاهده است. تصویر شماره ۷ اوزان نهایی معیارها و زیرمعیارها را در محیط نرم افزار Expert Choice نشان می دهد.

از آنجایی که تمامی معیارها ارتباط بسیار نزدیکی با موضوع دارند، به عنوان یکی از شاخص های تأثیرگذار در تابآوری محسوب می شوند. تجزیه و تحلیل تابآوری مکانی منطقه ۲۰ شهرداری تهران در راستای توسعه پایدار است. منطقه ۲۰ شهر تهران با توجه به ویژگی های عنوان شده در شاخص ها در معرض



تصویر ۶. تلقیق نقشه های تابآوری زیست محیطی (یاقتهای پژوهش؛ خداینده‌لو و همکاران، ۱۴۰۳)



وضعیت بسیار نامطلوب قرار دارند. برخی از بافت‌ها و فضاهای شهری، بهویژه ناحیه ۱ (محدوده عملیاتی ایستگاه‌های ۱۴ و ۱۳۷) به دلیل تنگ بودن معاابر و مسیرهای دسترسی و فرسودگی، همچنین وجود چالش‌های دسترسی و بالا بودن تراکم جمعیت، آسیب‌پذیری بیشتری نسبت به سایر مناطق دارند. در راستای ارتقای تابآوری می‌توان با فرهنگ‌سازی و آموزش در سرای محلات و مشارکت اجتماعی در محلات دارای بافت فرسوده، در مواجهه با حریق و حوادث، گام مؤثری برداشت. آسیب‌پذیری‌های زیستمحیطی بدليل وجود نواحی ۶ و ۷ منطقه در بافت حاشیه‌ای و وجود مزارع و آتش زدن مزارع پس از برداشت محصولات که به آلدگی هوای منطقه منجر می‌شود، همچنین آسیب‌پذیری فیزیکی، سلامت، رفاه و اقتصاد موضوعاتی هستند که در تابآوری منطقه تأثیرگذار هستند. وجود گسل و بروز حریق و حوادث زیاد که به خسارات مالی و جانی منجر می‌شود باعث انجام پژوهش‌هایی در حوزه تابآوری شهری شده که هدف آن‌ها افزایش سرعت تابآوری و درنهایت کاهش آسیب‌پذیری در شهر است. طبق فرضیه تحقیق، ارزیابی تابآوری بروون‌سازمانی با استفاده از سامانه GIS در افزایش تابآوری کالبدی و زیرساختی و درنتیجه کاهش آسیب‌پذیری محدوده مورد مطالعه نقش مؤثری دارد. در پاسخ به مسئله پژوهش مبنی بر ظرفیت‌های تابآوری کالبدی و زیرساختی در برابر حریق و حوادث می‌توان گفت منطقه دارای تابآوری مناسب است.

باتوجه به نتایج حاصل از تحلیل سلسله‌مراتبی و خروجی نتایج نرم‌افزار Expert Choice (تصویر شماره ۶)، معیار زیرساختی در اولویت اول ( $Z=0.731$ )، معیار کالبدی در اولویت دوم ( $K=0.188$ ) و معیار زیستمحیطی در اولویت سوم ( $M=0.081$ ) قرار گرفت.

درصد تابآوری نهایی محدوده مورد مطالعه (ایستگاه‌های آتش‌نشانی منطقه ۲۰ شهر تهران) در تصویر شماره ۸ نشان داده شده است.

### بحث

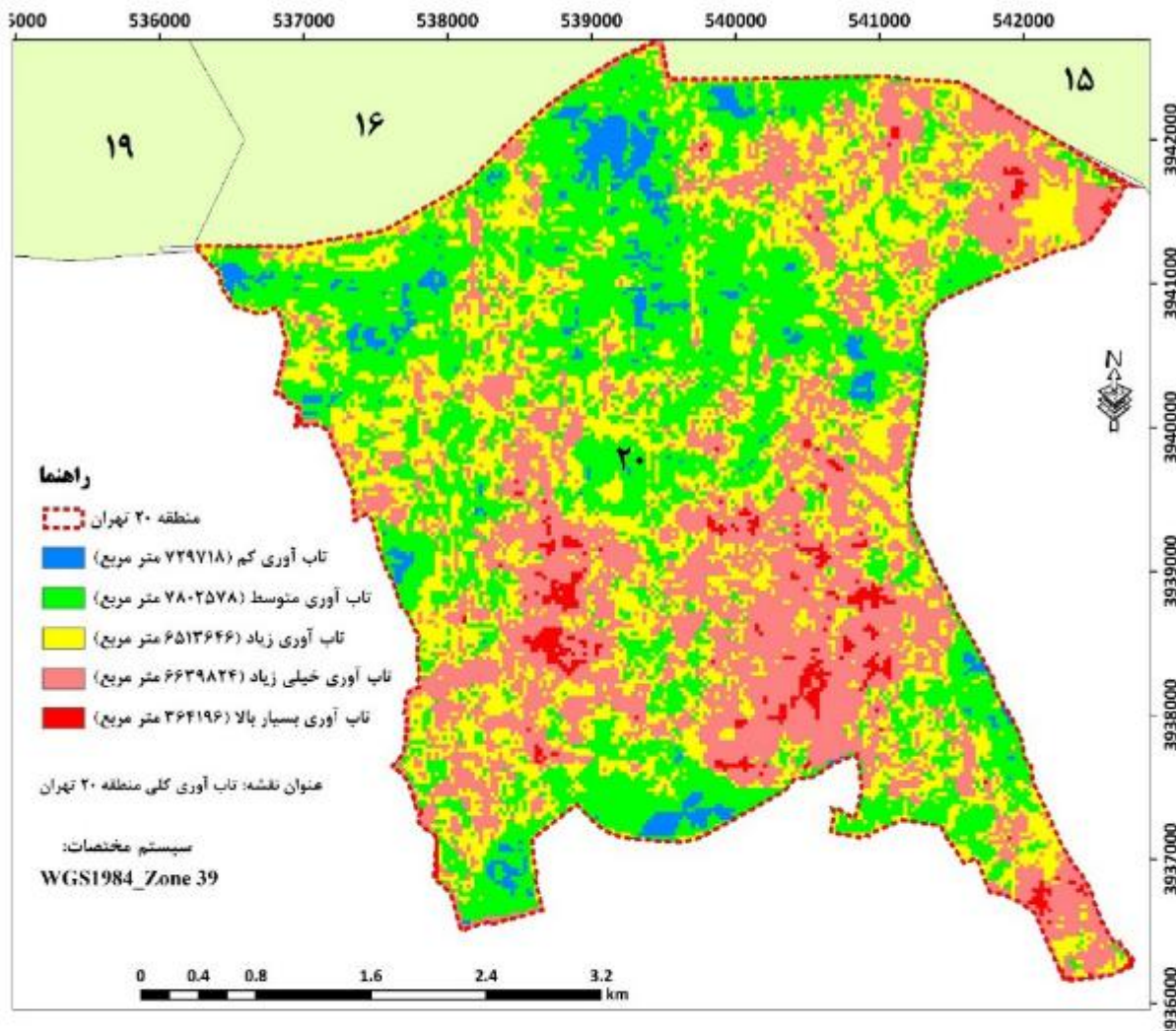
با مطالعه فاکتورهای مؤثر آسیب‌پذیری کالبدی و زیرساختی، قبل از وقوع حریق و حوادث و برنامه‌ریزی مناسب می‌توان تابآوری شهرها را در برابر حوادث افزایش داد. در پژوهش حاضر جهت ارزیابی وضعیت تابآوری کالبدی و زیرساختی محدوده عملیاتی ایستگاه‌های تحت پوشش منطقه ۲۰ شهرداری تهران از ۳ معیار، ۷ زیرمعیار و ۲۱ شاخص طبق جدول جدول شماره ۱ استفاده شد. ابتدا با لایه‌سازی برای هریک از معیارهای اصلی و زیرمعیارها در چهار بعد ایستگاه‌های آتش‌نشانی، شریان‌های حیاتی، مراکز امدادی و نظامی، تصرفات و کالبد شهری با استفاده از اوزان حاصل از فرایند سلسه مراتبی (AHP) نقشه تابآوری کلی منطقه ۲۰ (تصویر شماره ۹) تهیه شد. اوزان حاصله با روش طوفان فکری و توسط خبرگان آتش‌نشانی و براساس فاصله اقلیدسی و افزایش یا کاهش مؤثر در تابآوری و با دستور Reclassify و پس از دسته‌بندی در محیط Arc GIS (تصویر شماره ۱) انجام شد. با روی هم گذاری لایه‌ها (نقاط دارای تابآوری مشترک)، نقشه تابآوری در سنجش و پهن‌بندی میزان تابآوری کالبدی منطقه مورد مطالعه می‌توان عنوان کرد که میزان تابآوری در محدوده عملیاتی ۷ ایستگاه آتش‌نشانی یکسان نیست.

در سنجش و پهن‌بندی میزان تابآوری کالبدی منطقه مورد مطالعه می‌توان عنوان کرد میزان تابآوری در محدوده عملیاتی ۷ ایستگاه آتش‌نشانی یکسان نیست و برخی نواحی در

درصد تابآوری کل منطقه مورد مطالعه



تصویر ۸. درصد تابآوری کلی منطقه مورد مطالعه (یاقته‌های پژوهش؛ خداینده‌لو و همکاران، ۱۴۰۴، ۳)



تصویر ۹. تاب آوری کلی منطقه ۲۰ (یافته‌های پژوهش؛ خدایندگو و همکاران، ۱۴۰۳)

وجود بافت فرسوده و تراکم جمعیت و حادثه‌خیز بودن این نواحی و همچنین تنگ بودن مسیرهای دسترسی در سطح محدوده با مطالعه انجام نشده است. عدم دسترسی مناسب به ایستگاه‌های آتش‌نشانی، بهویژه در محله صفائیه نیازمند بازنگری و پیشنهاد احداث یک ایستگاه جدید (جانمایی در میدان صفائیه مرز بین ناحیه ۱ و ۴) در راستای پوشش عملیاتی مناسب، کاهش زمان رسیدن خودروهای آتش‌نشانی و بهبود دسترسی ساکنان در سطح محدوده است. همچنین یافته‌های پژوهش در اینجا بررسی محدوده تحت پوشش مرآکز درمانی نشان می‌دهد بهمجز نواحی ۲ و ۶ منطقه، سایر نواحی در دسترسی به مرآکز درمانی وضعیت مناسبی داشته و دارای تاب آوری مناسبی هستند. در راستای تاب آور کردن منطقه در برابر حریق و حادثه بهویژه در بافت‌های فرسوده با معابر تنگ و باریک (ناحیه ۱ و بخش جنوبی ناحیه ۴)، می‌بایست نقش برنامه‌ریزی شهری و بهطور کلی مدیریت کاربری اراضی برای افزایش تاب آوری مناطق شهری در

یافته‌های تحقیق نشان داد پاتوجه به نقشه پهنه‌بندی تاب آوری مکانی در مواجهه با ریسک‌های HSE منطقه مورد مطالعه، ۲/۳ درصد از سطح منطقه دارای تاب آوری کم، ۳۵/۳۸ درصد دارای تاب آوری متوسط، ۲۹/۵۴ درصد دارای تاب آوری زیاد، ۳۰/۱ درصد دارای تاب آوری خیلی زیاد و ۱/۶۵ درصد دارای تاب آوری بسیار بالا است (تصویر شماره ۸).

### نتیجه‌گیری

نتایج حاصل از تحلیل شعاع عملکردی ۷ ایستگاه آتش‌نشانی موجود در محدوده منطقه ۲۰ شهرداری تهران حاکی از آن است که دسترسی به ایستگاه‌های آتش‌نشانی (حریق، نجات و پشتیبانی) که نقش بسیار حیاتی در کاهش خسارات و تلفات ناشی از حریق و حادثه و همچنین افزایش تاب آوری دارد، در بعضی از محلات نواحی (مثل ناحیه ۱ و ۴) منطقه با چالش دسترسی موافق است و توزیع و جانمایی این ایستگاه‌ها پاتوجه به



- توجه سازمان‌های ذی‌ربط در خصوص بهسازی و نوسازی بافت فرسوده ناحیه ۱.

- پیشنهاد می‌شود در بافت فرسوده و معابر تنگ که امکان تردد خودروهای امدادی سنگین با محدودیت موافق است از خودروهای سبک به عنوان جایگزین استفاده شود.

- آموزش شهروندان در خصوص عدم ازدحام در محل حریق و حادثه به دلیل وجود خطرات ثانویه.

### ملاحظات اخلاقی

#### پیروی از اصول اخلاقی پژوهش

این مقاله با رعایت اصول اخلاقی انجام شد. از آنجایی که هیچ آزمایشی روی نمونه‌های انسانی یا حیوانی انجام نشد، نیازی به رعایت اصول اخلاقی نبود.

#### حامي مالي

این تحقیق هیچ کمک مالی از سازمان‌های تأمین مالی در بخش‌های عمومی، تجاری یا غیرانتفاعی دریافت نکرده است.

#### مشارکت نویسنده‌گان

همه نویسنده‌گان به طور یکسان در مفهوم و طراحی مطالعه، جمع‌آوری و تجزیه و تحلیل داده‌ها، تفسیر نتایج و تهیه پیش‌نویس مقاله مشارکت داشتند.

#### تعارض منافع

بنابر اعلام نویسنده‌گان، این مقاله تعارض منافع ندارد.

#### تشکر و قدردانی

نویسنده‌گان از واحد فناوری و اطلاعات سازمان آتش‌نشانی تهران برای ارائه اطلاعات و همچنین از کلیه آتش‌نشانان و کارشناسانی که در پاسخ به پرسش‌نامه مشارکت داشتند، تشکر و قدردانی می‌کنند.

نظر گرفته شود.

نتایج پژوهش در خصوص بررسی شبکه معابر (عرض معابر و رابطه مستقیم آن با تسهیل تردد و استقرار خودروهای عملیاتی سنگین در محل حادثه) با مطالعه عشقی چهاربرج (۱۳۹۷)، با عنوان «تاب‌آوری شهر در برابر زلزله با رویکرد آینده‌پژوهی» در یک راستا است. همچنین نتایج پژوهش براساس تصویر شماره ۳ (شعاع عملکردی و محدوده تحت پوشش) با تحقیق آیش و همکاران (۱۴۰۲) نیز همراستا است. نتایج پژوهش حاضر در ارتباط با زمان پاسخ تیم‌های آتش‌نشانی به مکان‌های دچار آتش‌سوزی شده با پژوهش سرشتمداری و همکاران (۲۰۲۰) در یک راستا است. در صورت تاب‌آوری معابر و مسیرهای دسترسی و نیز تعامل با عوامل راهور جهت مدیریت مسیرهای پرترافیک و چراغ راهنمایی و رانندگی در حین اعزام، زمان رسیدن تا حد زیادی کاهش پیدا خواهد کرد. در حال حاضر زمان رسیدن تیم‌های آتش‌نشانی در محدوده تحت پوشش به محل حادثه حداقل ۵ دقیقه بدون در نظر گرفتن ترافیک مسیر و مسدود بودن مسیر است. براساس رابطه مسافت، حداقل مسافتی که یک خودروی سنگین آتش‌نشانی در وضعیت عادی و باز بودن مسیر می‌تواند در ۵ دقیقه، طی کند، حداقل ۲/۹ کیلومتر است. همچنین یافته‌های پژوهش با نتایج معمومی و همکاران (۱۴۰۰)، در خصوص بررسی میزان آسیب‌پذیری شبکه معابر محدوده در برابر حریق و حوادث، همسو است و براساس پژوهش حاضر مهم‌ترین چالش تیم‌های آتش‌نشانی در پاسخ به حریق و حوادث، در زمان اعزام و چالش دسترسی به محل حادثه است که این چالش در صورت آسیب به معابر و مسیرهای دسترسی و یا مسدود شدن مسیر به دلیل تصادف و ترافیک سنگین دو چندان شده و زمان رسیدن به محل حادثه و درنهایت امدادرسانی را به تأخیر خواهد انداخت.

#### محدودیت‌های پژوهش

مهم‌ترین محدودیت این پژوهش، عدم دسترسی به اطلاعات و مستندات پرونده پژوهشی مصدومین عملیات قبل از سال ۱۳۹۷ است. همچنین جهت انجام این پژوهش نیاز به همکاری آتش‌نشانان بود که در برخی موارد عدم همکاری آنان از محدودیت‌های اجرای طرح بوده است.

#### پیشنهادات

- پیشنهاد احداث یک ایستگاه جدید آتش‌نشانی در محله صفاییه (مرز بین ناحیه ۱ و ۴).

- آموزش و فرهنگ‌سازی محلات در خصوص تملیس با سامانه اطفای حریق، امداد و نجات و باز کردن مسیر در زمان بروز حادثه.



## References

- Aghayani, P., & Nikbakht, E. (2024). [A review of resilience and fairness concepts and modeling in humanitarian logistics using a meta-analysis approach (Persian)]. *Disaster Prevention and Management Knowledge*, 14 (1), 2-23. [DOI:10.32598/DMKP.14.1.801.1]
- Anjirani, N., Bigdeli Rad, V., & Pakzad, S. (2023). [A comparative study on the realization of urban resilience in three old, moderate, and new fabrics of Qazvin City, Iran based on perceptions of residents (Persian)]. *Disaster Prevention and Management Knowledge*, 13 (3), 374-391. [DOI:10.32598/DMKP.13.3.594.3]
- Arasteh, M., Baghban, A., & Baghban, S. (2020). [Identification of Key Factors Affecting Urban Resilience with a Foresight Approach (Case Study: Mashhad Metropolis) (Persian)]. *Physical Social Planning*, 7(2), 63-78. [DOI:10.30473/psp.2020.7007]
- Aysham, M., Molaei A., & Ezzati Mehr, M. (2023). [Analysis of the spatial distribution of fire stations in Tabriz city with a passive defense approach (Persian)]. *Disaster Prevention and Management Knowledge*, 13 (1), 19-34. [Link]
- Ebrahimipour, M., Ziari, K., & Ardalan, D. (2021). [Explaining the pattern of physical resilience measurement in river-centered city against the impact of floods (case study: Tonekabon City) (Persian)]. *Geographical Planning of Spaces*, 11(41), 43-68. [DOI:10.30488/gps.2020.214382.3159]
- Eric, H. (2023). *Resilience engineering in operations and resilience training for firefighters* [A. Khairdast & Afrasiab. E. Khodabandehloo, Persian trans.]. Tehran: Danesh Binoyad Publications. [Link]
- Eshghi Chaharborj, A. (2018). [City resilience to earthquakes with a futures research approach, case study: District 1 of Tehran Municipality (Persian) [PhD dissertation]. Ardabili: University of Mohaghegh Ardabili.
- Ghasemi, R., Omidvar, B. and Behzadfar, M. (2020). [Study of the Effectiveness of "Technical-Physical" and "Socio-Economic" Strategies in Improving Urban Resilience against Earthquakes (Persian)]. *Geographical Urban Planning Research (GUPR)*, 8(1), 99-114. [DOI:10.22059/jurbangeo.2019.278571.1080]
- Ghochani, S. K., Attari Rahimi, H., & Akbaregli, F. (2016). [Locating suitable emergency accommodation spaces in cities during times of crisis (Case study: District 11 of Mashhad Municipality) (Persian)] [MA thesis]. Mashhad: Payam Noor University.
- Hajarian, A. (2024). [Locating the optimal areas for multipurpose urban shelters based on the principles of passive defense in Isfahan, Iran (Persian)]. *Disaster Prevention and Management Knowledge*, 14 (1), 44-59. [DOI:10.32598/DMKP.14.1.803.1]
- Hamidi, A. (2023). [Presenting strategies for reducing the physical vulnerability of Kermanshah city due to earthquakes (Persian)] [PhD dissertation]. Tabriz: University of Tabriz.
- Kamran, M. (2022). Role of cultural heritage in promoting the resilience of linear/critical infrastructure system with the enhancement of economic dimension of resilience: A critical review. *International Journal of Construction Management*, 22(7), 1345-1354. [Link]
- Kazemirinia, A. (2018). [Locating the construction of emergency shelters in Kerman city using GIS (Persian)]. *Bi-Quarterly Scientific and Research Journal of Crisis Management*, 16, 47-59.
- Kheirastat, A., Joz, S. A., Rezaian, S., & Mirza Ebrahim Tehrani, M. (2024). [Locating emergency accommodation in District 19 of Tehran using multi-criteria decision-making method (Persian)]. *Journal of Human and Environment*, 1(22), 54-55. [Link]
- Kheirast, A., Demirchi, E. S., Padash, A., Khodabandehloo, E. A., & Mohammadi Jahdi, Z. (2024). [Relationship of work safety climate with organizational cynicism and career Resilience of firefighters (Persian)]. *Disaster Prevention and Management Knowledge (quarterly)*, 14(2), 178-191. [DOI:10.32598/DMKP.14.2.826.1]
- Khodabandehloo, E. A., Hemmisi, A. H., Lahijanian, A., Hassani, A. H., & Mohammadi, A. (2024). [Identification and prioritization of criteria affecting the resilience of Tehran Fire Department using the analytic network process method (Persian)]. *Quarterly Journal of Environmental Sciences and Technology*, 26(4). [Link]
- Kim, Y. (2021). Building organizational resilience through strategic internal communication and organization-employee relationships. *Journal of Applied Communication Research*, 49(5), 589-608. [Link]
- Liu, B., Chen, X., Zhou, Z., Tang, M., & Li, S. (2019). Research on disaster resilience of earthquake-stricken areas in Longmenshan fault zone based on GIS. In D. J. Parker, E. C. Penning-Roselli (Eds.), *Environmental Hazards and Resilience: Theory and Evidence* (pp. 50-69). London: Routledge. [Link]
- Masoomi, M. T., & Rajabzadeh, M. (2021). [Investigating the vulnerability of Ardabil city road network against natural disasters (earthquake) (Case study: Imam Khomeini Street, Shahr) (Persian)]. *Journal of Geography and Environmental Hazards*, 10(3), 141-161. [DOI:10.22067/geoeh.2021.67019.0]
- Moghimi, S., & Morsedi, D. (2019). [Locating suitable space for temporary accommodation of earthquake victims using hierarchical analysis and weighted linear combination based on GIS, case study: Shahroud city (Persian)]. *Journal of Spatial Analysis Environmental Hazards*, 6(1). [Link]
- Nasiri Hendeh Khaleh, E., Rostami, S., & Shirini, M. (2023). [Location analysis of Karaj central disaster management (Persian)]. *Human Geography Research*, 55(3), 83-96. [Link]
- Pelling, M., Comelli, T., Cordova, M., Kalaycioglu, S., Menoscal, J., & Upadhyaya, R., et al. (2024). Normative future visioning for city resilience and development. *Climate and Development*, 16(4), 335-348. [Link]
- Rahimi Juneghani, A., & Nooraie, H. (2024). Evaluation of the physical-functional resilience of Isfahan City center using spatial statistics methods and ELECTRE\*. *Geo-Spatial Information Science*, 1-18. [Link]
- Rezaie shahabi, R., Arab, A., Ahmadi, H., Pishva, A., & Shahbakhsh Mosazehi, M. E. (2023). [Evaluating the Vulnerability of the Urban Fabric of District 18 of Tehran under the Influence of Land Subsidence using ANP and GIS (Persian)]. *Journal of Geography and Environmental Hazards*, 11(4), 193-219. [DOI: 10.22067/geoeh.2022.76899.1235]
- Roosta, M., Karimkoshhteh, N., & Azarm, Z. (2024). [Rereading local community resilience indicators in dealing with crisis an analysis of the narratives and experiences of saadi neighborhood residents in Shiraz During the 2019 Flood Disaster (Persian)]. *Geographical Urban Planning Research (GUPR)*, 12(1), 85-101. [Link]
- Sadeghi Pour, T., Hajipour, K., & Sadeghi, A. (2023). [The Role of Urban Planning in Post Disaster Recovery through Site Selection of Crisis Management Support Shelters (Case Study: Third District of Shiraz Municipality) (Persian)]. *Emergency Management*, 12(1), 120-138. [Link]

- Saeedi, R., Aghamohammadi, H., Alesheikh, A. A., & Vafaeinejad, A. (2024). [Smart emergency services using geographical information system and Internet of Things (Persian)]. *Iranian Journal of Remote Sensing and GIS*, 16(2), 159-178. [DOI:10.48308/gisj.2024.229150.1128]
- Sarreshtehdari, A., & Elhami Khorasani, N. (2022). Post-earthquake emergency response time to locations of fire ignition. *Journal of Earthquake Engineering*, 26(7), 3389-3416. [[Link](#)]
- Sauti, N. S & Daud, M. E & Kaamin, M., & Sahat, S. (2021). GIS spatial modelling for seismic risk assessment based on exposure, resilience, and capacity indicators to seismic hazard: A case study of Pahang, Malaysia. *Geomatics, Natural Hazards and Risk*, 12(1), 1948-1972. [[Link](#)]
- Sayahpoor, A., Hematiyan, F., & Shoul, A. (2019). Organizational Resilience Process Analysis Using Interpretative Structural Modeling (Case study: Sapco). *Journal of Iranian Public Administration Studies*, 2(1), 123-147. [DOI:10.22034/jipas.2019.90667]
- Sun, W., Bocchini, P., & Davison, B. D. (2020). Resilience metrics and measurement methods for transportation infrastructure: The state of the art. *Sustainable and Resilient Infrastructure*, 5(3), 168-199. [[Link](#)]
- Ghadiri, M., & Tehranchi, A. (2019). [Fire prevention and protection strategies in cultural-historical buildings and textures (Persian)]. Qazvin: Qazvin Academic Jihad Publications. [[Link](#)]
- Yazdani, M., & Farzaneh Sadat Zaranji, Z. (2024). [Optimum Location of Physical Expansion of Sardasht City Using Combined Methods and Transfer Process Fuzzy Network of Spatial Information System (Persian)]. *Disaster Prevention and Management Knowledge*, 13 (4), 474-489. [DOI:10.32598/DMKP.13.4.779.1]
- Zardan, M. (2017). [Investigating the effect of transformational leadership on organizational resilience with the mediation of emotional intelligence in fire stations in Rasht City (Persian)] [MA thesis]. Industrial Management (Production), North Strategy Higher Education Institute.
- Zebardast, E. and Gheshlaghpour, S. (2024). [Evaluating the resilience of transportation infrastructures in Tehran Metropolis. Case Study: Localities of Two (Region 9), Four (Region 6) and Five (Region 1) Districts (Persian)]. *Emergency Management*, 12(2), 191-205. [[Link](#)]
- Zhaleh, M., & Charehjoo, F. (2021). [Measurement and zoning of physical resilience of urban neighborhoods against earthquake (Persian)]. *Emergency Management*, 10(1), 83-99. [[Link](#)]



## Disaster Prevention and Management Knowledge

Summer 2025. Vol 15. Issue 2

### Table of Contents

- 124 Spatiotemporal Changes in Regional Temperature Influenced by Global Warming in Tehran Province, Iran Niloofar Mohammadi, Zahra Hejazizadeh, Parviz Zeaiean Firouzabadi, AliReza Karbalaei
- 144 Flood Risk Zoning Using Fuzzy Logic Model; Case Example: Lavasanat Watershed Sayad Asghari Sareskanroud, Aqil Madadi, Maherukh Sardashti
- 160 Identifying the Drivers and Consequences of the Mainstream Media's Effective Activism in Managing Soci-political Crises in Iran Mitra Afzali Farooji, Fatemeh Estarami
- 182 A Collaborative Model of Humanitarian Assistance for Maximum Coverage of Areas Affected by Natural Disasters Golnush Jahromi Rajabi, Razieh KeshavarzFard
- 202 A Two-echelon Model of Location-routing Problem for Optimizing Relief Operations in Natural Disasters Hossein Jamali, Mehdi Kabiri Naeini, Zeynab Elahi
- 230 Bow-tie Risk Assessment of Hydrogen Gas Leakage From the Chlorination Unit of a Combined-cycle Power Plant Iraj Mohammadfam, Tahereh Eskandari
- 242 Analyzing the Physical and Infrastructural Resilience to Fire Accidents in District 20 of Tehran, Iran, Based on the Geographic Information System Eslam Ali Khodabandehlou, Amir Hooman Hemmasi, Akramolmoluk Lahijanian, Amir Hesam Hassani, Ali Mohammadi

**Aims and Scope:**

**Promotion and expansion of disaster management knowledge in the specialized fields of risk prevention, preparedness, response, and recovery;**

**Promotion and expansion of passive defense knowledge**

**Promotion and expansion of Health, Safety and Environment (HSE) knowledge;**

**Publishing the latest research results and creating an environment for constructive criticism and exchange of ideas;**

**Establishing cooperation and scientific interaction between scholars at the national and international levels;**

**Creating a suitable platform for identifying and providing solutions related to crisis management issues at local, regional, national, and international levels;**

**Transferring knowledge and innovations in disaster management with an emphasis on the role of urban management;**

**Helping to create a scientific communication network between scholars, policymakers, and disaster management planners of the country;**

**Creating a suitable platform to use the experiences of other countries for localizing the international experiences of crisis management.**

**Topics include but are not limited to:**

**1. Safety and risk prevention and reduction**

1.1. Risk prevention

1.2. Safety

1.3. Risk reduction planning

**2. Risk assessment**

2.1. Risk identification

2.2. Risk assessment

**3. Preparation and planning**

3.1. incident command system

3.2. planning response in emergency situations

3.3. operational plan in emergency situations

3.4. Evacuation and emergency accommodation

3.5. Help and rescue

#### **4. Reconstruction and rehabilitation in disaster**

4.1. Demolition and debris management

4.2. Restoration of infrastructure, transportation system, housing system, environment

4.3. Physical, psychological, social, and economic rehabilitation

4.4. People with special needs in crisis (elderly, children, women, people with disabilities, special patients, etc.)

#### **5. Natural and man-made hazards**

5.1. Ground-related hazards (earthquake and landslide, subsidence and collapse of the ground, **volcano**, etc.)

5.2. Meteorological hazards (climate changes, flood, soil erosion, desertification, fires, drought, **storms**, etc.)

5.3. Chemical hazards (environmental pollution, industrial buildings' fire, chemical waste, etc.)

5.4. Transportation hazards (road accidents, railway accidents, airway accidents, subway accidents, crowd crushes, etc.)

5.5. Biological hazards (epidemics, biological threats, etc.)

#### **6. Future studies of the disaster**

6.1. Quantitative and qualitative analyses of trends

6.2. Identification of future risks and hazards

6.3. Designing the desired, possible and probable future

6.4. Politicizing and planning changes for the desired future

#### **7. Disaster knowledge management**

7.1. Documentation

7.2. Lessons Learned Register

7.3. Root cause analysis of accidents

---

**8. Intelligence and new technologies**

- 8.1. Knowledge-based achievements
- 8.2. Technologies based on data analysis
- 8.3. Information systems management

**9. Social and cultural**

- 9.1. Local communities and community-based participation in disaster management
- 9.2. Social responsibility (individual, corporate and organizational) in disaster management
- 9.3. Social capital and disaster

**9.4. Disaster culture**

- 9.5. Empowerment, safety training, and disaster management
- 10. Economy of disaster and insurance

**11. Laws, regulations, standards and legal requirements of disaster management****12. Information and media in disaster management****13. Passive defense****14. Health, Safety and Environment (HSE)**



## Disaster Prevention and Management Knowledge

Summer 2025. Vol 15. Issue 2, Serial No. 56

### Editorial Advisory Board

#### Ali Nasiri

Assistant Professor, Department of Health in Emergency and Disasters.  
Faculty of Health, Baghiyatollah University of Medical Sciences, Tehran, Iran.

#### Mehdi Zare

Professor, International Research Institute of Seismology and Earthquake  
Management, Tehran, Iran.

#### Iraj Mohammadfam

Professor, University of Social Welfare and Rehabilitation Sciences, Tehran,  
Iran.

#### Mohamad Hossein Yarmohammadian

Professor, Isfahan University of Medical Science, Isfahan, Iran.

#### Mohammad Reza Ghayamqamian

Professor, Research Institute of Seismology and Earthquake Management,  
Tehran, Iran.

#### Ali Moradi

Associate Professor, Institute of Geophysics, University of Tehran, Tehran,  
Iran.

#### Raoof Mostafazadeh Mostafazadeh

Associate Professor, Department of Natural Resources, Faculty of  
Agriculture and Natural Resources, University of Mohaghegh Ardabili,  
Ardabil, Iran.

#### Ali Bagheri

Associate Professor, Department of Water Resources Engineering, Faculty  
of Agriculture, Tarbiat Modares University, Tehran, Iran.

#### Mohsen Kalantari

Associate Professor, Department of Geography, Zanjan University, Zanjan,  
Iran.

#### Mehry Akbary

Associate professor of Climatology, Department of Physical Geography  
(Climatology), Faculty of Geographical Sciences, Kharazmi University,  
Tehran, Iran.

#### Allakbar Taghipour

Assistant Professor, Department of Geography, Faculty of Earth Sciences,  
Damghan University, Damghan, Iran.

#### Fereshteh Aslani

Faculty of Architecture and Urbanism, Shahid Beheshti University, Tehran,  
Iran.

#### Jalal Samia

Assistant Professor, GIS and Remote sensing, University of Mazandaran,  
Mazandaran, Iran.

#### Seyed Azim Hosseini

Associate Professor, Civil Engineering Department, Islamic Azad University,  
South Tehran Branch, Tehran, Iran.

#### Amirabbas Fatemi

Assistant Professor, Department of Civil Engineering, Pardis Branch,  
Islamic Azad University, Pardis, Iran.

#### Mahboobeh Pirizadeh

Assistant Professor, Faculty of Engineering, Department of Civil  
Engineering, Islamic Azad University, West Tehran Branch, Tehran, Iran.

#### Ayoub Pazhouhan

Assistant Professor, Department of Public Administration and Tourism,  
Payame Noor University, Tehran, Iran.

#### Esmaeil Najafi

Assistant professor of Earth Sciences Faculty, Geomorphology  
Department, Damghan University, Damghan, Iran.

#### Alireza Saeidi

Department of Regional Planning and Urban Planning, Islamic Azad  
University, Science and Research Branch, Tehran, Iran.

#### Hamidreza Zarghami

Assistant Professor, Shahid Sattari University of Aeronautical Sciences and  
Technology, Tehran, Iran.

#### Dariush Mehri

Assistant Professor, Shahid Sattari University of Aeronautical Sciences and  
Technology, Tehran, Iran.

#### Sadegh Syedbeighi

Department of Geography and Urban Planning, Islamic Azad University,  
Science and Research Branch, Tehran, Iran.

#### Seyedeh Samaneh Mirasmaeeli

Ph.D. in Health in Disasters and Emergencies, School of Health  
Management and Information, University of Iran Medical Sciences, Tehran,  
Iran.

#### Mehrab Sharifi Sadeh

Ph.D. in Health in Disasters and Emergencies, Tehran University of Medical  
Sciences, Tehran, Iran.

#### Fatemeh Falahati

Hydrological Hazards Department, Natural Disasters Research Institute,  
Tehran, Iran.

#### Keivan Karimloo

Ph.D. in Environmental Engineering, Shahid Beheshti University, Tehran,  
Iran.



## Disaster Prevention and Management Knowledge

Summer 2025. Vol 15. Issue 2, Serial No. 56

### Editorial Advisory Board

#### Esmail Salimi

Department of Architectural and Urban Planning Engineering, Shahid Beheshti University, Tehran, Iran.

#### Zeinab Nasiri Mahini

Department of Social Work, Social Sciences Faculty, Allameh Tabatabai University, Tehran, Iran.

#### Azizolah Salimi Tari

Ph.D. in Environmental Management, Faculty of Natural Resources and Environment Science and Research Branch, Islamic Azad University, Tehran, Iran.

#### Zohreh Molamohammadi

Ph.D. in Industrial Engineering, Kharazmi University, Tehran, Iran.

#### Marzieh Samadi-Foroushani

Ph.D. in Operations Research Management, University of Tehran, Iran.

#### Kamran Khalifehei

Ph.D. in Civil Engineering, University of Sistan and Baluchestan, Zahedan, Iran.

#### Mohammad Javad Keyhanpour

Ph.D. in Civil Engineering, Department of Civil Engineering, Islamic Azad University, Tehran, Iran.

#### Narges Ramak

Ph.D. in Public International Law, Azad University, Central Tehran Branch, Tehran, Iran.

#### Sona Razzaghi

Ph.D. in Industrial Engineering, Evinkey University, Evinkey, Iran.

#### Seyyed Sadegh Abdulahi

Ph.D. in Industrial Management, Faculty of Management, University of Tehran, Tehran, Iran.

#### Azam Keshavarzi

Ph.D. in Educational Psychology, North Tehran Islamic Azad University, Tehran, Iran.

#### Mohsen Mehrjou

Ph.D. in Urban Planning, Islamic Azad University of Qods Branch, Tehran, Iran.

#### Somayeh Ghezavat

Ph.D. in Industrial Management, Department of Industry Management & Information, Shahid Beheshti University, Tehran, Iran.

#### Shahab Taghikhani

Ph.D. in Media Management, University of Tehran, Iran.

#### Aida Raverian

Ph.D. in occupational therapy, University of Social Welfare and Rehabilitation, Tehran, Iran.

#### Mohammadhossein Mahdavi Ghahsareh

Ph.D. Candidate, Department of Restoration, Faculty of Architecture and Urban Planning, Iran University of Science and Technology, Tehran, Iran.

#### Ali Vejdani Nozar

Department of Disasters engineering, Faculty of Environment, University of Tehran, Tehran, Iran.

#### Kloumars maleki

Postdoctoral Researcher in Geography and Urban Planning, Faculty of Planning and Environmental Sciences, Tabriz University, Tabriz, Iran

#### Afrasiab Khairdast

Ph.D. in Environmental Management, Islamic Azad University, North Tehran Branch, Tehran, Iran



## Disaster Prevention and Management Knowledge

Summer 2025. Vol 15. Issue 2, Serial No. 56

**Owner:** Tehran Disaster Mitigation and Management Organization  
(TDMMO)

**Frequency:** Quarterly

P-ISSN: 2322-5955

E-ISSN: 2538-1814

**Peer review:** Double Blind

**Publication Policy:** Open Access

**Director-in-Charge**

All Nasiri, Assistant Professor

President of Tehran Disaster Mitigation and Management Organization  
(TDMMO), Department of Health in Emergency and Disasters, Faculty of  
Health, Baghiyallah University of Medical Sciences, Tehran, Iran.

**Editor in chief**

Mehdi Zare, Professor

International Research Institute of Seismology and Earthquake  
Management, Tehran, Iran.

**Executive Manager**

Marzieh Samadi-Foroushani, PhD

Researcher in Tehran Disaster Mitigation and Management Organization  
(TDMMO) and PhD in Operations Research Management, University of  
Tehran, Iran.

**Editorial Board**

Mehdi Zare, Professor

International Research Institute of Seismology and Earthquake  
Management, Tehran, Iran.

Ali Akbar AghaKouchak, Professor

Structural Engineering, Tarbiat Modares University, Tehran, Iran.

Mahmoudreza Delavar, Professor

School of Surveying and Geospatial Engineering, College of Engineering,  
University of Tehran, Tehran, Iran.

Mohammad Reza Ghayamqamian, Professor

Research Institute of Seismology and Earthquake Management, Tehran, Iran.  
Mashaallah Khamechian, Professor

Engineering geology department of Tarbiat Modares University, Tehran, Iran.

Iraj Mohammadfam, Professor

University of Social Welfare and Rehabilitation Sciences, Tehran, Iran.

Ali Moradi, Associate Professor

Institute of Geophysics, University of Tehran, Tehran, Iran.

Reza Pourhossein, Associate Professor

Psychology and Educational Sciences, University of Tehran, Tehran, Iran.

**Seyed Amirhossein Garakani, Associate Professor**

Architecture and Urban Planning, Central Tehran Islamic Azad University,  
Tehran, Iran.

**Mohsen Ghafory-Ashtiani, Professor**

International Institute of Earthquake Engineering and Seismology, IIIES,  
Tehran, Iran.

**Mohamad Hossein Yarmohamadian, Professor**

Isfahan University of Medical Science, Isfahan, Iran.

**Jafar Yazdi, Associate Professor**

Faculty of Civil, Water and Environmental Engineering, Shahid Beheshti  
University, Tehran, Iran.

**Masoud Khoshima, Associate Professor**

Iranian Space Research Center, Tehran, Iran.

**International Editorial Board**

Ali Asgary, Professor

Disaster and Emergency Management, York University, Toronto, Canada.

Fariborz M Tehrani, Professor

Civil engineering and geomatics, California State University, Fresno.

Amirhomayoun Safarzadeh, Associate Professor

Department of Urban and Environmental Engineering, Faculty of  
Engineering, Kyushu University, Fukuoka, Japan.

Mahnaz Hosseinzadeh, Associate Professor

Operations Management and Decision Sciences, Sheffield Management  
School, University of Sheffield, United Kingdom.

**Abstracts & Indexing:**

Google Scholar, Academia, Islamic World Science & Technology  
Monitoring and Citation Institute (ISI), Scientific Information Database  
(SID), Magiran, Index Copernicus

**Address:** West Jalal-Al-E-Ahmad Ave, Tehran Disaster Mitigation and  
Management Organization (TDMMO), Tehran, Iran.

Tel: +98 (21) 96024217, +98 (21) 44244040, Fax: +98 (21) 44267365

**Website:** www.dpmk.ir

**Email:** dpmktdmmo@gmail.com, info@dpmk.ir

**Binding & Printing :** Hamshahri Printing House



Tehran Disaster Mitigation  
and Management Organization